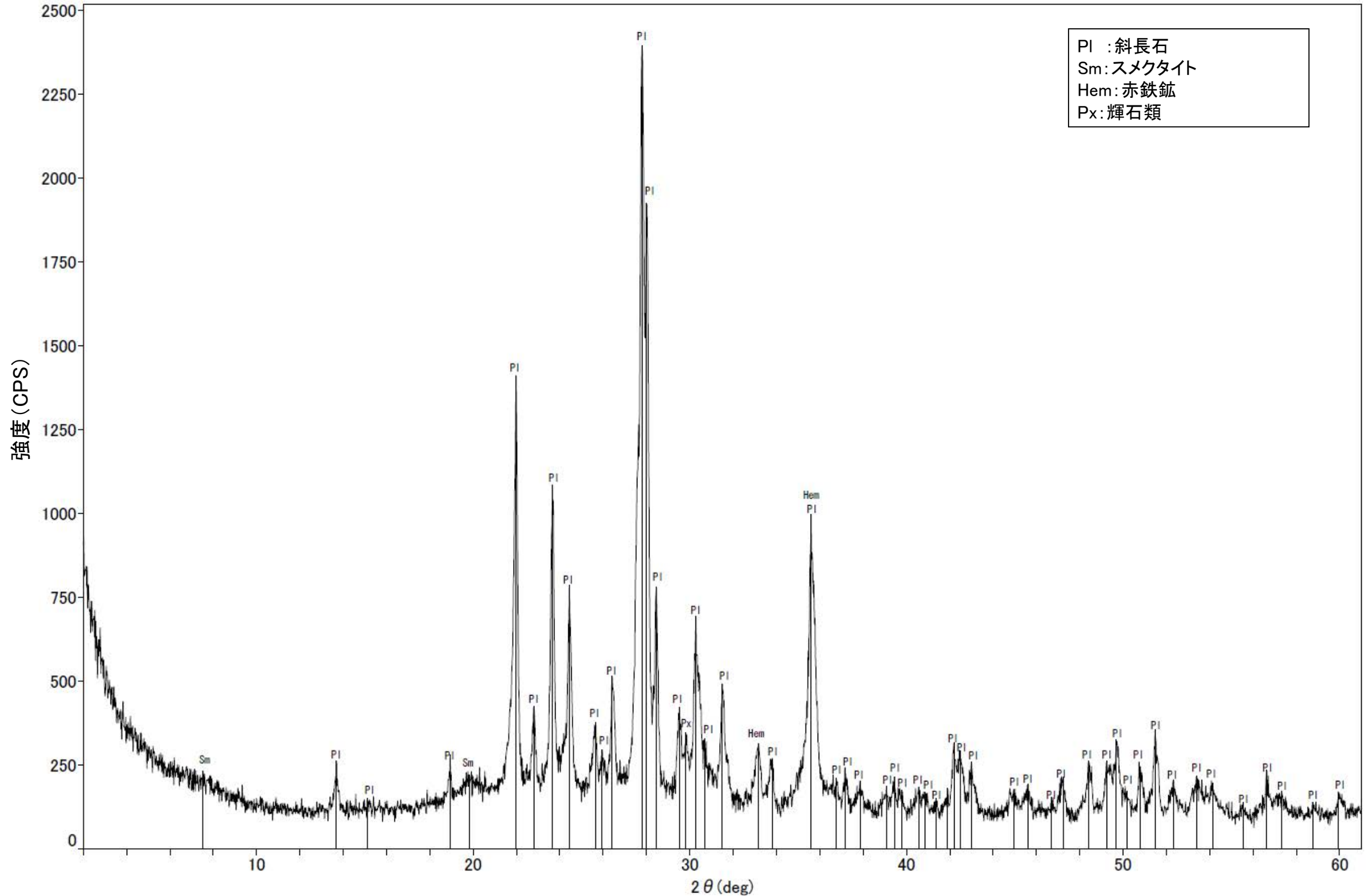
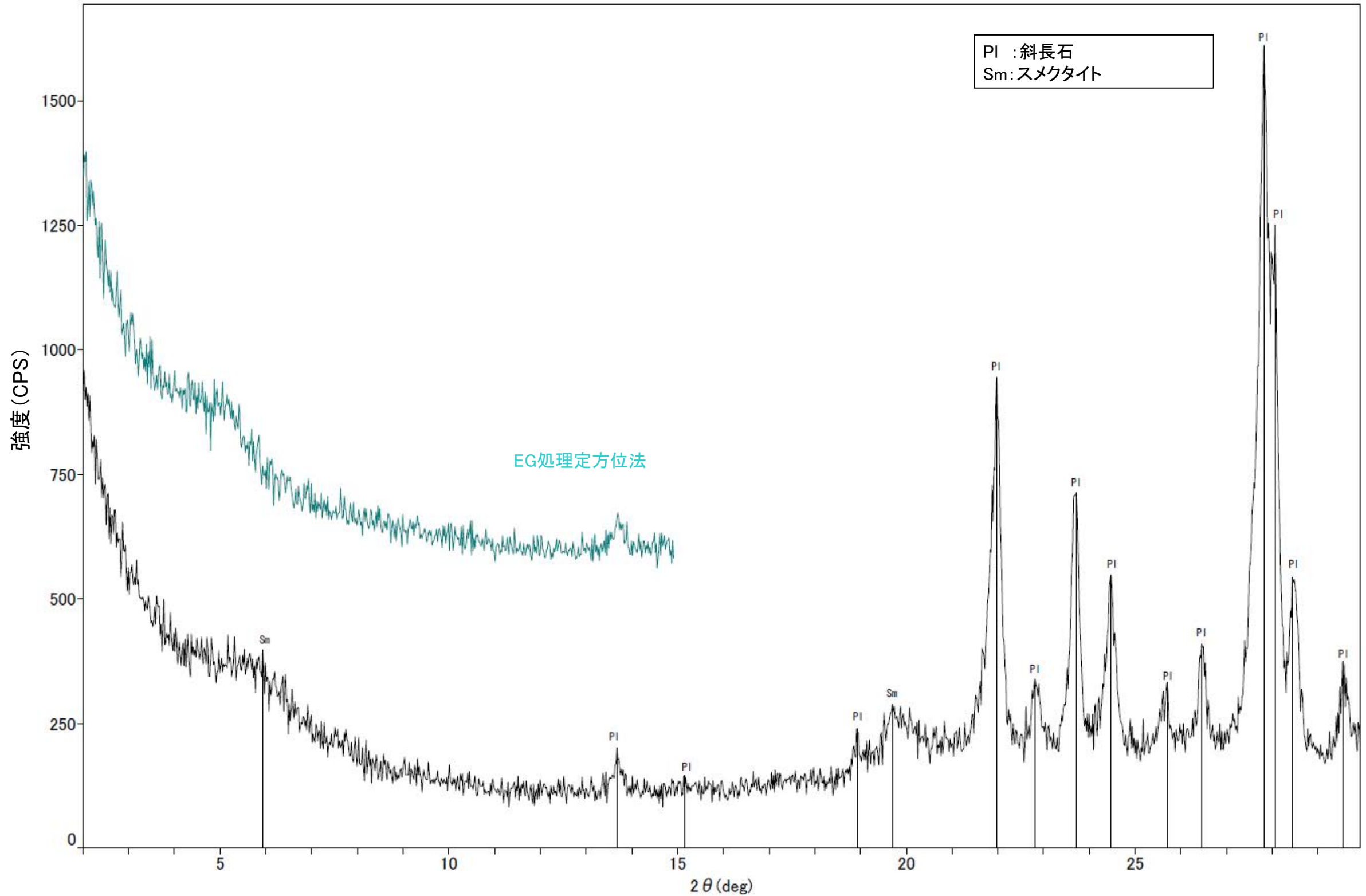


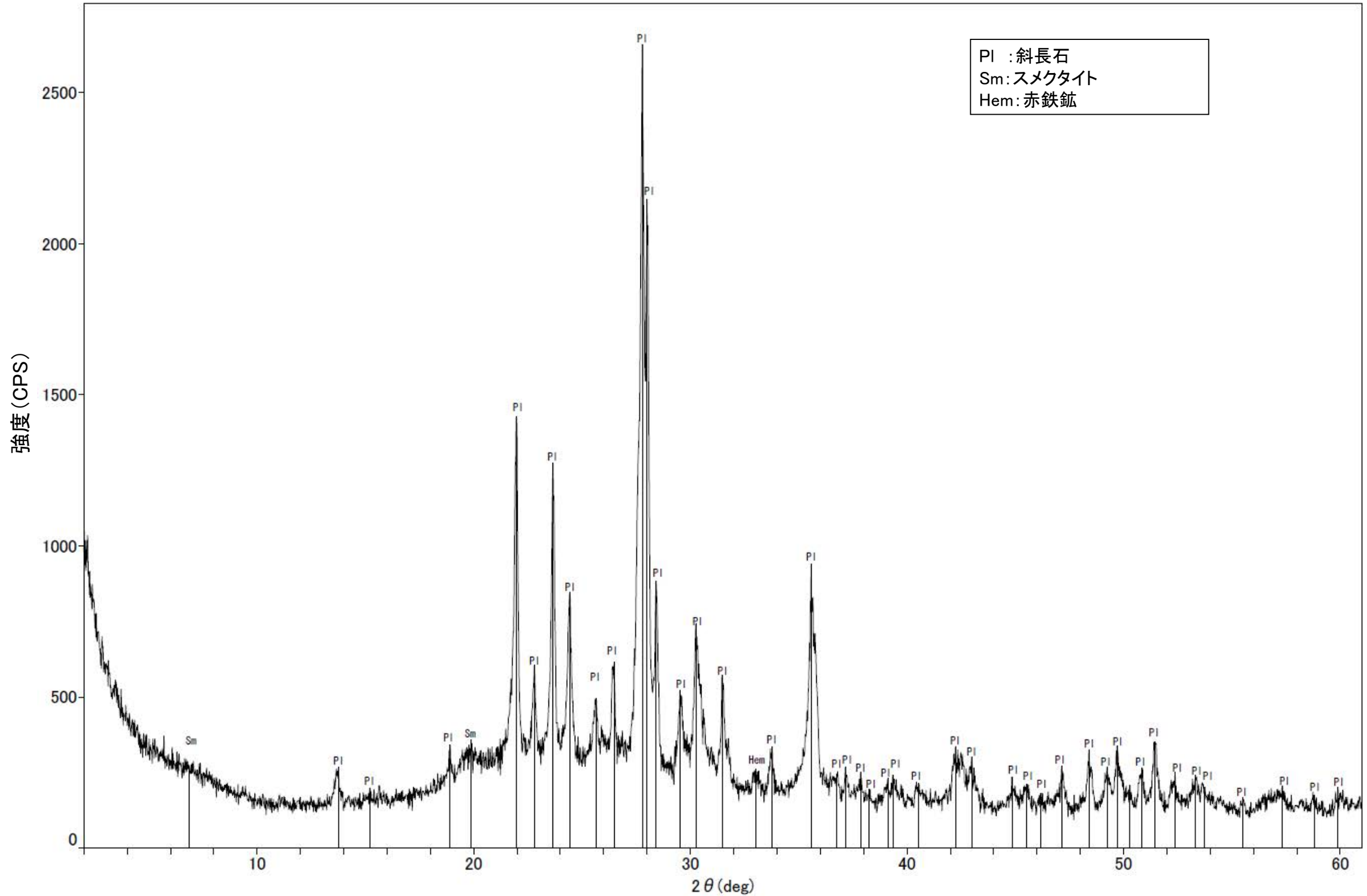
回折チャート
(EG処理も合わせて表示)



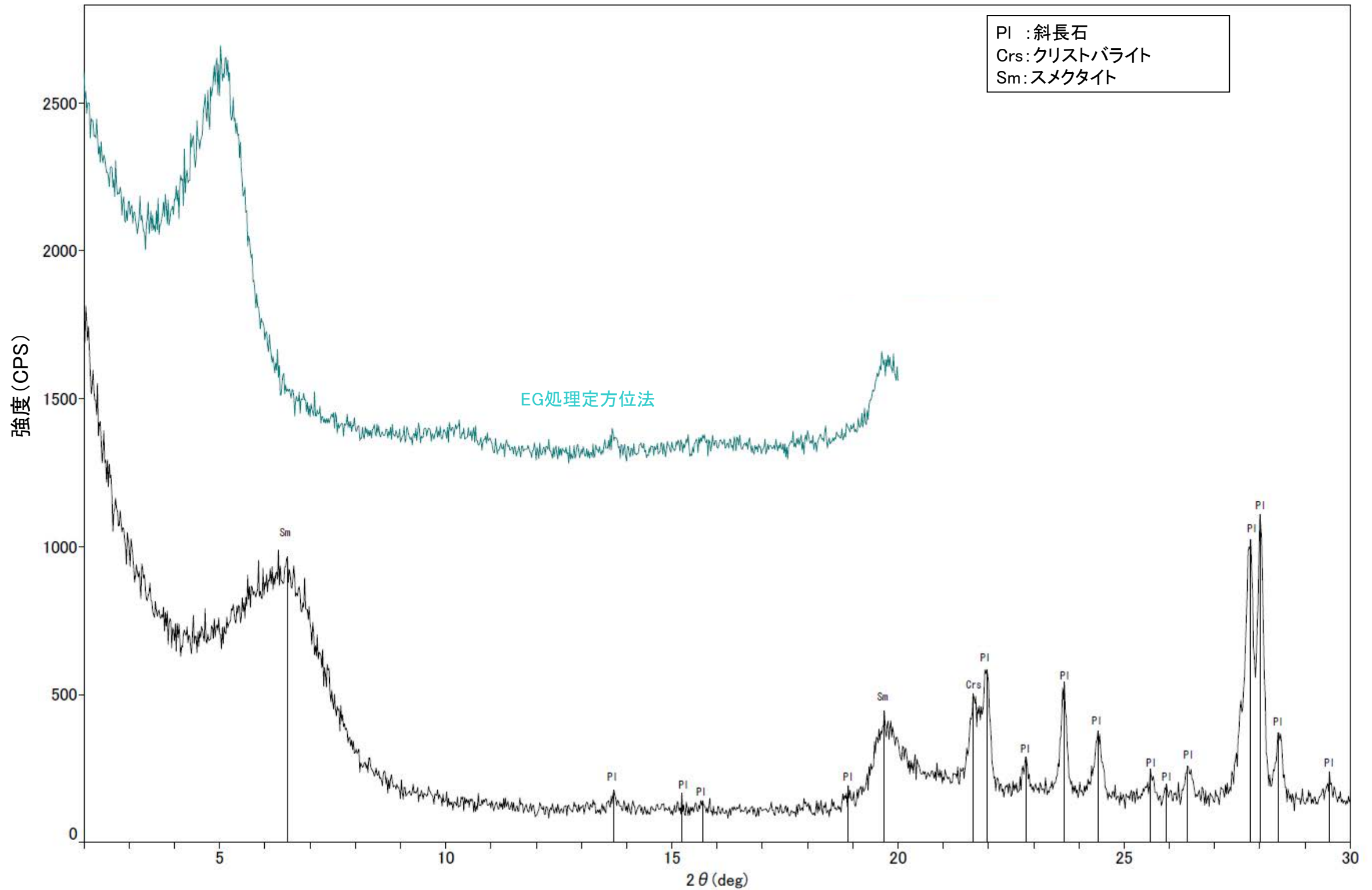
回折チャート



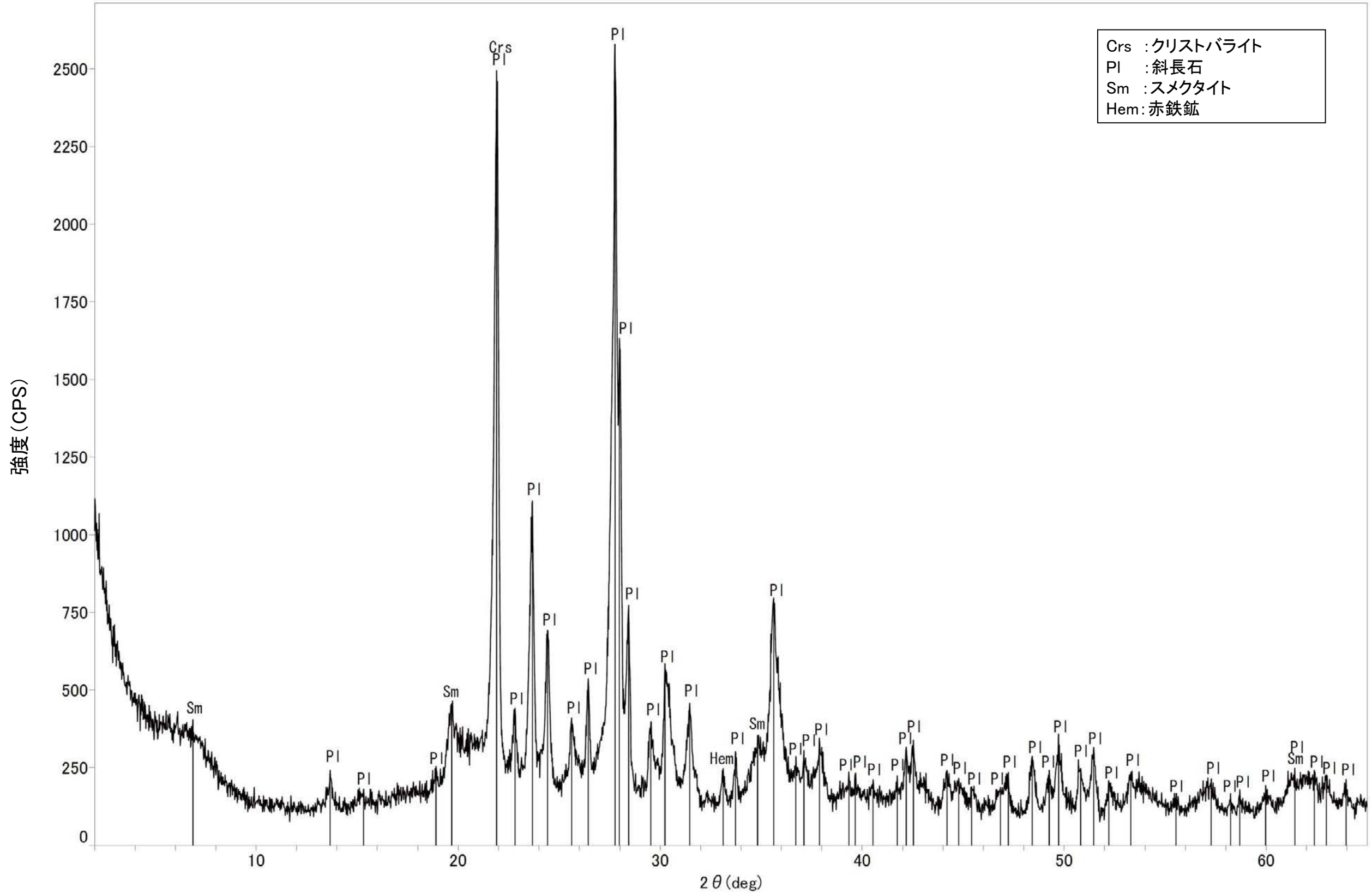
回折チャート
(EG処理も合わせて表示)



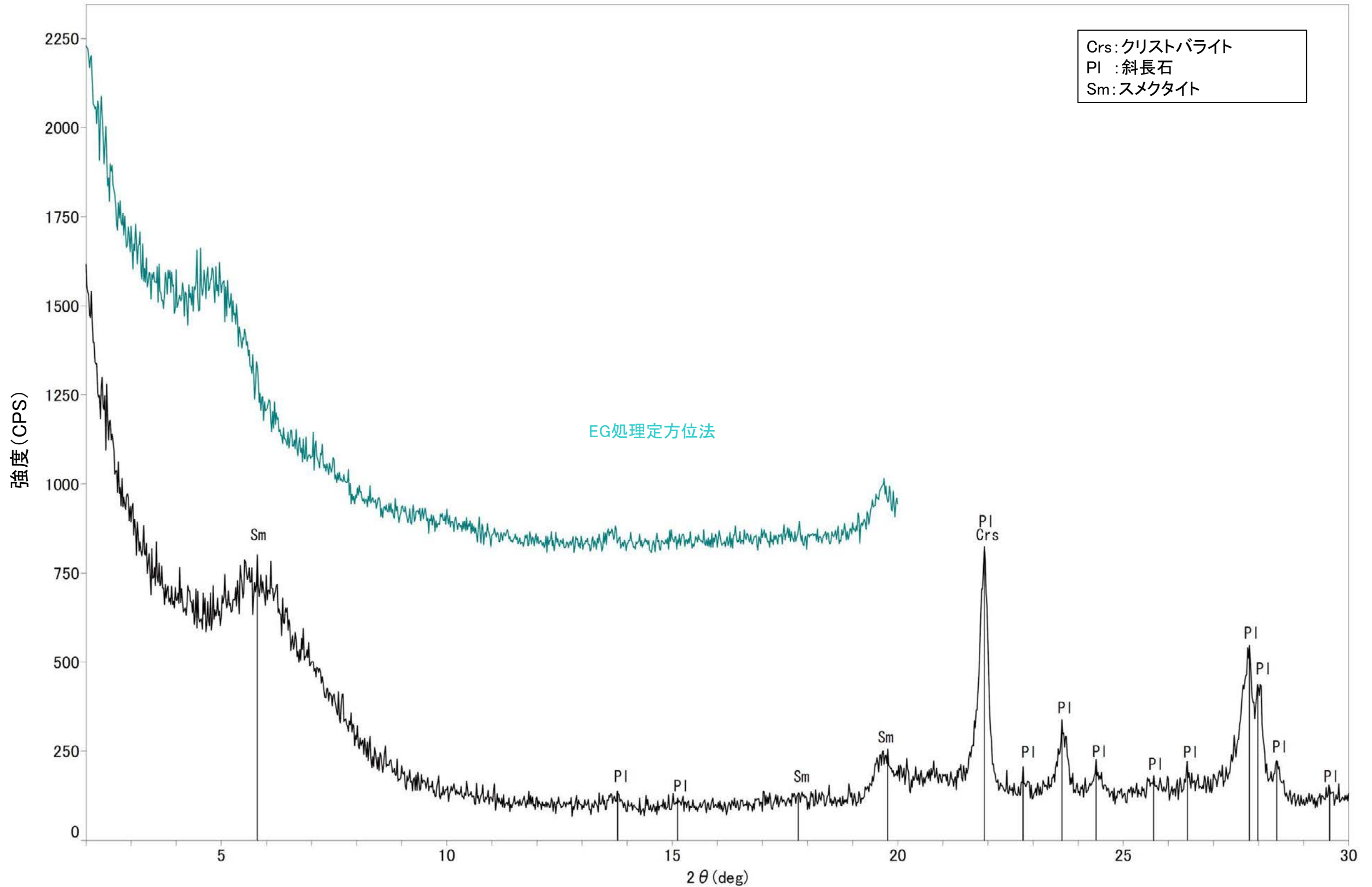
回折チャート



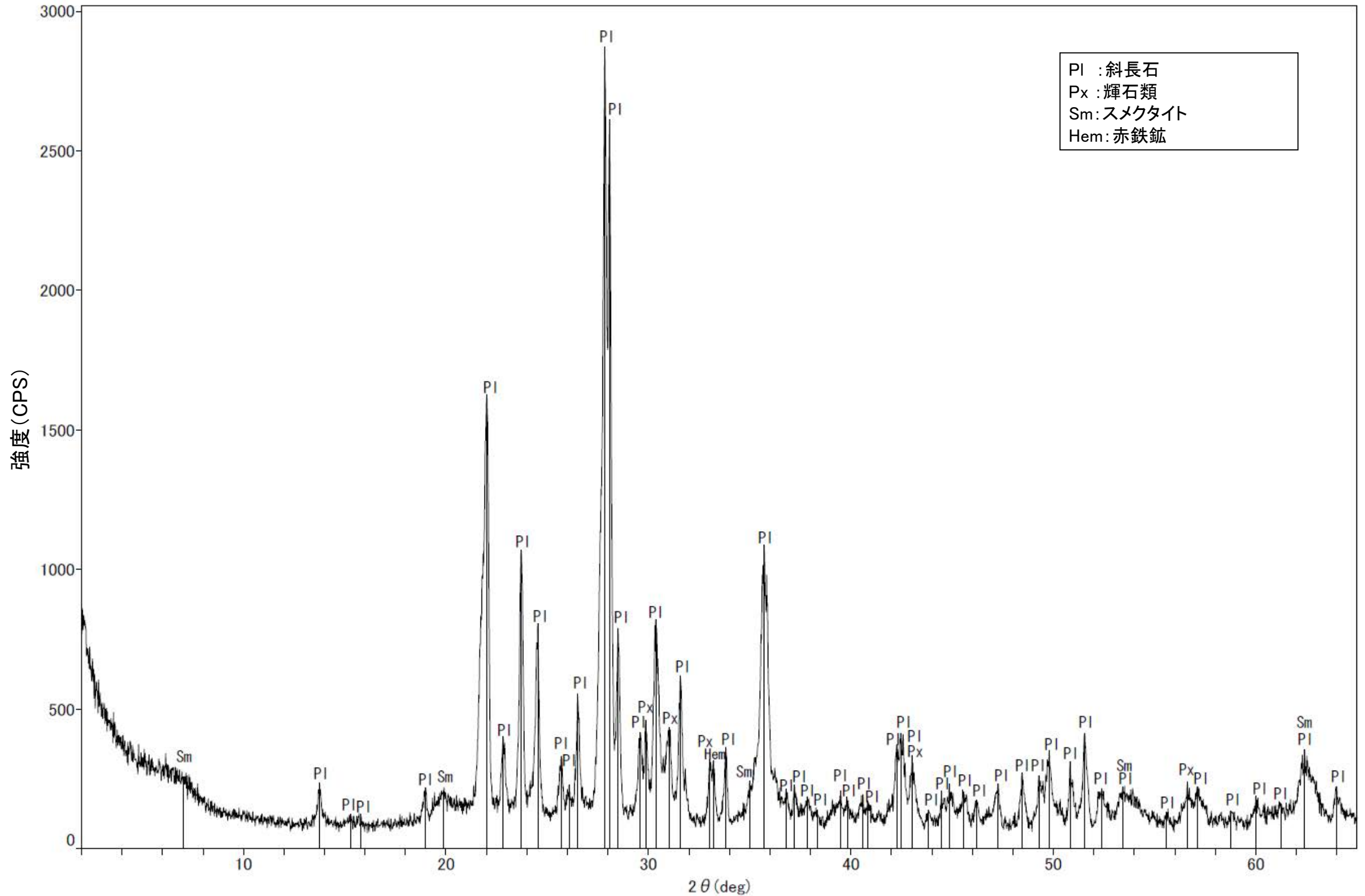
回折チャート
(EG処理も合わせて表示)



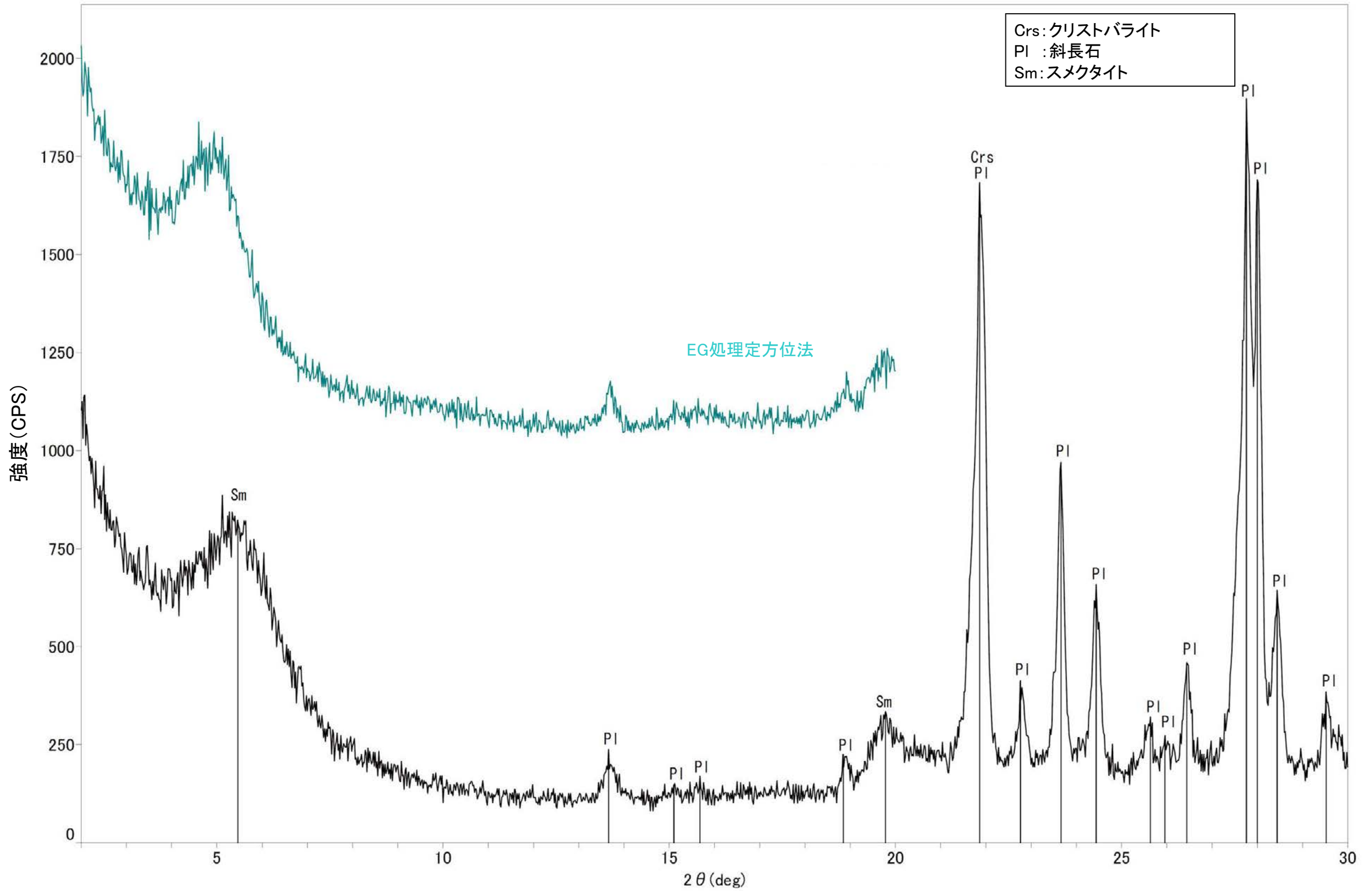
回折チャート



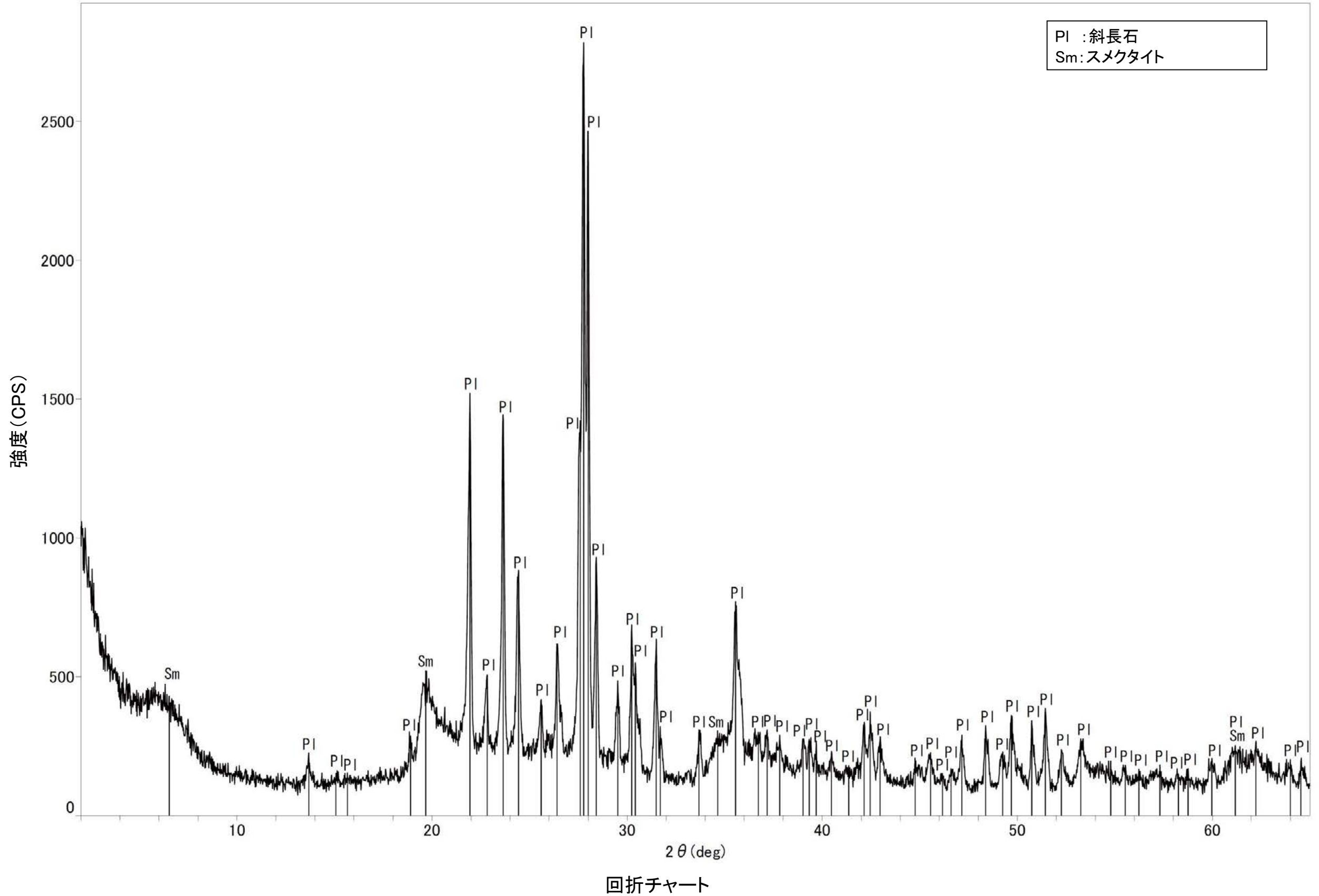
回折チャート
(EG処理も合わせて表示)

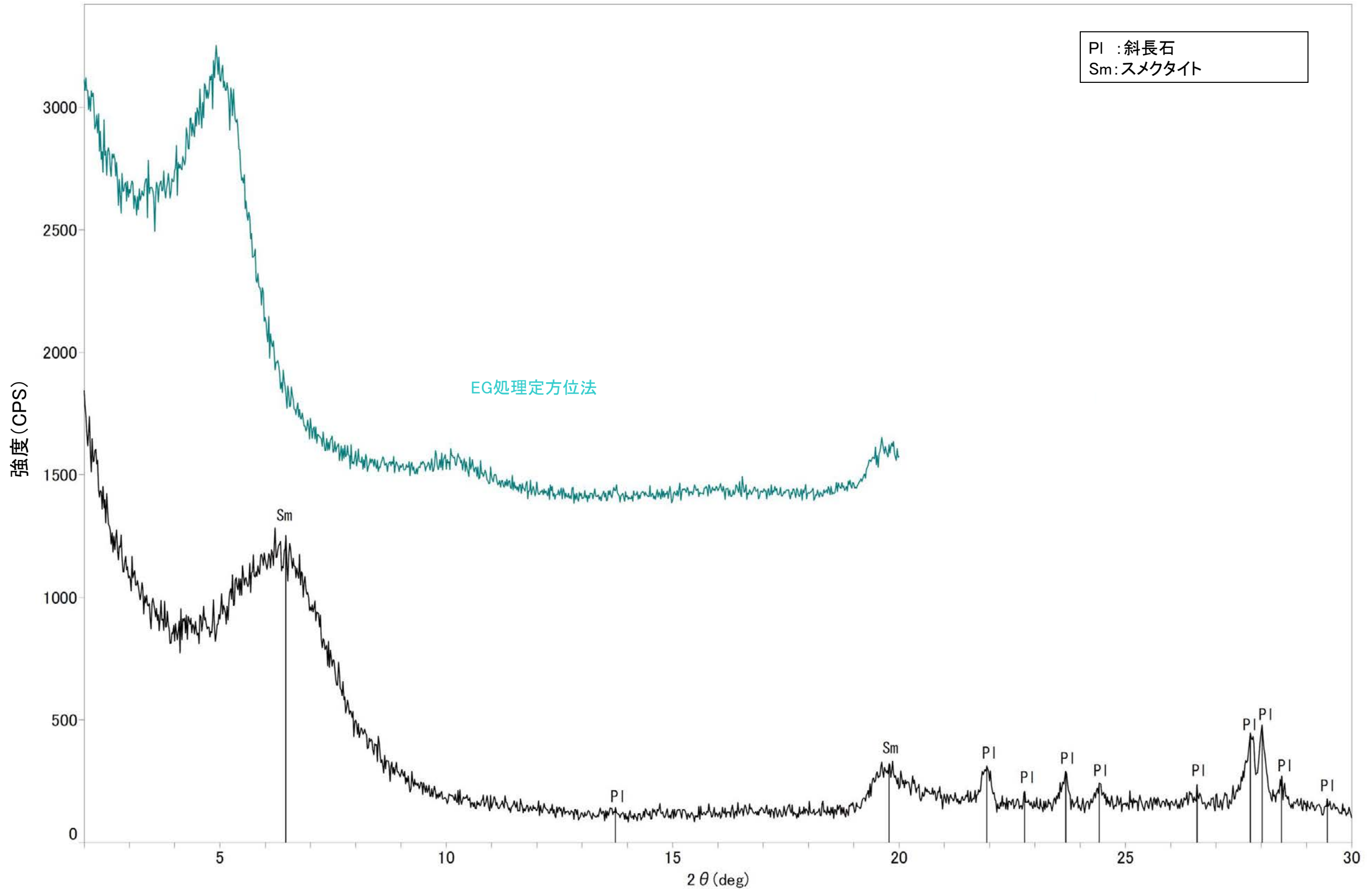


回折チャート

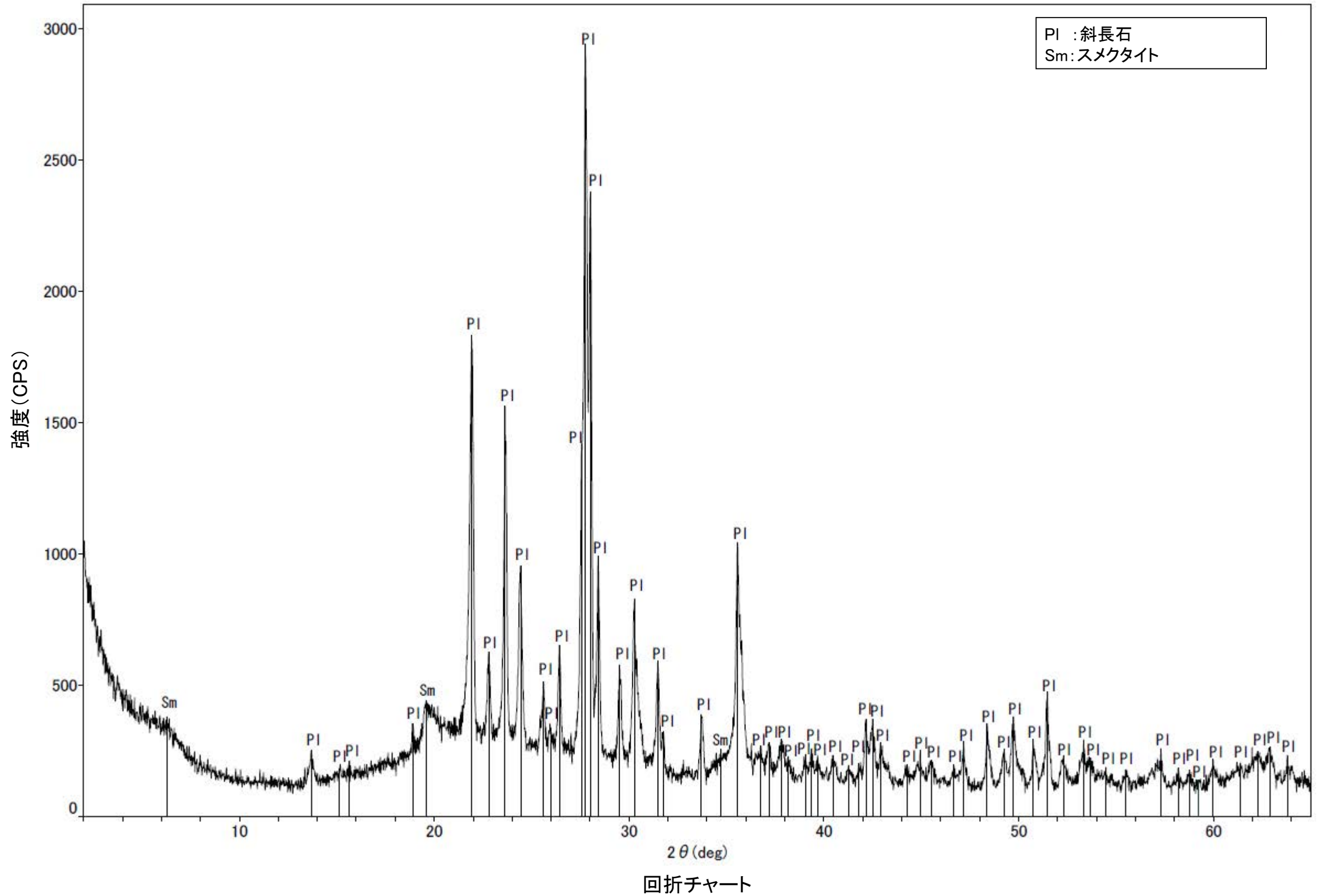


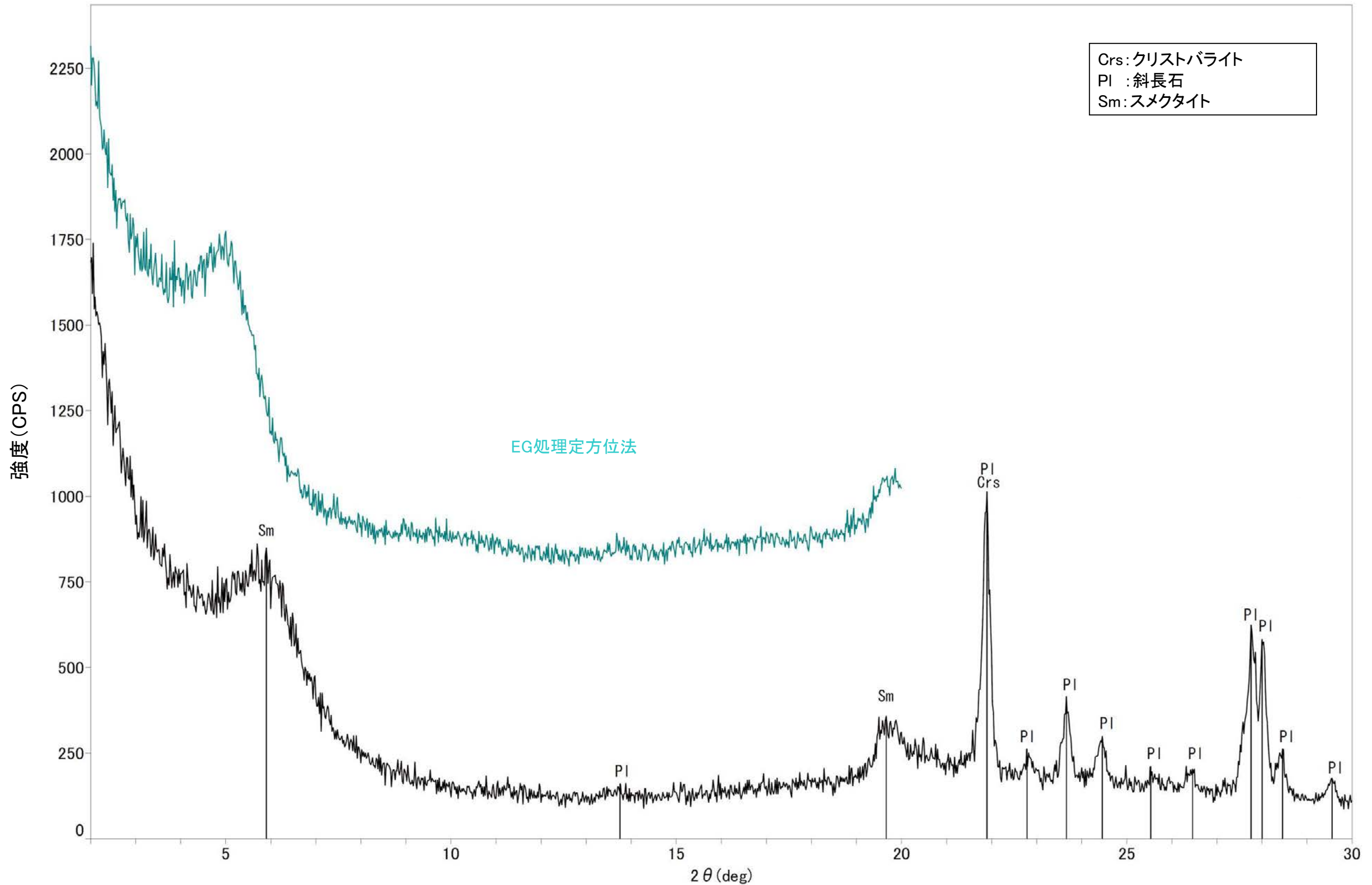
回折チャート
(EG処理も合わせて表示)



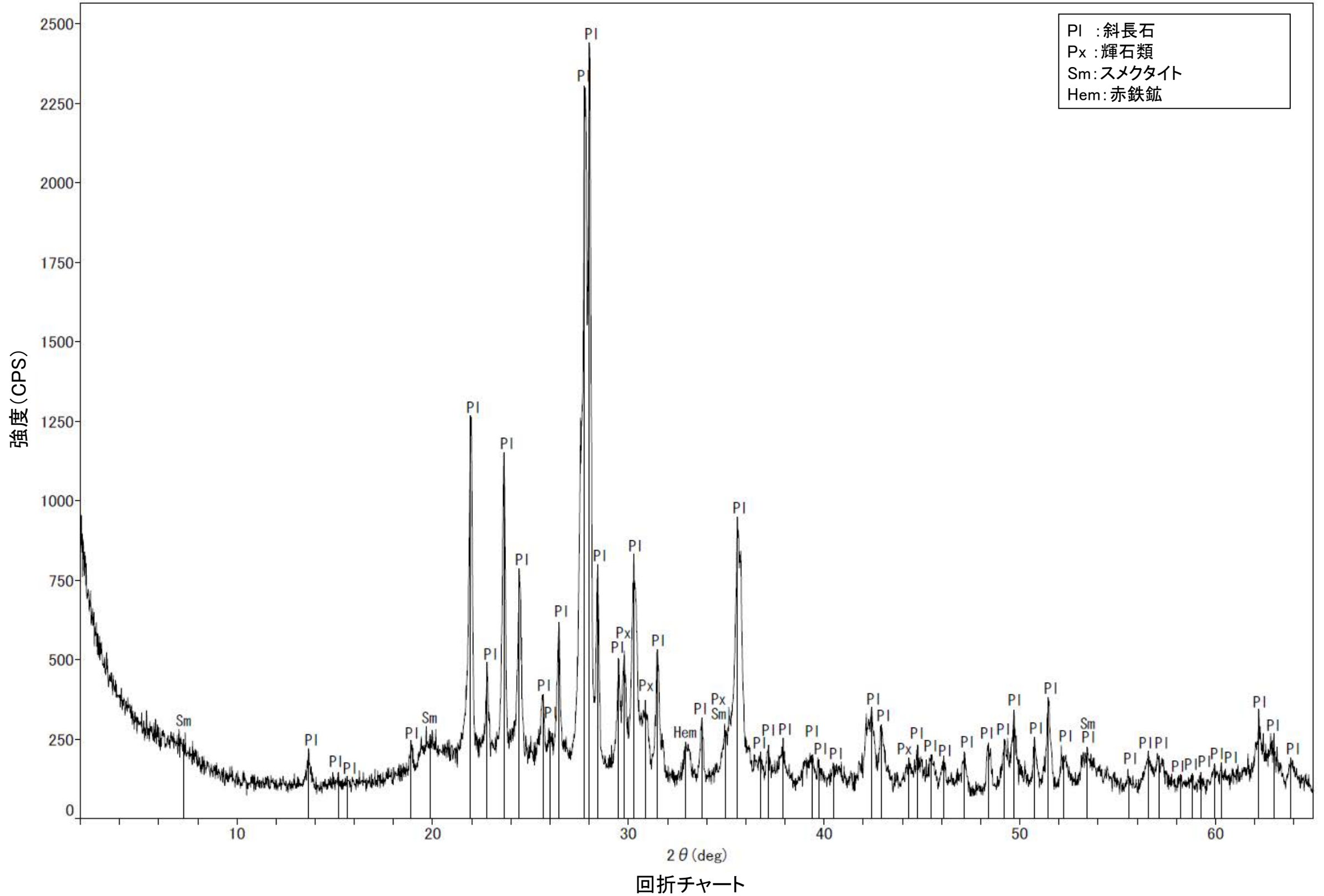


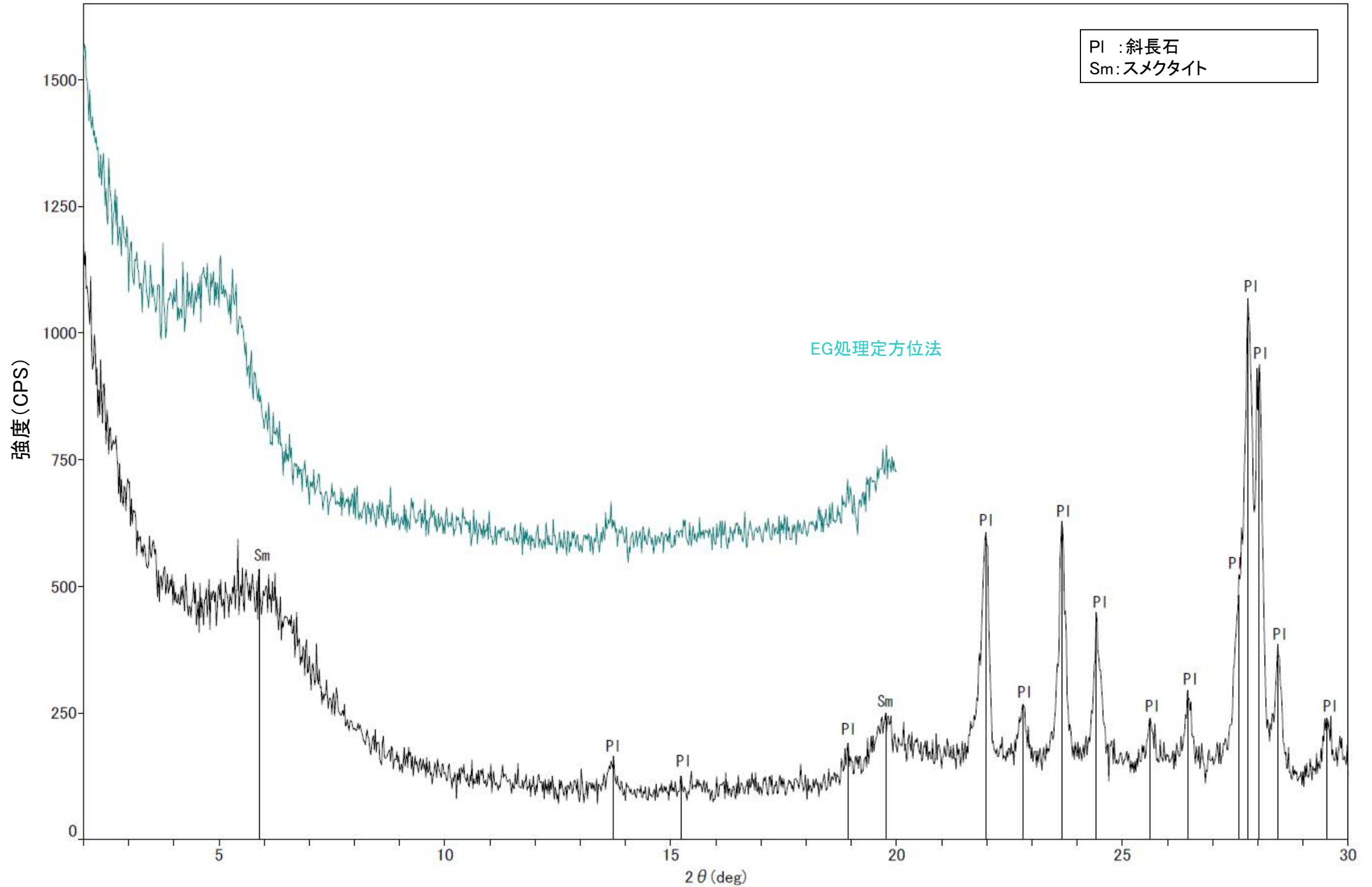
回折チャート
(EG処理も合わせて表示)



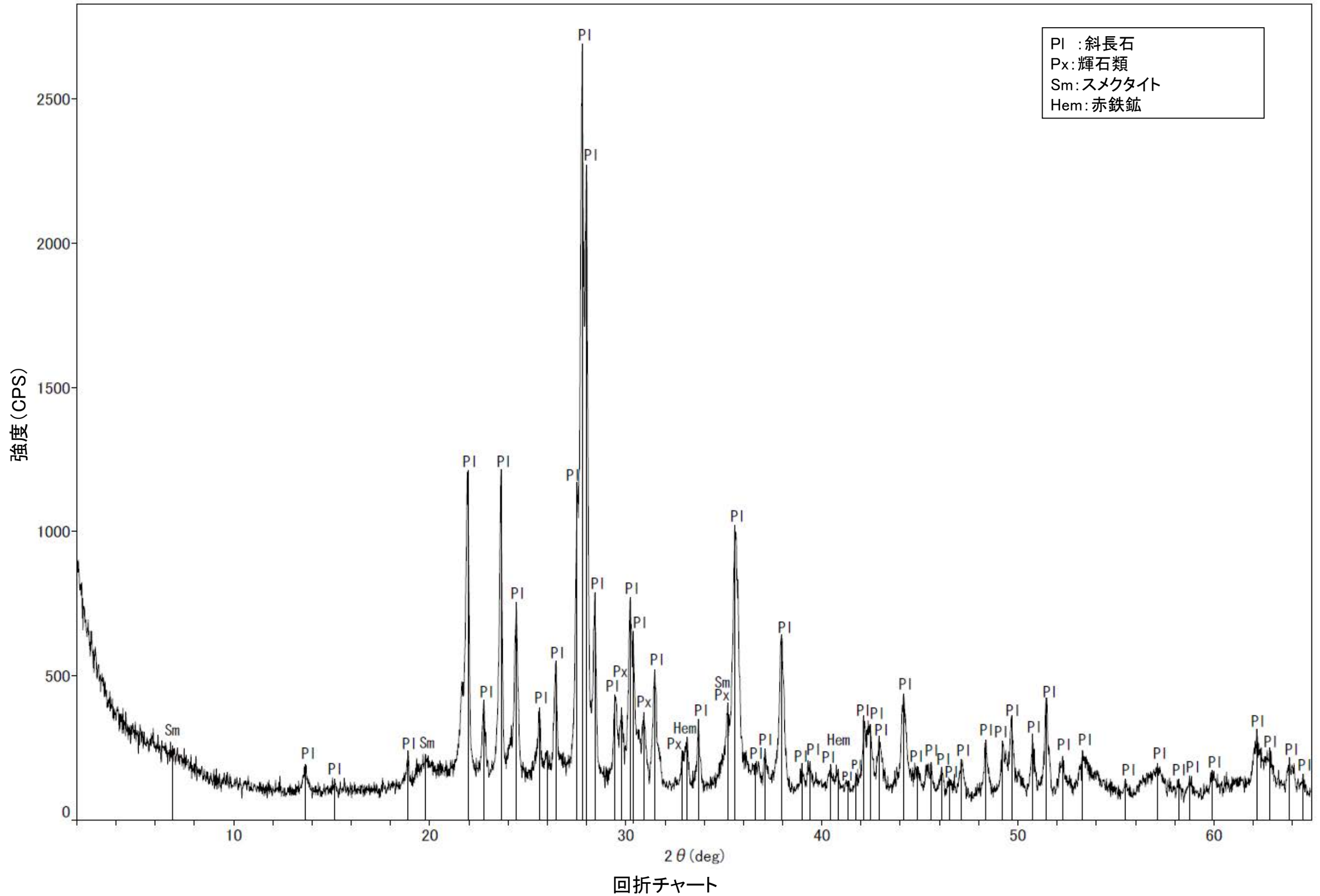


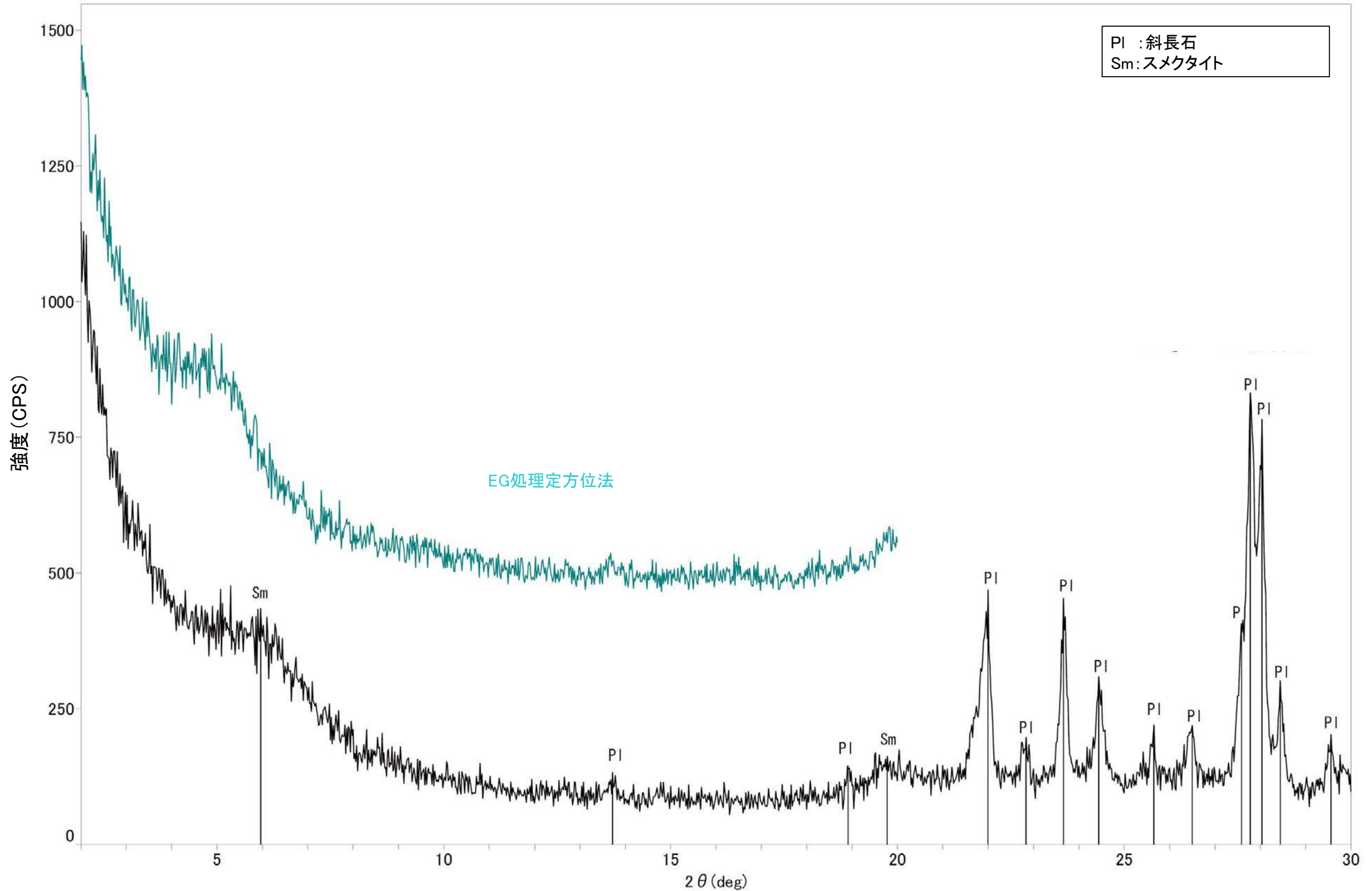
回折チャート
(EG処理も合わせて表示)



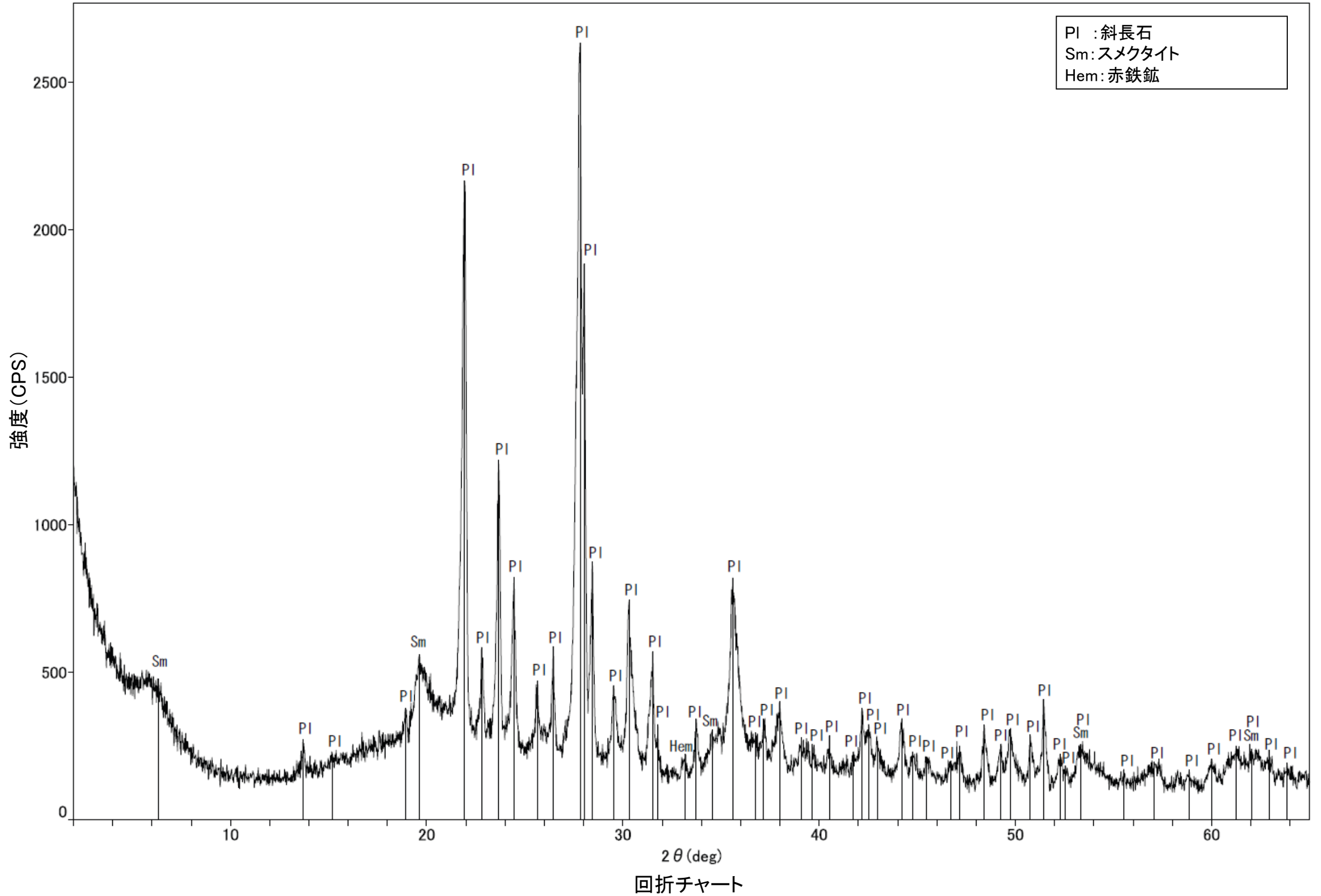


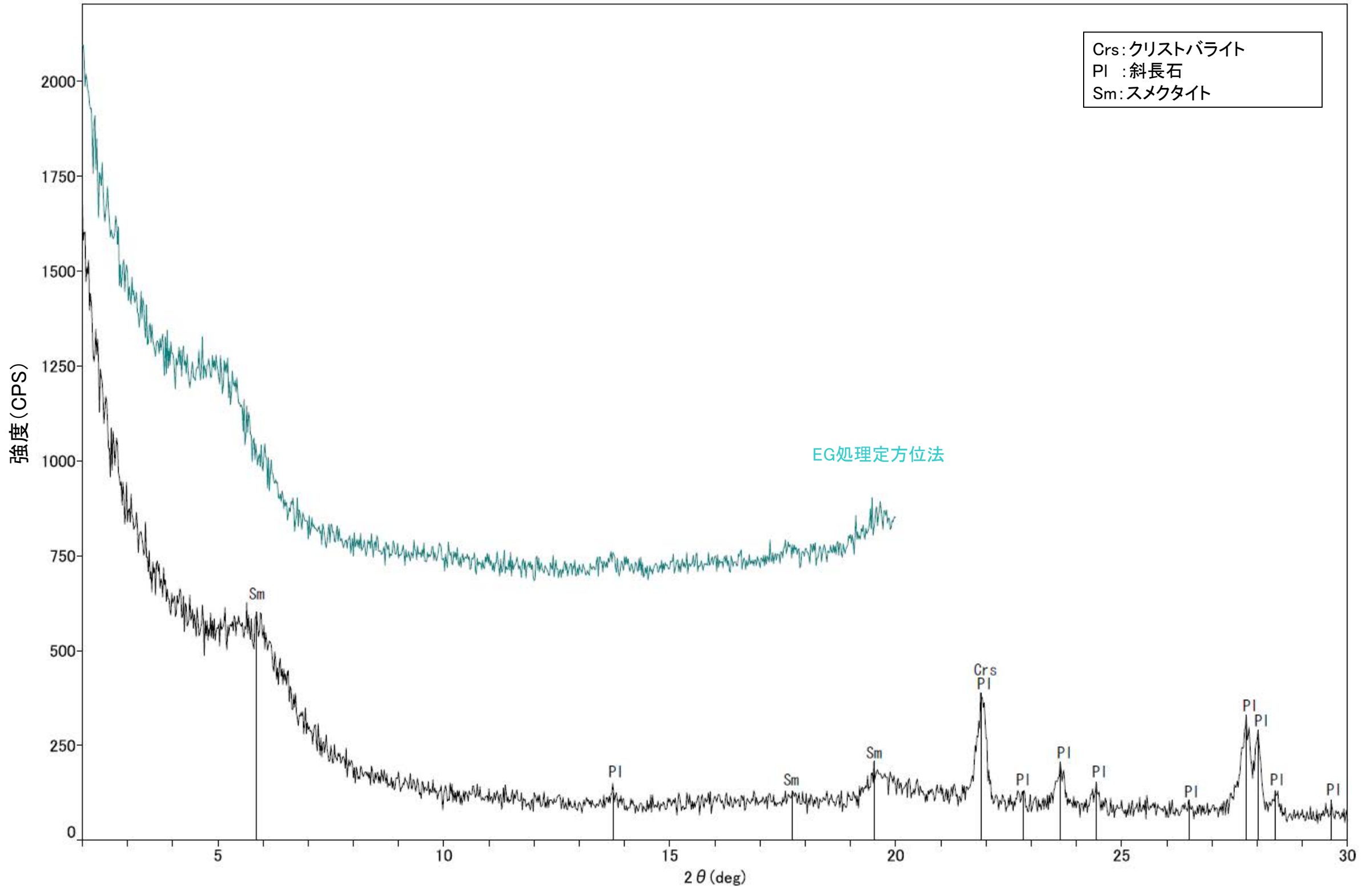
回折チャート
(EG処理も合わせて表示)



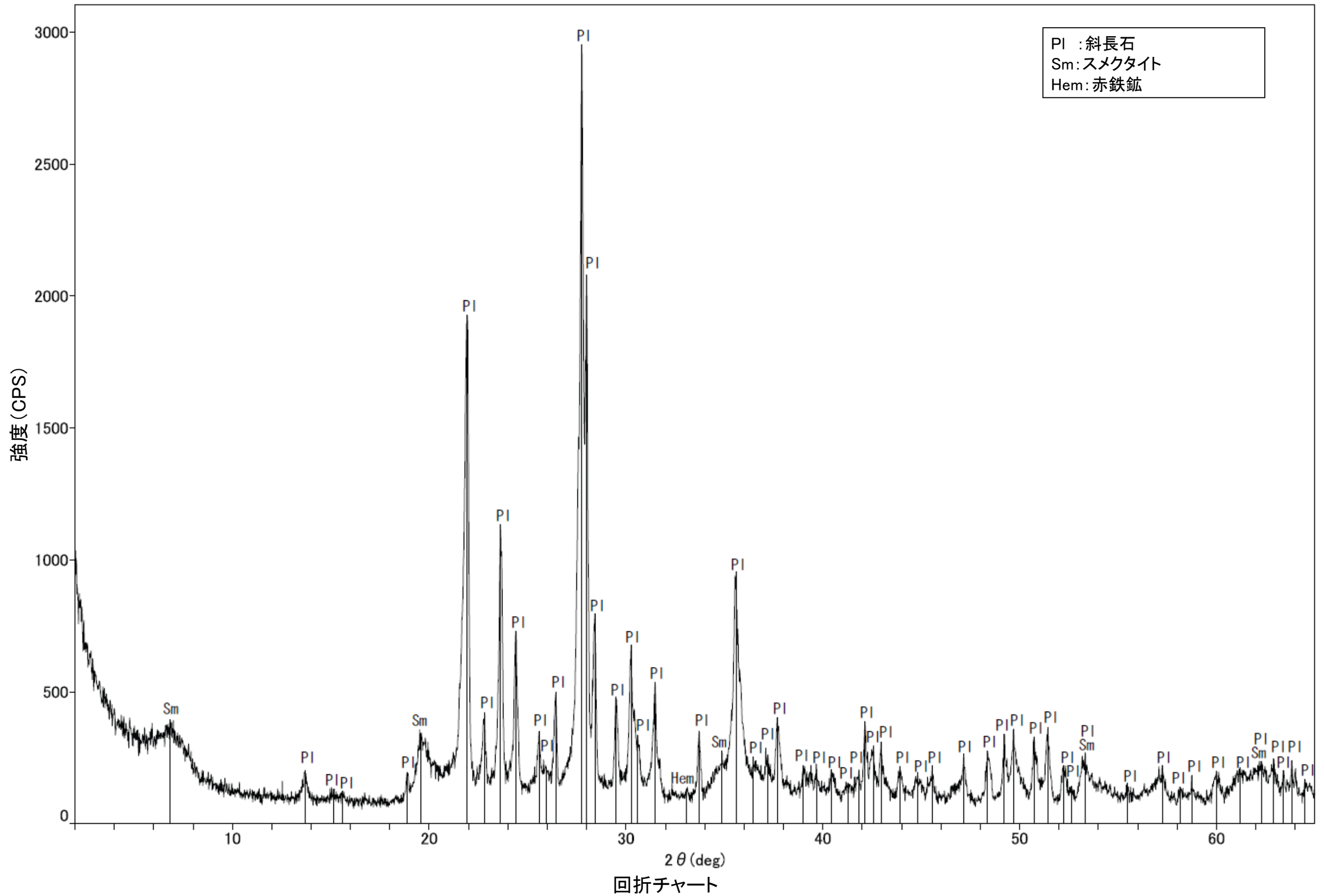


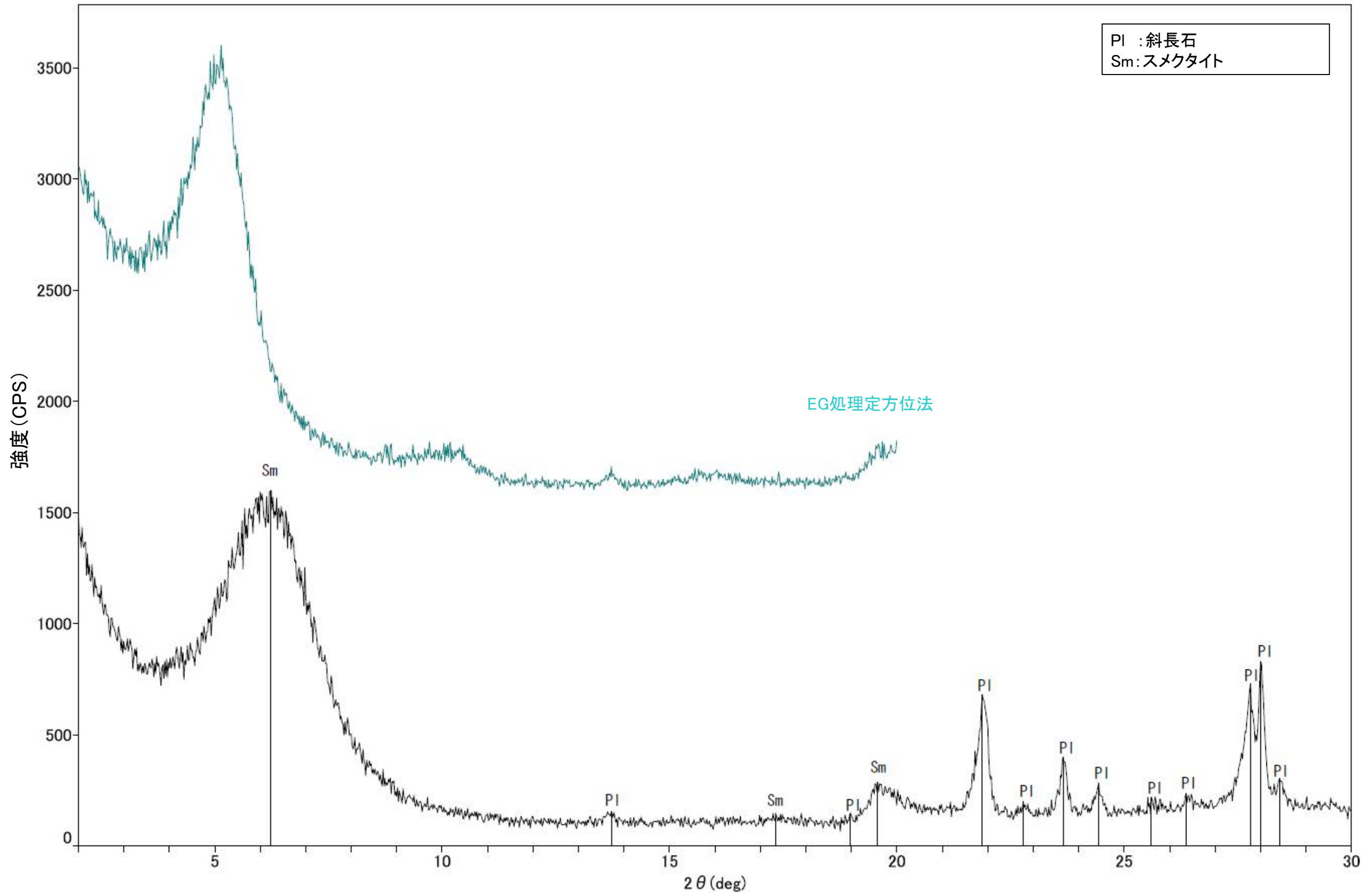
回折チャート
(EG処理も合わせて表示)



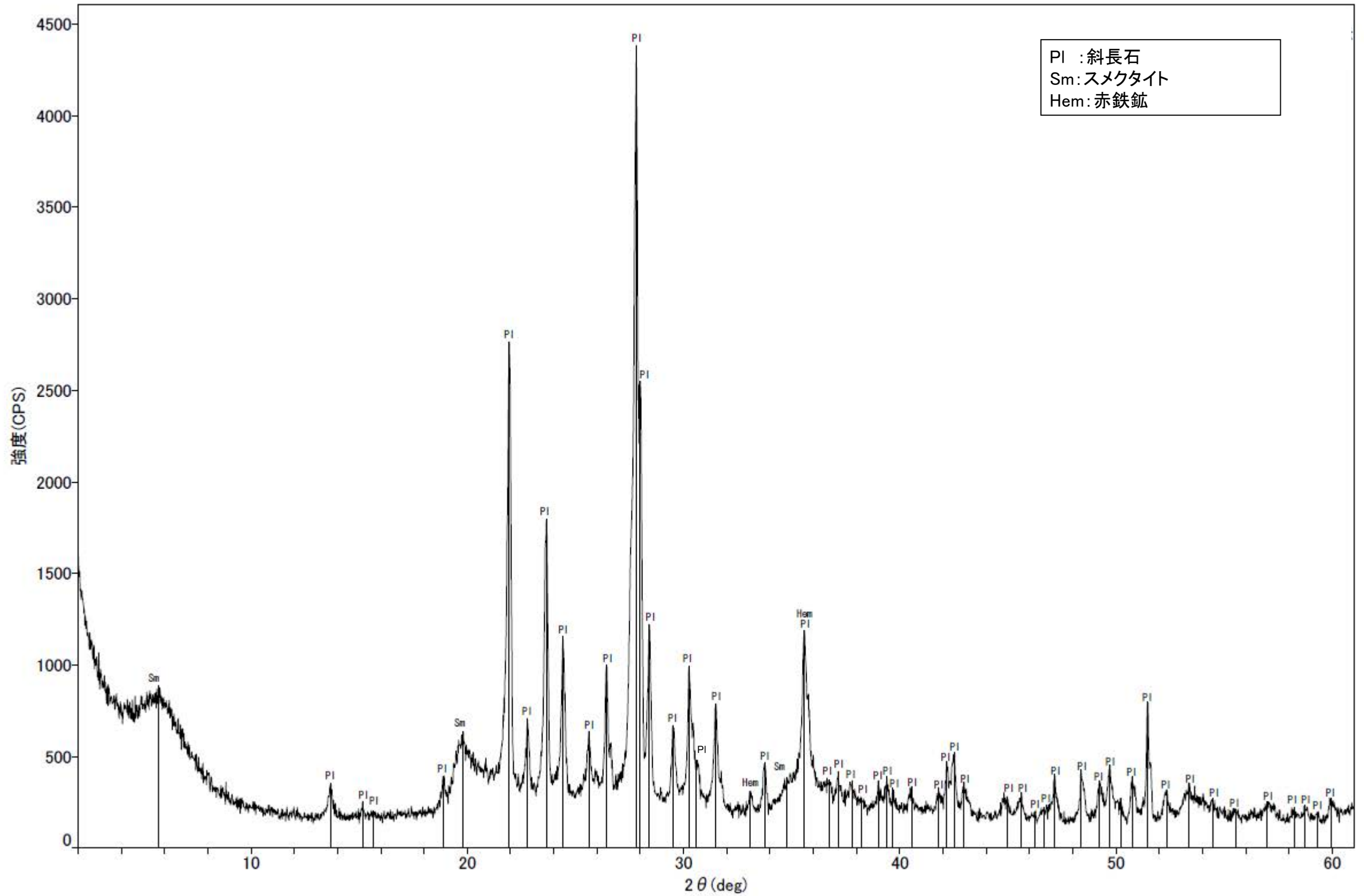


回折チャート
(EG処理も合わせて表示)

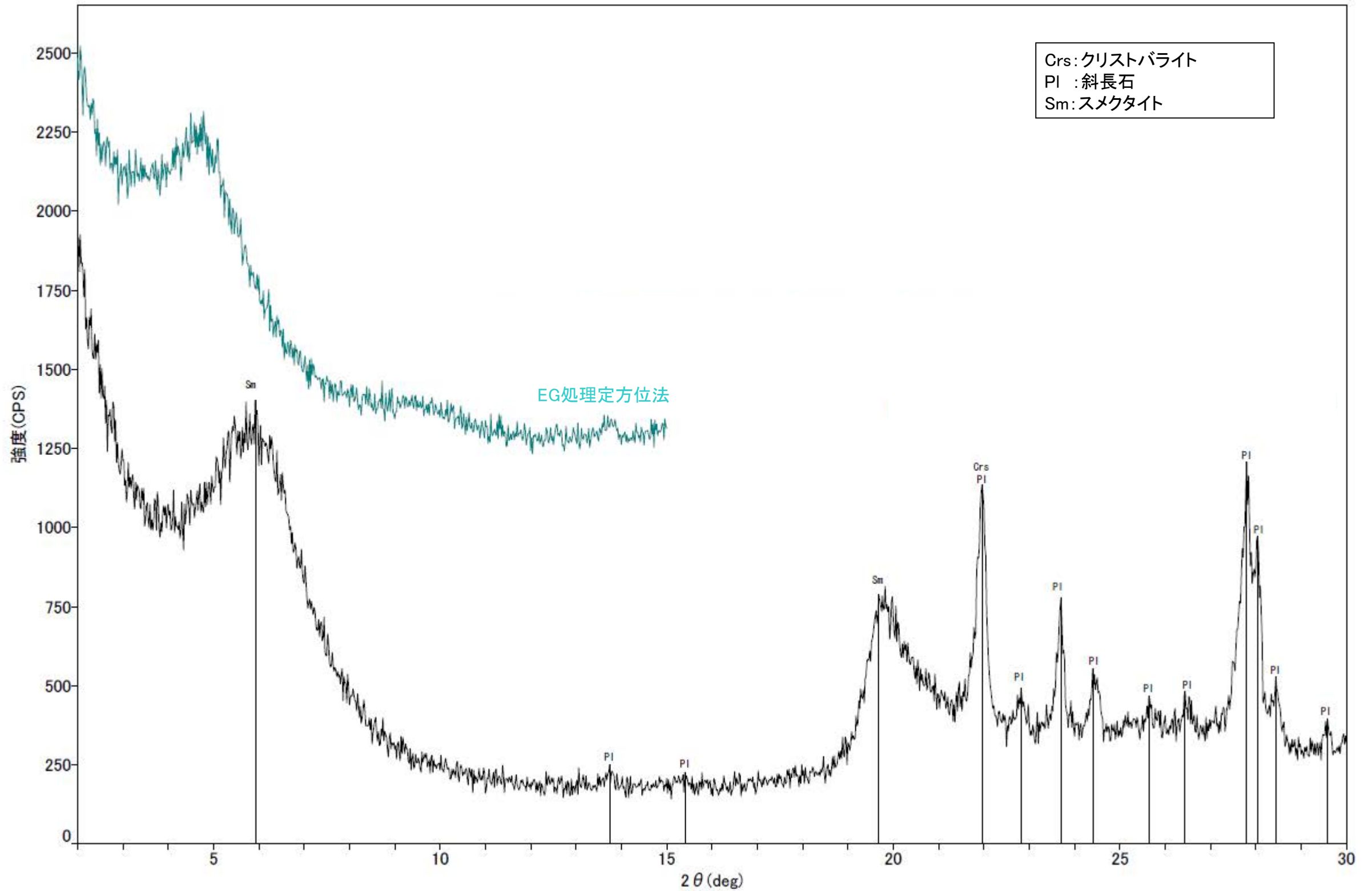




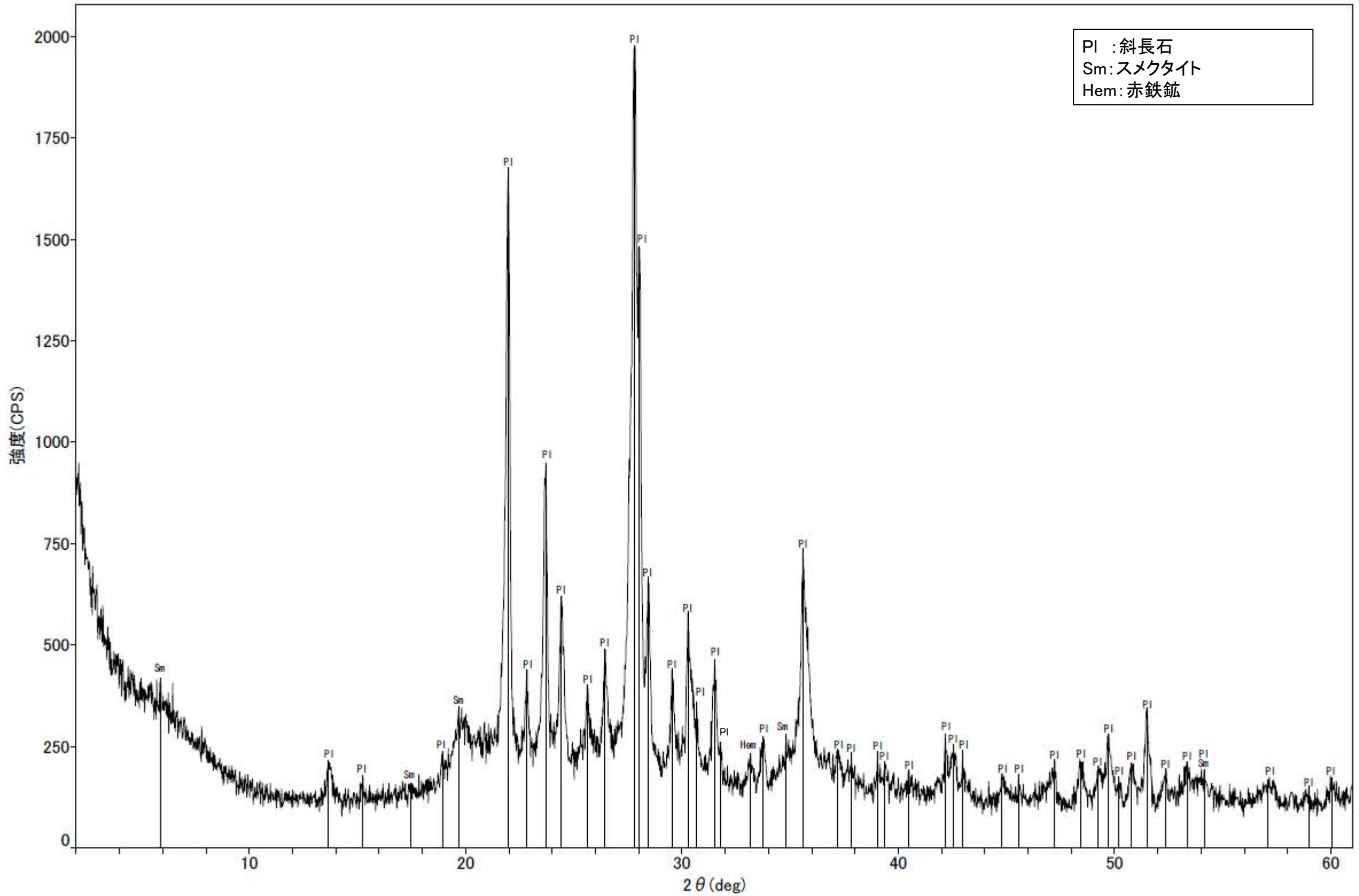
回折チャート
(EG処理も合わせて表示)



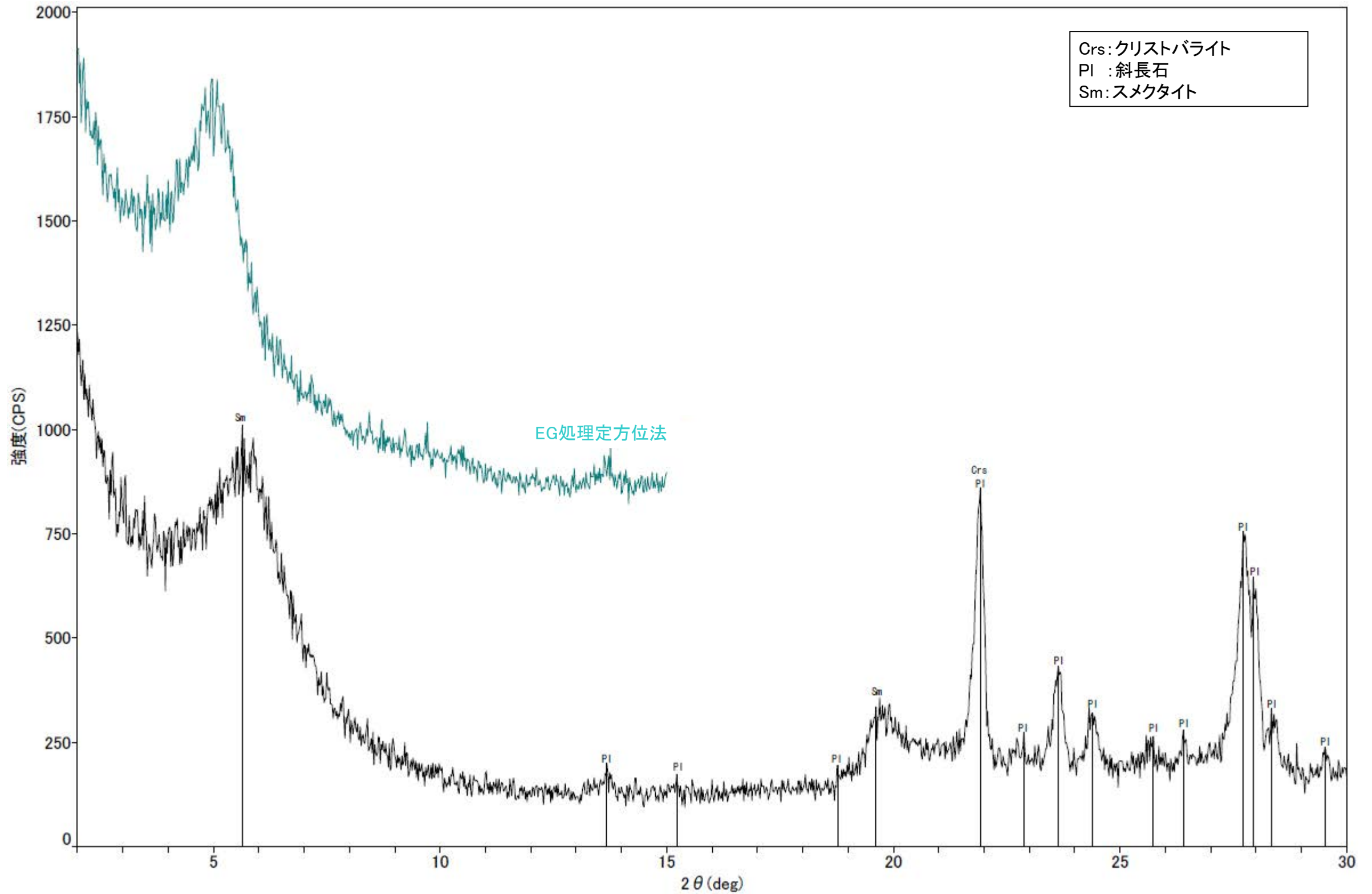
回折チャート



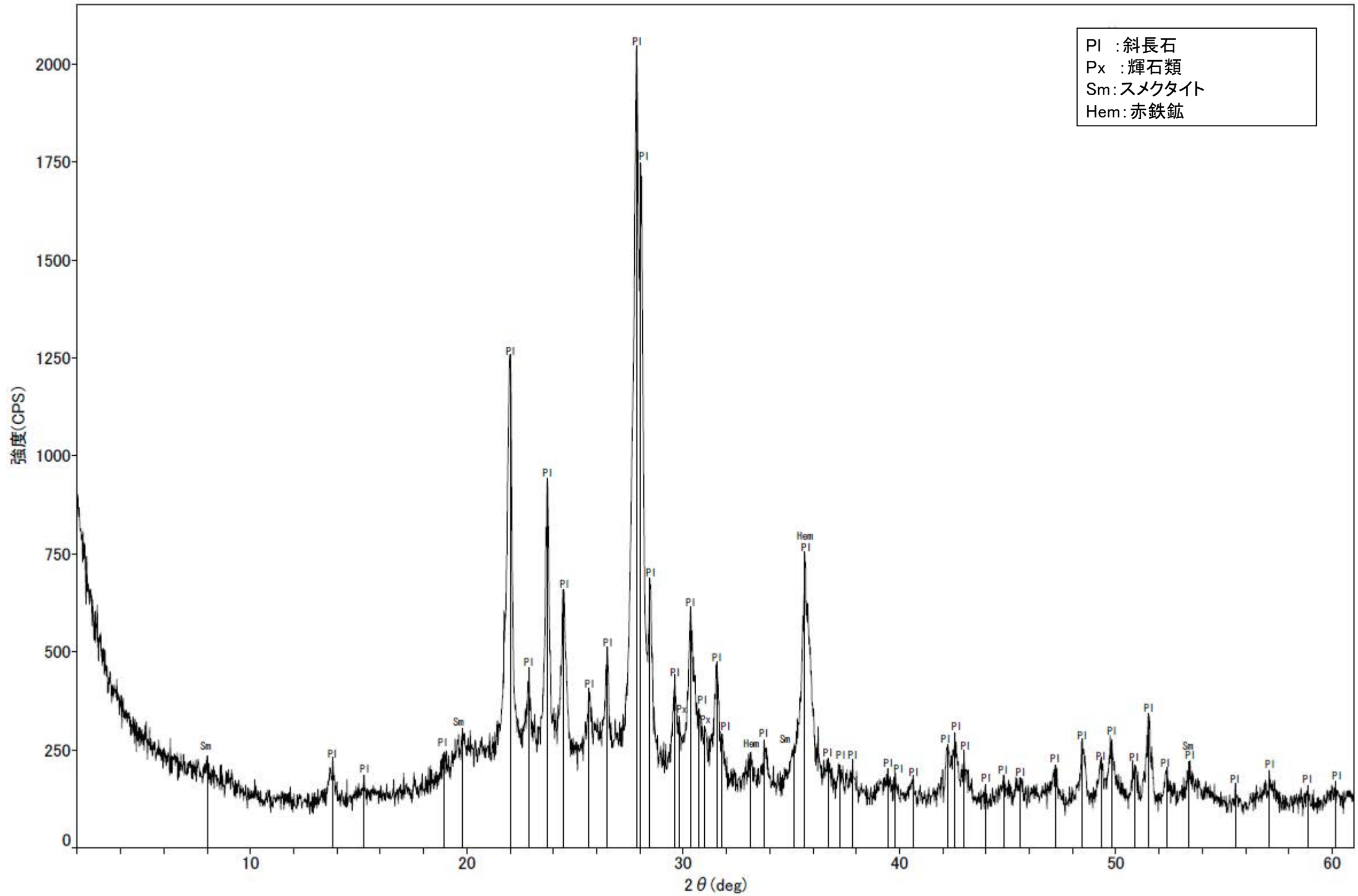
回折チャート
(EG処理も合わせて表示)



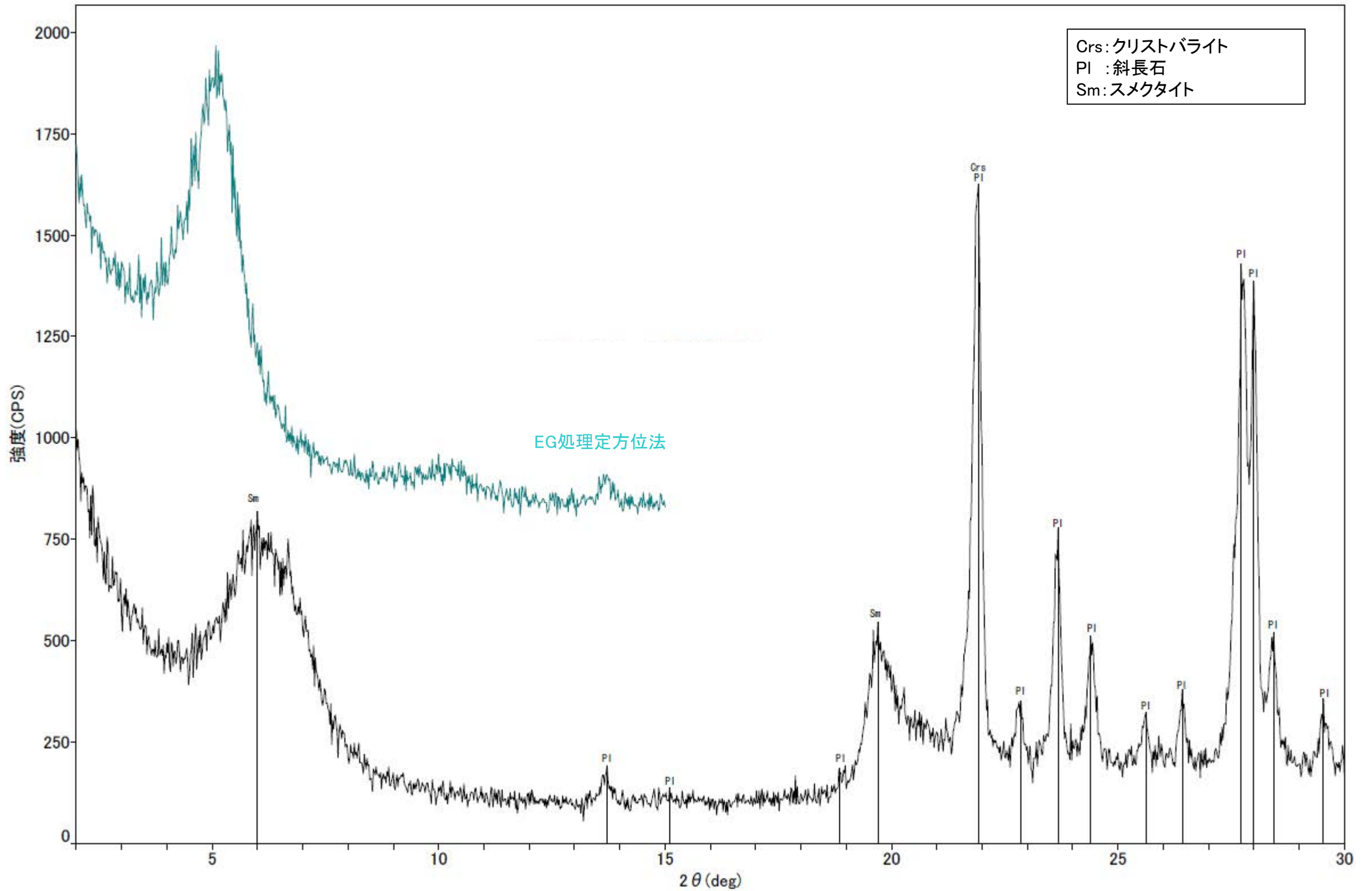
回折チャート



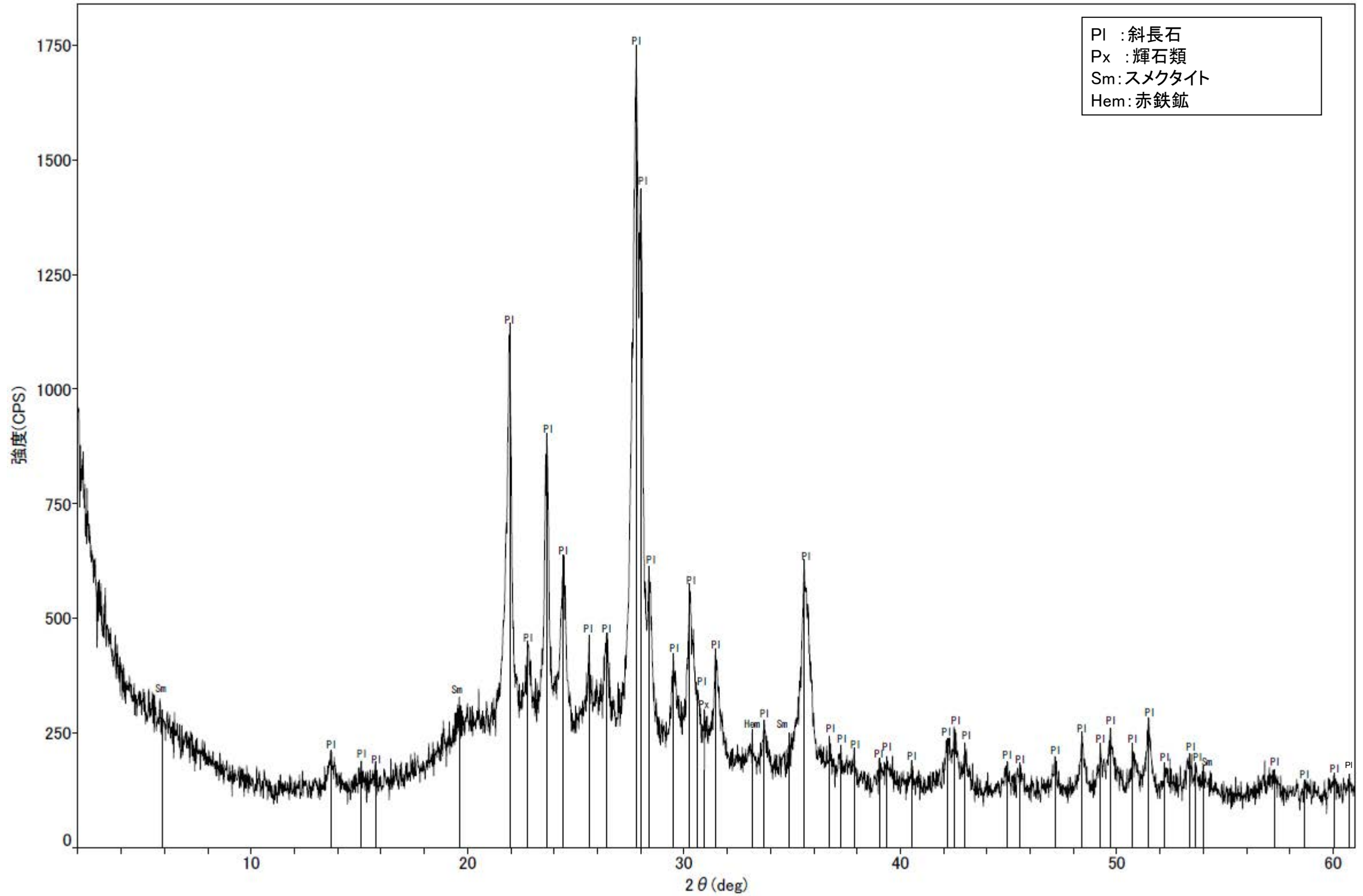
回折チャート
(EG処理も合わせて表示)



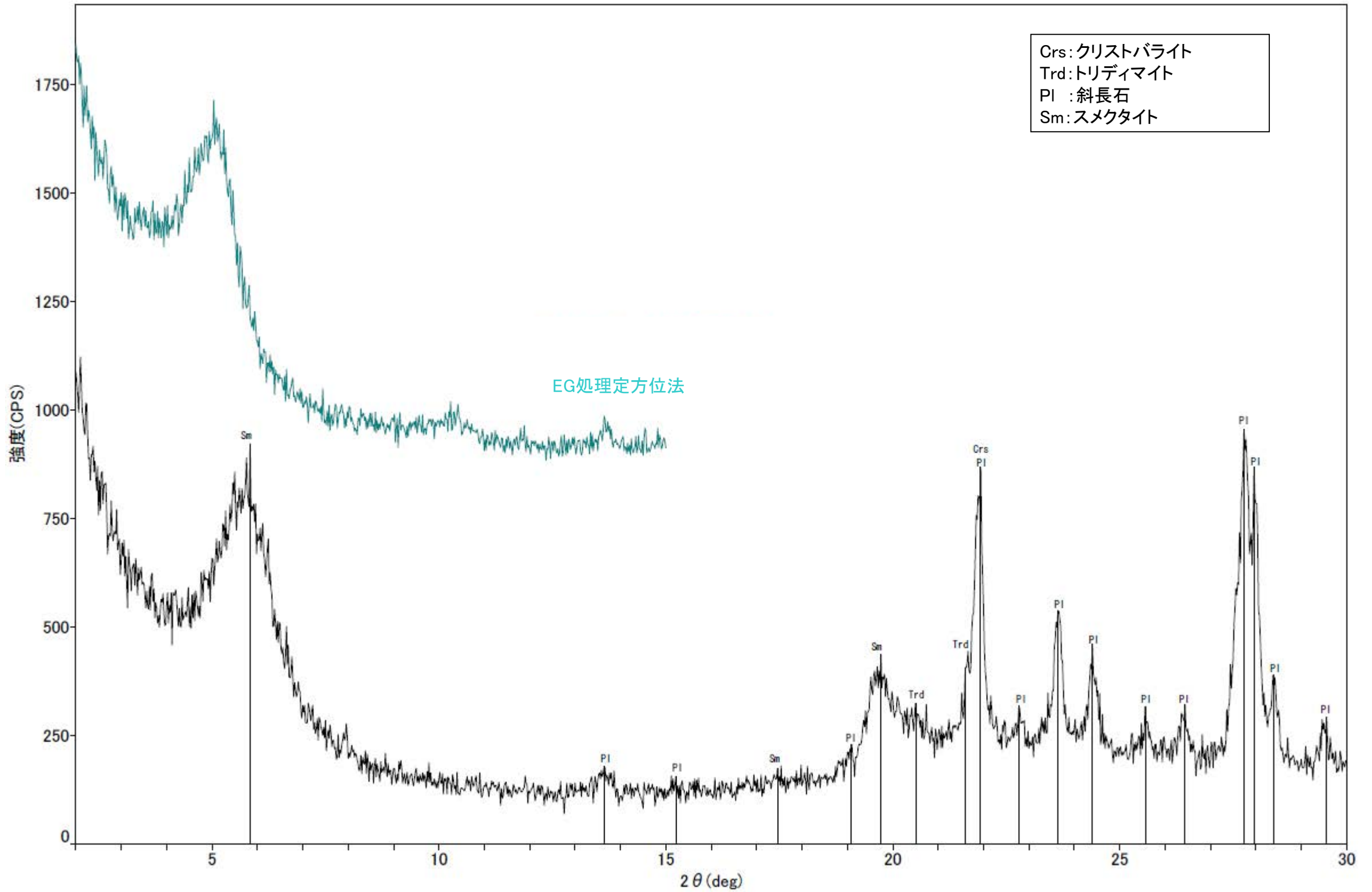
回折チャート



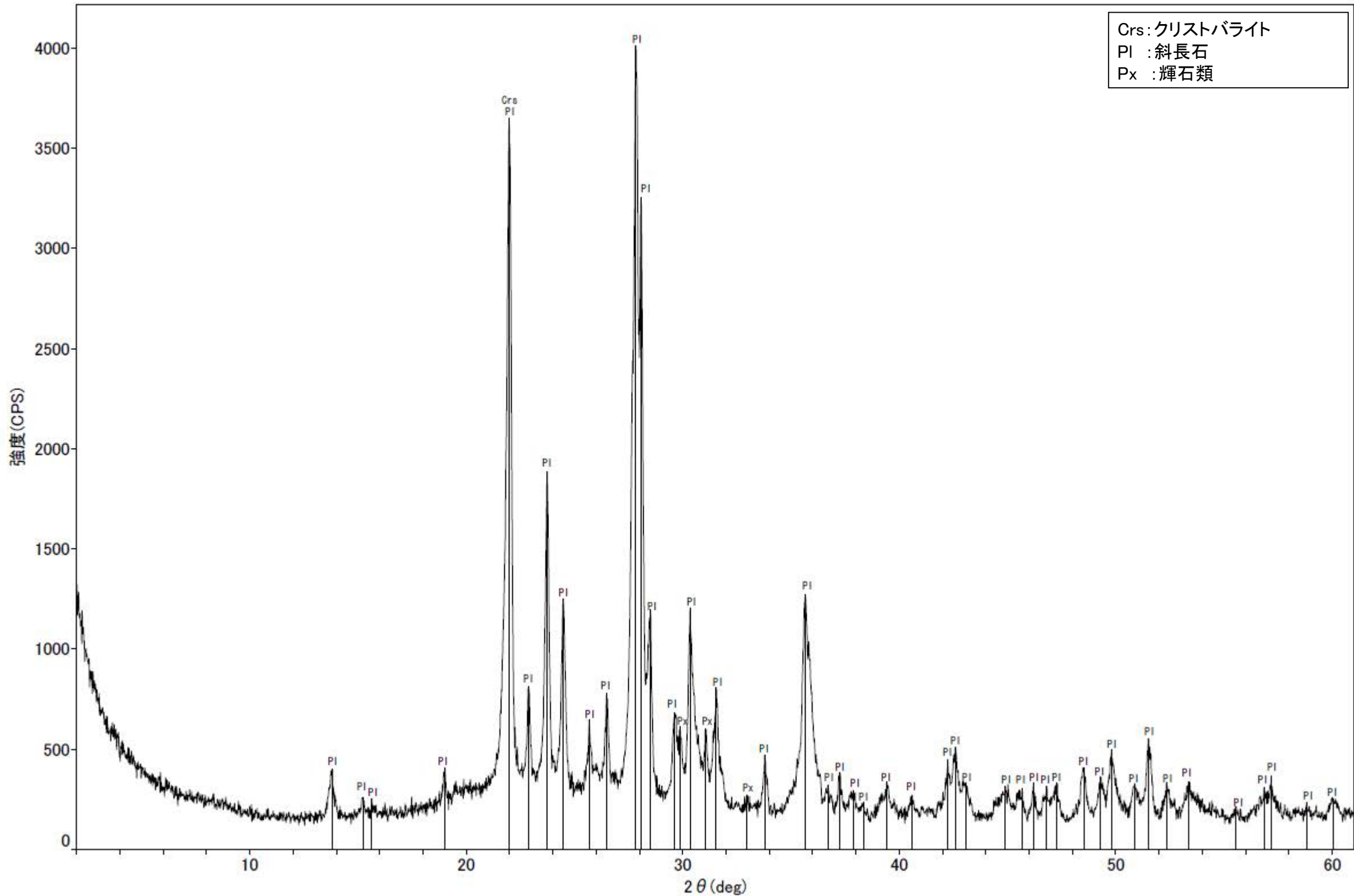
回折チャート
(EG処理も合わせて表示)



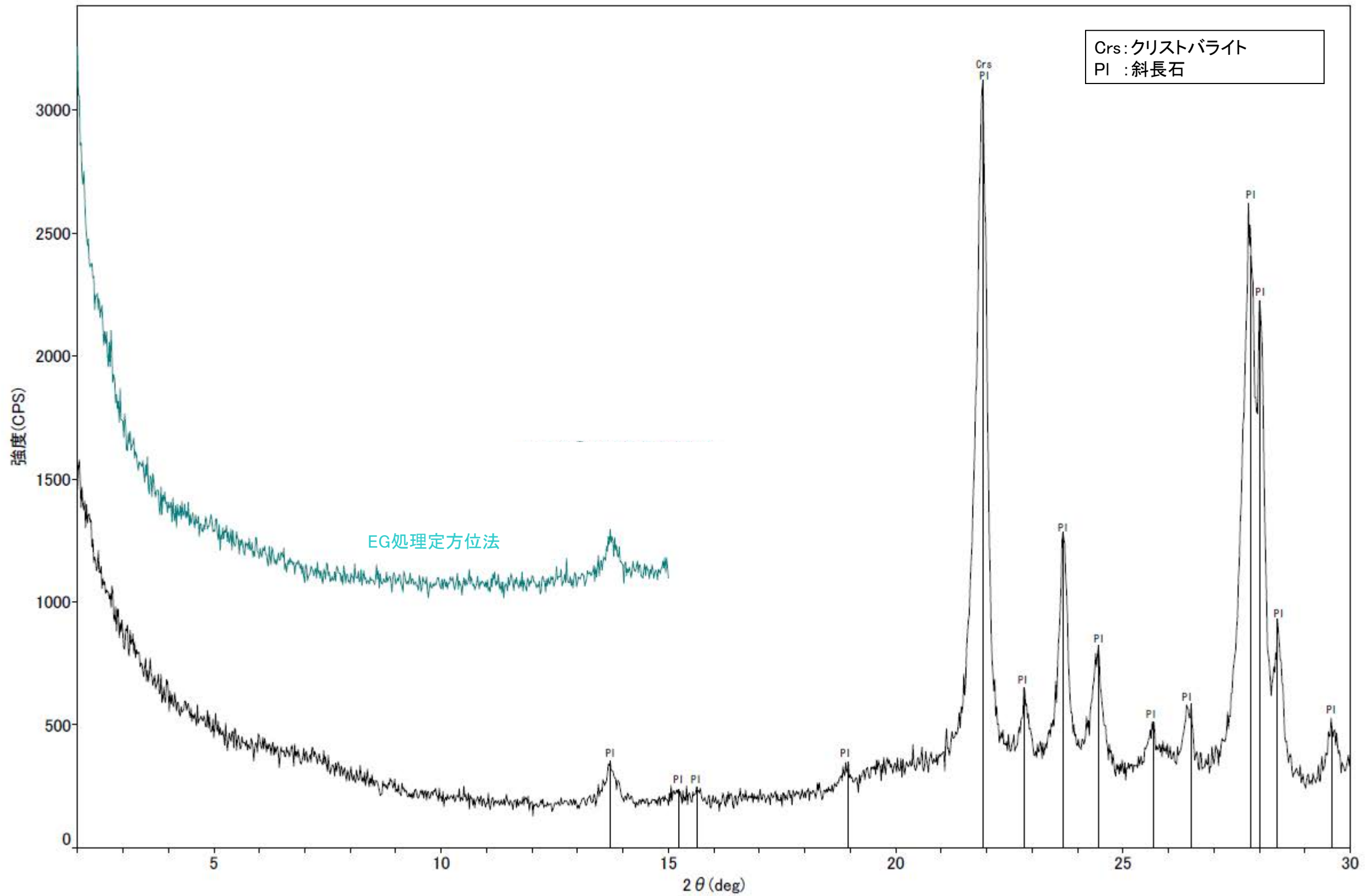
回折チャート



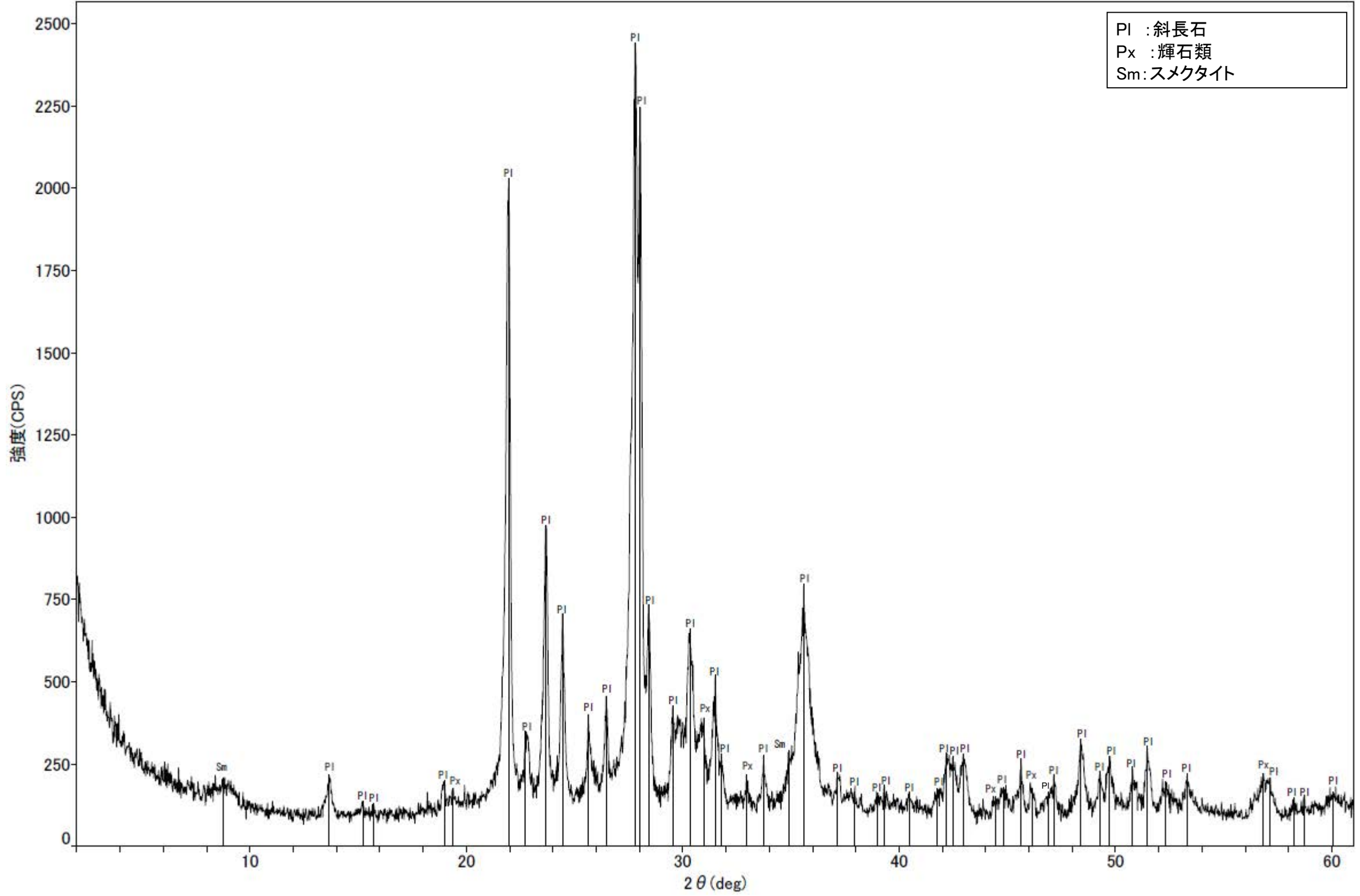
回折チャート
(EG処理も合わせて表示)



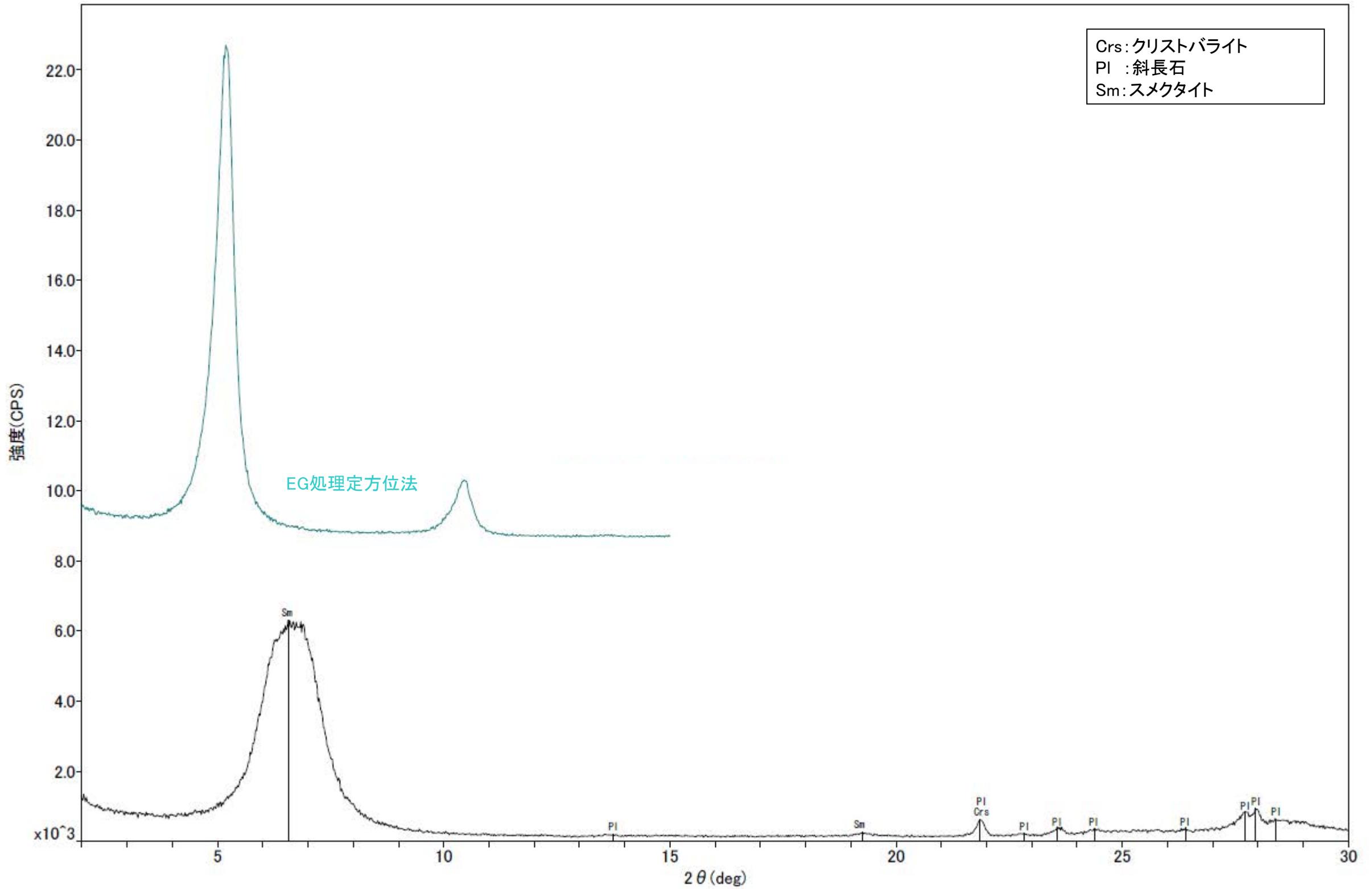
回折チャート



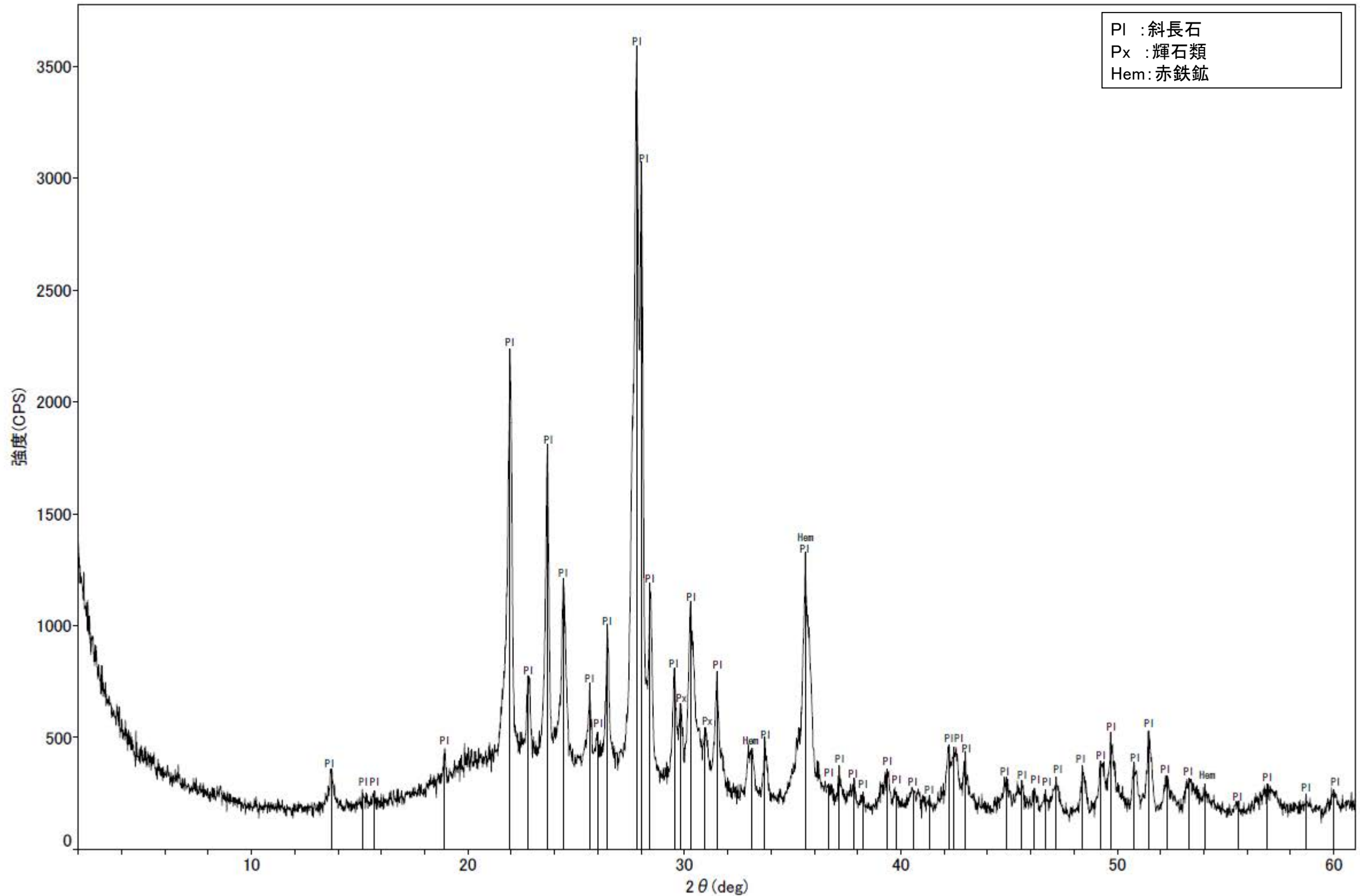
回折チャート
(EG処理も合わせて表示)



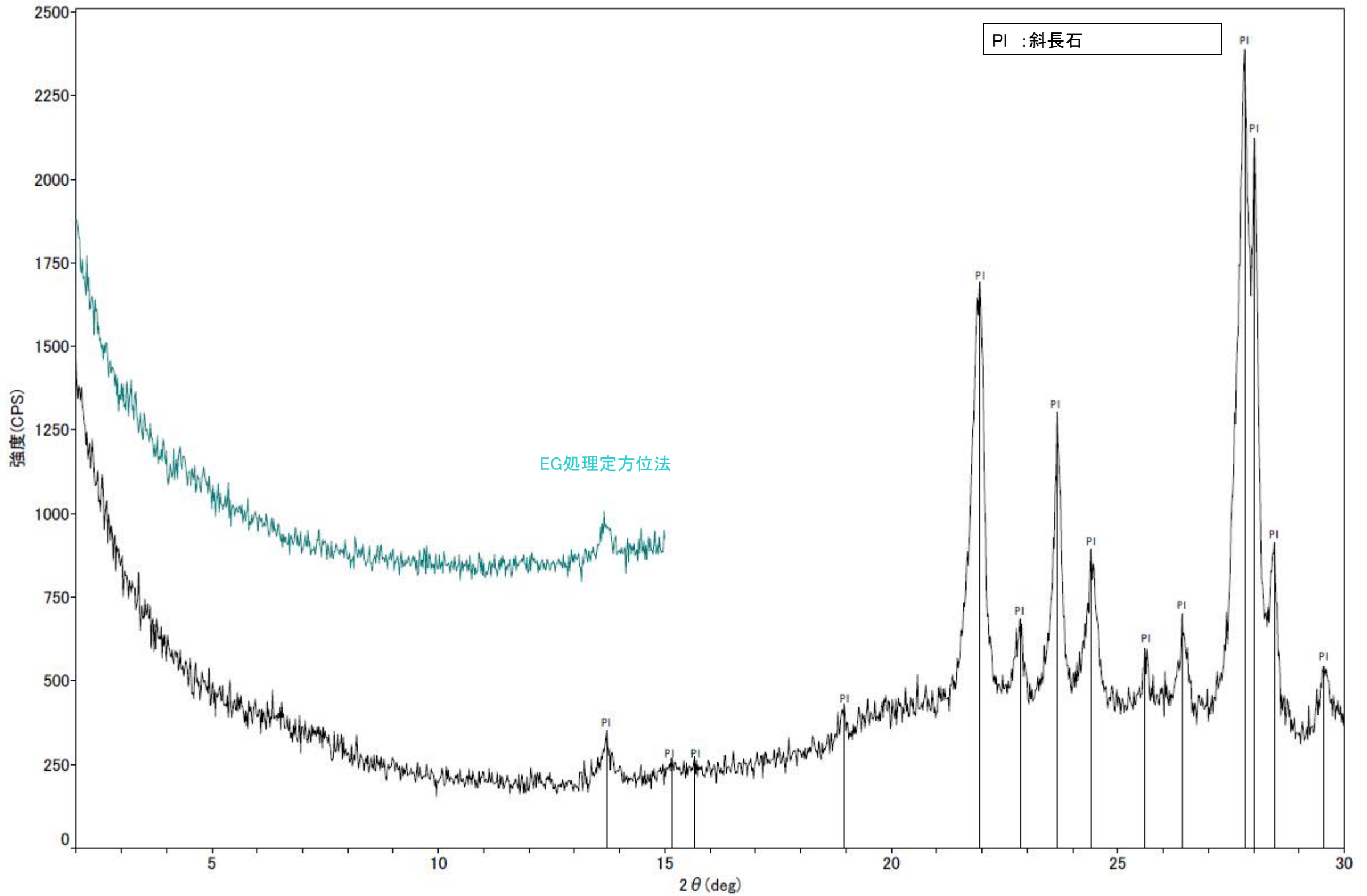
回折チャート



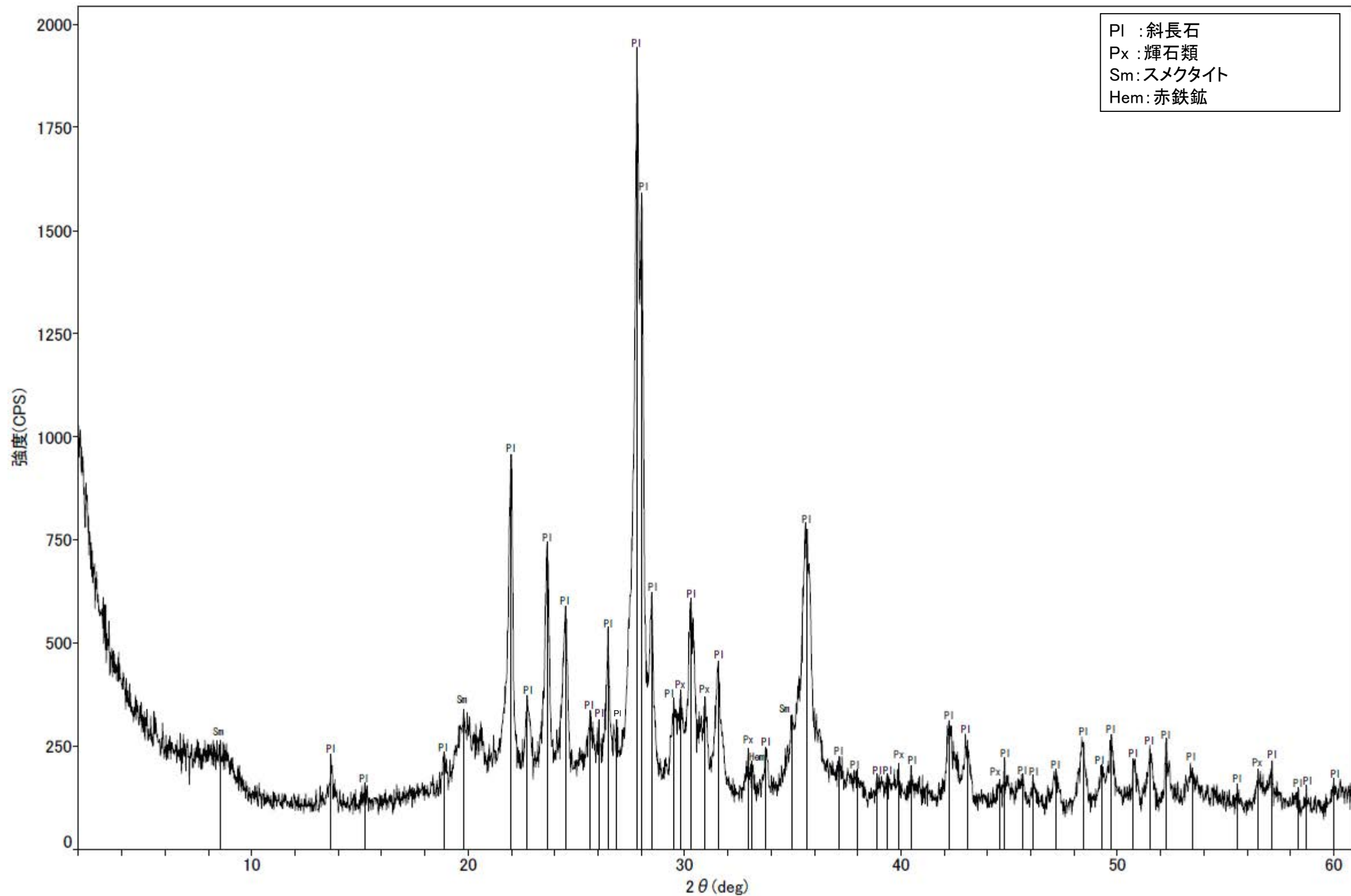
回折チャート
(EG処理も合わせて表示)



回折チャート



回折チャート
(EG処理も合わせて表示)



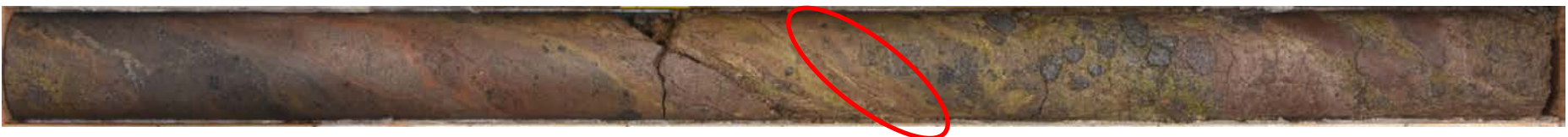
回折チャート

参考：試料採取位置(粘土状破碎部(海岸部)①)

○ 試料採取位置

a. G-1.5-80孔 深度77.85m付近

(深度) 77.3 77.5 77.7 77.9 78.1 78.3 (m)



b. H-1.1孔 深度103.62m付近

(深度) 103.0 103.2 103.4 103.6 103.8 104.0 (m)



(単ニコル) 上

(直交ニコル) 上



1cm

薄片写真(H-1.1_90R)

c. H-1.1-75孔 深度54.10m付近

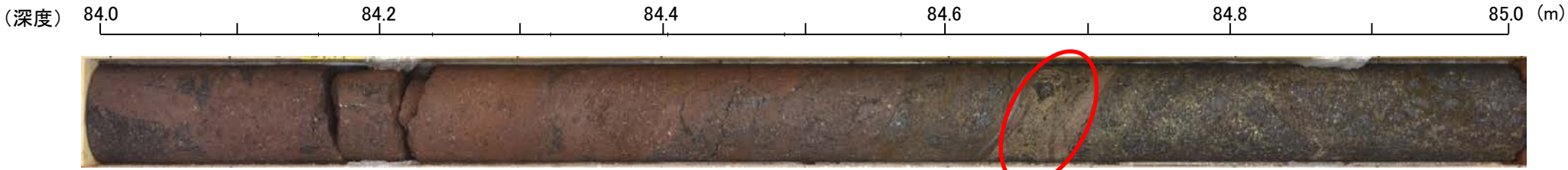
(深度) 54.0 54.2 54.4 54.6 54.8 55.0 (m)



参考：試料採取位置(粘土状破碎部(海岸部)②)

○ 試料採取位置

d. G-1.9-27孔 深度84.70m付近



e. G-1.5-35孔 深度40.08m付近



f. H-2.3-50孔 深度50.00m付近



g. H-1.5-40孔 深度43.82m付近



参考：試料採取位置(粘土状破碎部(海岸部)③)

○ 試料採取位置

h. H- -0.5孔 深度50.21m付近



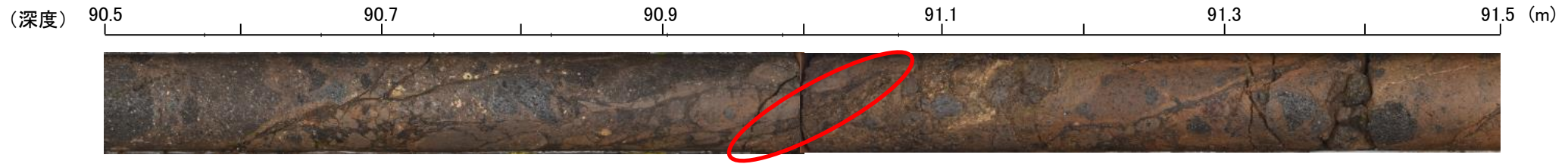
i. H- -1.2孔 深度27.15m付近



j. H- -1.9孔 深度25.05m付近



k. H- -3.0-65孔 深度91.04m付近



参考：試料採取位置(粘土状破碎部(海岸部)④)

○ 試料採取位置

v. H-0.2-60孔 深度84.36m付近

(深度) 84.0 84.2 84.4 84.6 84.8 85.0 (m)



w. H-0.2-75孔 深度165.85m付近

(深度) 165.0 165.2 165.4 165.6 165.8 166.0 (m)



x. H- -2.6孔 深度13.08m付近

(深度) 13.0 13.2 13.4 13.6 13.8 14.0 (m)



y. H- -3.0-45孔 深度32.84m付近

(深度) 32.0 32.2 32.4 32.6 32.8 33.0 (m)



参考：試料採取位置(粘土状破碎部(海岸部)⑤)

○ 試料採取位置

z. H' -0.9-50孔 深度32.94m付近

(深度) 32.0 32.2 32.4 32.6 32.8 33.0 (m)



α. H- -1.80孔 深度61.84m付近

(深度) 61.0 61.2 61.4 61.6 61.8 62.0 (m)



β. H- -2.18孔 深度59.82m付近

(深度) 59.0 59.2 59.4 59.6 59.8 60.0 (m)



γ. H- -3.0-75孔 深度42.57m付近

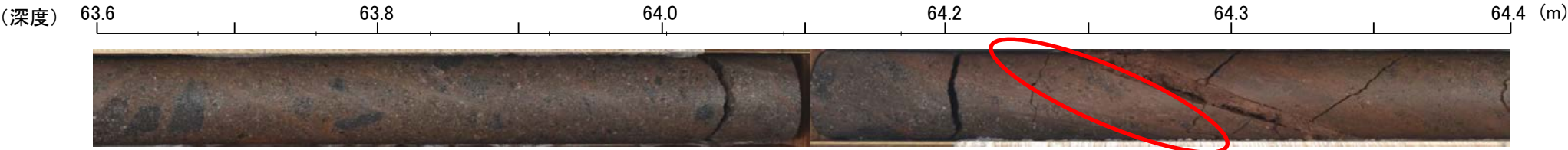
(深度) 42.0 42.2 42.4 42.6 42.8 43.0 (m)



参考：試料採取位置（固結した破碎部（海岸部）①）

○ 試料採取位置

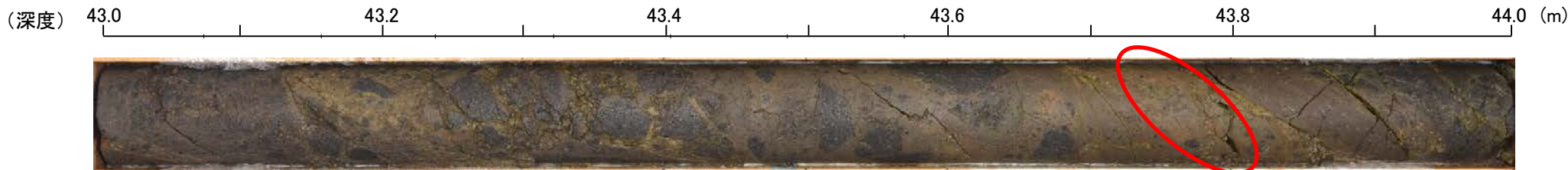
C. H-1.1-80孔 深度64.24m付近



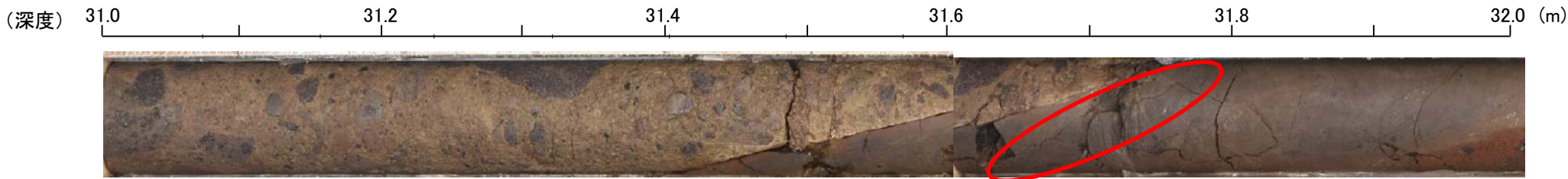
M. H-2.3-25孔 深度27.19m付近



N. H-1.5-40孔 深度43.78m付近



O. H- -0.3-80孔 深度31.78m付近



参考：試料採取位置（固結した破砕部（海岸部）②）

○ 試料採取位置

P. H- -1.2孔 深度27.21m付近

(深度) 26.6 26.8 27.0 27.2 27.4 27.6 (m)



Q. H- -1.5孔 深度74.32m付近

(深度) 74.0 74.2 74.4 74.6 74.8 75.0 (m)



R. H- -3.0-45孔 深度70.43m付近

(深度) 70.0 70.2 70.4 70.6 70.8 71.0 (m)



参考：試料採取位置（固結した破砕部（海岸部）③）

○ 試料採取位置

W. H-0.2-75孔 深度116.78m付近

(深度) 116.0 116.2 116.4 116.6 116.8 117.0 (m)



X. H- -0.3-80孔 深度130.80m付近

(深度) 130.0 130.2 130.4 130.6 130.8 131.0 (m)



Y. H- -2.6孔 深度13.08m付近

(深度) 13.0 13.2 13.4 13.6 13.8 14.0 (m)



Z. H- -3.0-50孔 深度33.17m付近

(深度) 33.0 33.2 33.4 33.6 33.8 34.0 (m)



参考：試料採取位置（固結した破砕部（海岸部）④）

○ 試料採取位置

ア. G-1.5-35孔 深度65.19m付近

(深度) 65.0 65.2 65.4 65.6 65.8 66.0 (m)



イ. H- -1.3孔 深度108.89m付近

(深度) 108.0 108.2 108.4 108.6 108.8 109.0 (m)



ウ. H- -2.18孔 深度59.82m付近

(深度) 59.0 59.2 59.4 59.6 59.8 60.0 (m)



エ. H- -3.0-65孔 深度38.34m付近

(深度) 38.0 38.2 38.4 38.6 38.8 39.0 (m)



補足資料2. 5－1

運動方向調査結果

(1) 最新面及び変位センスの認定方法について

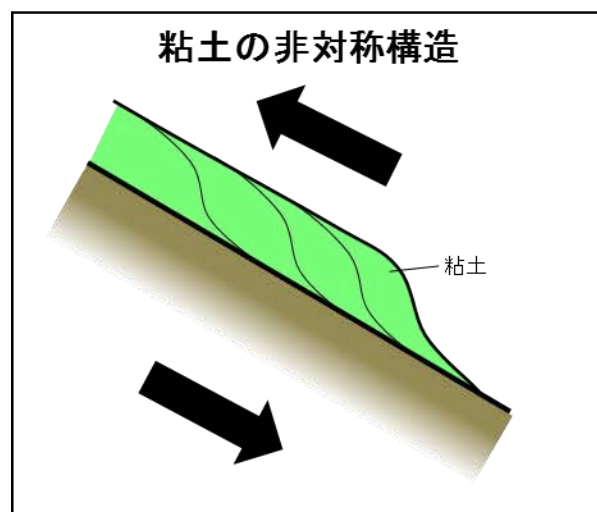
最新面及び変位センスの認定方法について

a. ボーリングコア観察・BHTV観察・CT画像観察

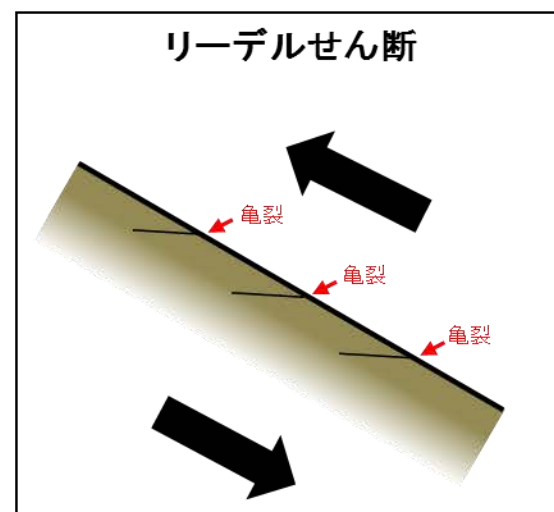
・他の構造に切られていない、相対的に直線性・連続性のよいせん断面を抽出。

b. 条線観察

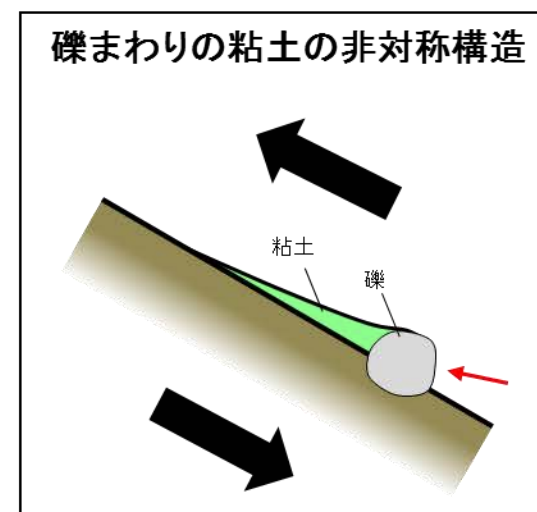
- ・条線方向を観察。
- ・複数の条線が確認される場合は、**条線同士の新旧関係について検討**。
- ・下記に示すリーデルせん断、礫まわりの粘土の非対称構造等から**変位センスを認定**。



・すべり面の摩擦による抵抗を受けたと考えられる引きずられた構造を抽出。
・粘土が引きずられた方向を変位方向とした。



・すべり面に対して、わずかに斜交し、魚のうろこのように分布する亀裂を抽出。亀裂の先端表面では透きとおって見える。
・すべり面上の条線に沿ってひっかかる方向を変位方向とした。

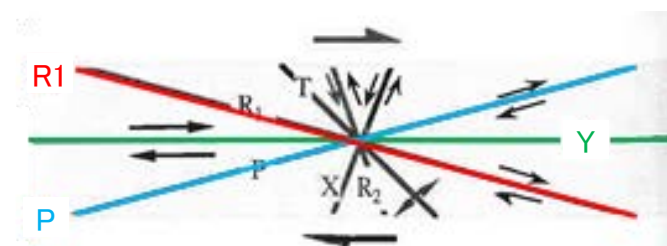


・すべり面に対して鋭角に立つ礫の表面が観察され、礫の背後に向かって、粘土が薄く引きのばされたような形状を抽出。
・粘土が薄く引きのばされた方向を変位方向とした。



c. 薄片観察

- ・条線観察で確認した条線方向で薄片を作成。
- ・他の構造に切られていない、相対的に直線性・連続性のよいせん断面を抽出し、**最新面を認定**。
- ・狩野・村田(1998)によるP面・R1面から**変位センスを認定**。



せん断センスを示す複合面構造
(狩野・村田, 1998に加筆)

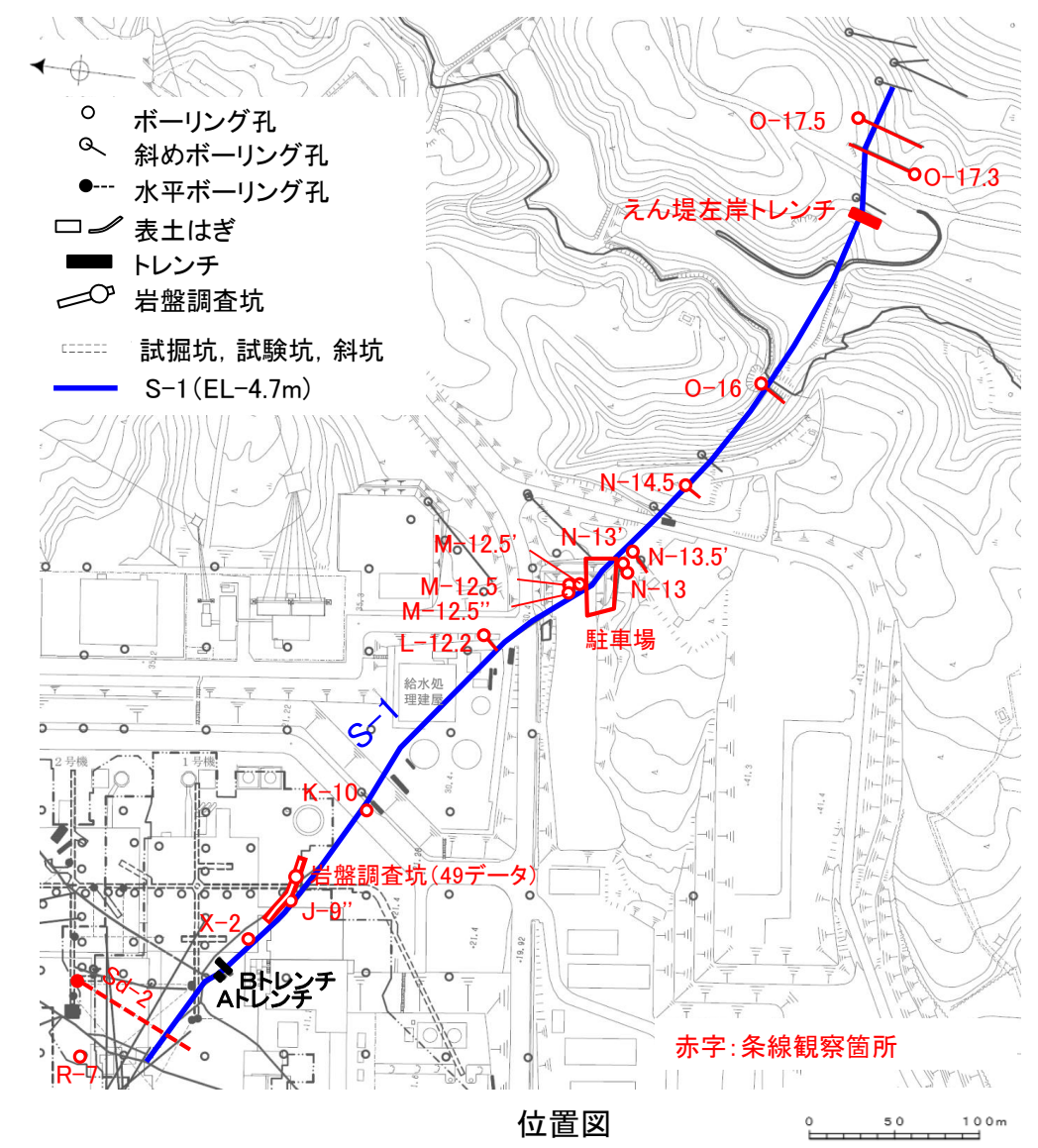
凡例

—	Y面
—	R1面
—	P面
	変位方向

(2) S-1の運動方向調査結果

S-1の条線観察結果(岩盤調査坑以外)

試料名		走向/傾斜 (走向は真北)	条線の レイク※1	変位センス
ボーリングR-7孔 [深度153.35m]	上盤側	N62° W/70° NE	55° R	右横ずれ逆断層
ボーリングSd-2孔(水平) [深度62.71m]	下盤側	N62° W/70° NE	63° R	右横ずれ逆断層
ボーリングX-2孔 [深度37.38m]	下盤側	N40° W/78° NE	30° R	(不明)
			80° R	(不明)
ボーリングJ-9"孔 [深度29.33m]	上盤側	N83° E/73° NW	50° R	(不明)
ボーリングK-10孔 [深度16.95m]	下盤側	N69° W/66° NE	40° R	(不明)
ボーリングL-12.2孔 [深度41.93m]	上盤側	N38° W/79° NE	40° R	右横ずれ逆断層
ボーリングM-12.5孔 [深度63.43m]	下盤側	N62° W/72° NE	60° R	(不明)
			45° R	(不明)
ボーリングM-12.5'孔 [深度51.65m]	上盤側	N51° W/76° NE	40° R	右横ずれ逆断層
ボーリングM-12.5"孔 [深度50.00m]	上盤側	N51° W/79° NE	65° R	(不明)
駐車場底盤ボーリングNo.1孔	下盤側	N50° W/77° NE	20° R	(不明)
			40° R	(不明)
駐車場底盤ボーリングNo.2孔	下盤側	N46° W/74° NE	70° R	(不明)
			20° R	(不明)
	上盤側		105° R	(不明)
	70° R		(不明)	
ボーリングN-13孔 [深度11.10m]	下盤側	N50° W/75° NE	50° R	(不明)
ボーリングN-13'孔 [深度23.39m]	上盤側	N52° W/69° NE	60° R	(不明)
ボーリングN-13.5'孔 [深度10.90m]	上盤側	N87° E/73° NW	90°	逆断層
ボーリングN-14.5孔 [深度21.31m]	下盤側	N55° W/84° NE	56° R	(不明)
			26° R	(不明)
ボーリングO-16孔 [深度20.36m]	下盤側	N63° W/87° NE	51° R	(不明)
えん堤左岸トレンチ底盤	下盤側	N80° W/86° NE	90° R	(不明)
			110° R	(不明)
ボーリングO-17.3孔 [深度41.82m]	下盤側	N75° W/78° NE	28° R	(不明)
			63° R	右横ずれ逆断層
ボーリングO-17.5孔 [深度25.29m]	下盤側	N76° W/80° NE	40° R	(不明)



※1 上盤側で確認したレイクは下盤側に換算して示す。

S-1の条線観察結果(岩盤調査坑)

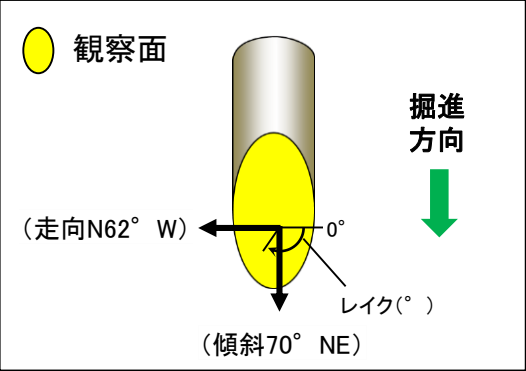
試料名		走向/傾斜 (走向は真北)	条線の レイク※1	変位センス (条線観察)
ボーリングNo.6V孔(鉛直)	下盤側	N61° W/77° NE	40° R	右横ずれ逆断層
	上盤側		75° R	(不明)
ボーリングNo.7V孔(鉛直)	上盤側	N62° W/68° NE	40° R	右横ずれ逆断層
ボーリングNo.8V孔(鉛直)	下盤側	N59° W/76° NE	35° R	右横ずれ逆断層
	上盤側		50° R	(不明)
ボーリングNo.10V孔(鉛直)	下盤側	N59° W/76° NE	55° R	(不明)
	上盤側		25° R	(不明)
ボーリングNo.10V孔(鉛直)	下盤側	N61° W/74° NE	85° R	右横ずれ逆断層
ボーリングNo.11V孔(鉛直)	下盤側	N52° W/73° NE	30° R	(不明)
	上盤側		30° R	右横ずれ逆断層
ボーリングNo.12V孔(鉛直)	下盤側	N56° W/71° NE	35° R	(不明)
ボーリングNo.13V孔(鉛直)	下盤側	N59° W/74° NE	40° R	(不明)
	上盤側		40° R	(不明)
ボーリングNo.15V孔(鉛直)	下盤側	N58° W/74° NE	60° R	(不明)
	上盤側		35° R	(不明)
ボーリングNo.16V孔(鉛直)	下盤側	N60° W/73° NE	65° R	(不明)
	上盤側		70° R	右横ずれ逆断層
ボーリングNo.17V孔(鉛直)	下盤側	N59° W/74° NE	35° R	右横ずれ逆断層
ボーリングNo.13-2孔(水平)	下盤側	N55° W/70° NE	70° R	右横ずれ逆断層
			35° R	(不明)
ボーリングNo.14孔(水平)	下盤側	N68° W/70° NE	30° R	(不明)
			65° R	(不明)
ボーリングNo.18-1孔(水平)	下盤側	N50° W/72° NE	80° R	右横ずれ逆断層
	上盤側		65° R	(不明)
ボーリングNo.19孔(水平)	下盤側	N52° W/74° NE	20° R	右横ずれ逆断層
	上盤側		25° R	(不明)

※1 上盤側で確認したレイクは下盤側に換算して示す。

* ボーリング孔名及びブロック名の「No.○」は、切羽の番号を示す。南東側がNo.1切羽で北西側のNo.30切羽まで約1m間隔。
水平ボーリング及びブロックは切羽から掘進・採取し、鉛直ボーリングは底盤から掘進した。

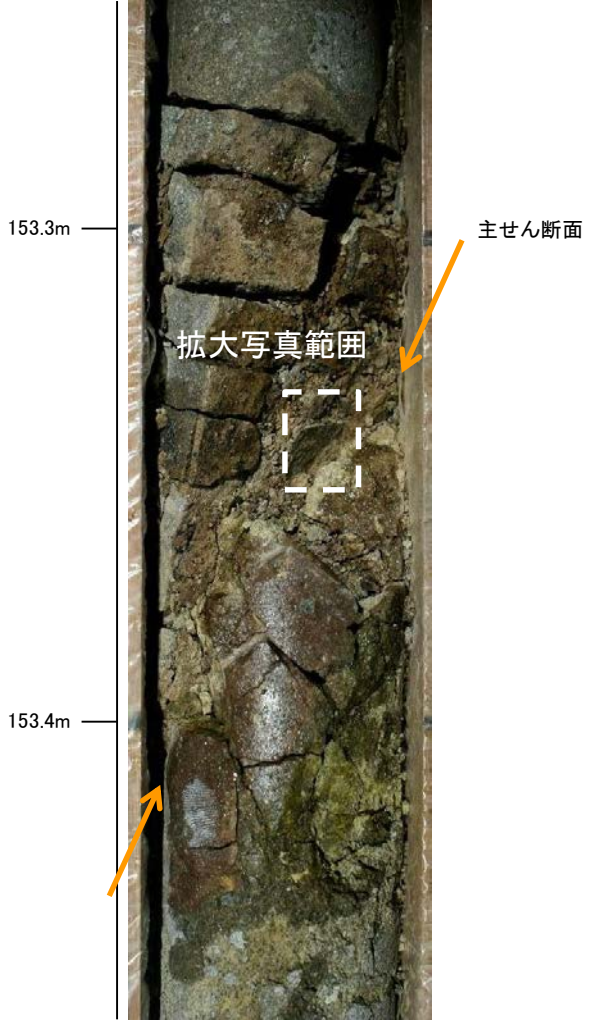
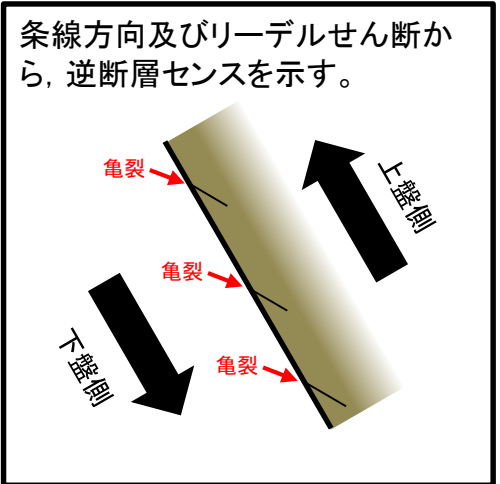
試料名		走向/傾斜 (走向は真北)	条線の レイク※1	変位センス (条線観察)
ボーリングNo.20孔(1)(水平)	下盤側	N56° W/73° NE	60° R	(不明)
ボーリングNo.20孔(2)(水平)	下盤側	N56° W/73° NE	25° R	(不明)
			40° R	右横ずれ逆断層
ボーリングNo.22-1孔(水平)	下盤側	N62° W/72° NE	40° R	(不明)
	上盤側		50° R	右横ずれ逆断層
ボーリングNo.23-1孔(水平)	下盤側	N57° W/72° NE	60° R	(不明)
ボーリングNo.25-1孔(水平)	下盤側	N54° W/78° NE	40° R	(不明)
			60° R	(不明)
ボーリングNo.25-2孔(水平)	下盤側	N54° W/78° NE	40° R	右横ずれ逆断層
ボーリングNo.26-1孔(水平)	下盤側	N56° W/71° NE	25° R	右横ずれ逆断層
			40° R	(不明)
ボーリングNo.27-1孔(水平)	下盤側	N51° W/77° NE	40° R	右横ずれ逆断層
ボーリングNo.27-2孔(水平)	上盤側	N51° W/77° NE	45° R	(不明)
			30° R	(不明)
No.24-2ブロック(1)	下盤側	N61° W/73° NE	35° R	(不明)
			45° R	右横ずれ逆断層
No.24-2ブロック(2)	下盤側	N61° W/73° NE	40° R	右横ずれ逆断層
No.25-2ブロック(1)	下盤側	N54° W/78° NE	40° R	右横ずれ逆断層
No.25-2ブロック(2)	下盤側	N54° W/78° NE	40° R	右横ずれ逆断層
ボーリングT-1孔(水平) [深度3.34m]	下盤側	N60° W/68° NE	25° R	右横ずれ逆断層
ボーリングT-2孔(水平) [深度2.85m]	下盤側	N62° W/65° NE	40° R	(不明)
ボーリングT-3孔(水平) [深度2.55m]	下盤側	N61° W/67° NE	40° R	(不明)
			75° R	(不明)
			18° R	(不明)

条線観察結果 ボーリングR-7孔[深度153.35m](上盤側)

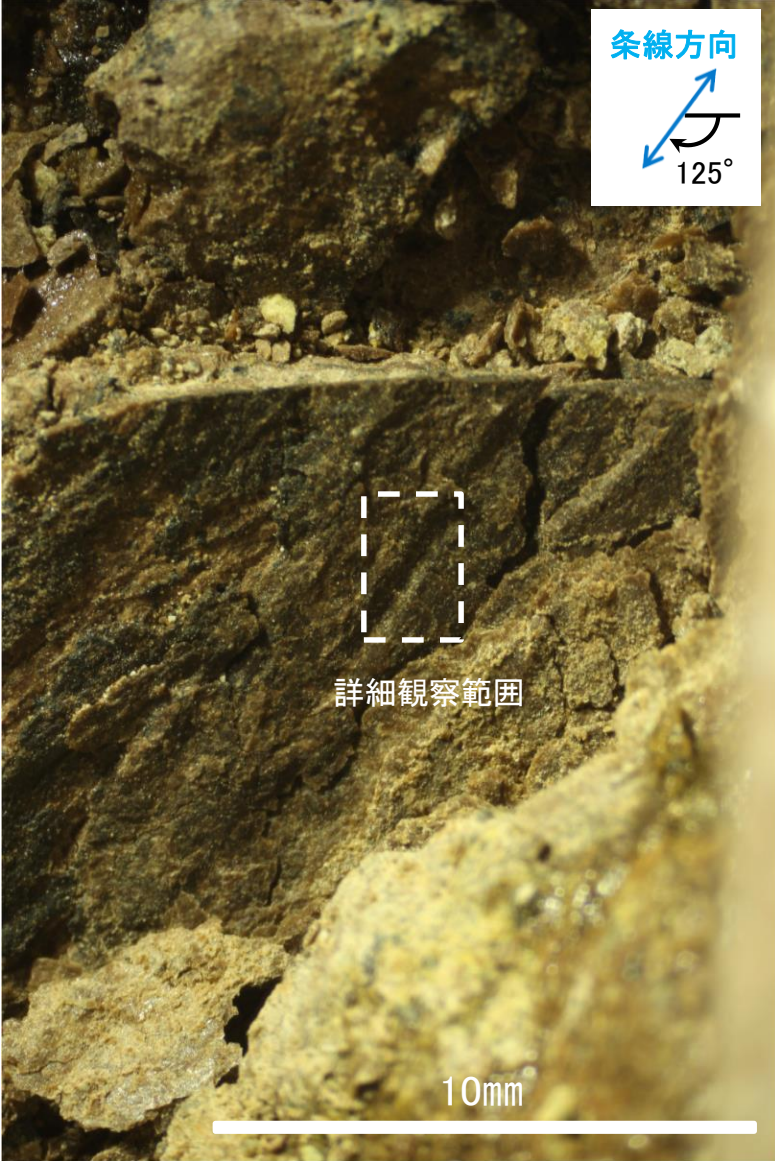


概念図

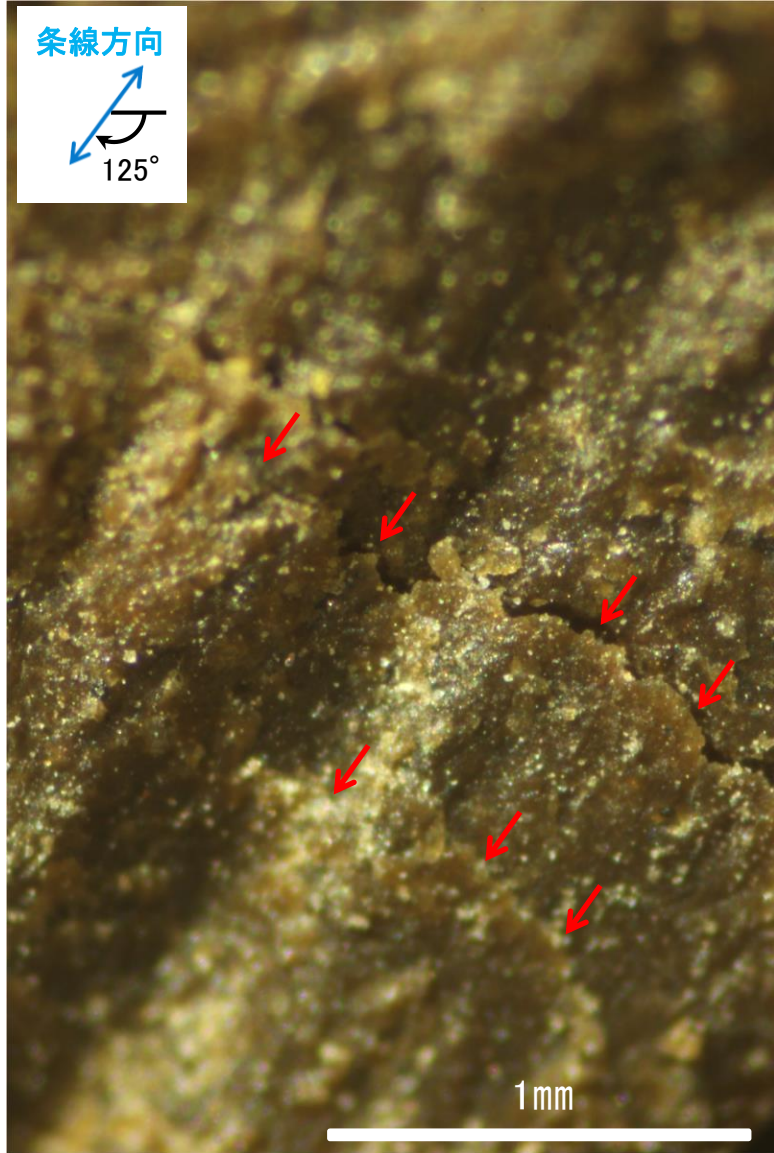
※S-1の走向は基礎掘削底盤の調査結果に基づき N62° Wと仮定した。走向は真北で示す。



コア写真(S-1付近)



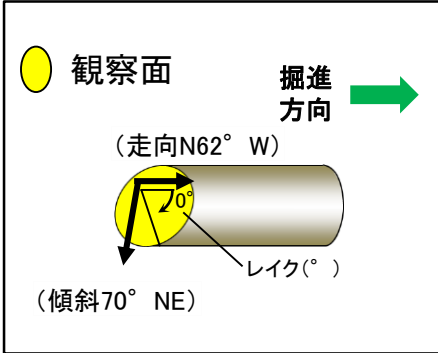
観察面拡大写真



詳細観察写真

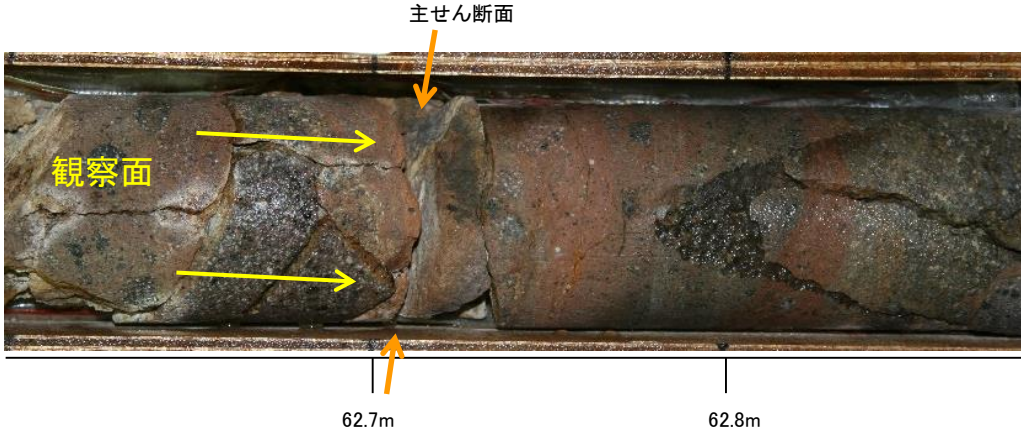
・条線のレイクは55° R(下盤側換算), 変位センスは右横ずれ逆断層センス

条線観察結果 ボーリングSd-2孔[深度62.71m](下盤側)

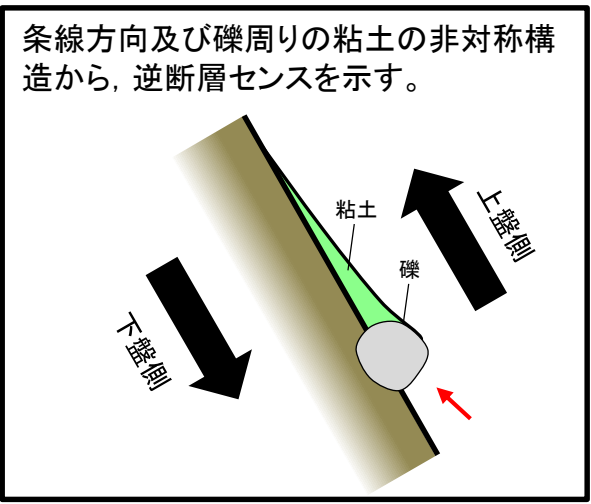


概念図

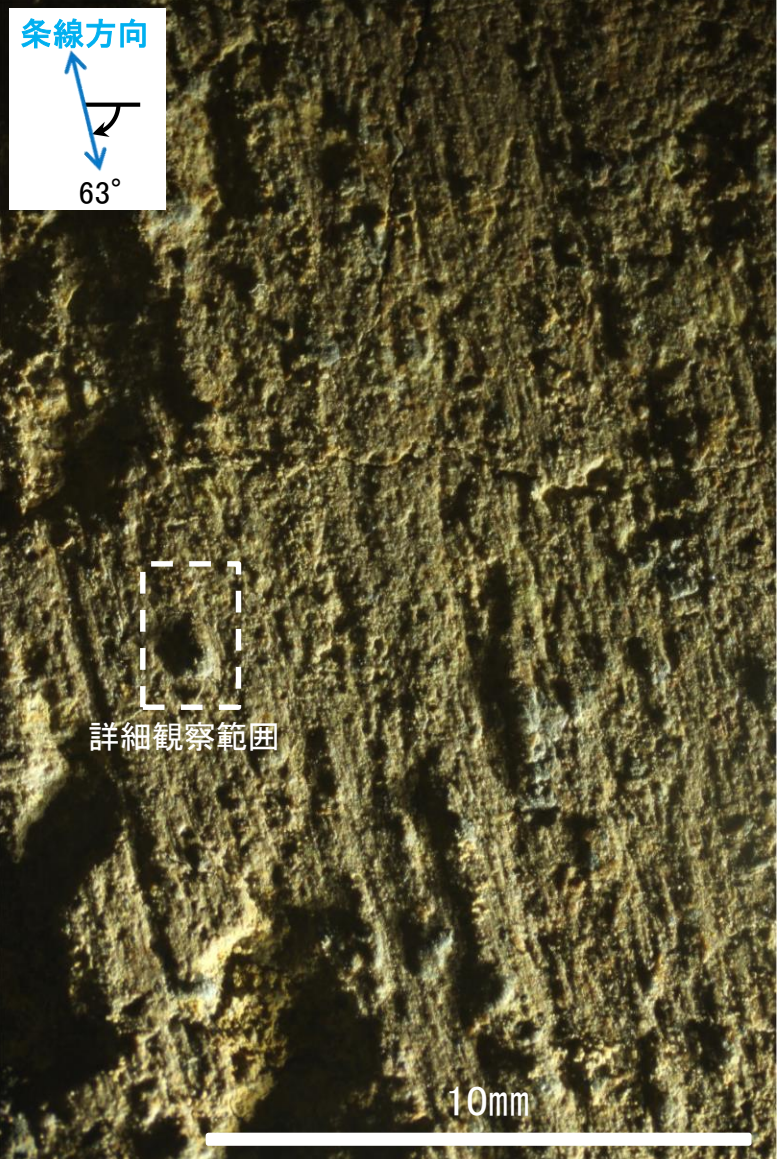
※S-1の走向は基礎掘削底盤の調査結果に基づき N62° Wと仮定した。走向は真北を示す。



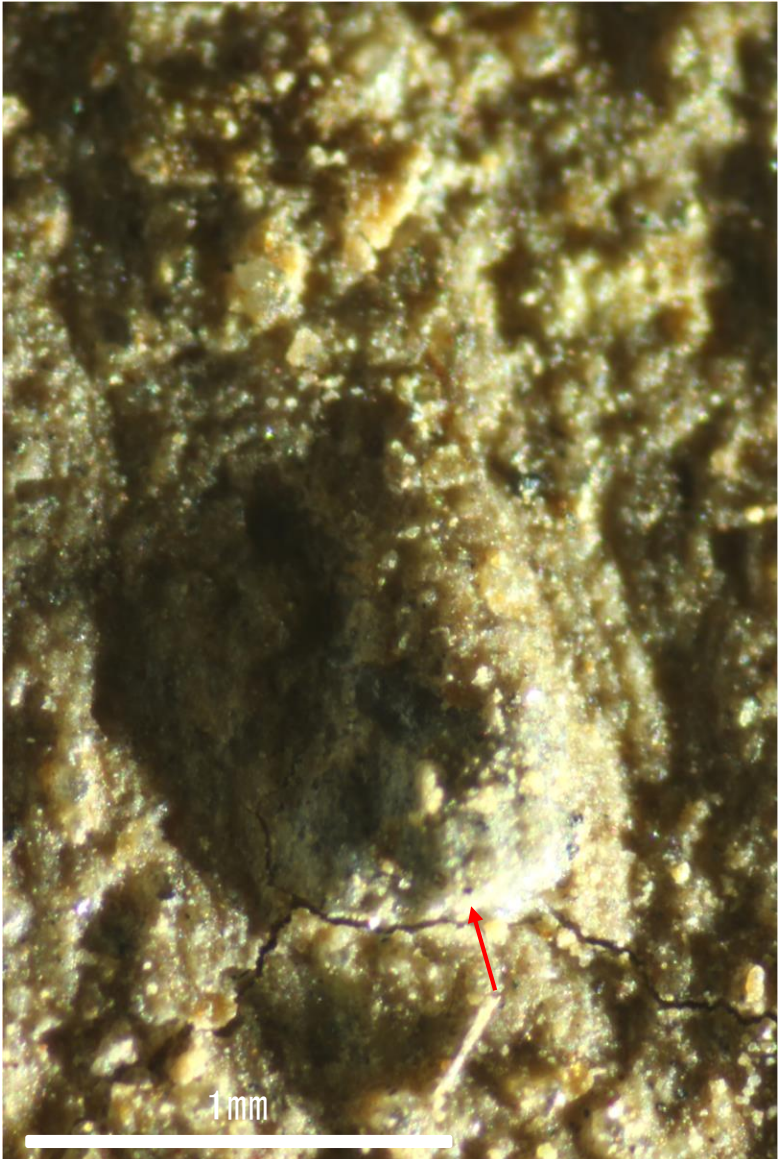
コア写真(S-1付近)



観察面写真



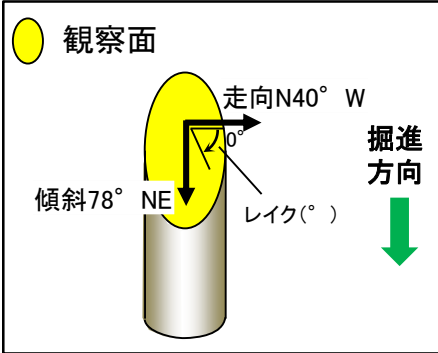
観察面拡大写真



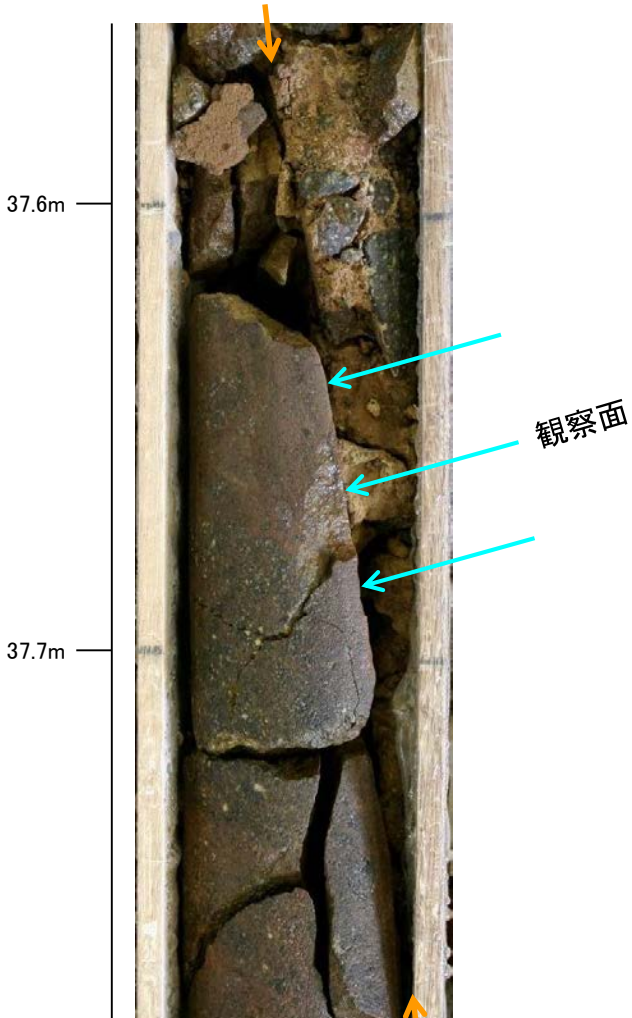
詳細観察写真

・条線のレイクは63° R, 変位センスは右横ずれ逆断層センス

条線観察結果 ボーリングX-2孔[深度37.38m](下盤側)



概念図
※走向は真北で示す。



コア写真



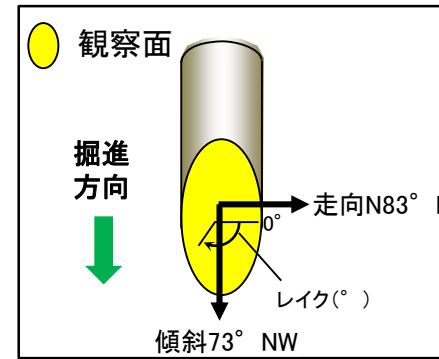
観察面写真



観察面写真(加筆)

人為的な情報(キズ)も含まれているものの、すべりによる条線とした場合、

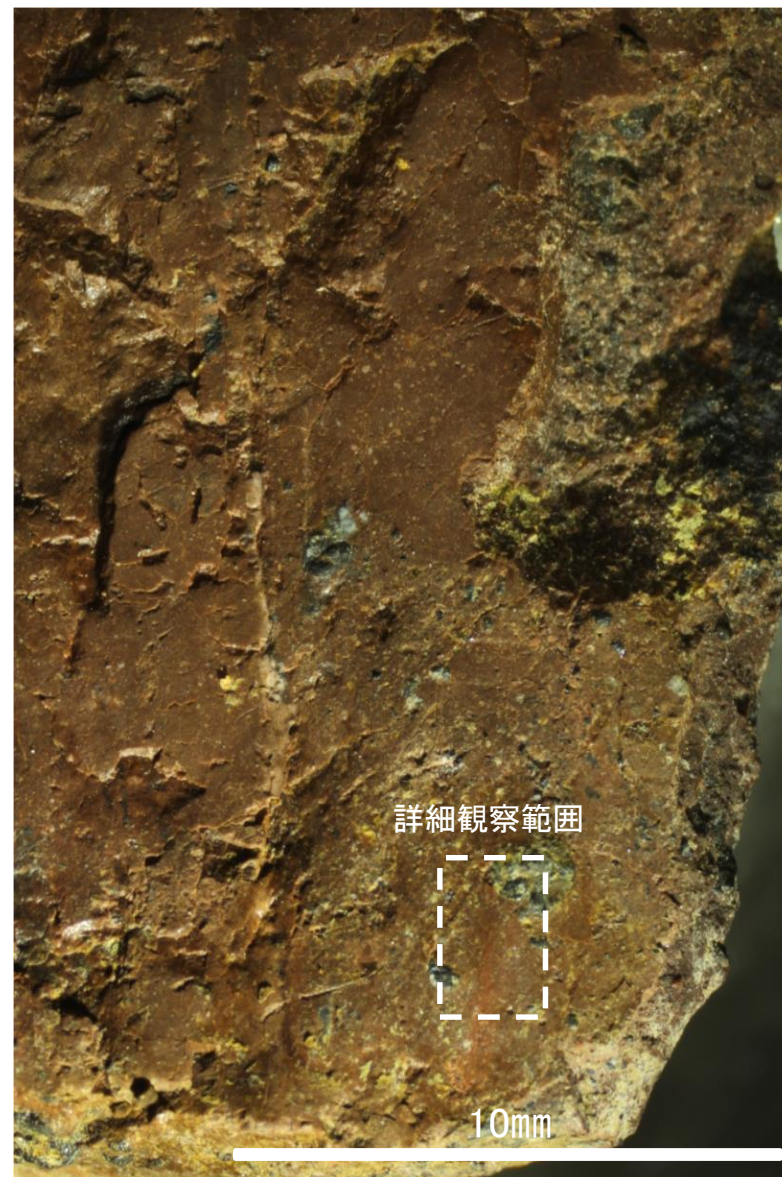
- ・条線①のレイクは80° R, 変位センスは不明
- ・条線②のレイクは30° R, 変位センスは不明



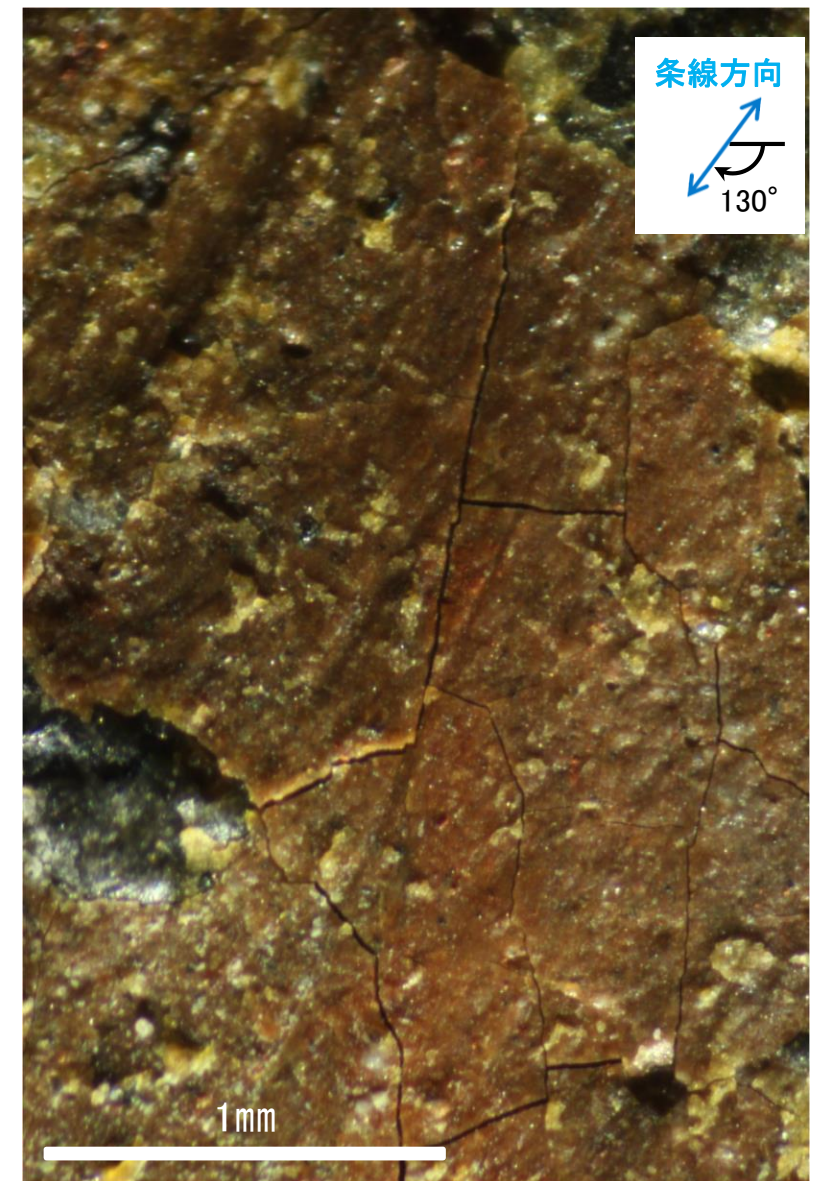
概念図
※走向は真北で示す。



観察面写真

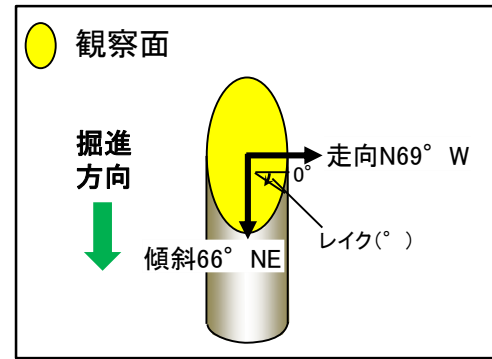


観察面拡大写真

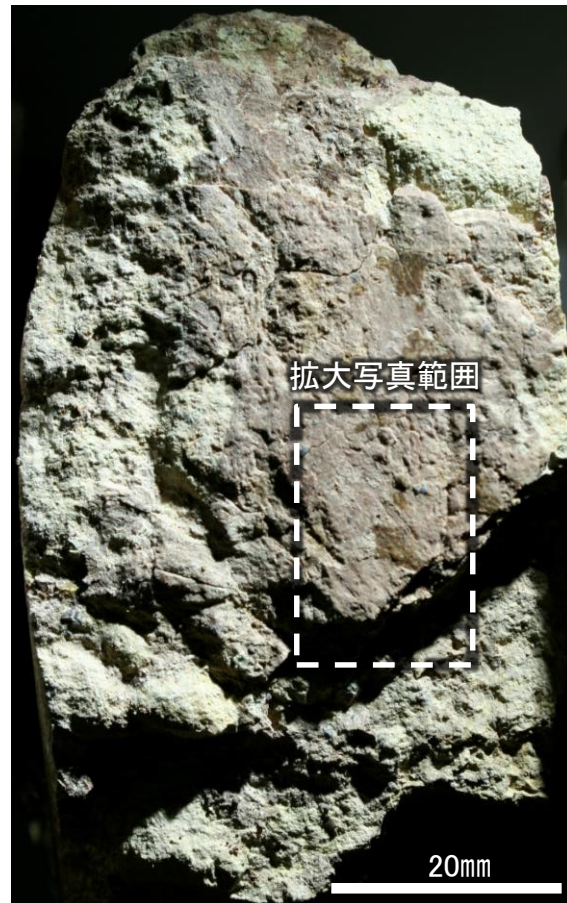


詳細観察写真

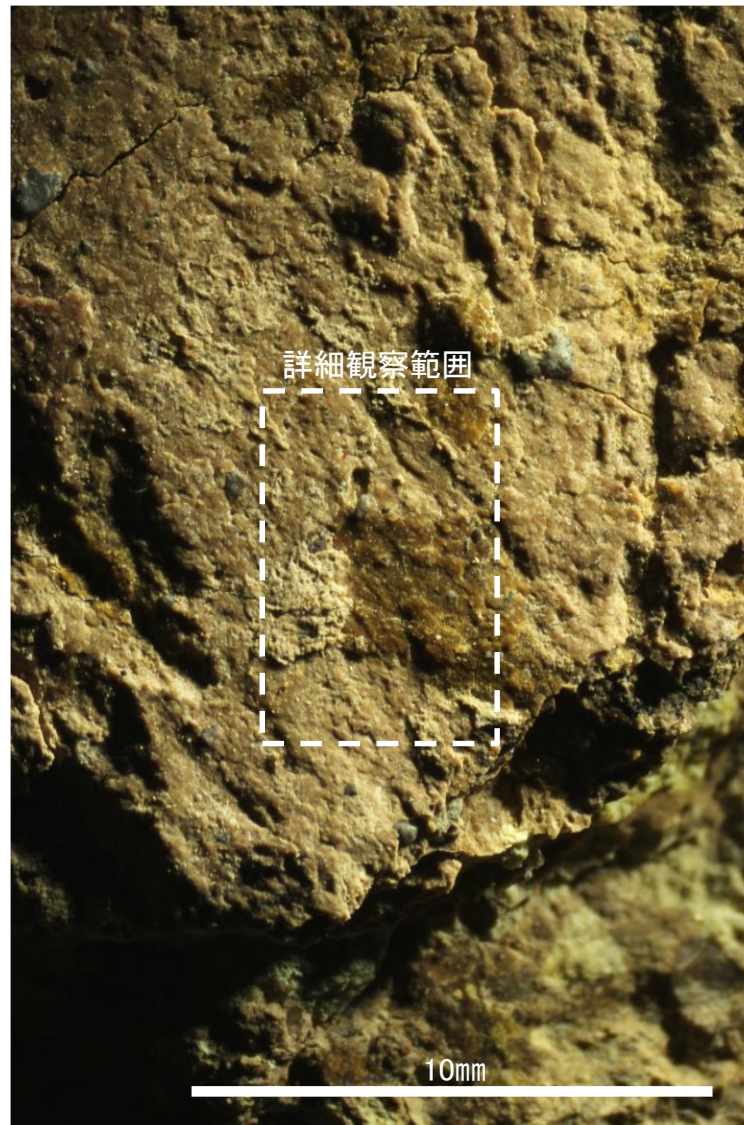
・条線のレイクは50° R(下盤側換算), 変位センスは不明



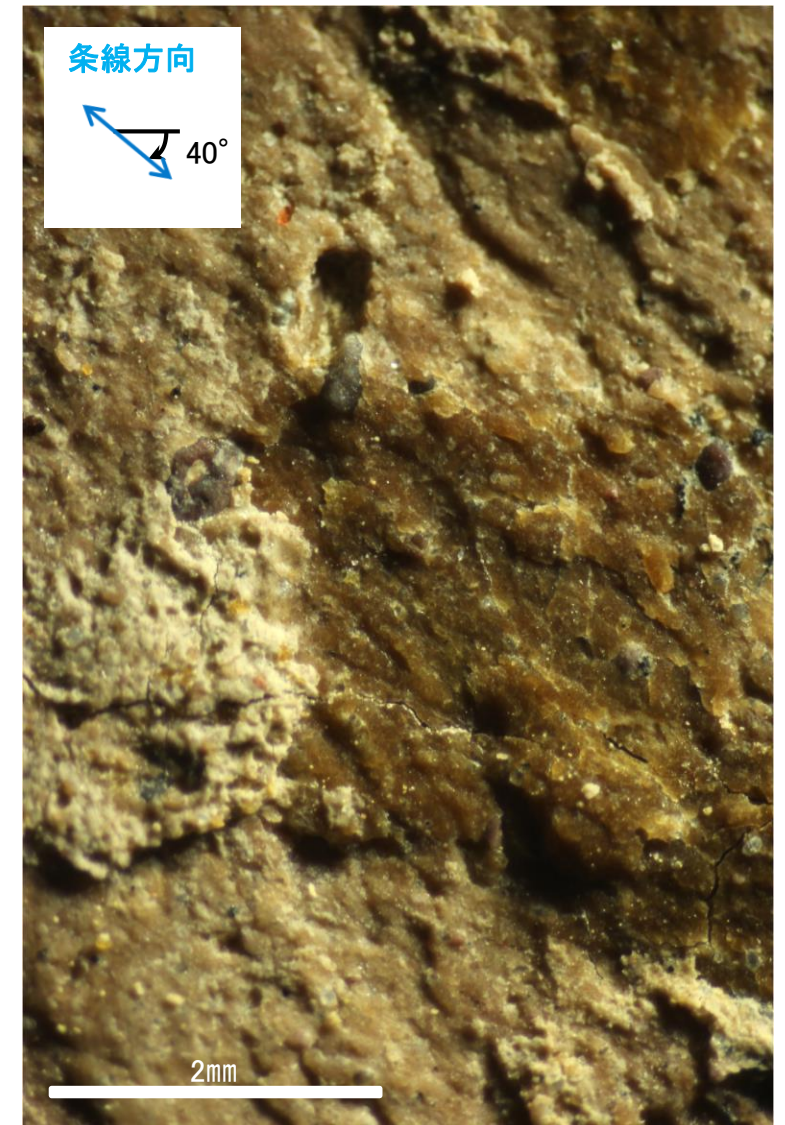
概念図
※走向は真北で示す。



観察面写真



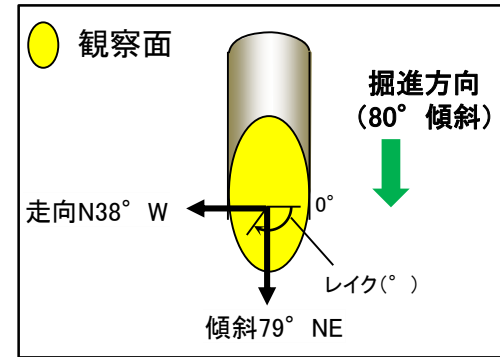
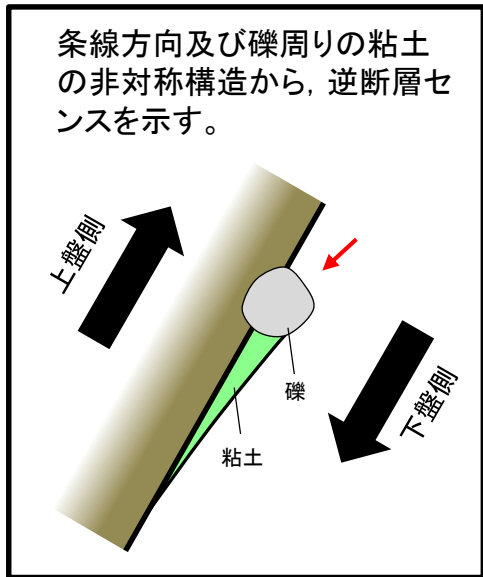
観察面拡大写真



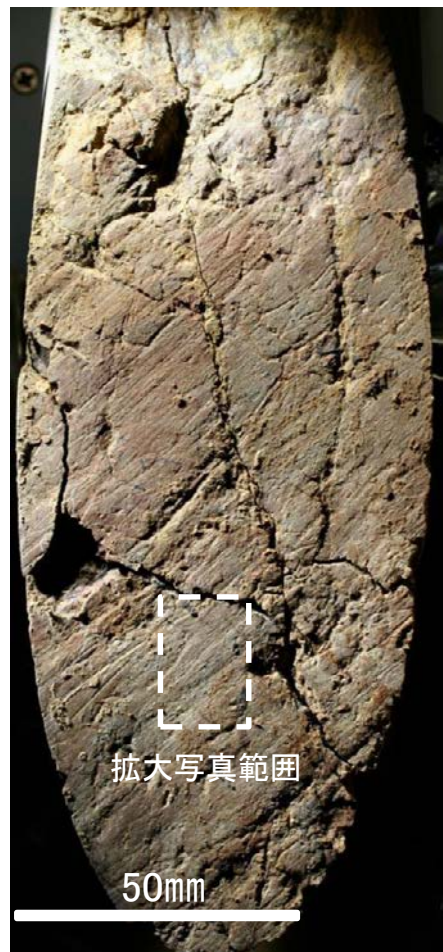
詳細観察写真

・条線のレイクは40° R, 変位センスは不明

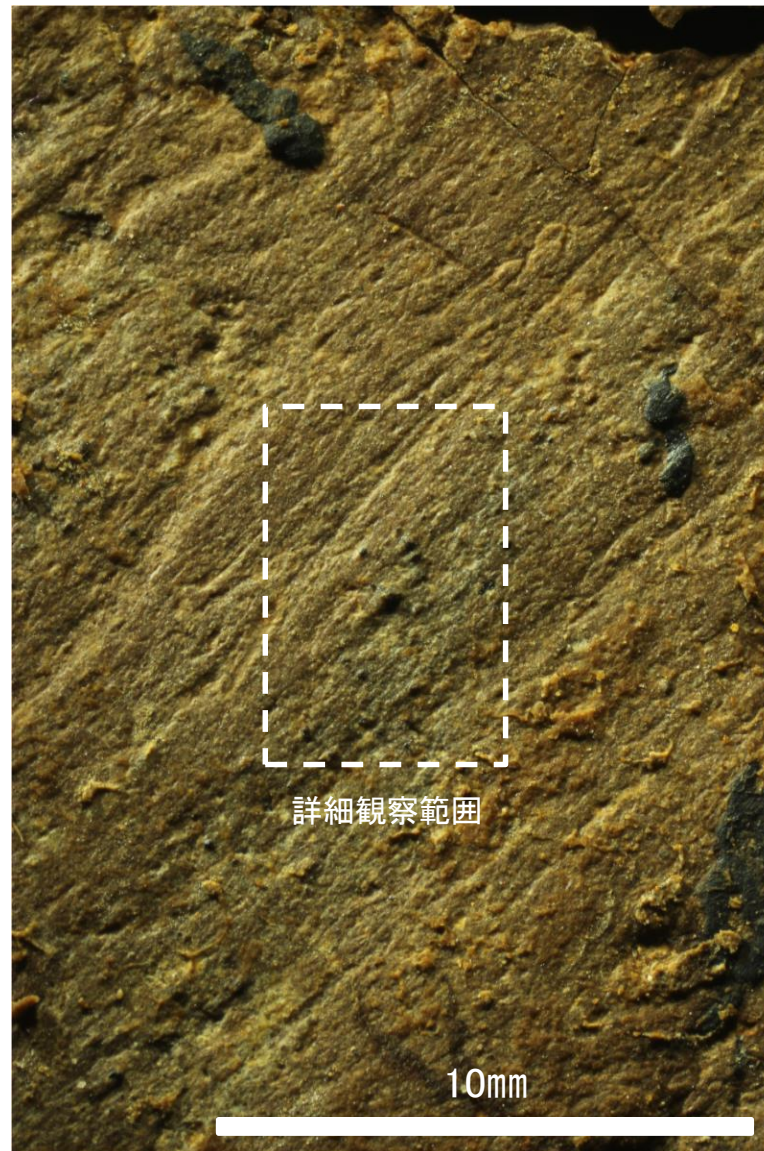
条線観察結果 ボーリングL-12.2孔[深度41.93m](上盤側)



概念図
※走向は真北で示す。



観察面写真

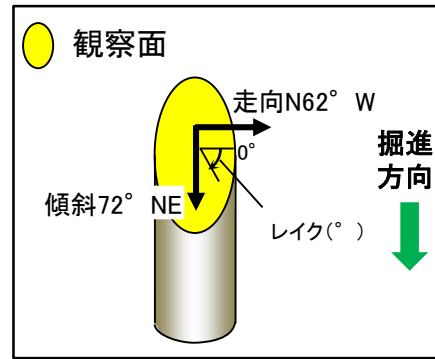


観察面拡大写真



詳細観察写真

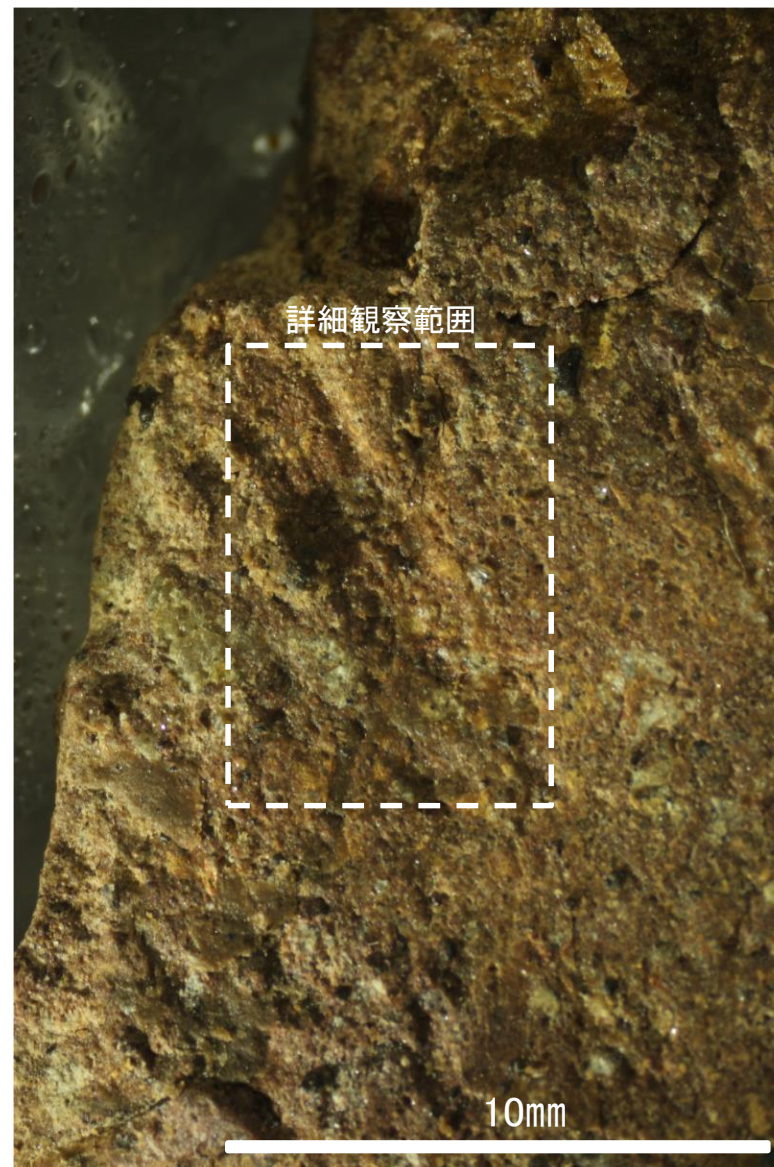
・条線のレイクは40° R(下盤側換算), 変位センスは右横ずれ逆断層センス



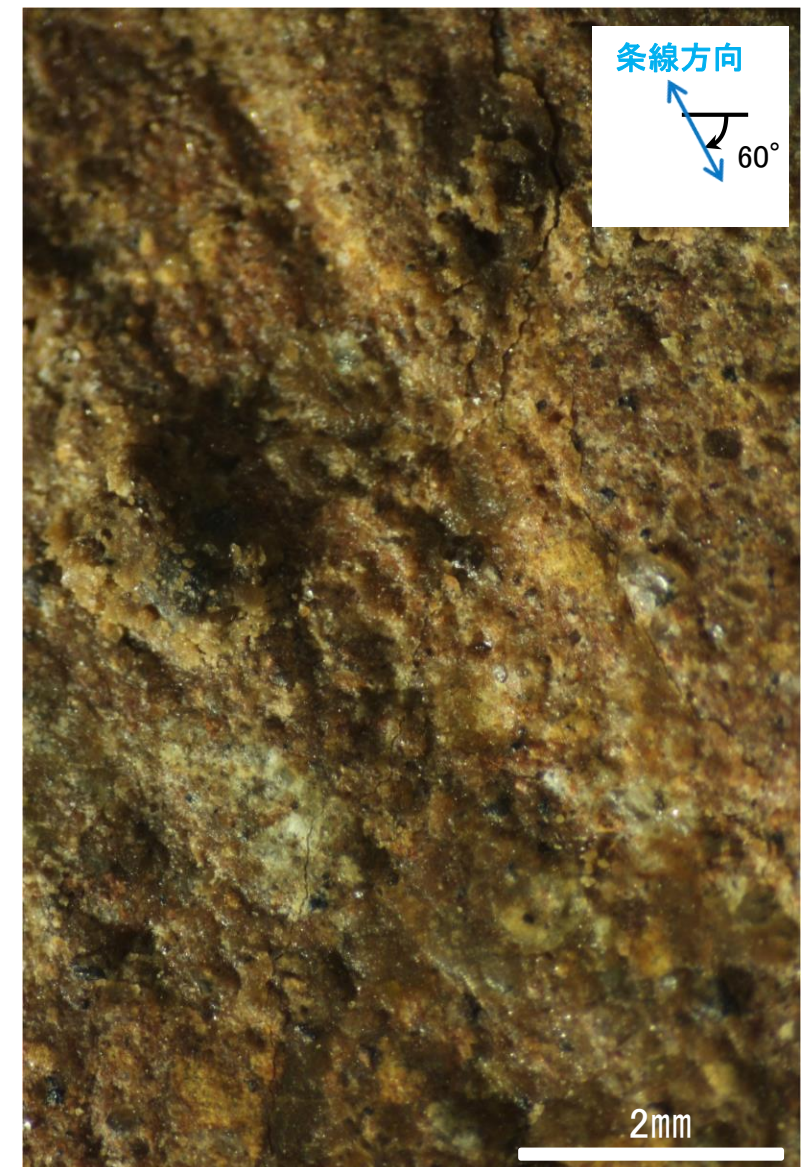
概念図
※走向は真北で示す。



観察面写真

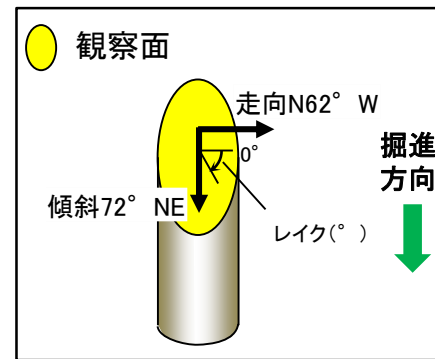


観察面拡大写真



詳細観察写真

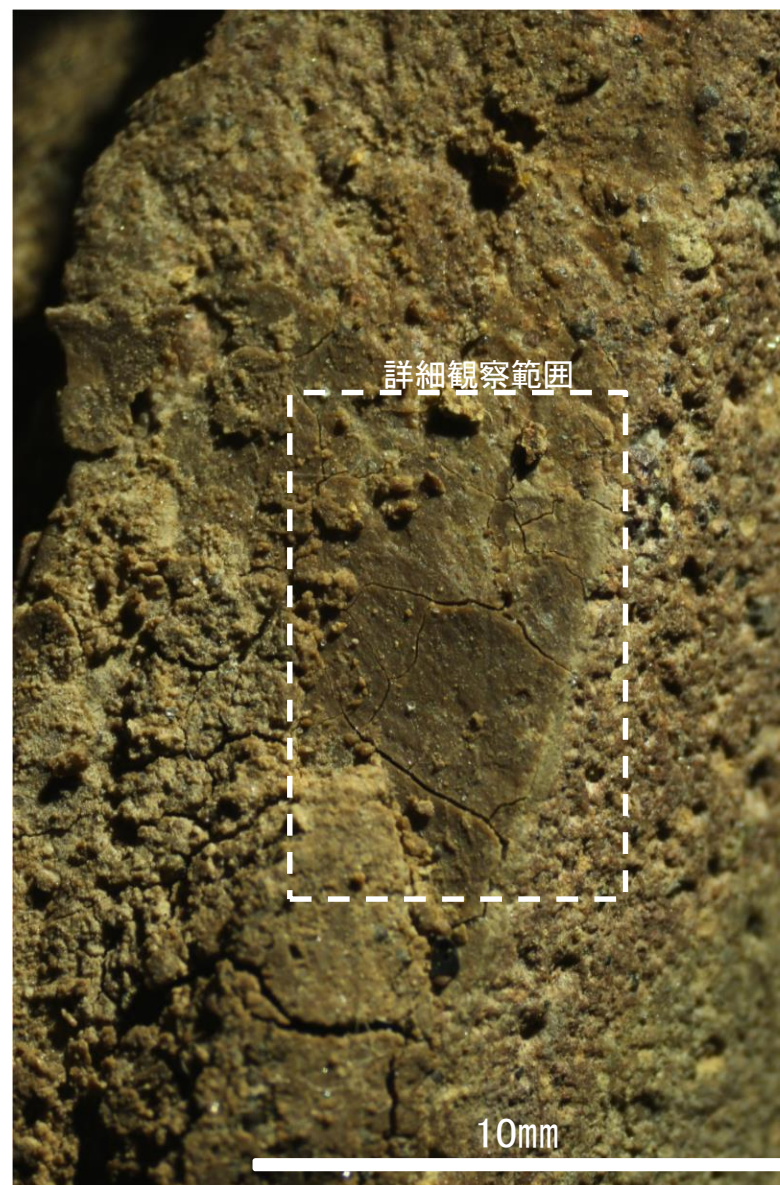
・条線のレイクは60° R, 変位センスは不明



概念図
 ※走向は真北で示す。



観察面写真



観察面拡大写真



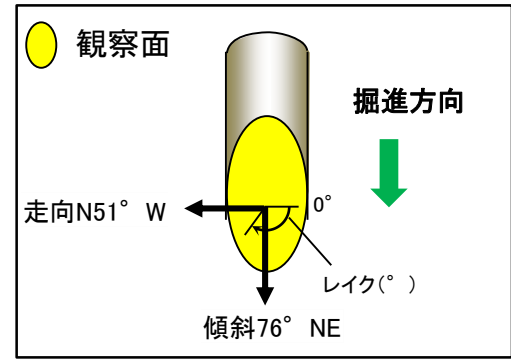
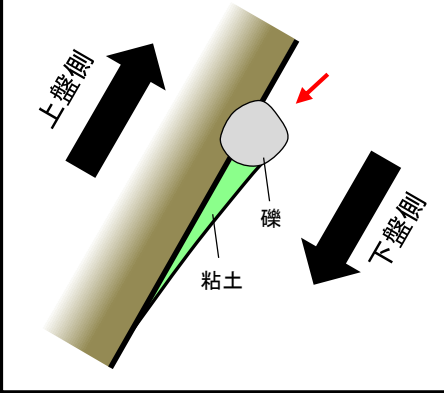
詳細観察写真

※高角度の条線は認められるものの、複数認められないため、人為的にできたものと考えられる。

・条線のレイクは45° R, 変位センスは不明

条線観察結果 ボーリングM-12.5' 孔[深度51.65m](上盤側)

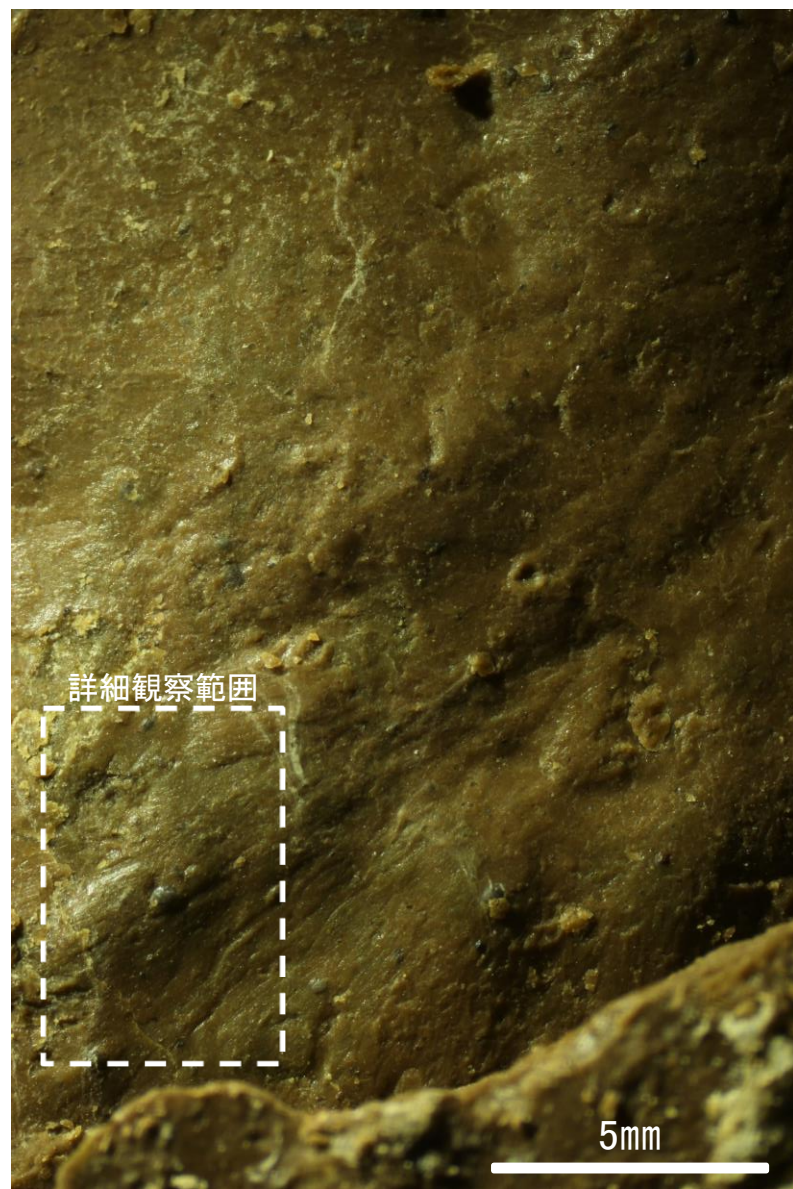
条線方向及び礫周りの粘土の非対称構造から、逆断層センスを示す。



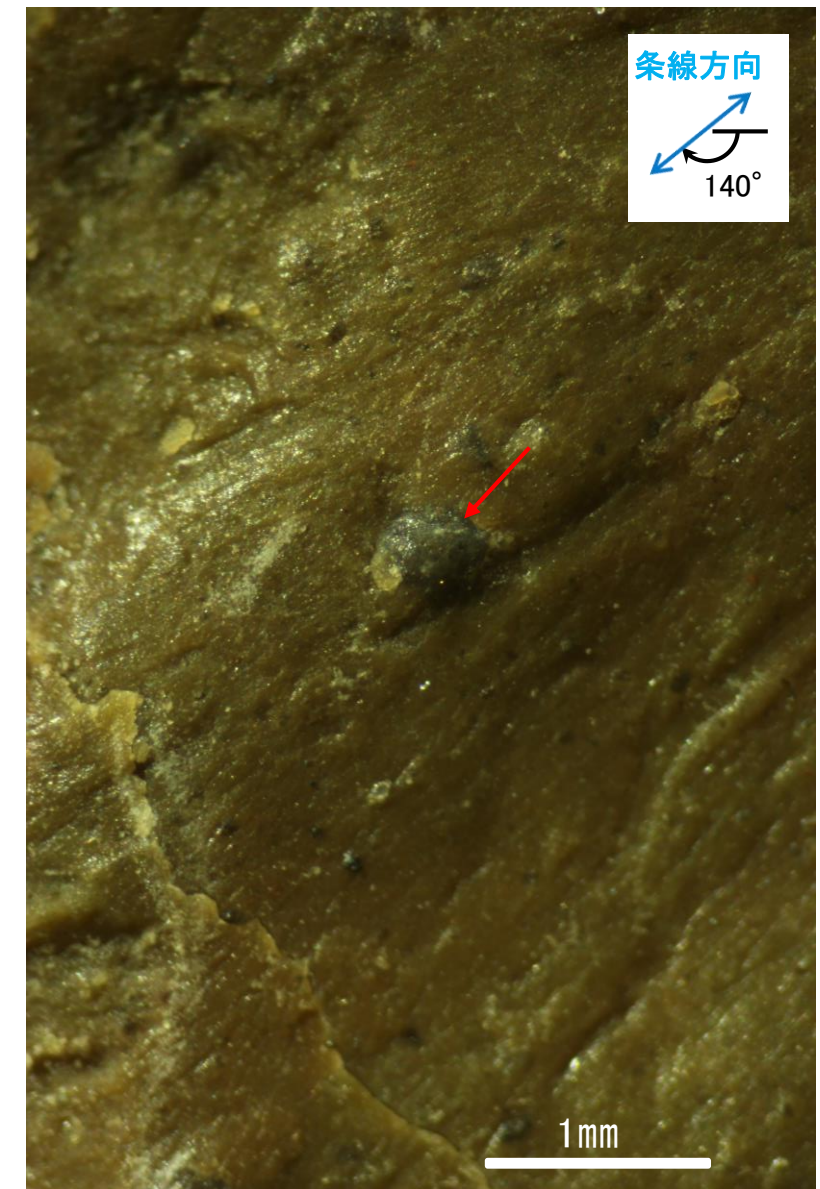
概念図
※走向は真北で示す。



観察面写真

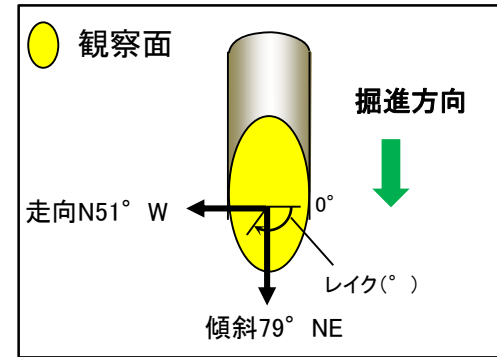


観察面拡大写真

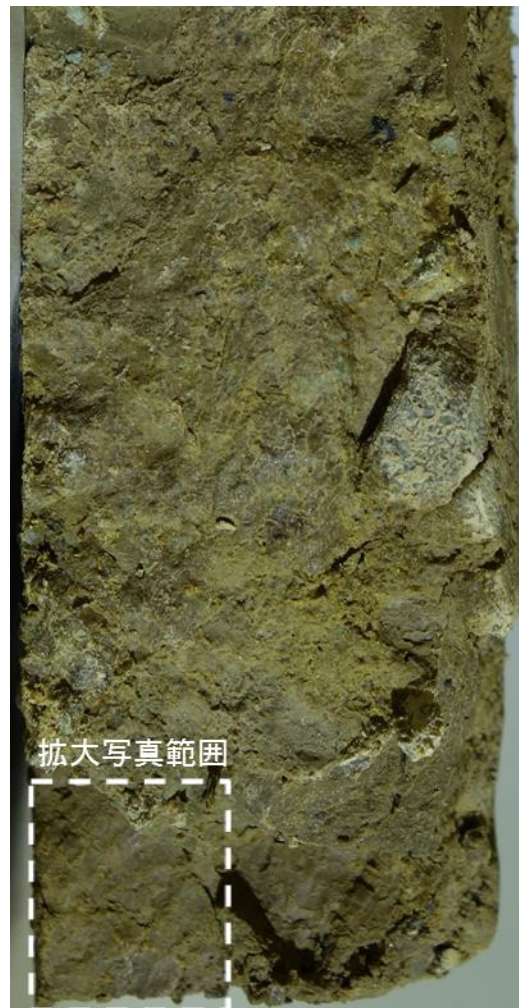


詳細観察写真

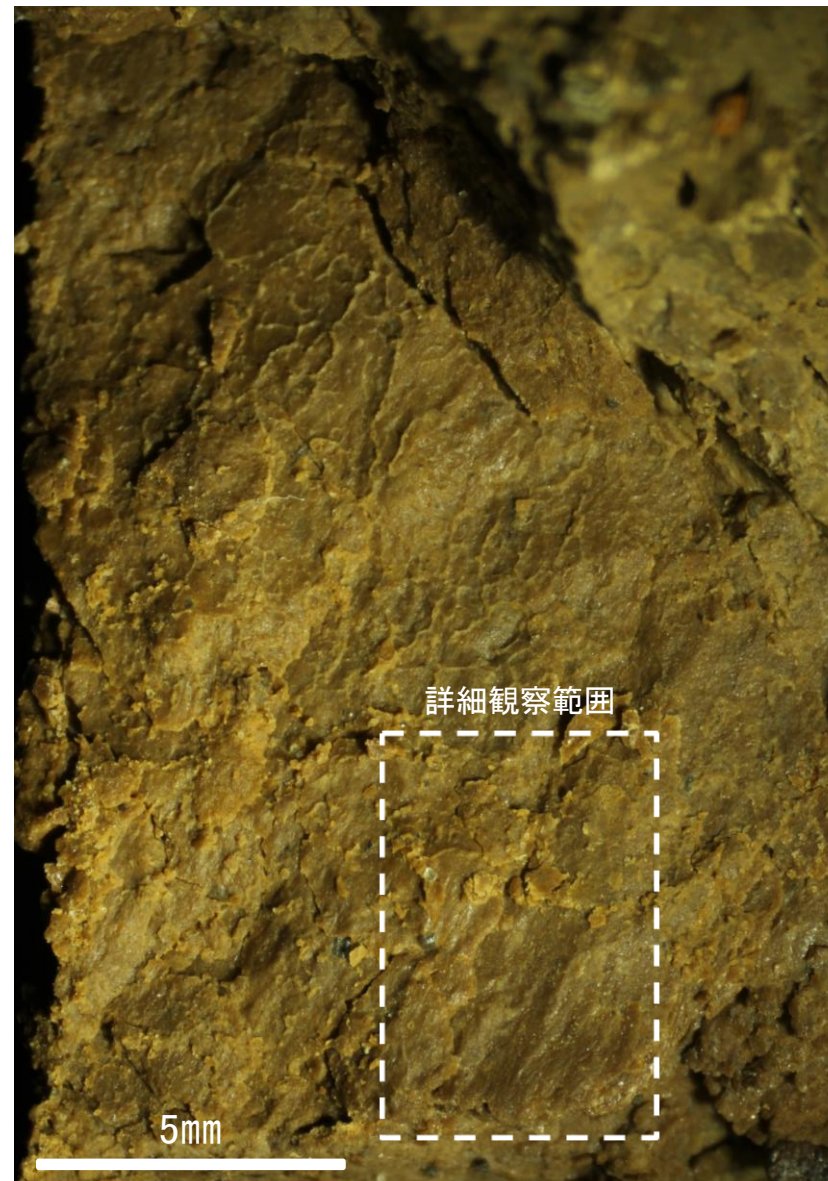
・条線のレイクは40° R(下盤側換算), 変位センスは右横ずれ逆断層センス



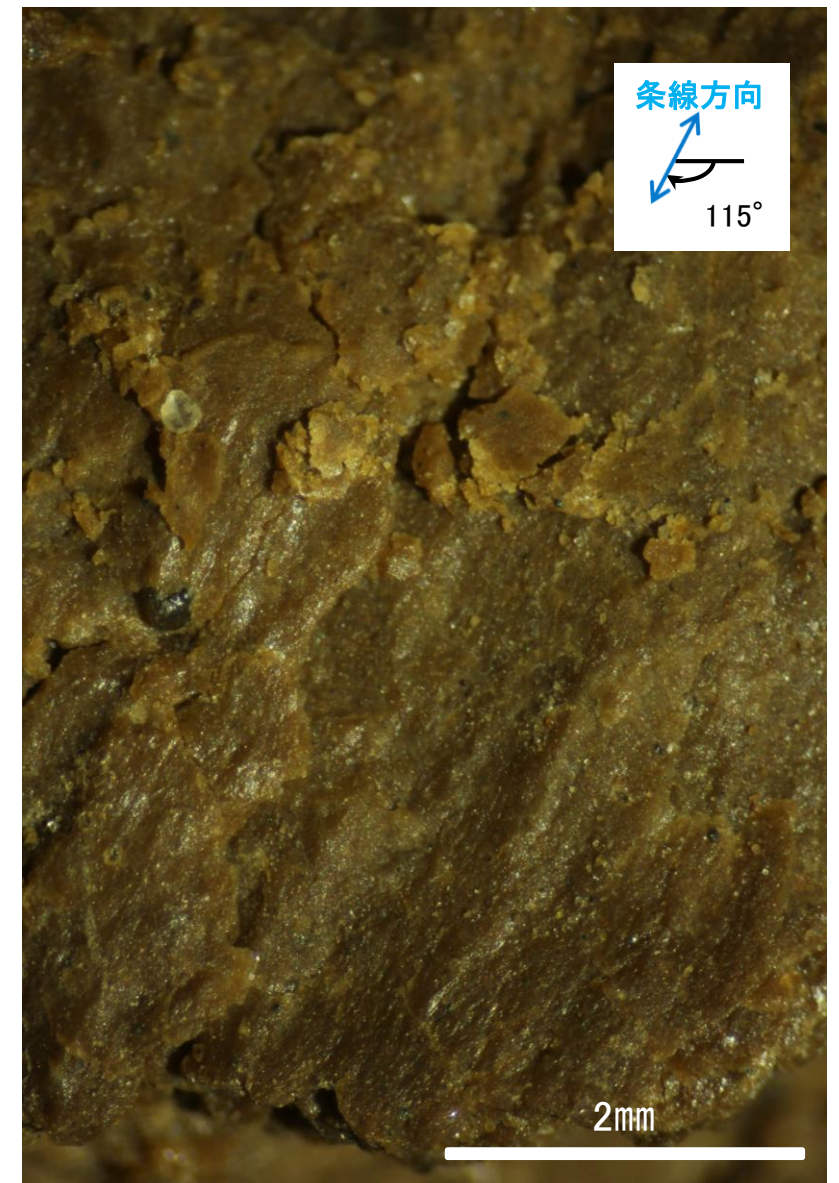
概念図
※走向は真北で示す。



観察面写真

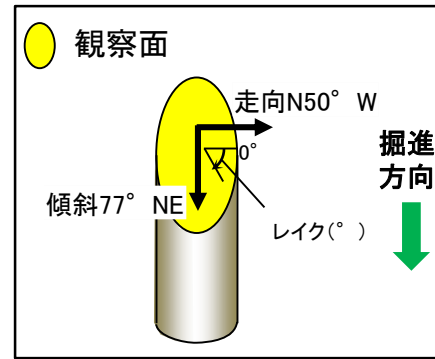


観察面拡大写真

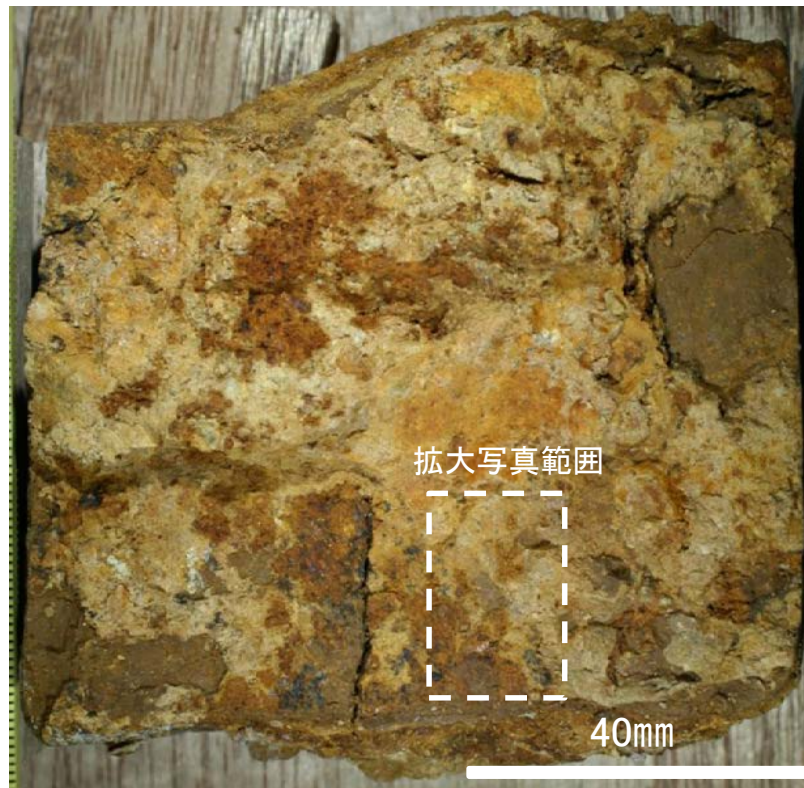


詳細観察写真

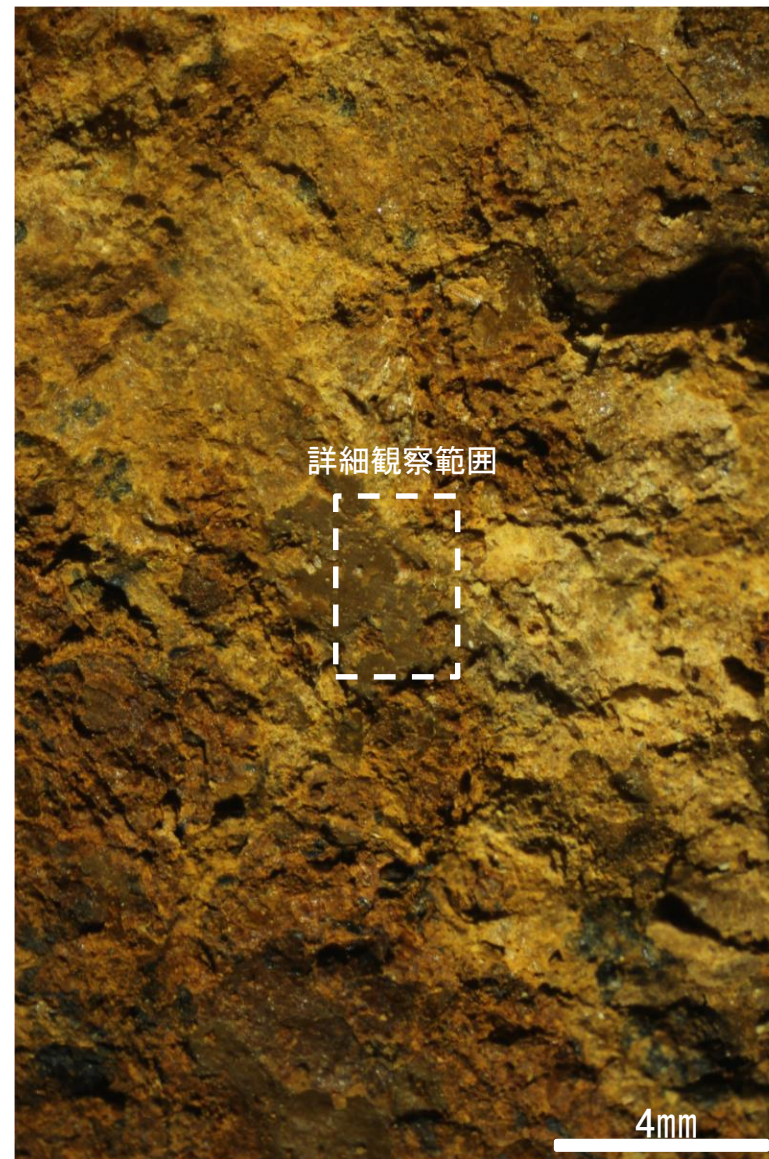
・条線のレイクは65° R(下盤側換算), 変位センスは不明



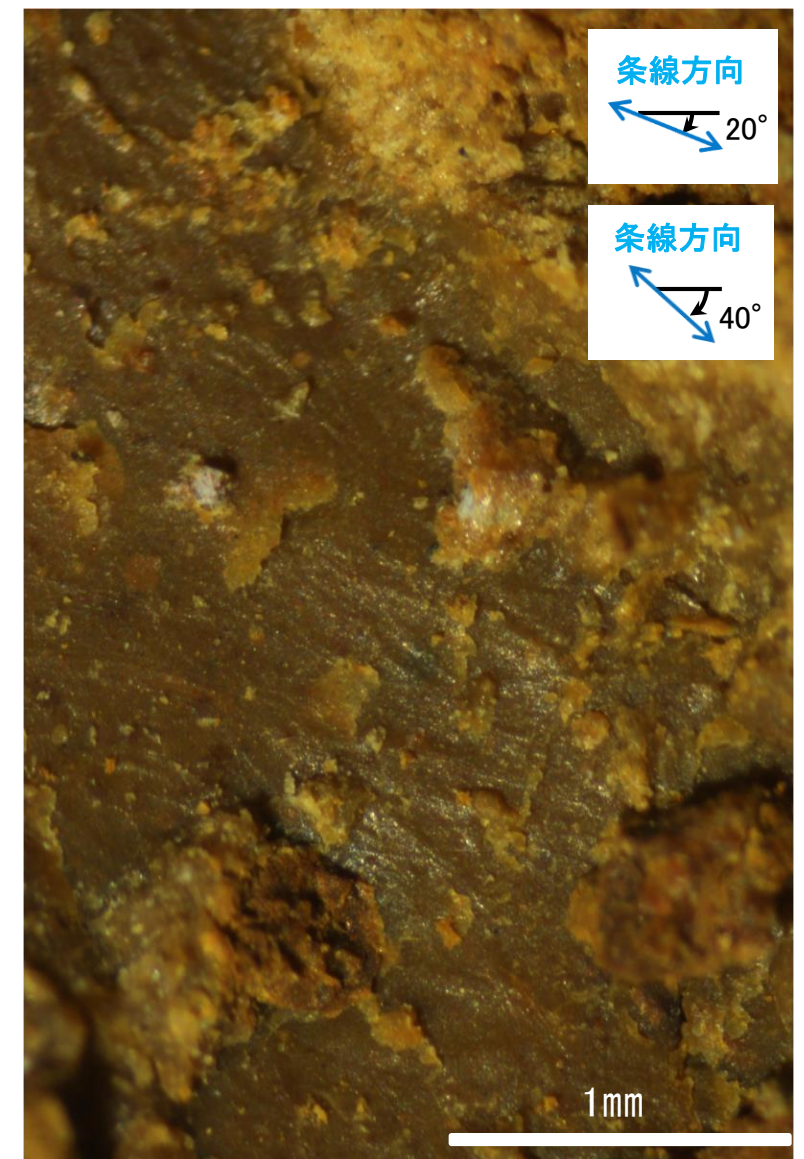
概念図
※走向は真北で示す。



観察面写真

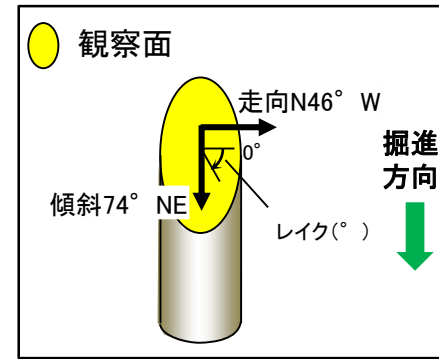


観察面拡大写真

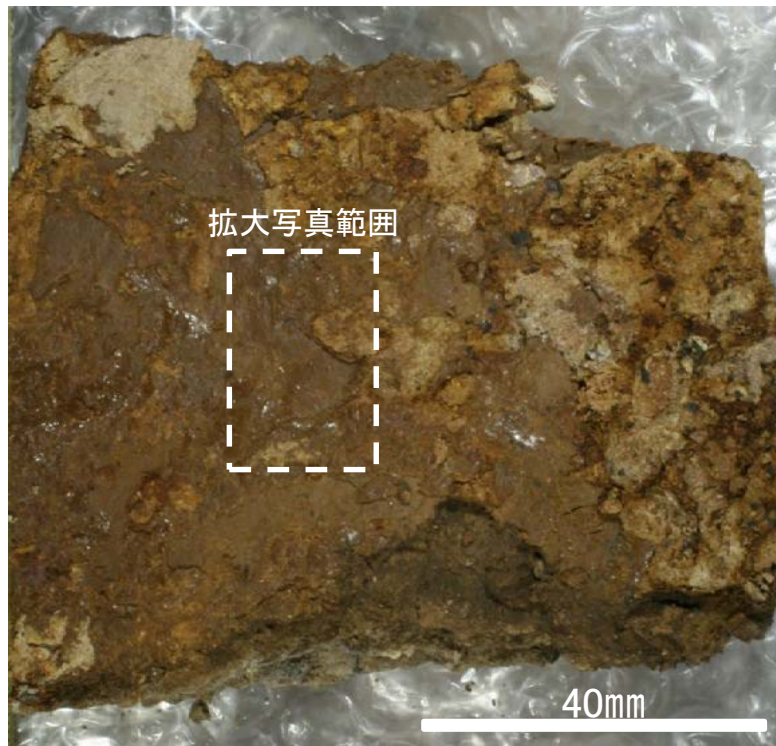


詳細観察写真

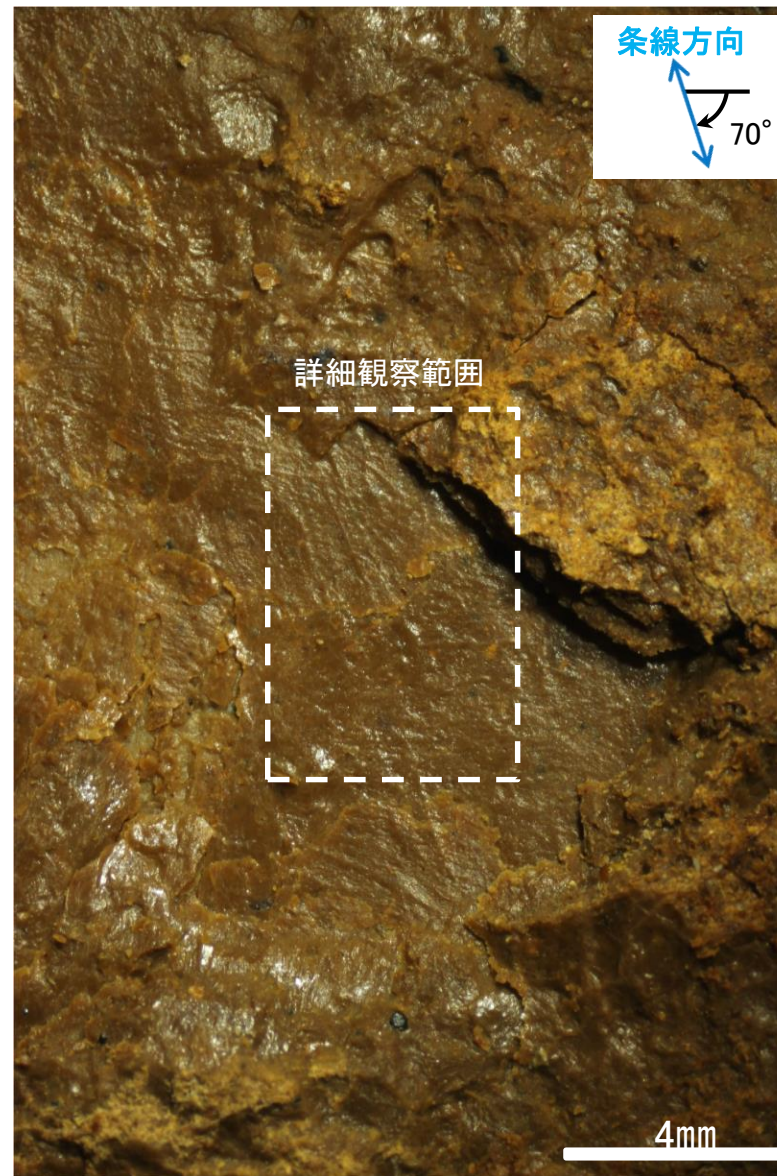
・条線のレイクは20° R及び40° R, それぞれ変位センスは不明



概念図
※走向は真北で示す。

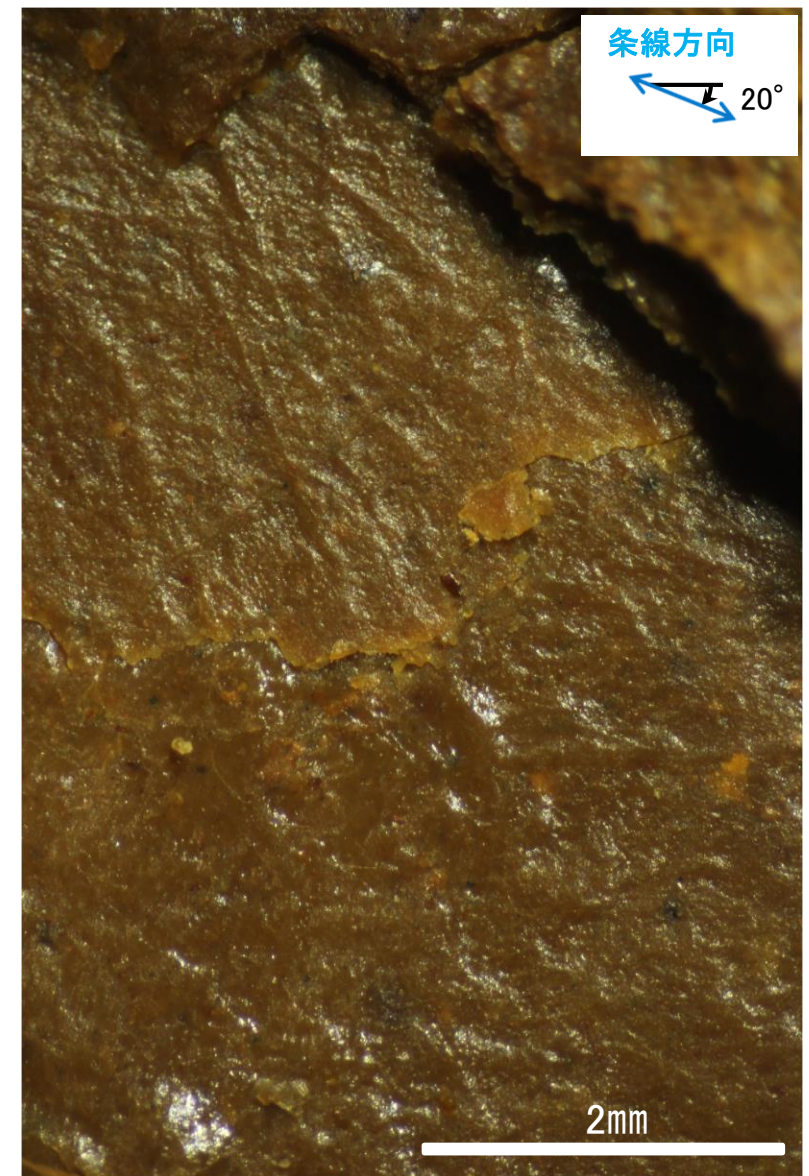


観察面写真



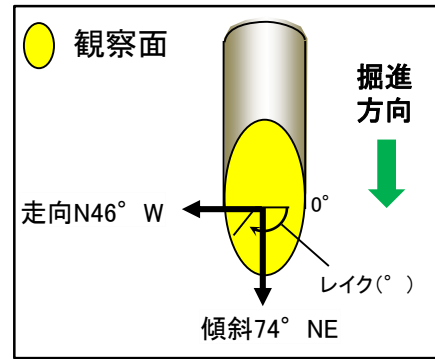
観察面拡大写真

・条線のレイクは70° R, 変位センスは不明



詳細観察写真

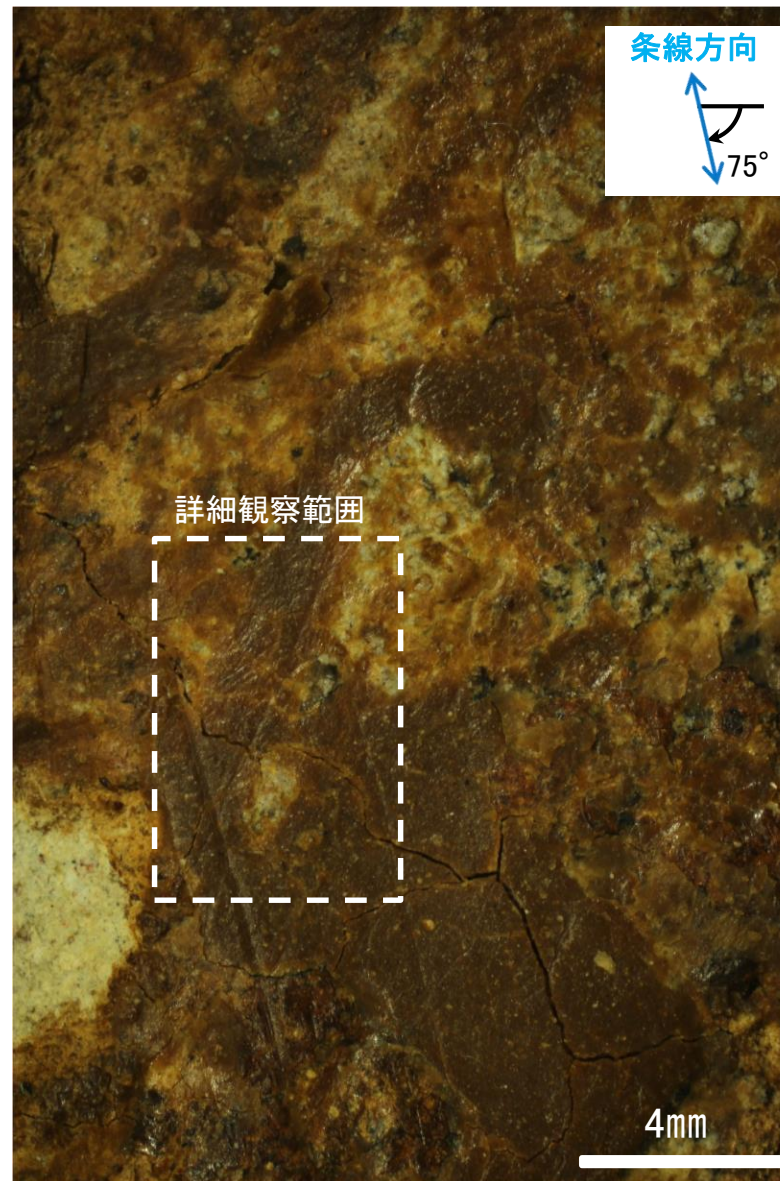
・条線のレイクは20° R, 変位センスは不明



概念図
※走向は真北で示す。



観察面写真



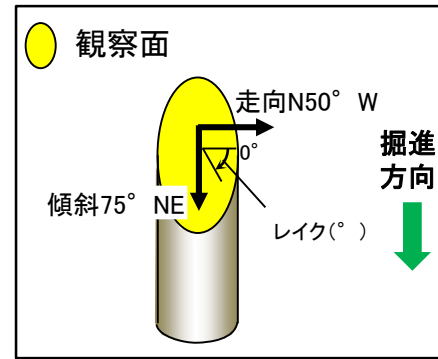
観察面拡大写真

・条線のレイクは 105° R(下盤側換算), 変位センスは不明

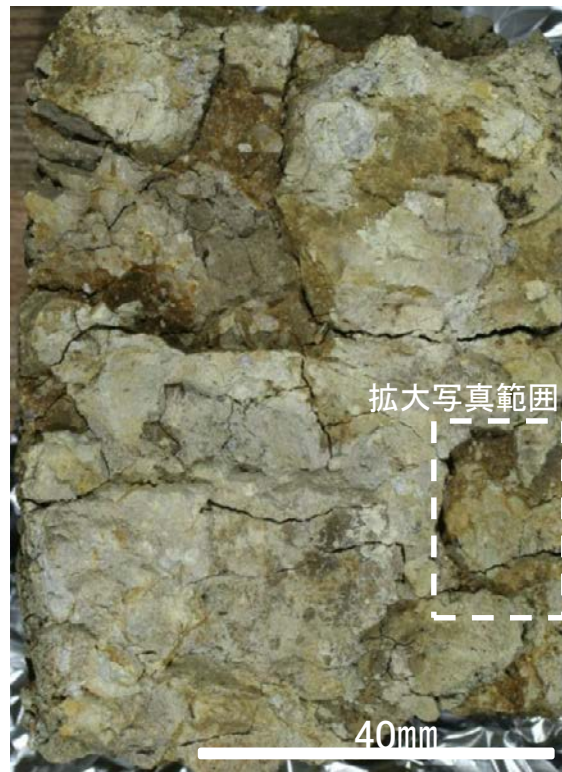


詳細観察写真

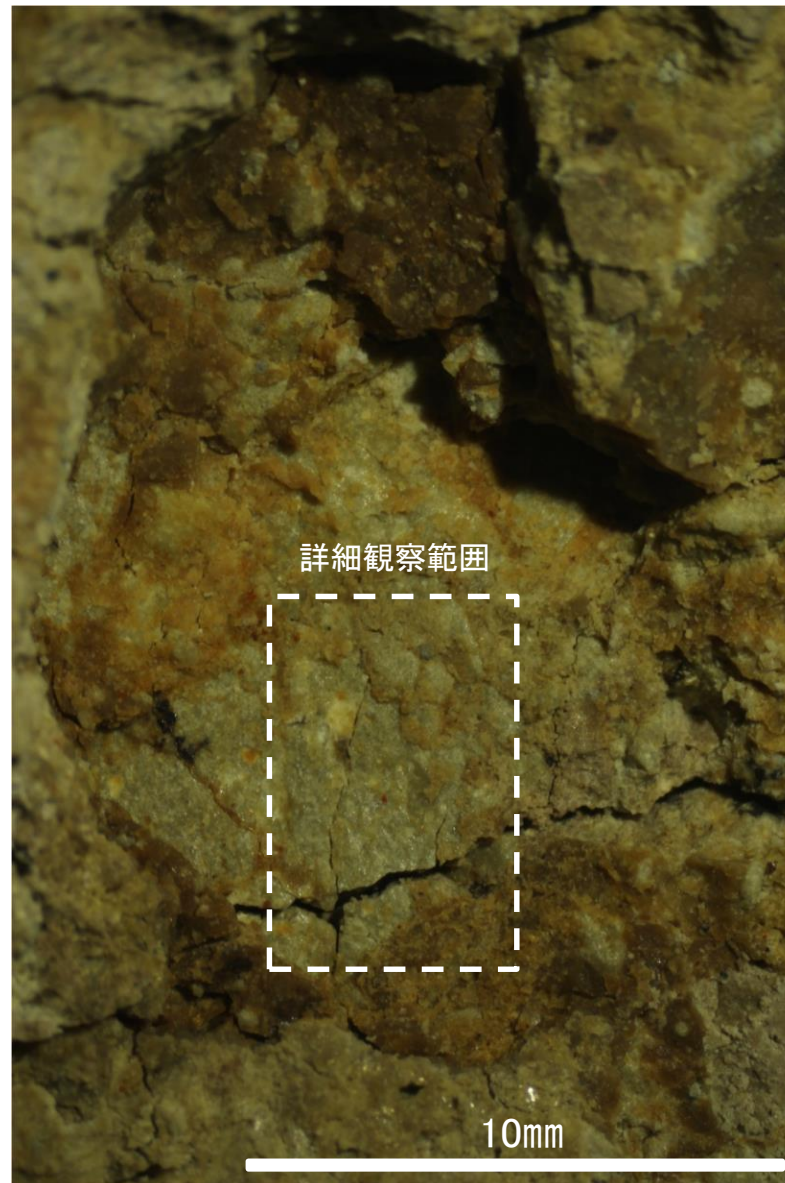
・条線のレイクは 70° R(下盤側換算), 変位センスは不明



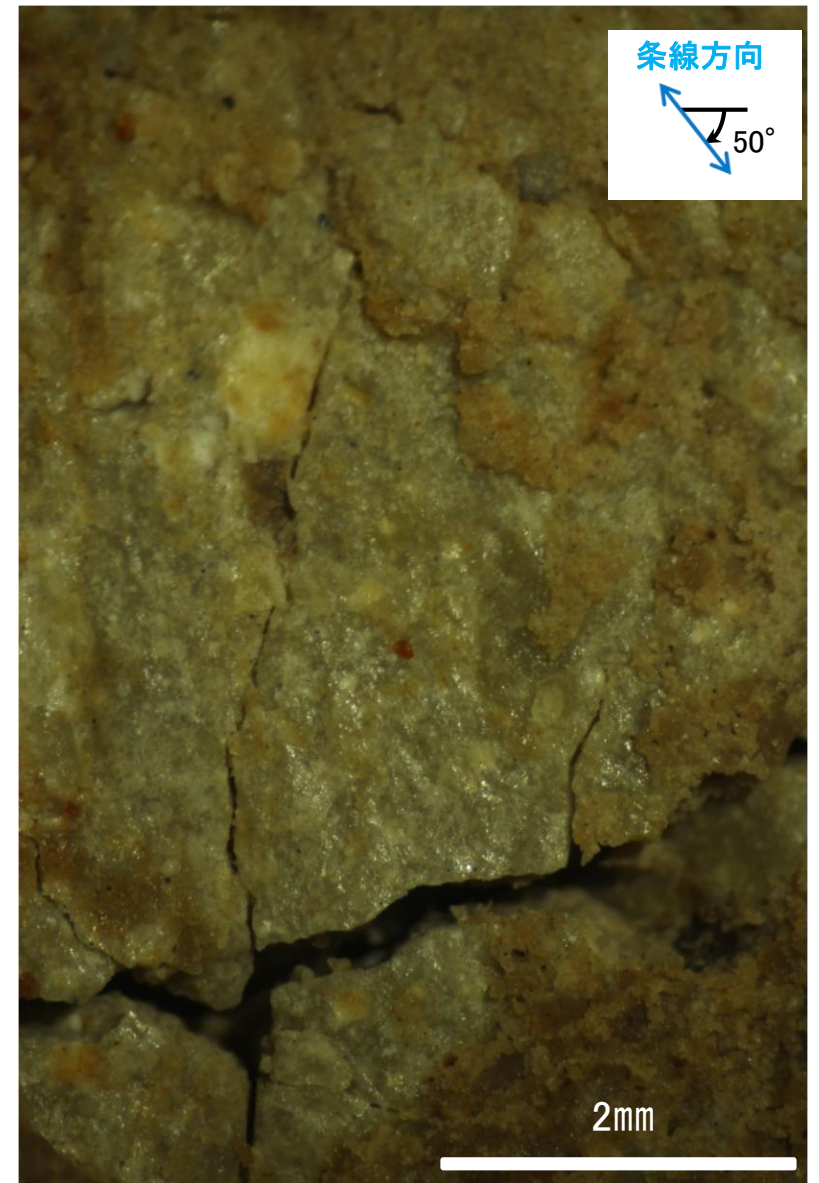
概念図
※走向は真北で示す。



観察面写真

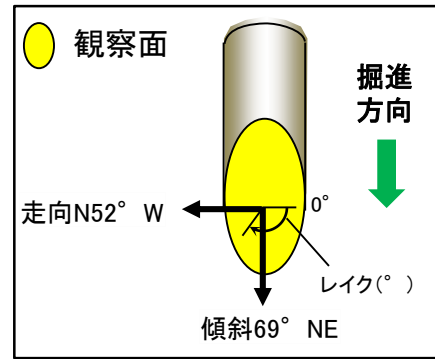


観察面拡大写真



詳細観察写真

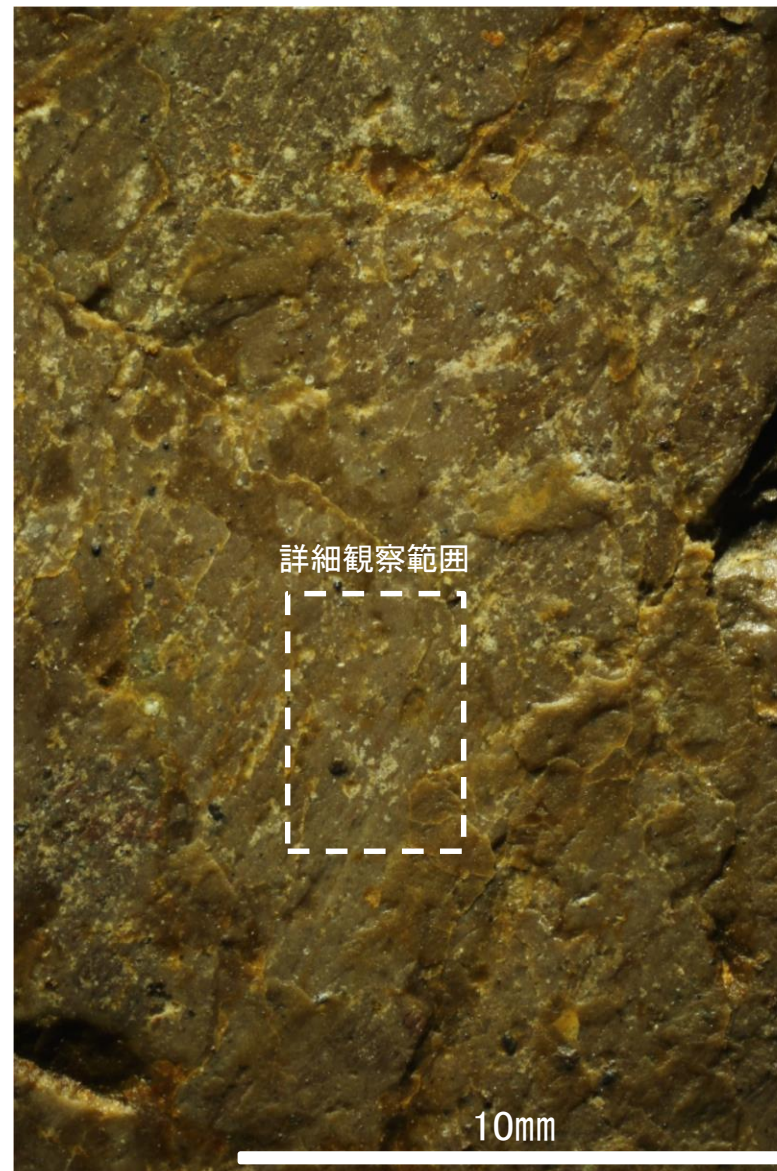
・条線のレイクは50° R, 変位センスは不明



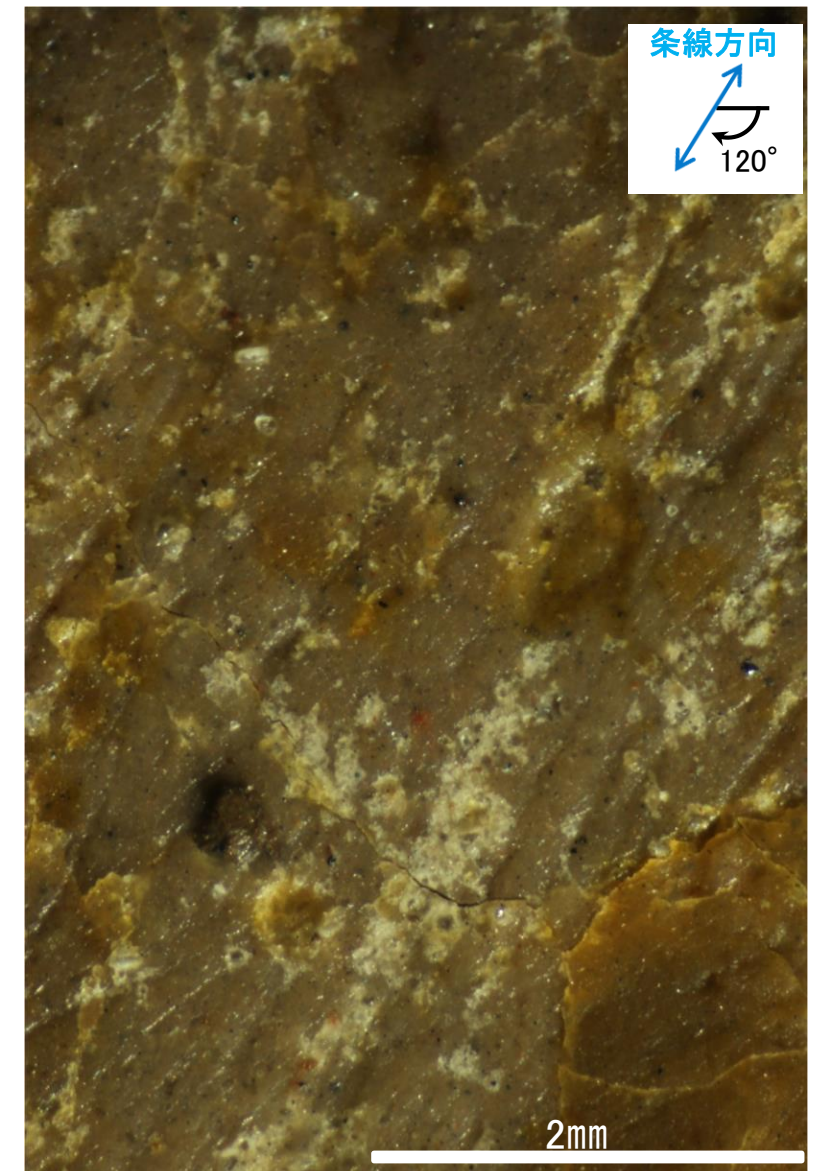
概念図
※走向は真北で示す。



観察面写真

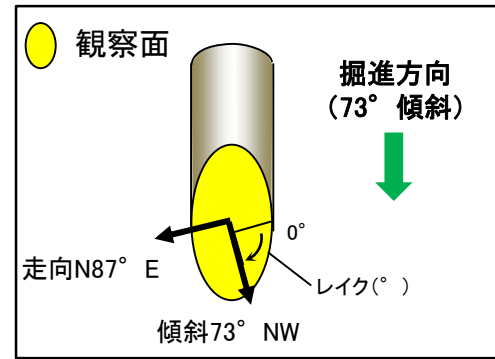


観察面拡大写真

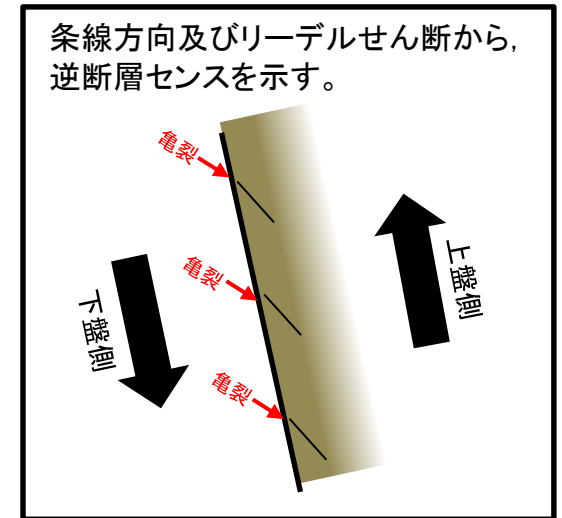


詳細観察写真

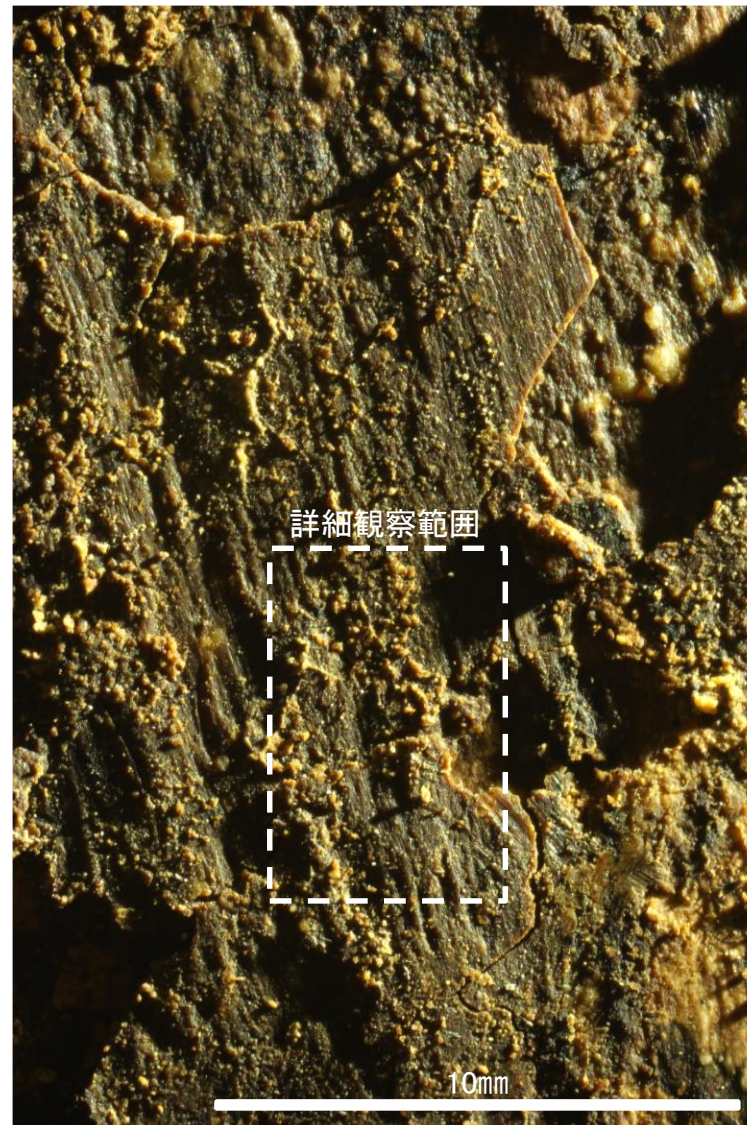
・条線のレイクは60° R(下盤側換算), 変位センスは不明



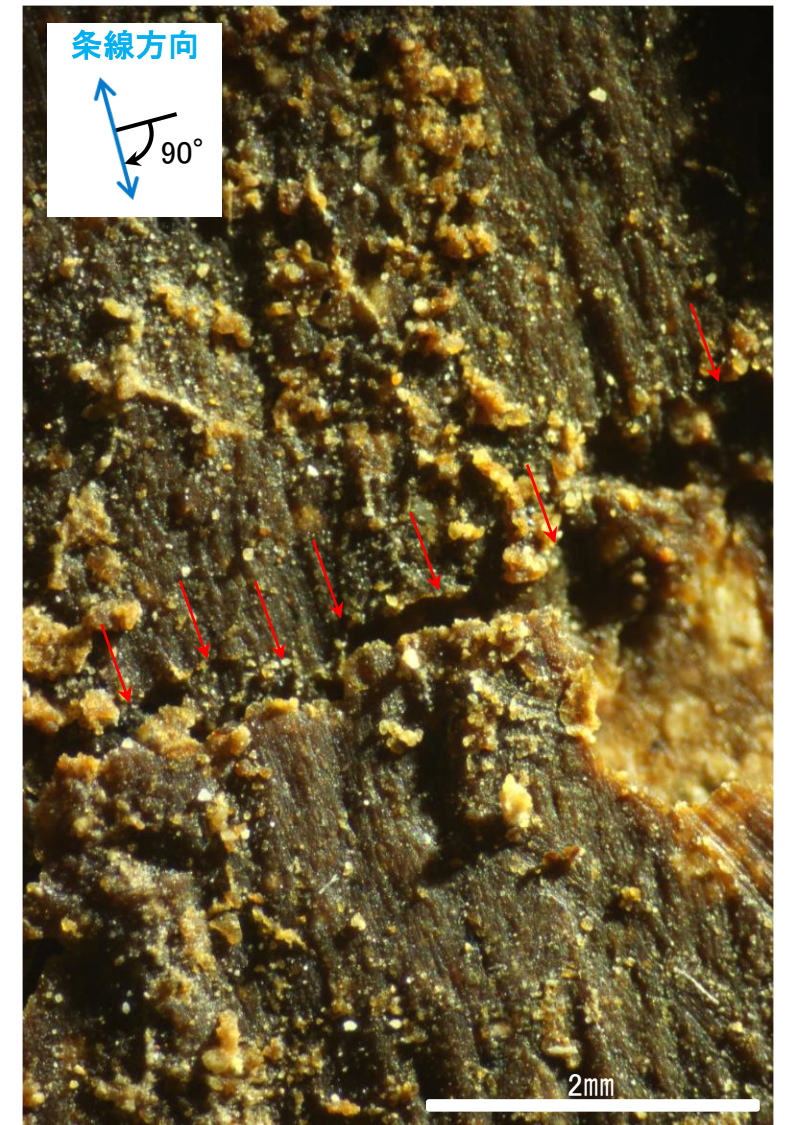
概念図
※走向は真北で示す。



観察面写真

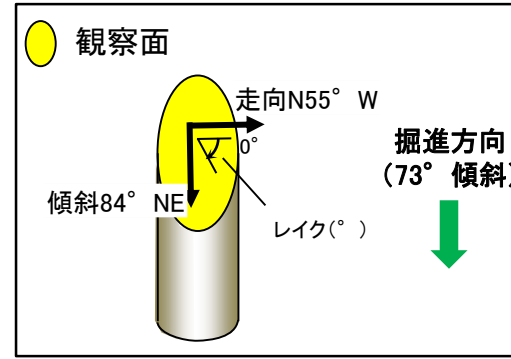


観察面拡大写真

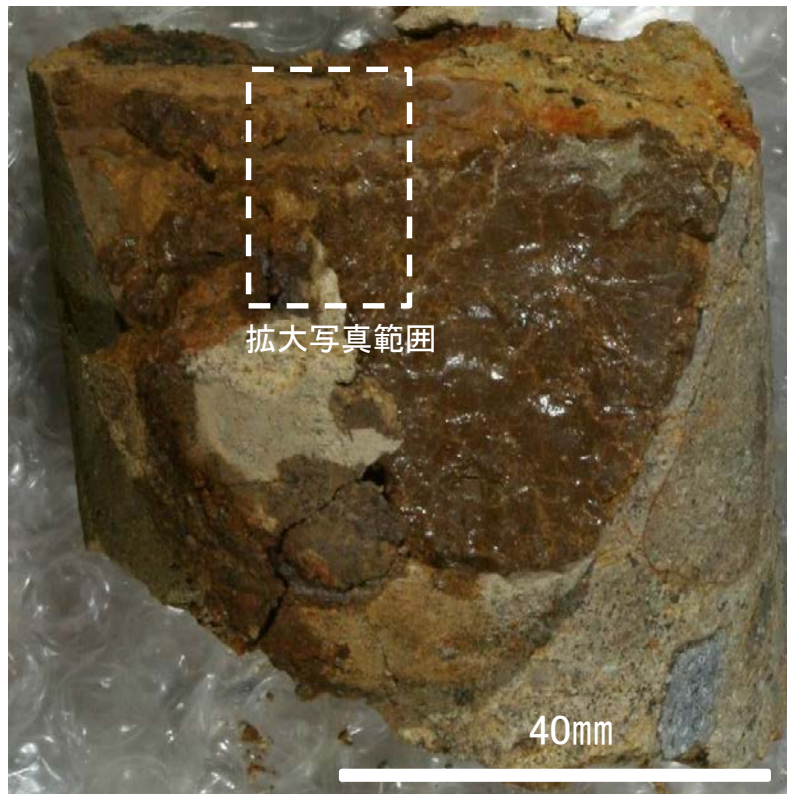


詳細観察写真

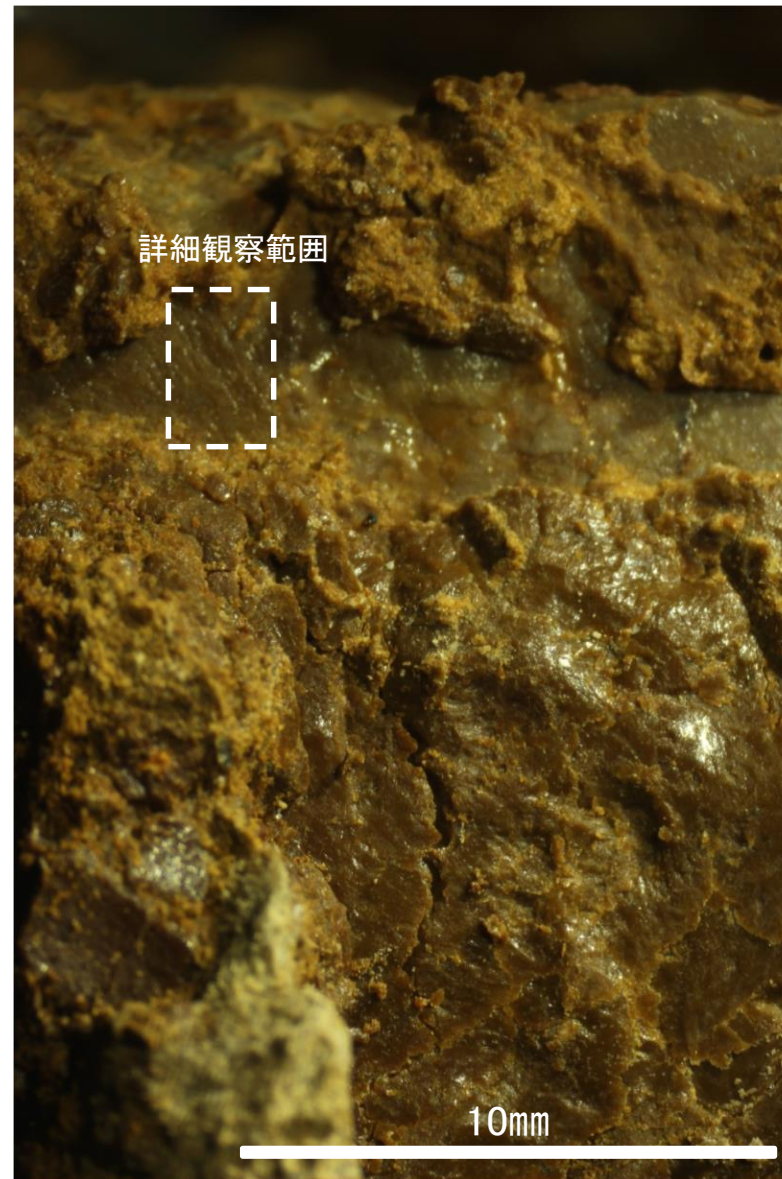
・条線のレイクは90° R(下盤側換算), 変位センスは逆断層センス



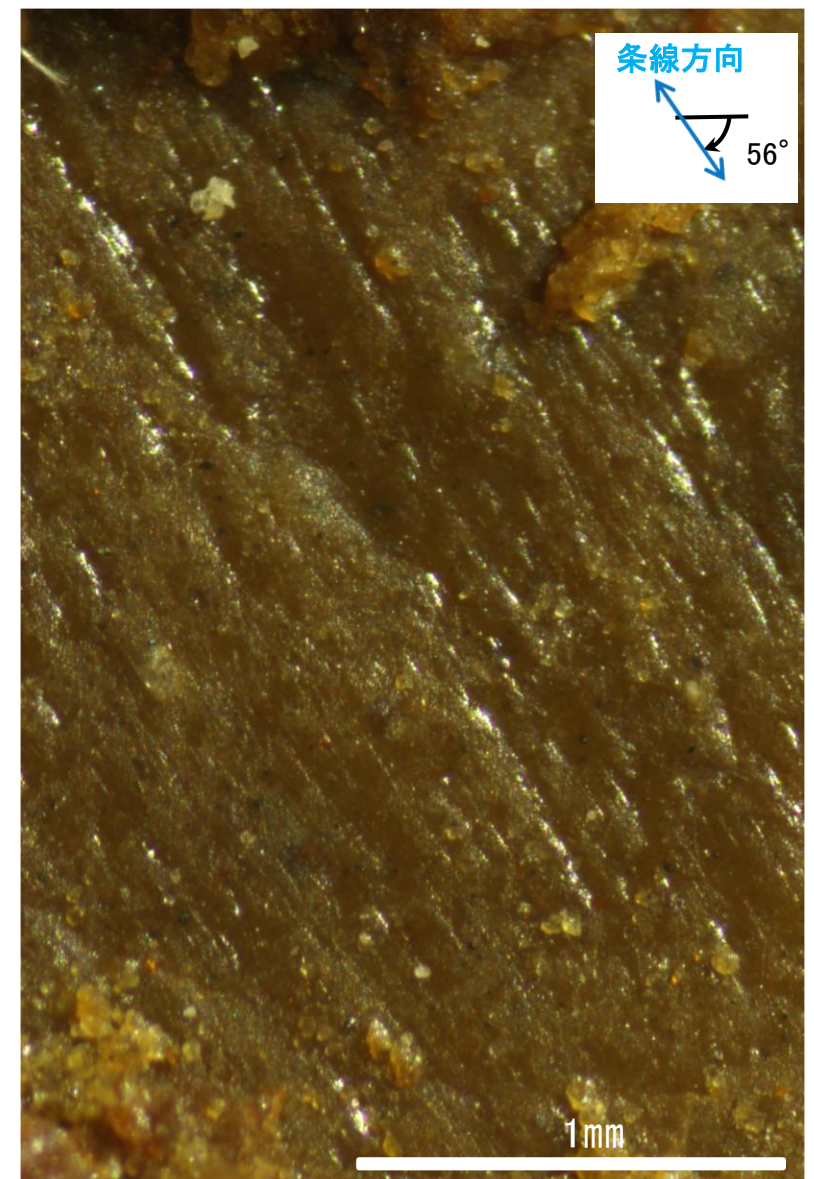
概念図
※走向は真北で示す。



観察面写真

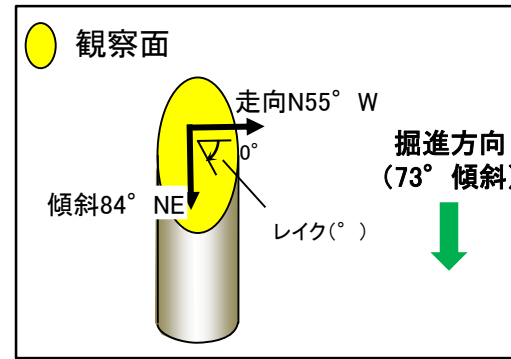


観察面拡大写真

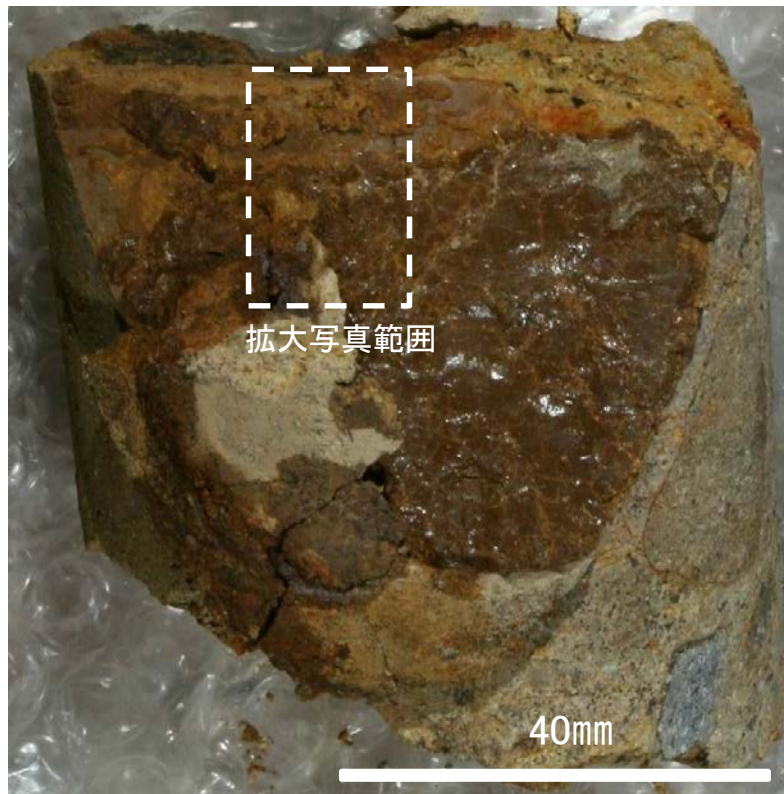


詳細観察写真

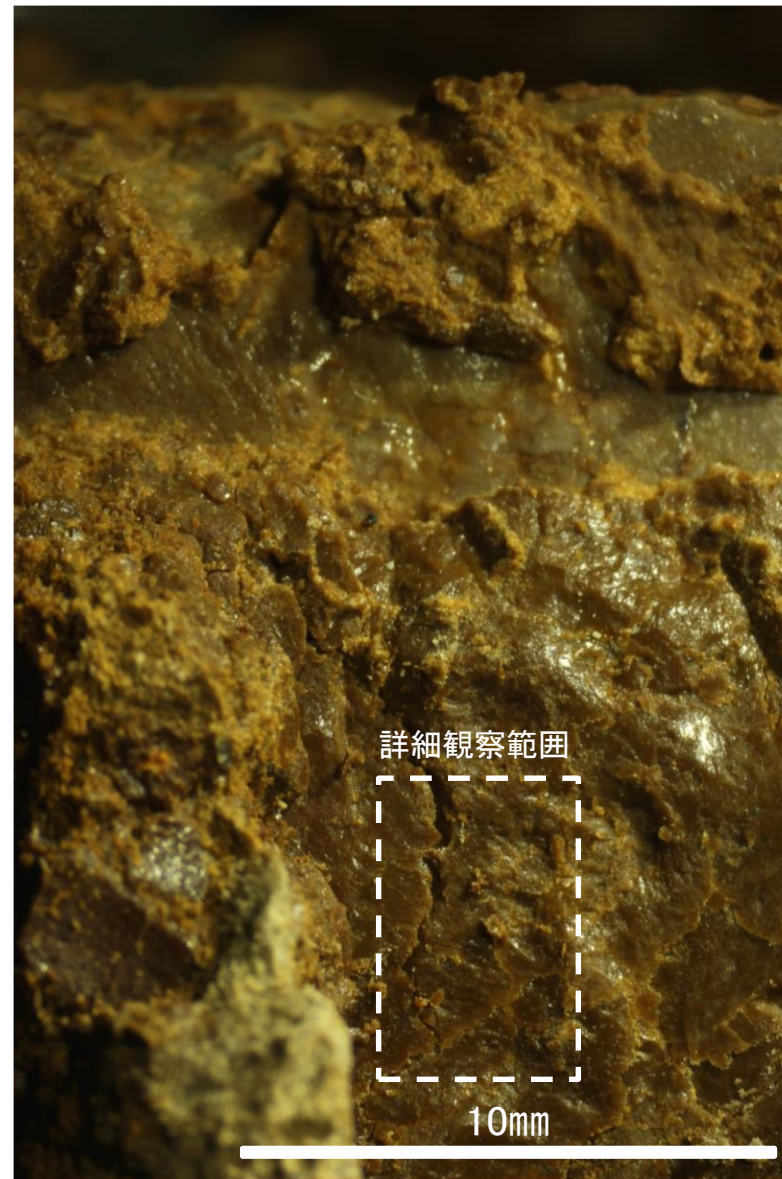
・条線のレイクは56° R, 変位センスは不明



概念図
※走向は真北で示す。



観察面写真

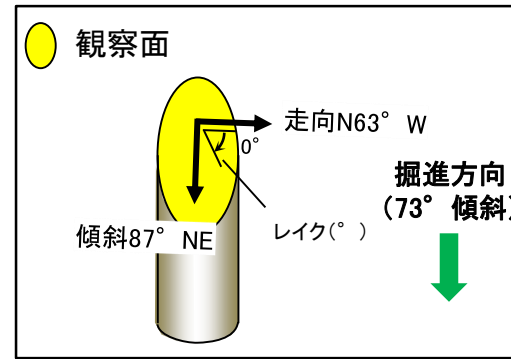


観察面拡大写真



詳細観察写真

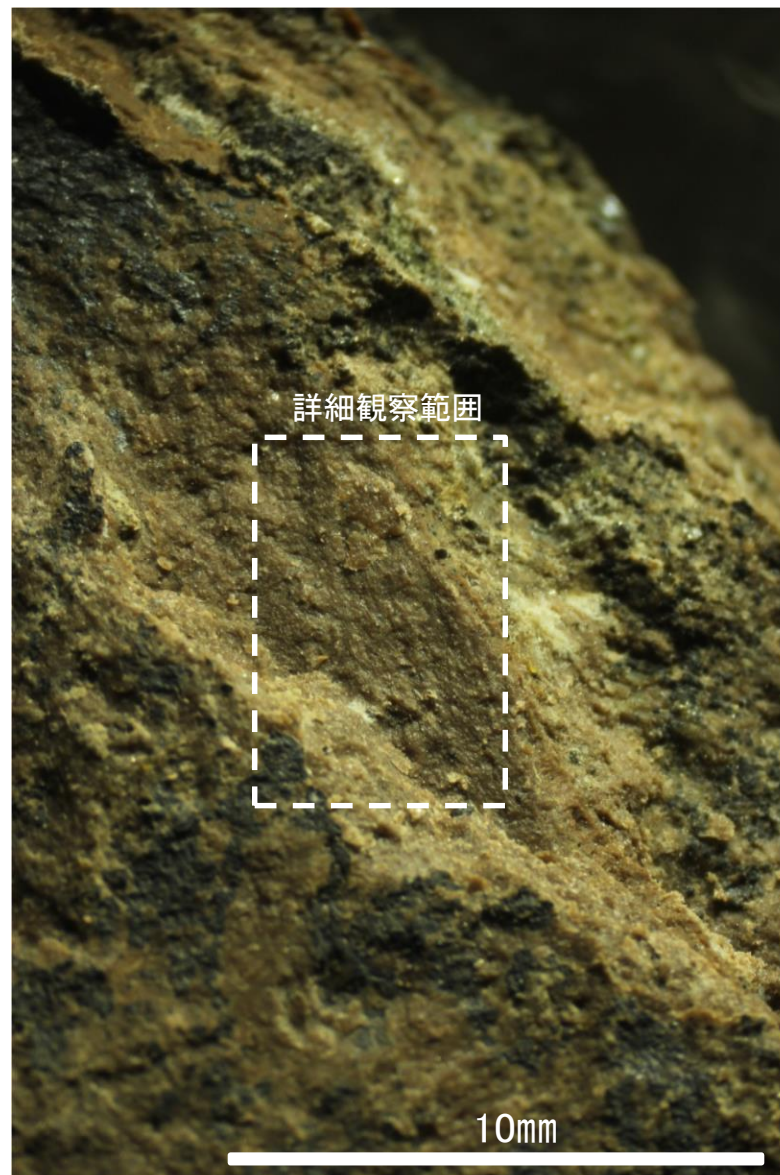
・条線のレイクは26° R, 変位センスは不明



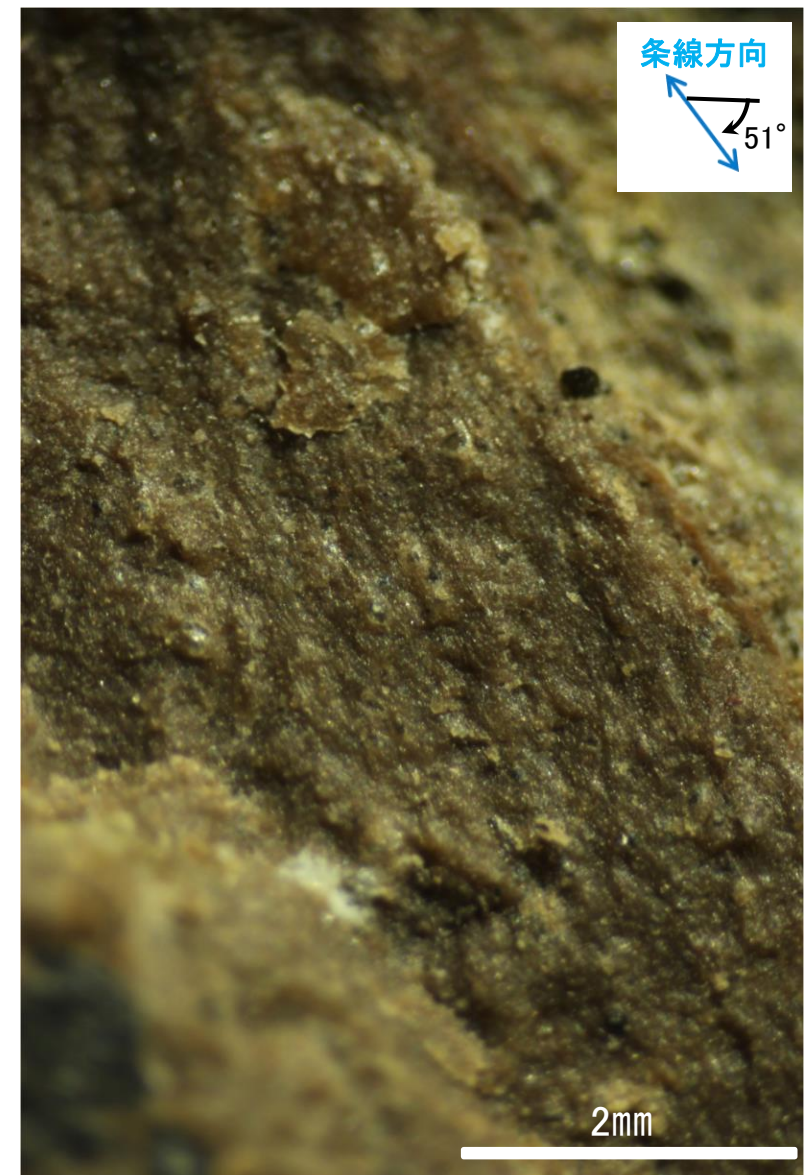
概念図
※走向は真北で示す。



観察面写真



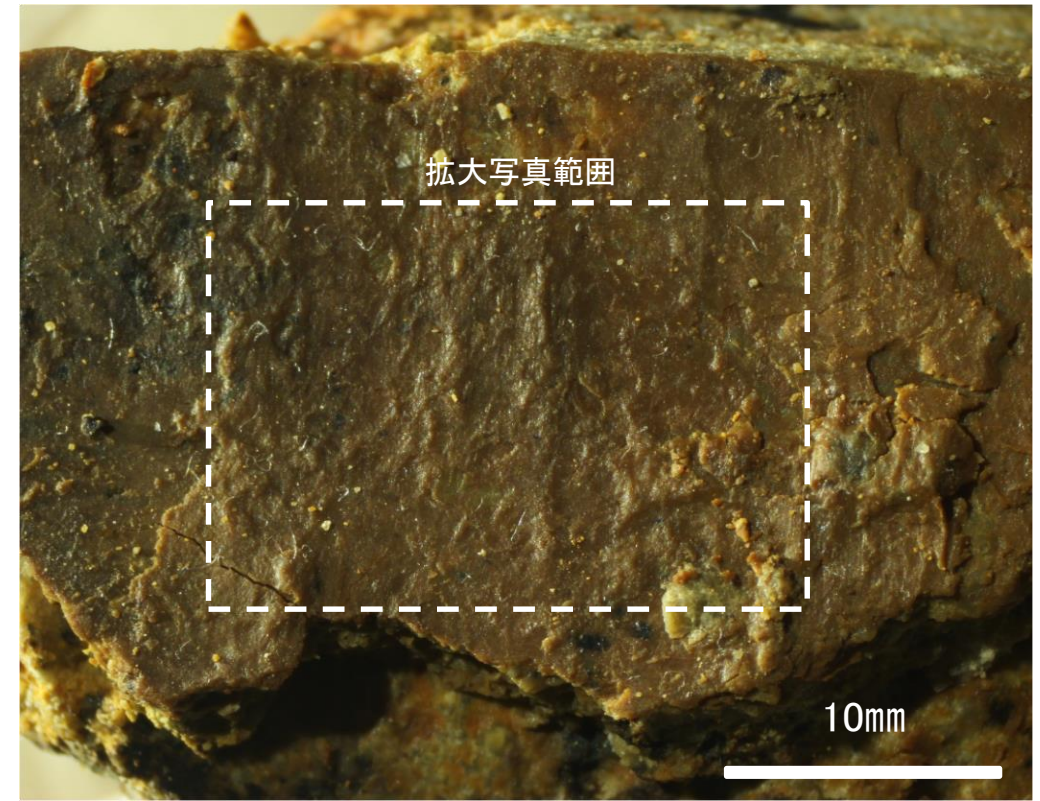
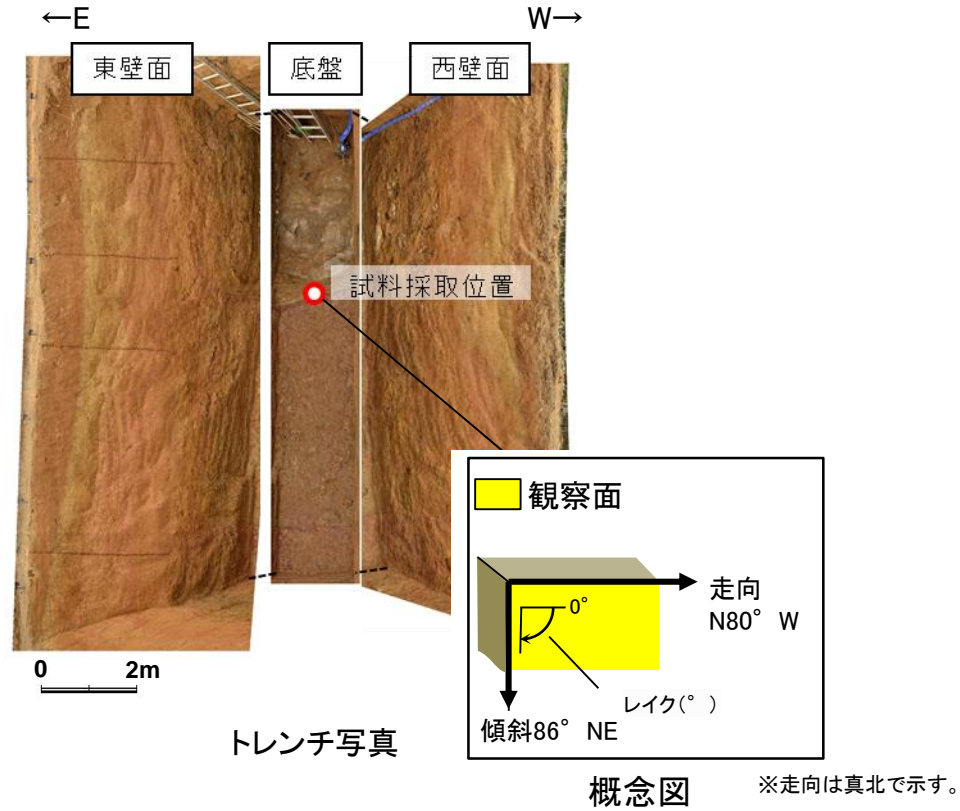
観察面拡大写真



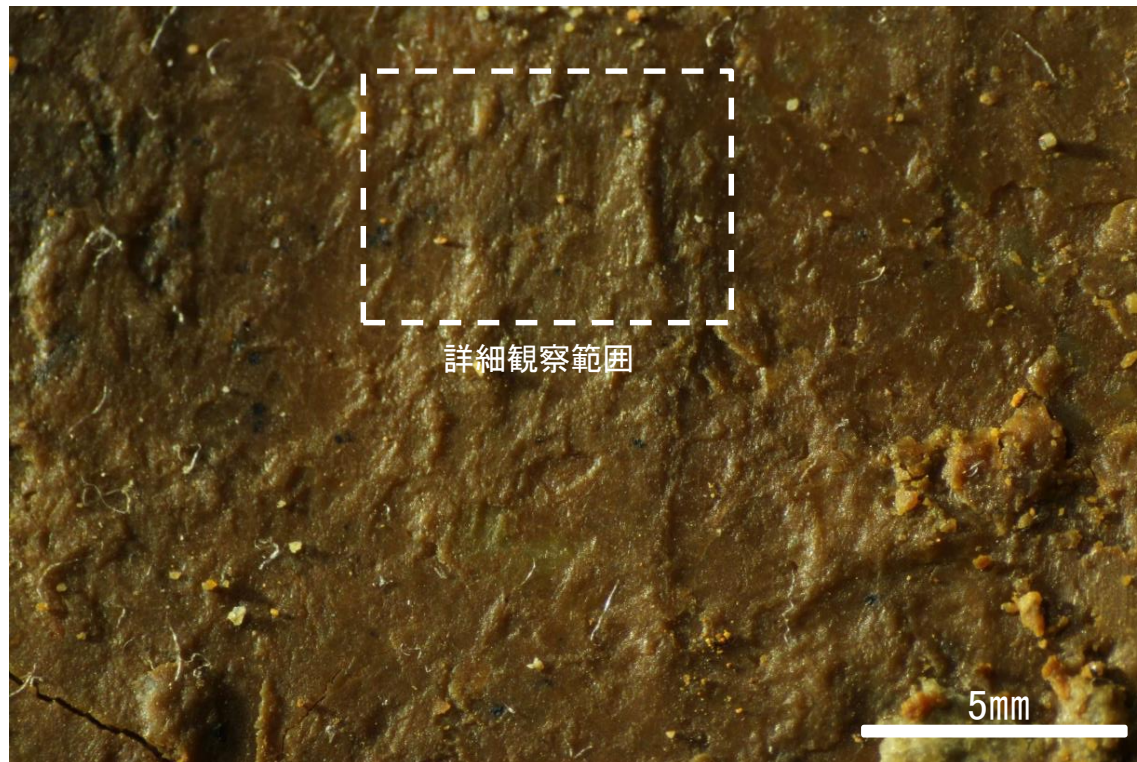
詳細観察写真

・条線のレイクは51° R, 変位センスは不明

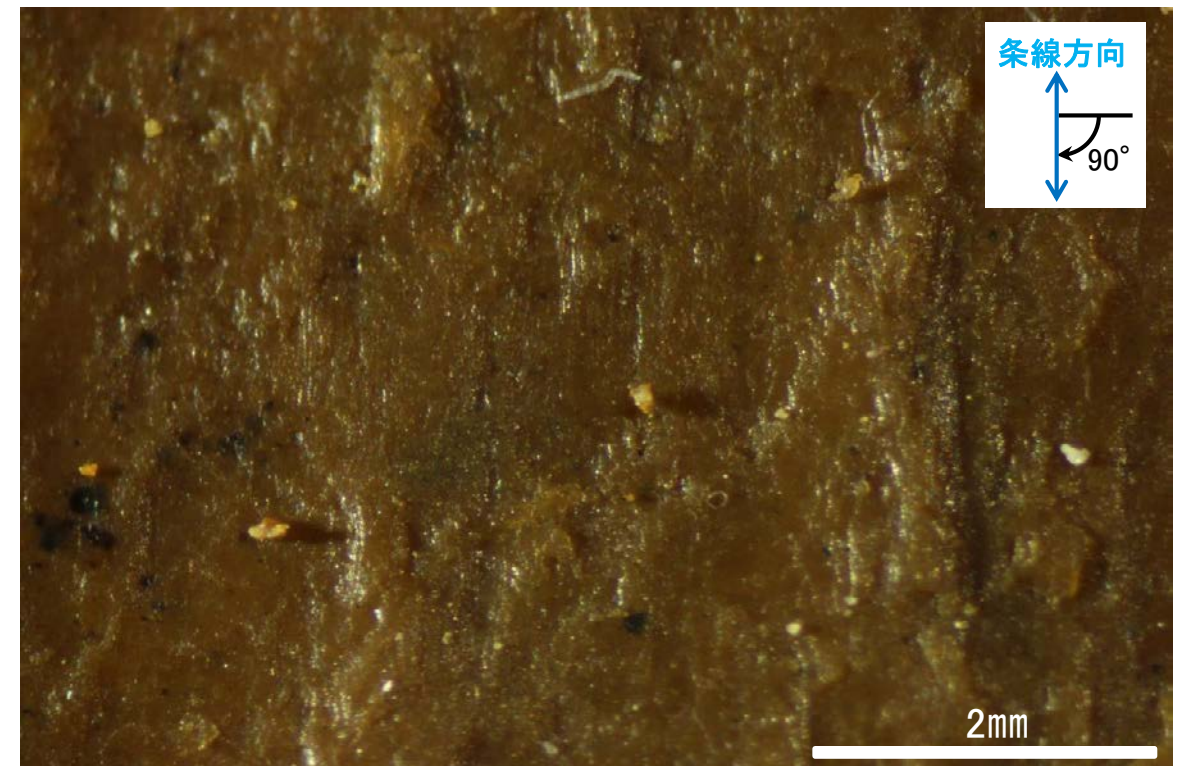
条線観察結果 えん堤左岸トレンチ底盤(下盤側)①



観察面写真



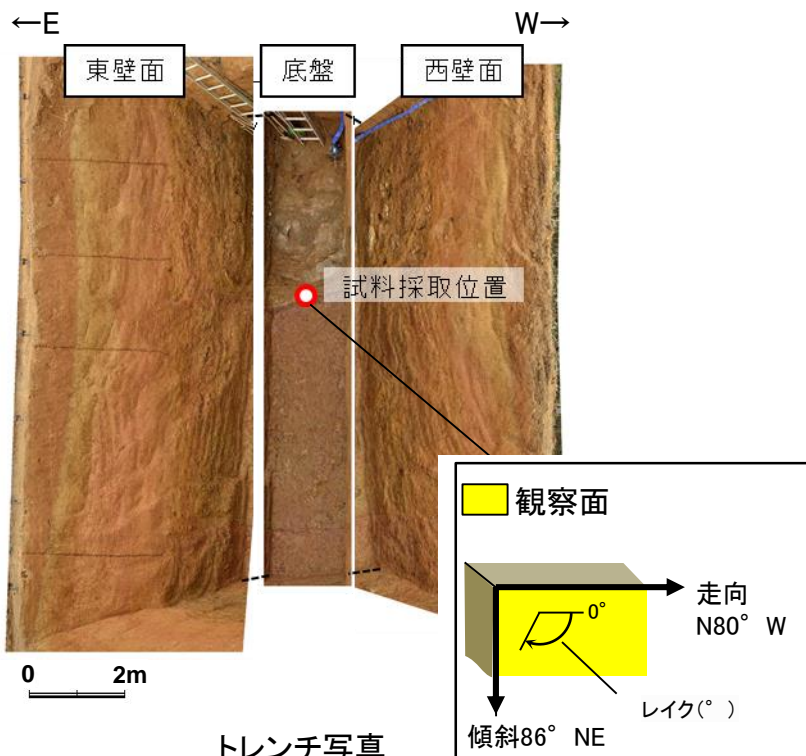
観察面拡大写真



詳細観察写真

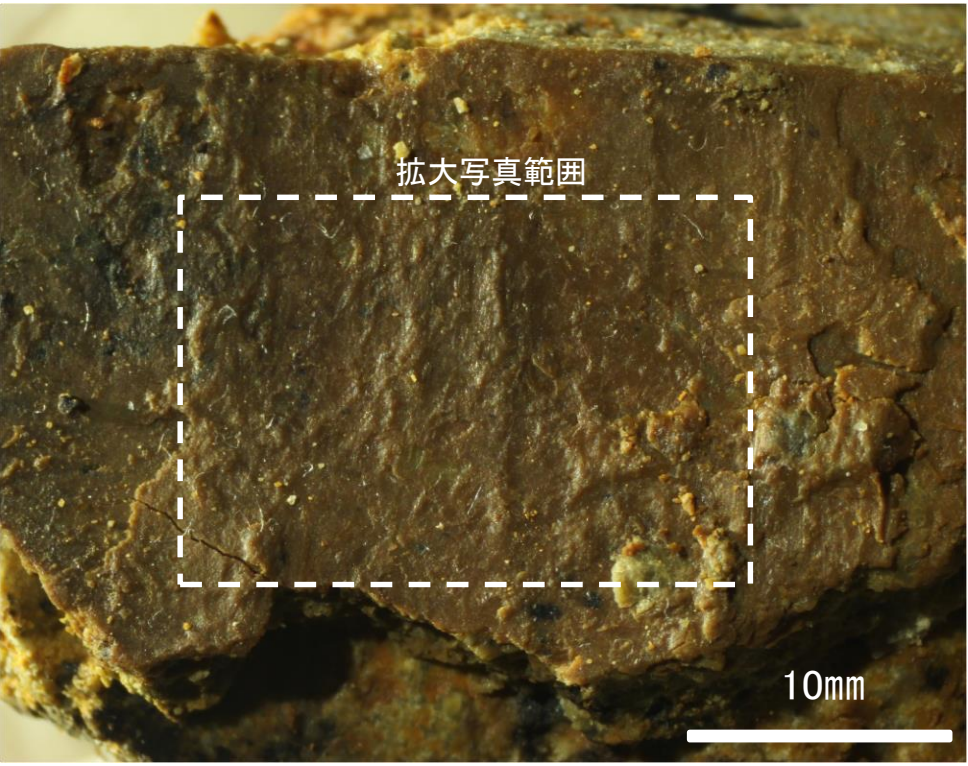
・条線のレイクは90° R, 変位センスは不明

条線観察結果 えん堤左岸トレンチ底盤(下盤側)②

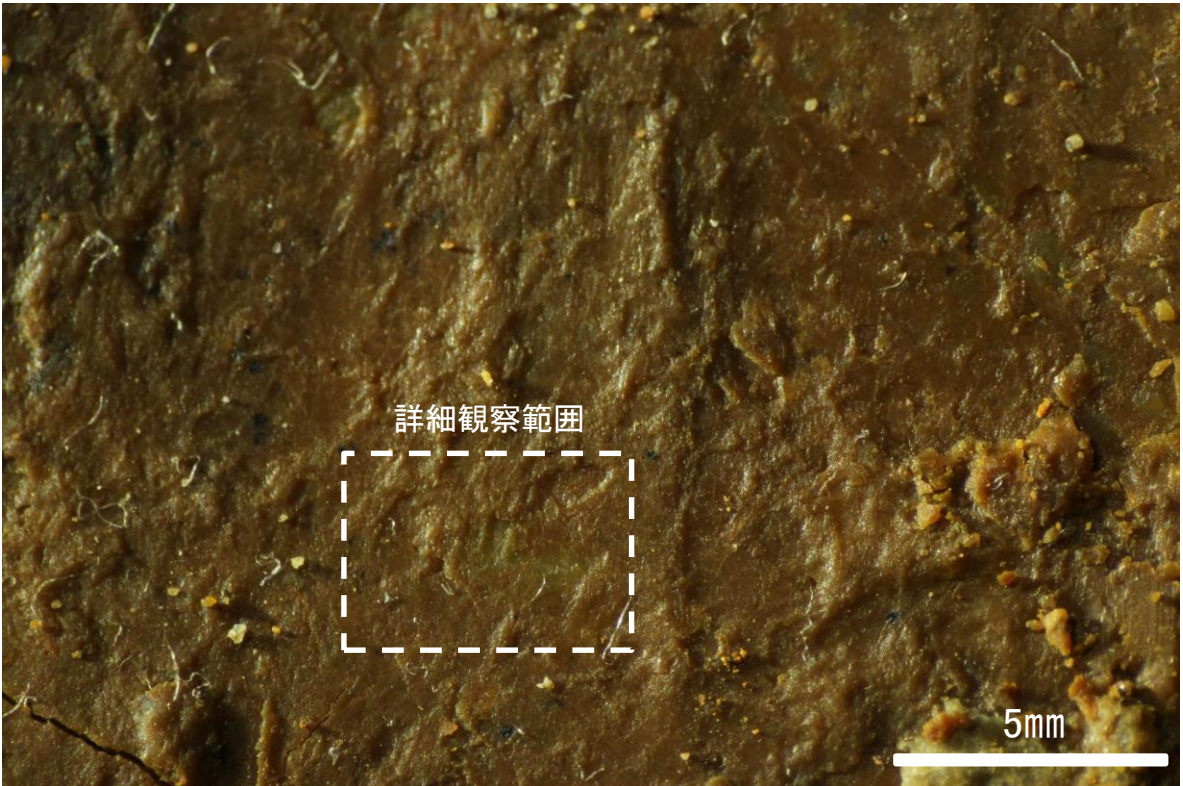


トレンチ写真

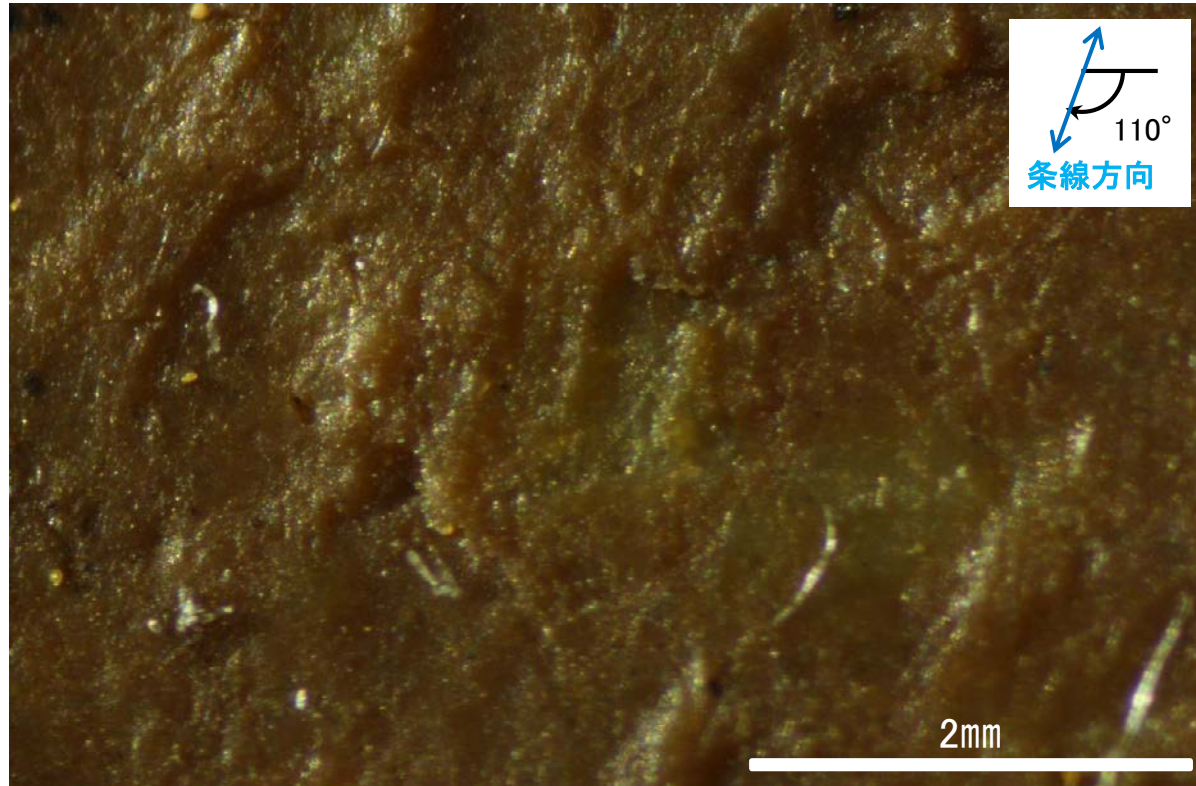
概念図 ※走向は真北で示す。



観察面写真



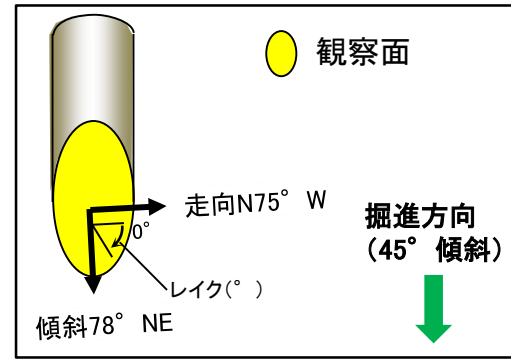
観察面拡大写真



詳細観察写真

・条線のレイクは110° R, 変位センスは不明

条線観察結果 ボーリングO-17.3孔[深度41.82m](下盤側)①



概念図

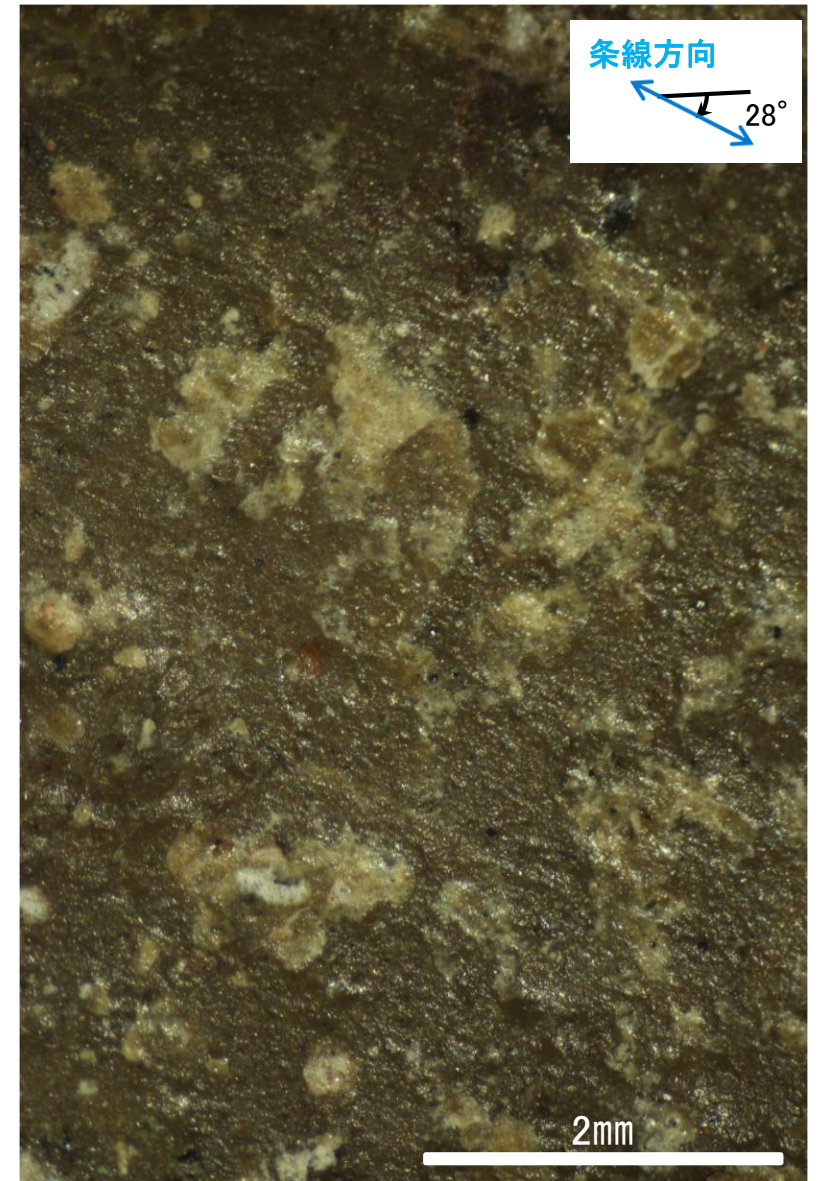
※走向は真北で示す。



観察面写真



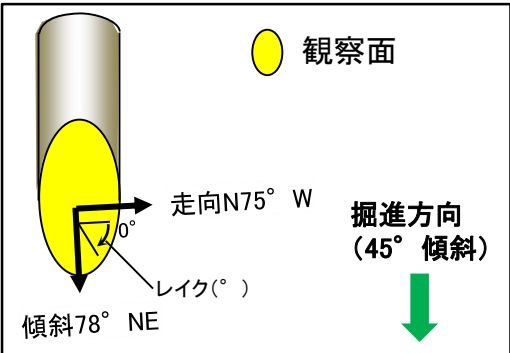
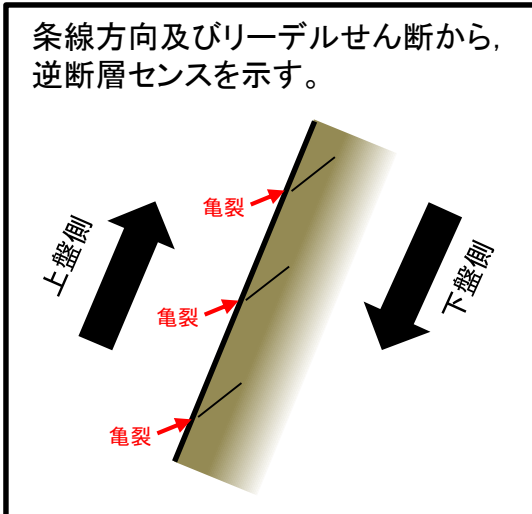
観察面拡大写真



詳細観察写真

・条線のレイクは28° R, 変位センスは不明

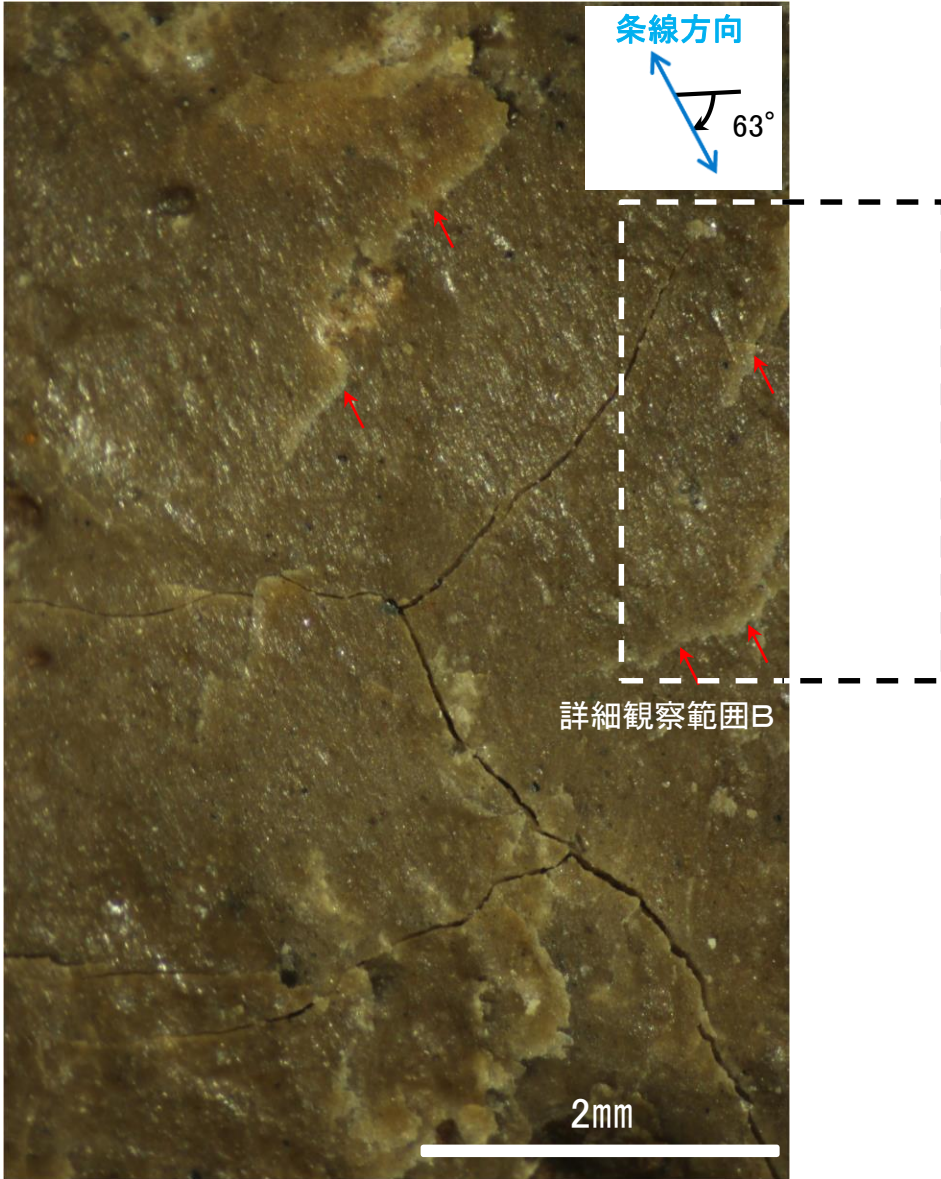
条線観察結果 ボーリングO-17.3孔[深度41.82m](下盤側)②



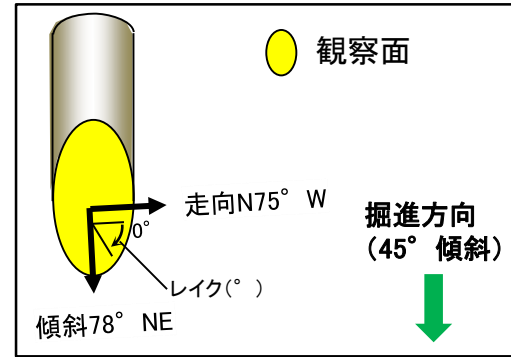
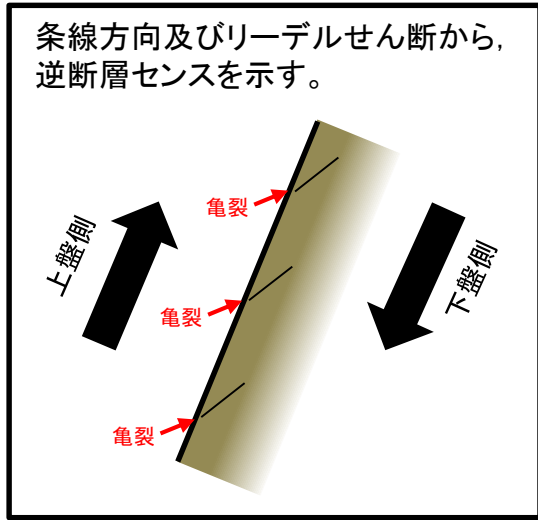
概念図
※走向は真北で示す。



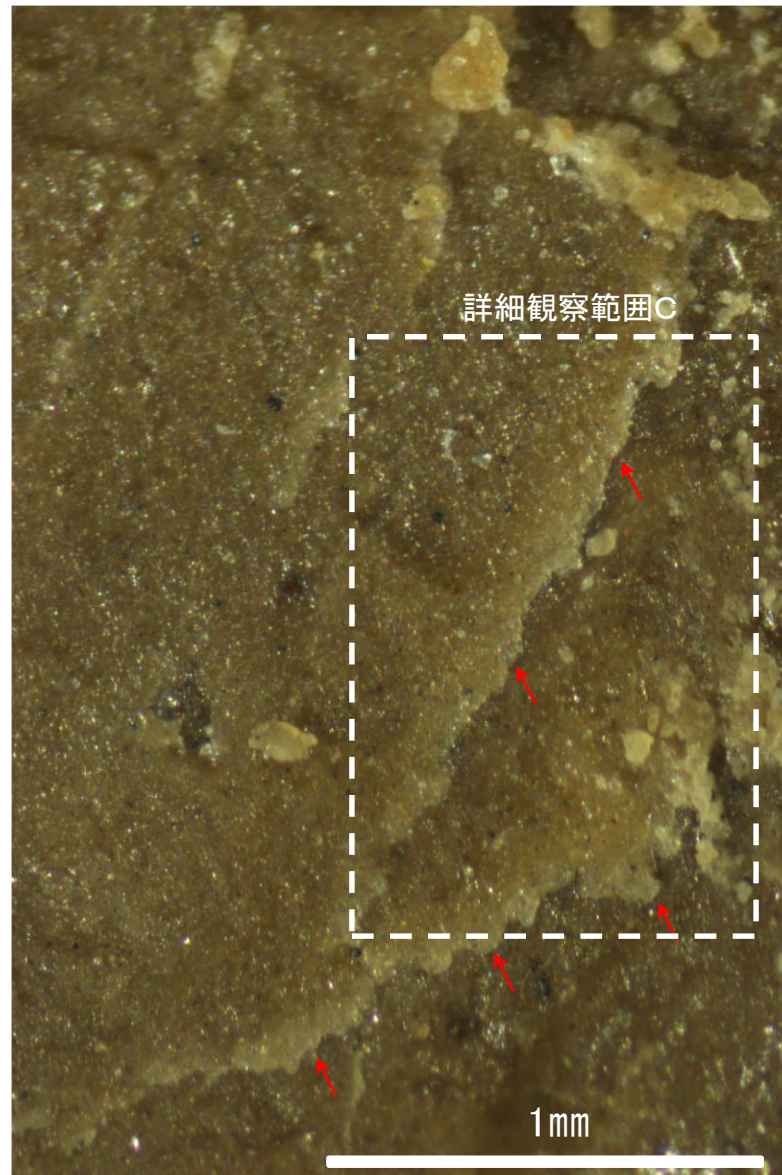
観察面写真



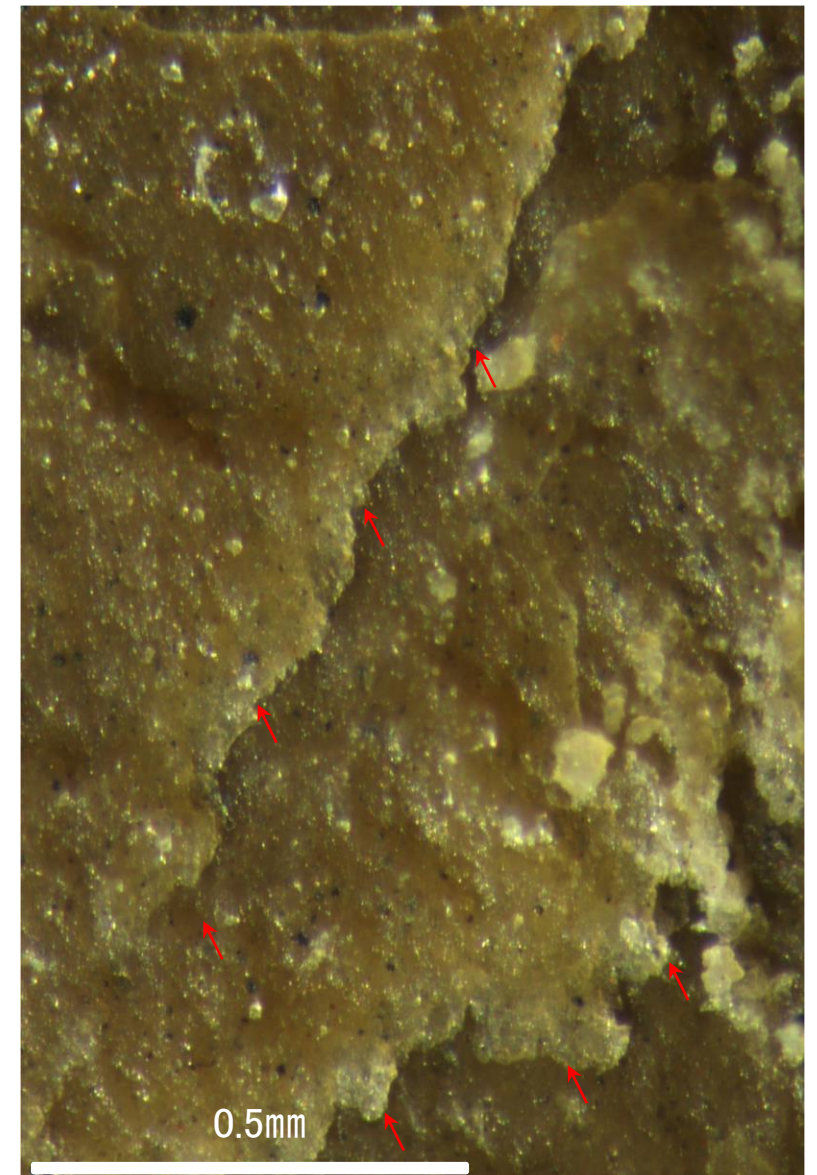
観察面拡大写真



概念図
※走向は真北で示す。

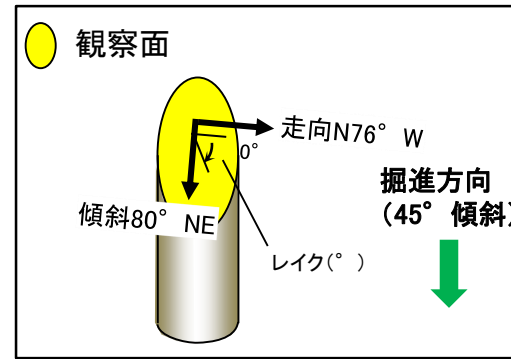


詳細観察写真B

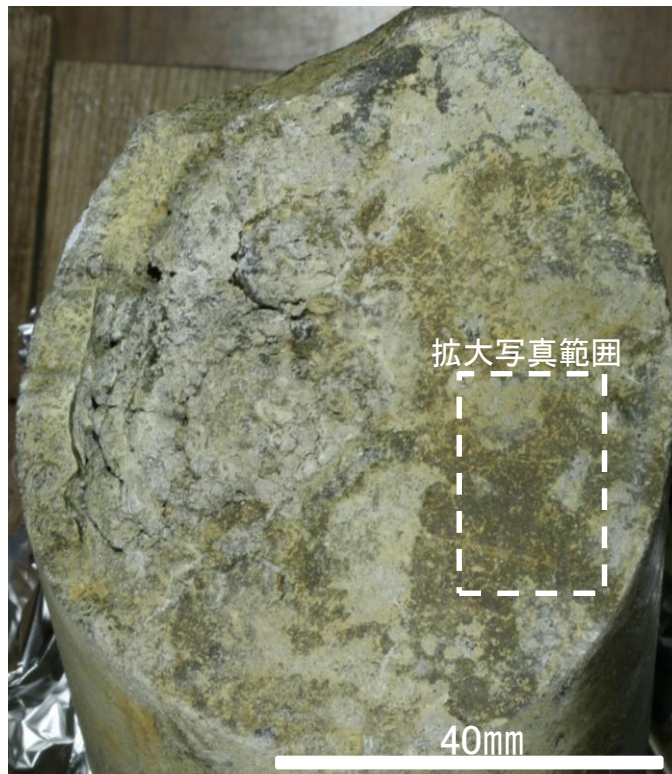


詳細観察写真C

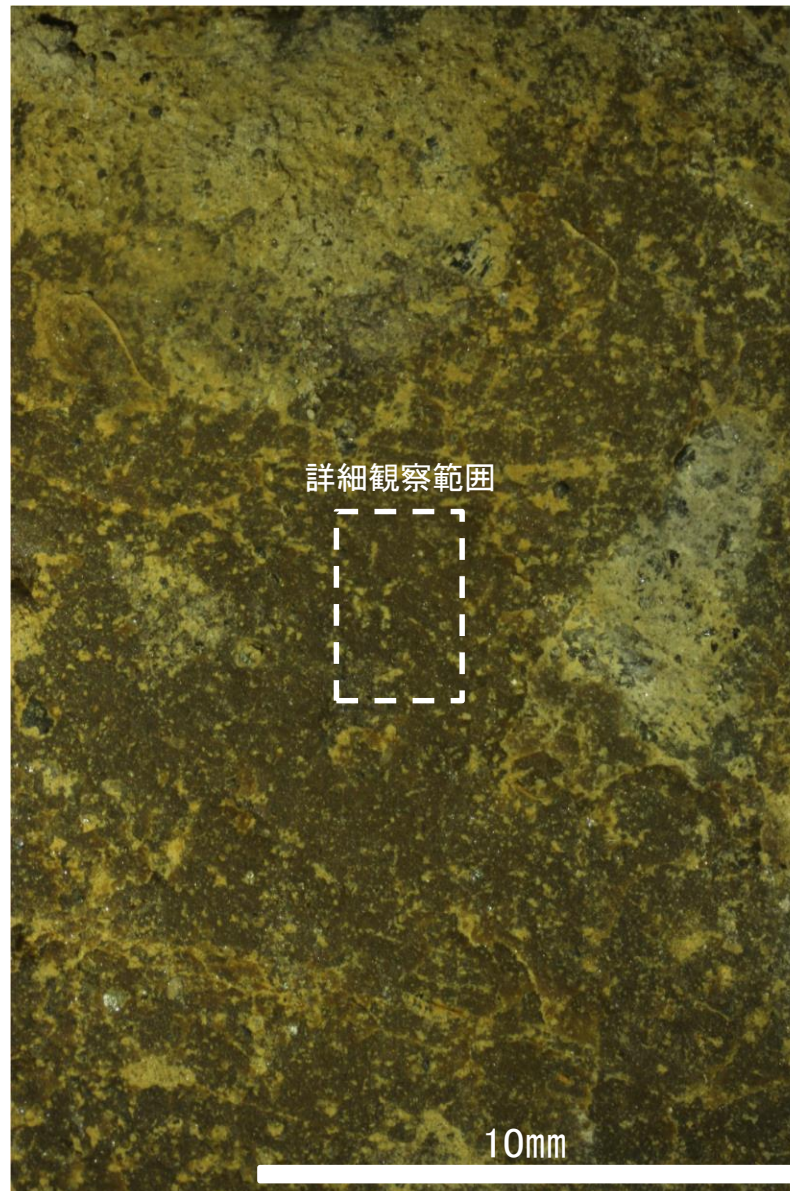
・条線のレイクは63° R, 変位センスは右横ずれ逆断層センス



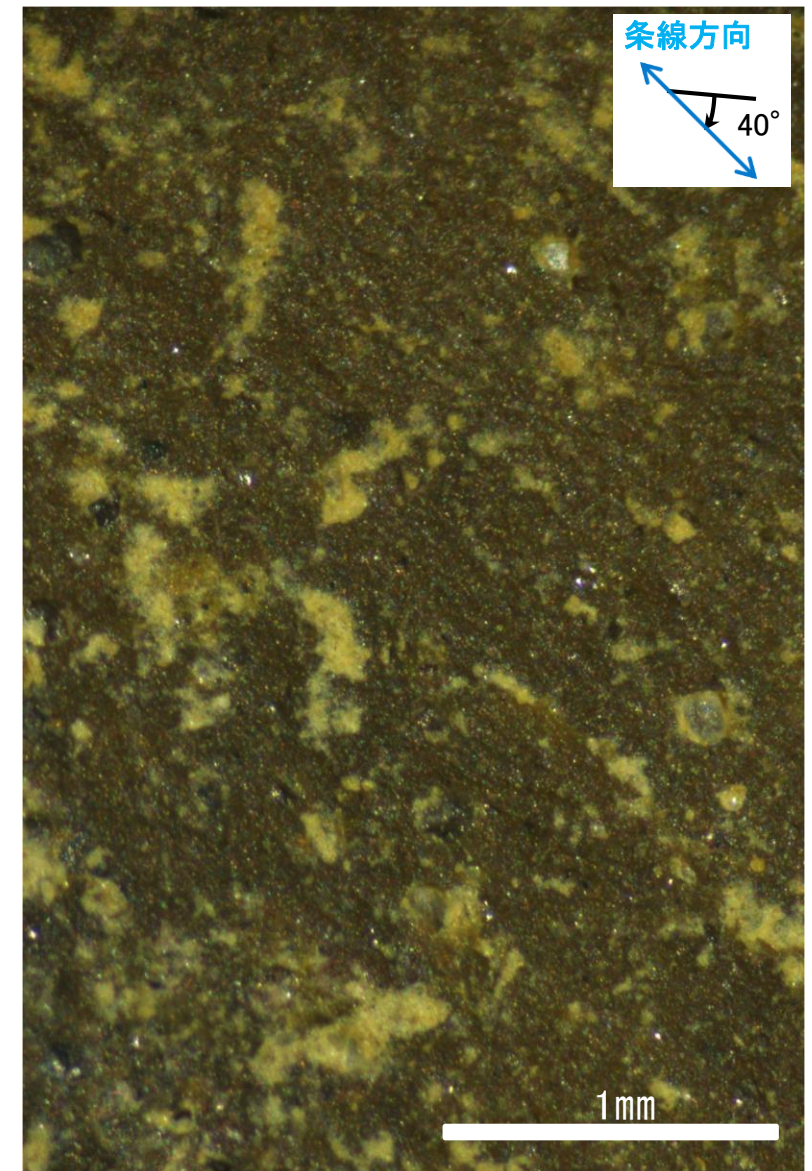
概念図
※走向は真北で示す。



観察面写真



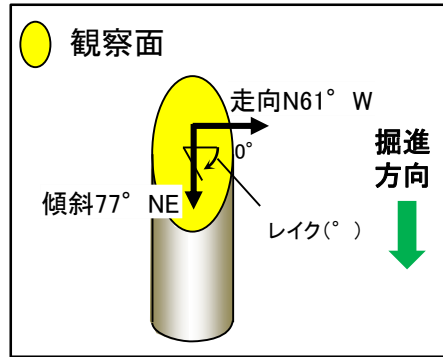
観察面拡大写真



詳細観察写真

・条線のレイクは40° R, 変位センスは不明

条線観察結果(岩盤調査坑)ボーリングNo.6V孔(下盤側)①

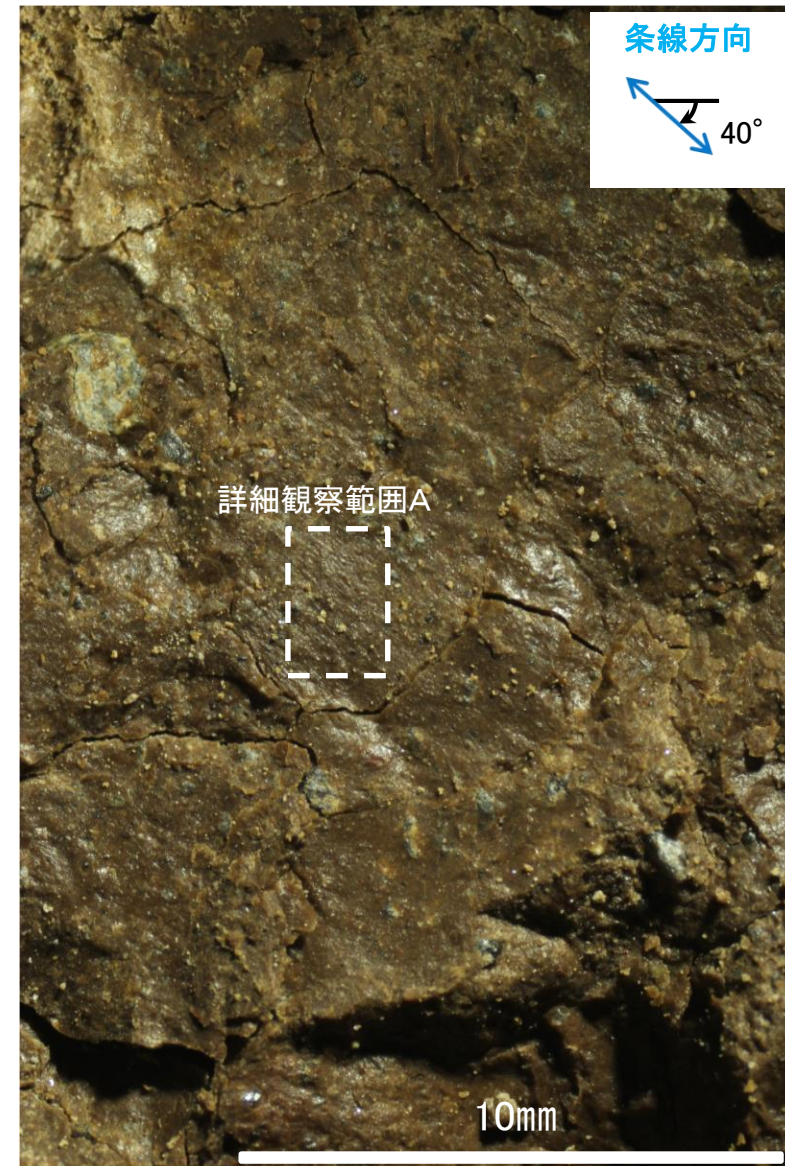


概念図

※走向は真北で示す。

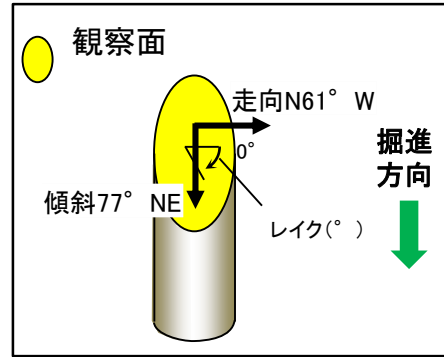


観察面写真

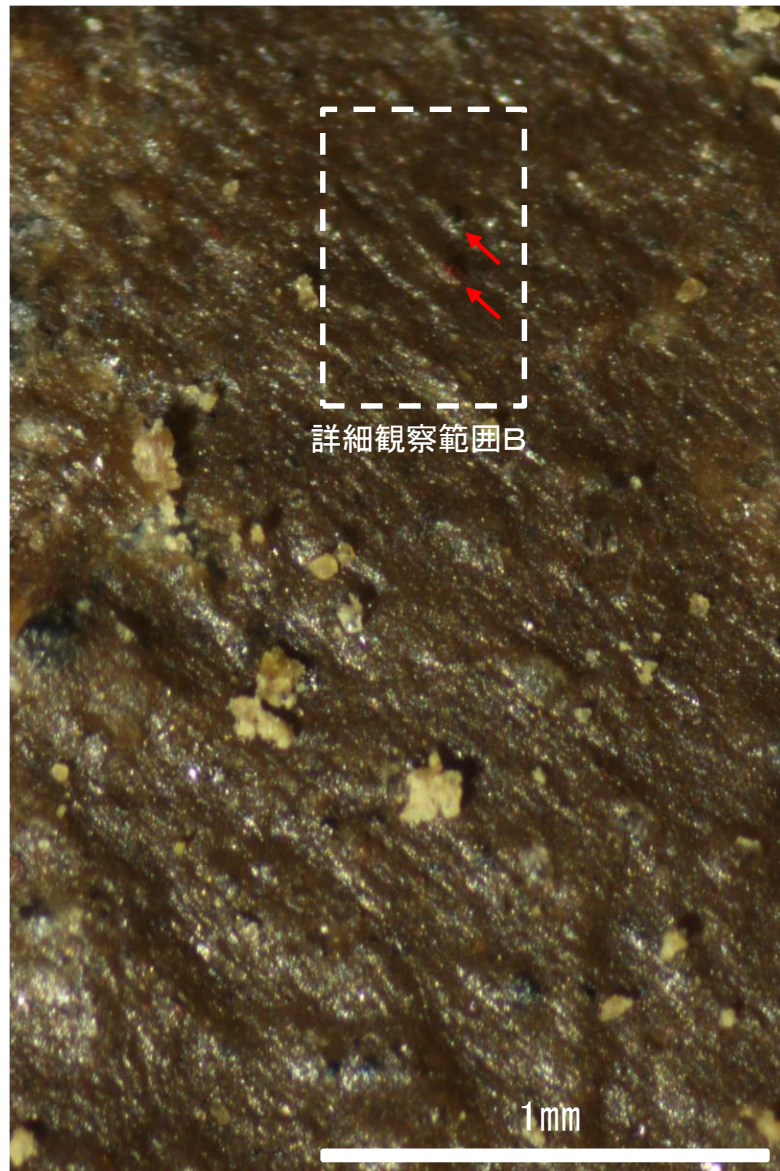
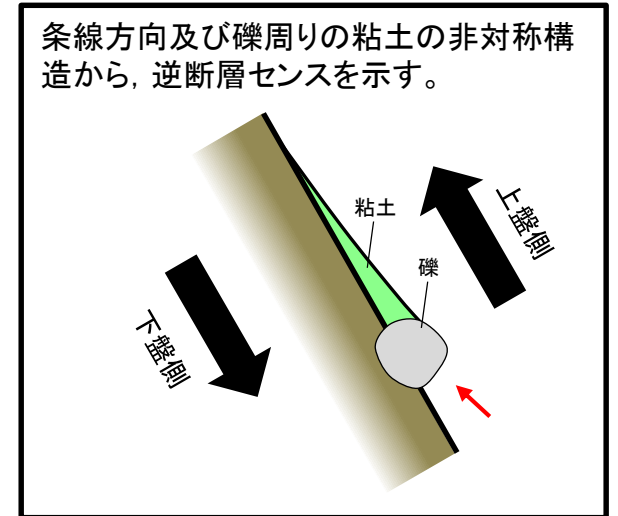


観察面拡大写真

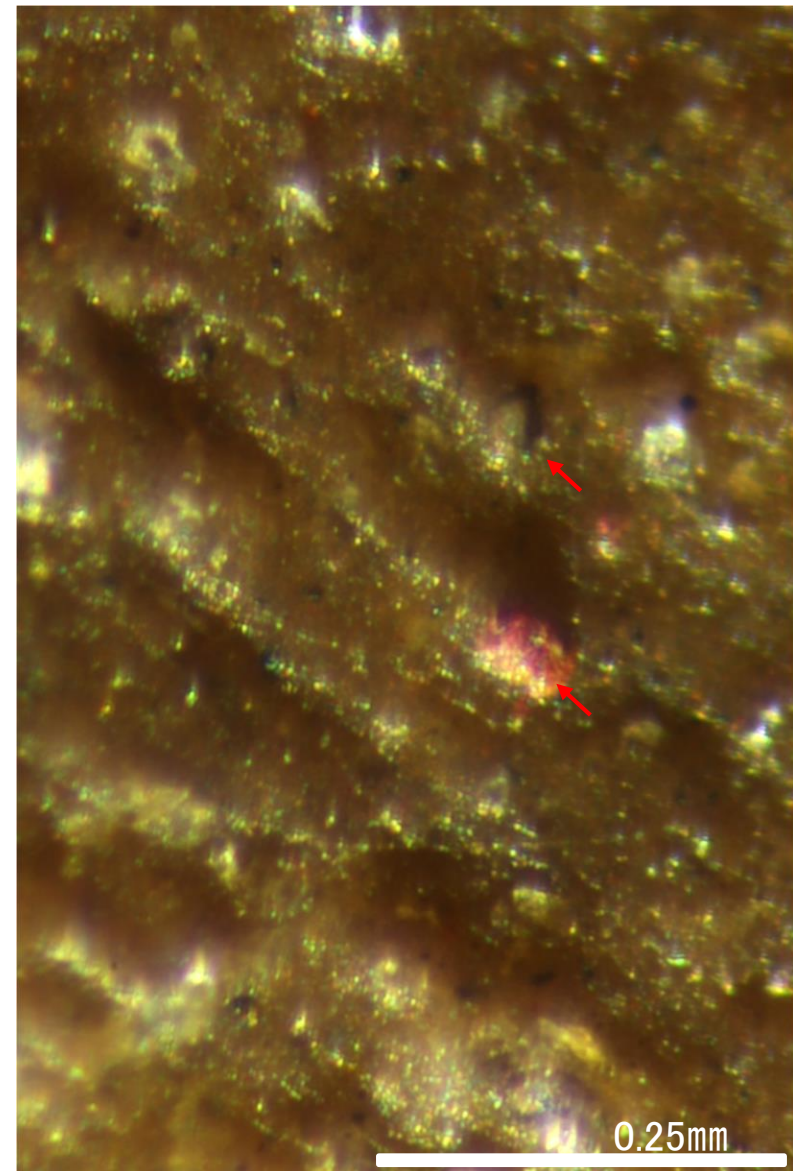
条線観察結果(岩盤調査坑)ボーリングNo.6V孔(下盤側)②



概念図
※走向は真北で示す。



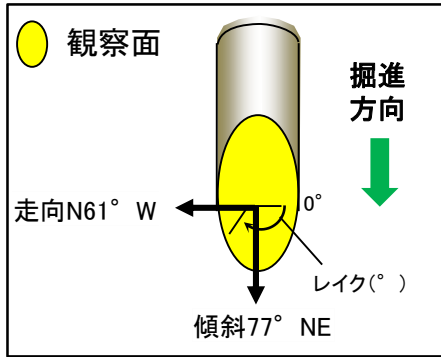
詳細観察写真A



詳細観察写真B

・条線のレイクは40° R, 変位センスは右横ずれ逆断層センス

条線観察結果(岩盤調査坑)ボーリングNo.6V孔(上盤側)①

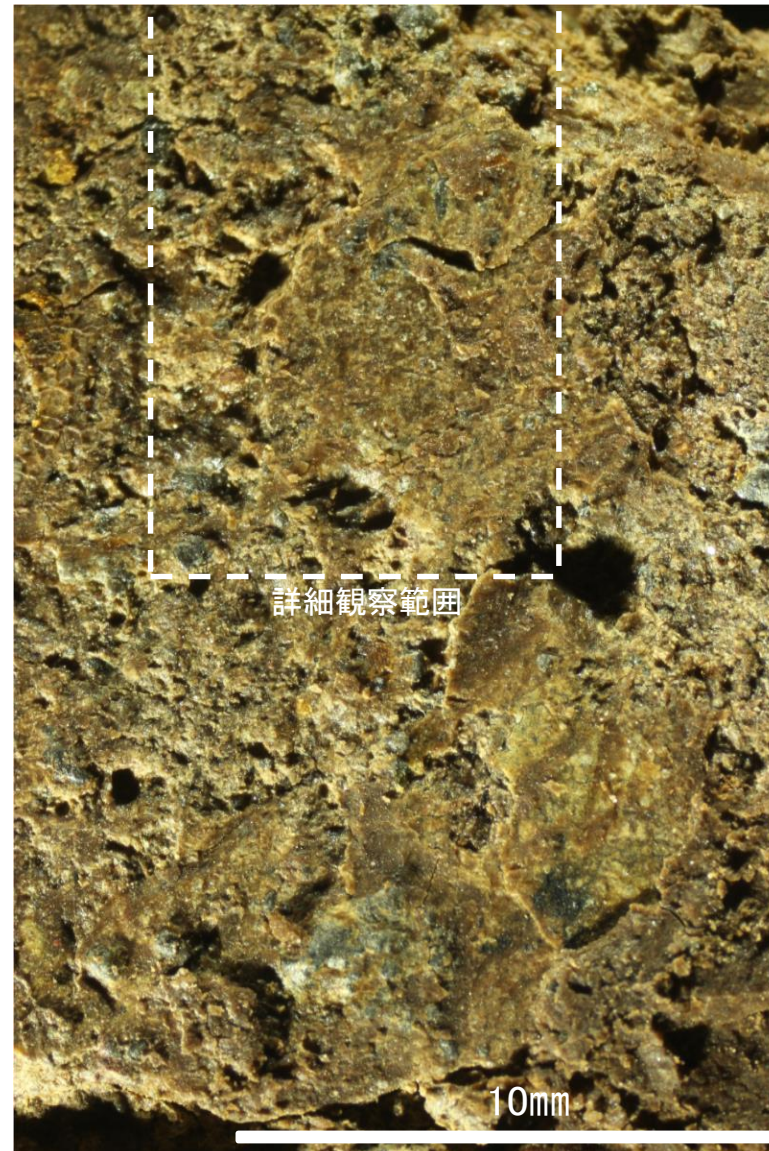


概念図

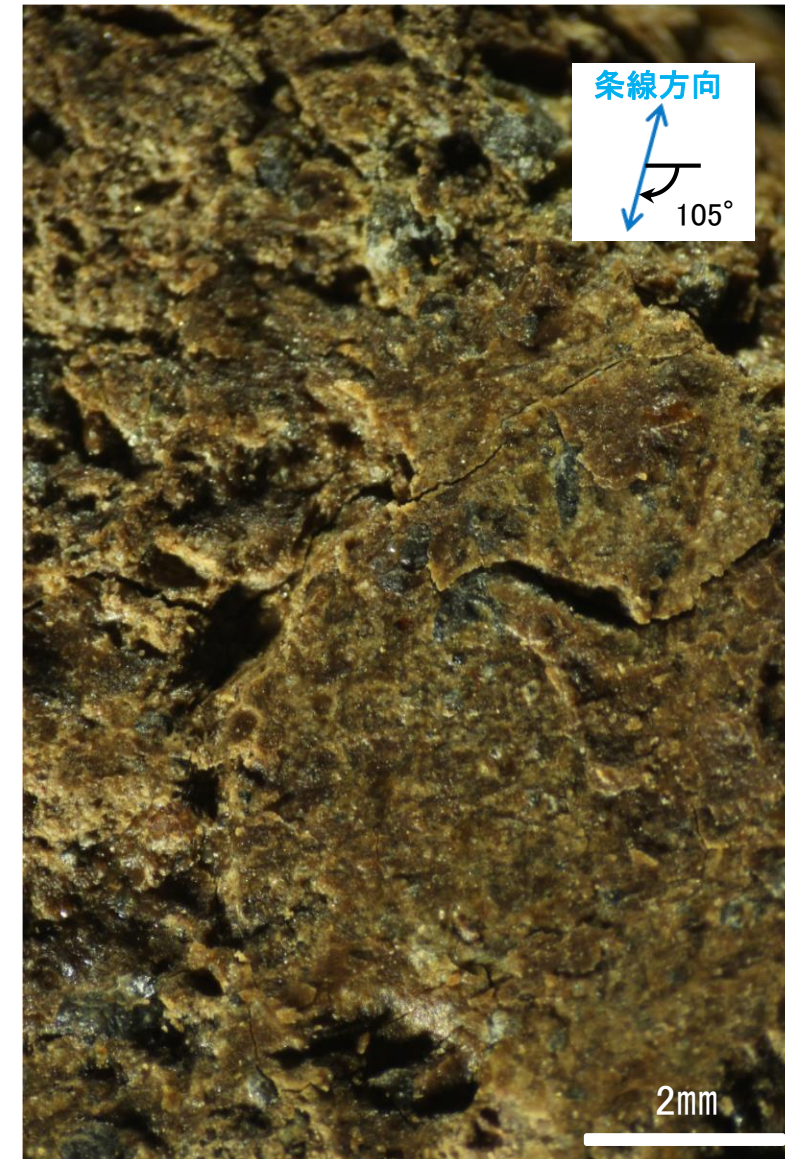
※走向は真北で示す。



観察面写真



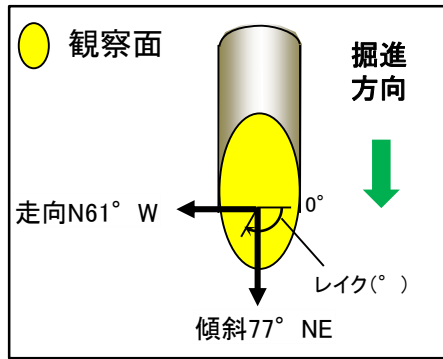
観察面拡大写真



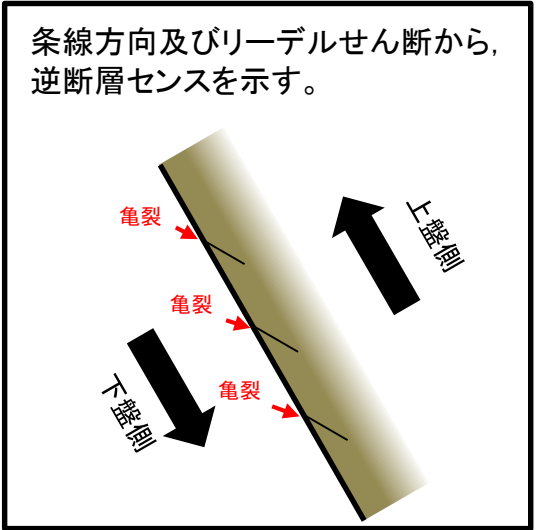
詳細観察写真

・条線のレイクは75° R(下盤側換算), 変位センスは不明

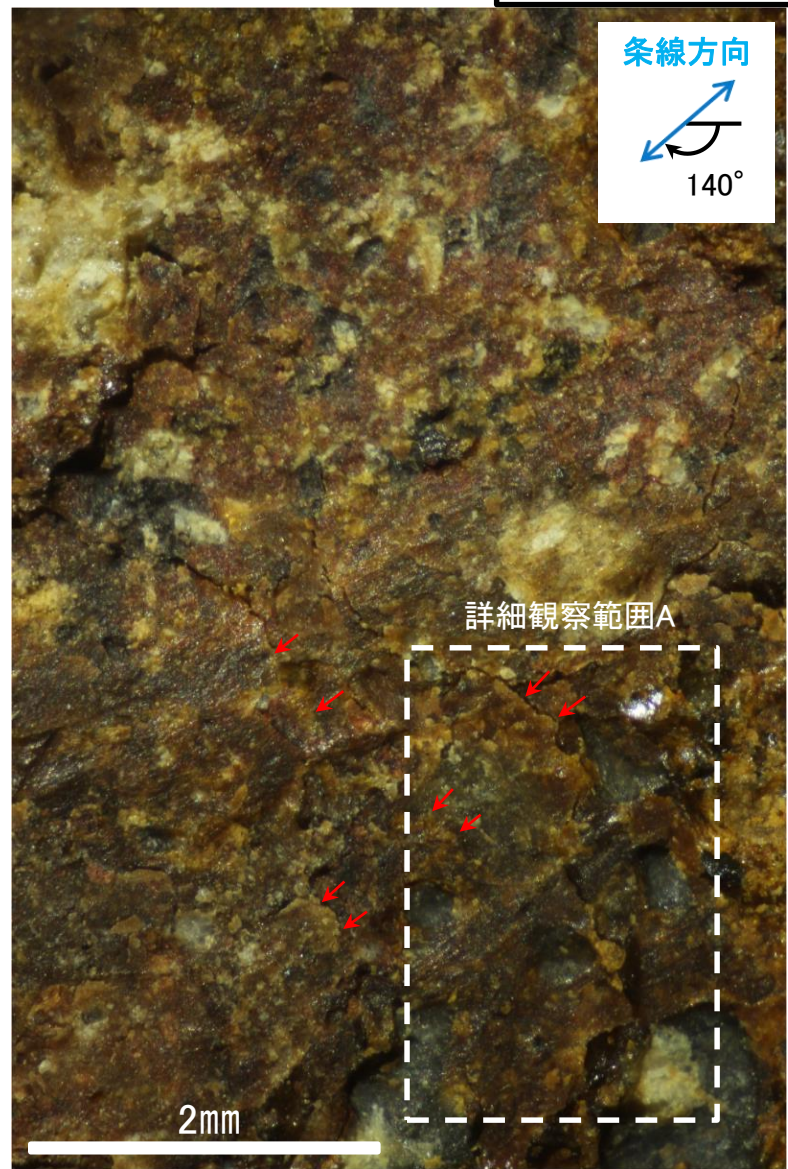
条線観察結果(岩盤調査坑)ボーリングNo.6V孔(上盤側)②



概念図
※走向は真北で示す。

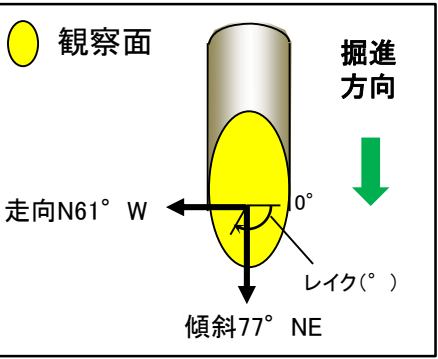


観察面写真

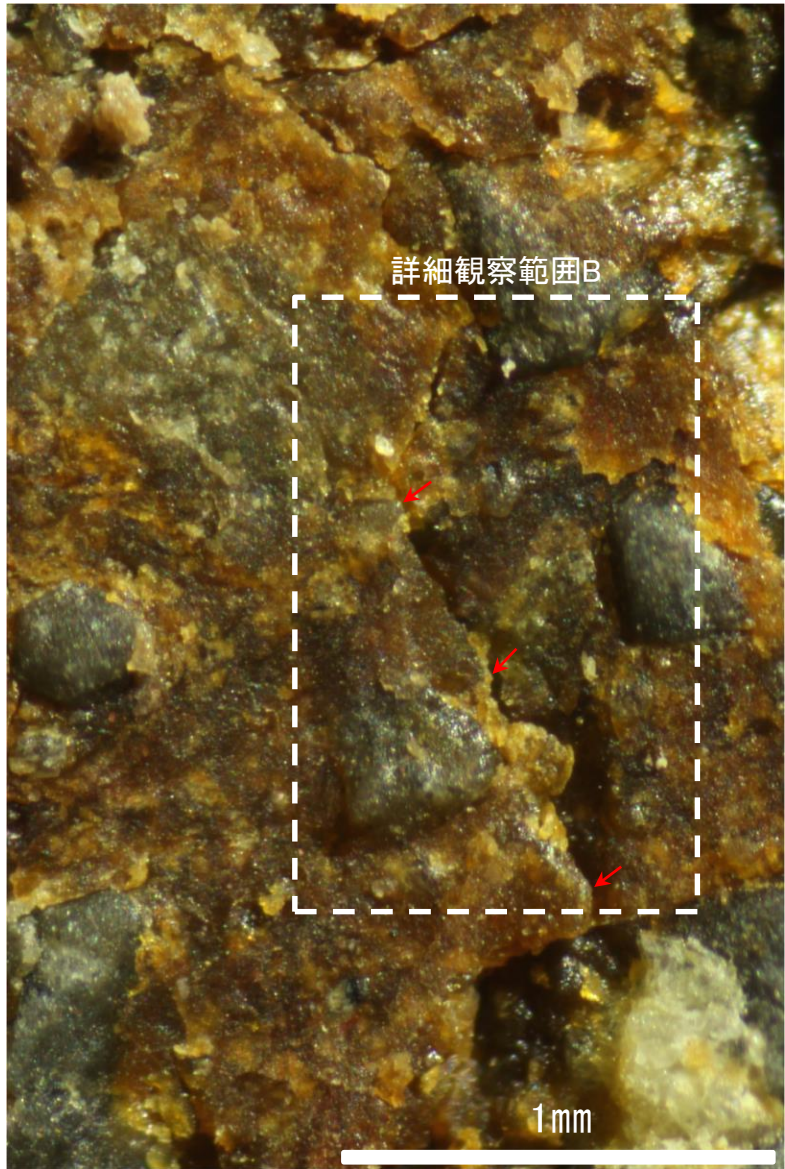
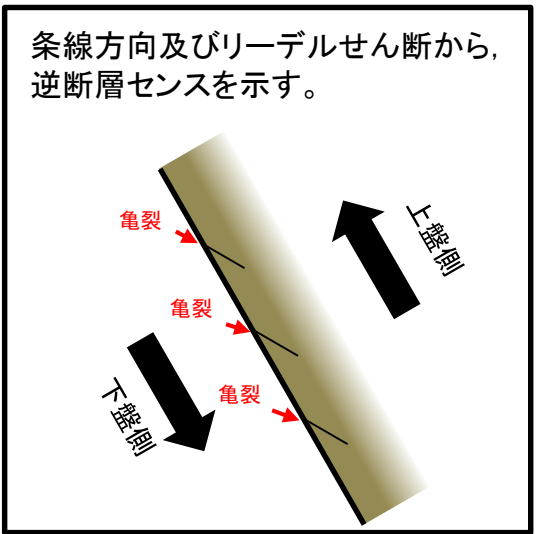


観察面拡大写真

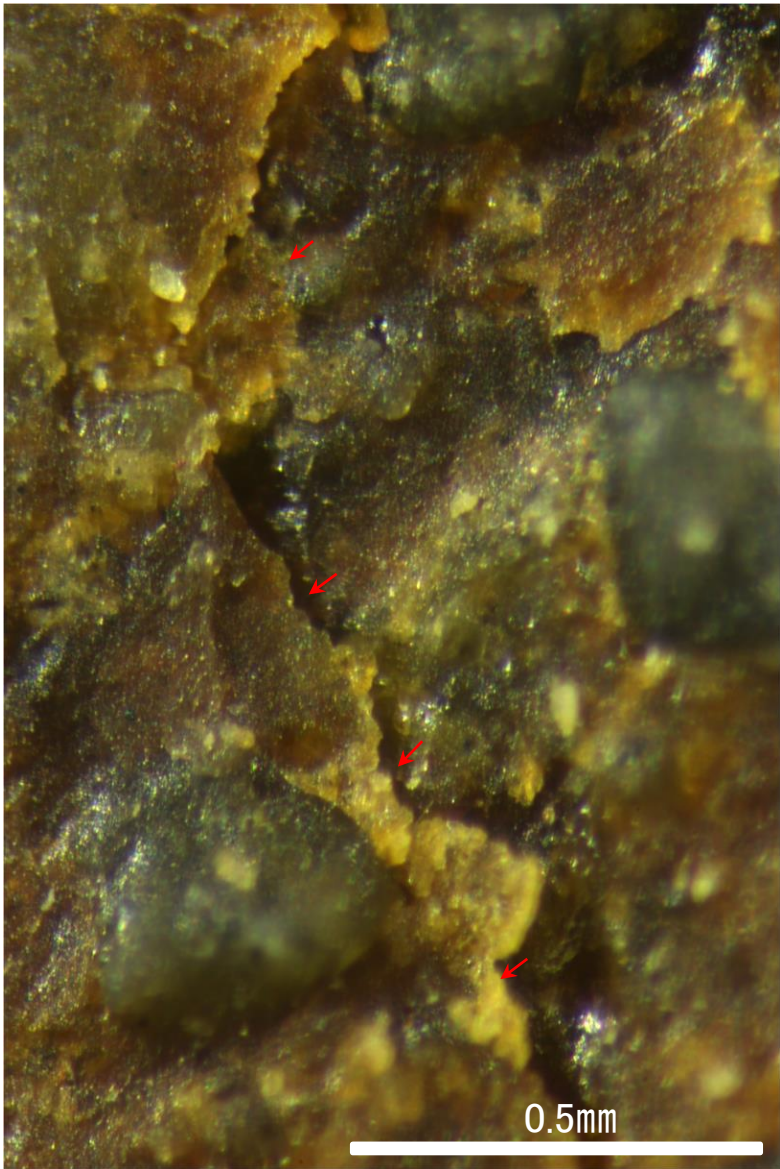
条線観察結果(岩盤調査坑)ボーリングNo.6V孔(上盤側)③



概念図
※走向は真北で示す。



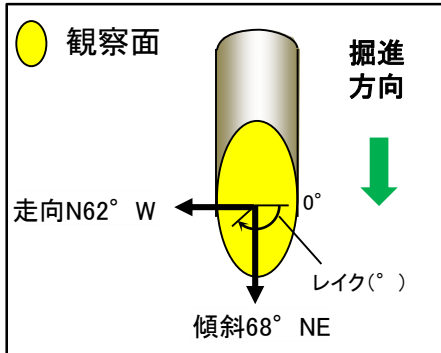
詳細観察写真A



詳細観察写真B

・条線のレイクは40° R (下盤側換算), 変位センスは右横ずれ逆断層センス

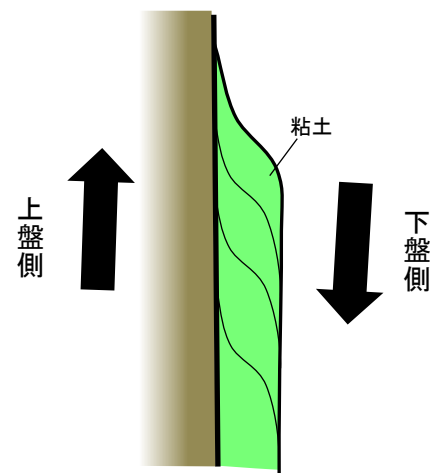
条線観察結果(岩盤調査坑)ボーリングNo.7V孔(上盤側)



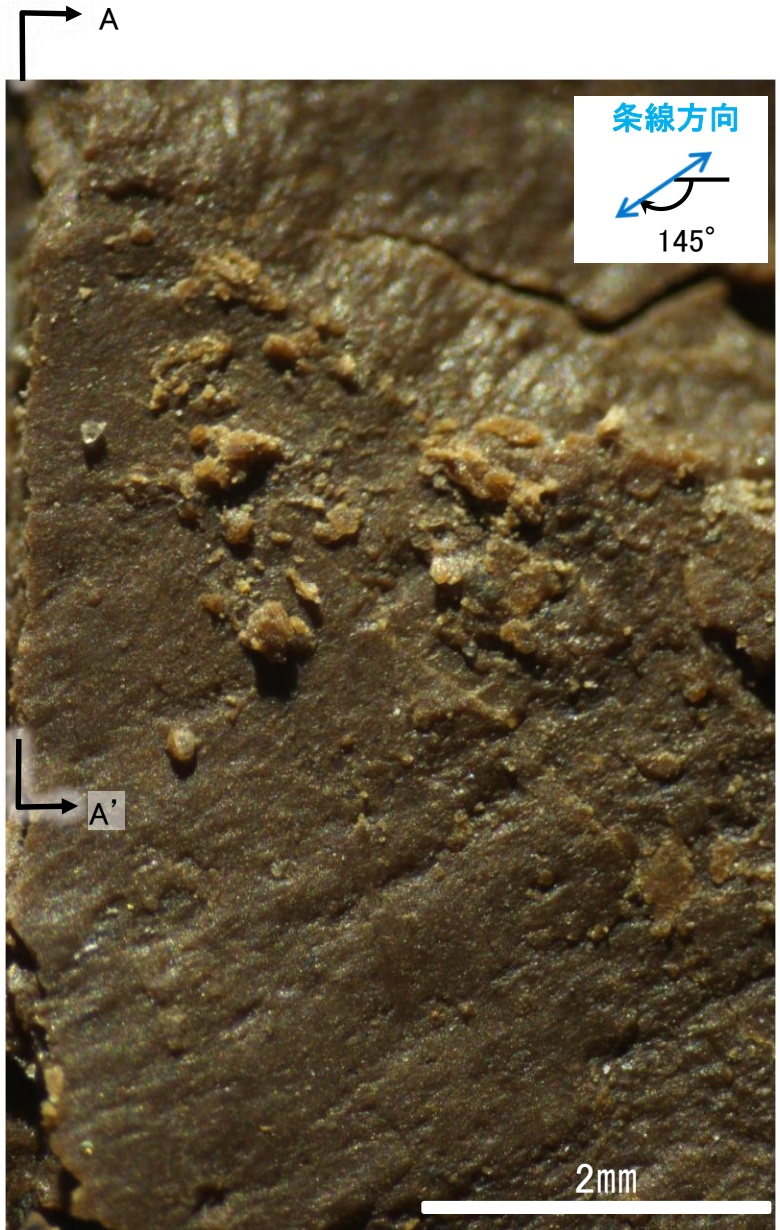
概念図

※走向は真北で示す。

条線方向及び粘土の非対称構造から、逆断層センスを示す。



観察面写真



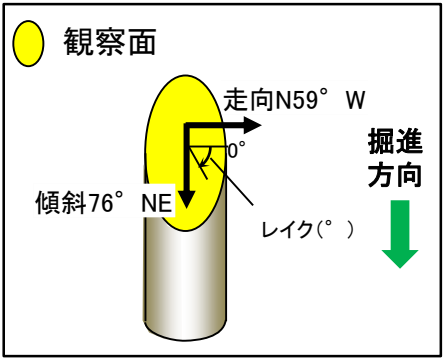
観察面拡大写真



詳細観察写真(A-A'断面)

・条線のレイクは35° R(下盤側換算), 変位センスは右横ずれ逆断層センス

条線観察結果(岩盤調査坑)ボーリングNo.8V孔(下盤側)

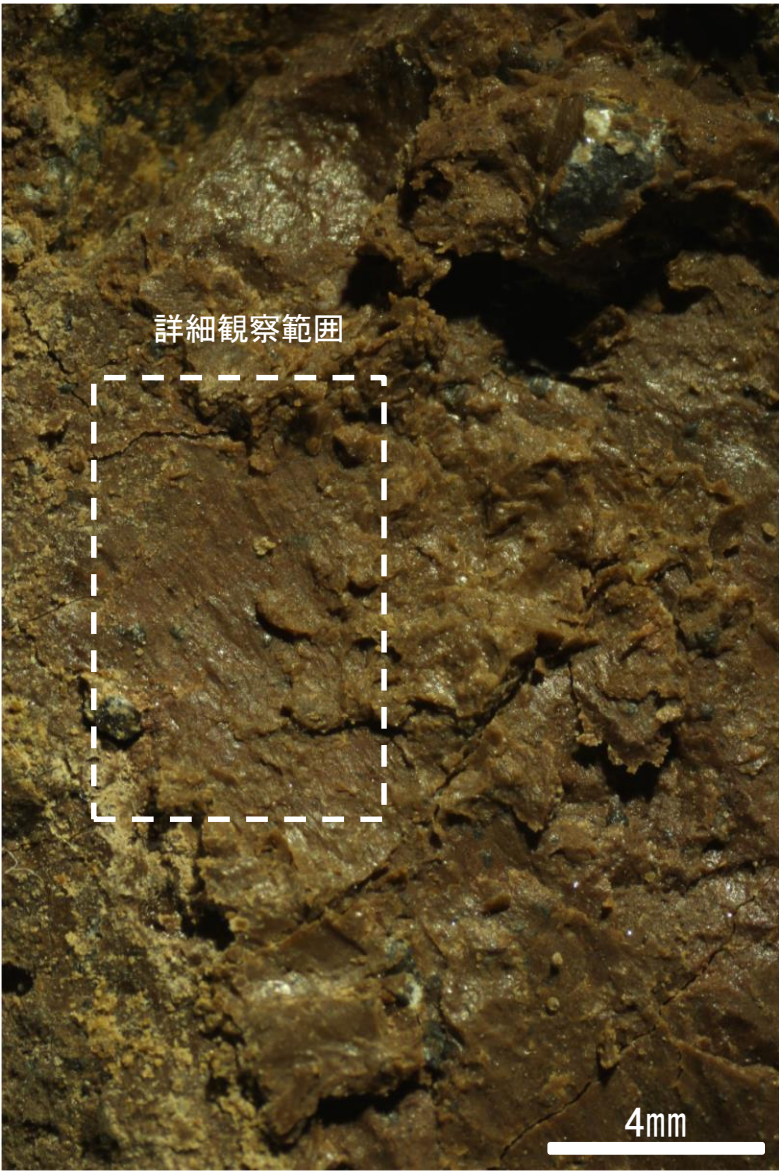


概念図

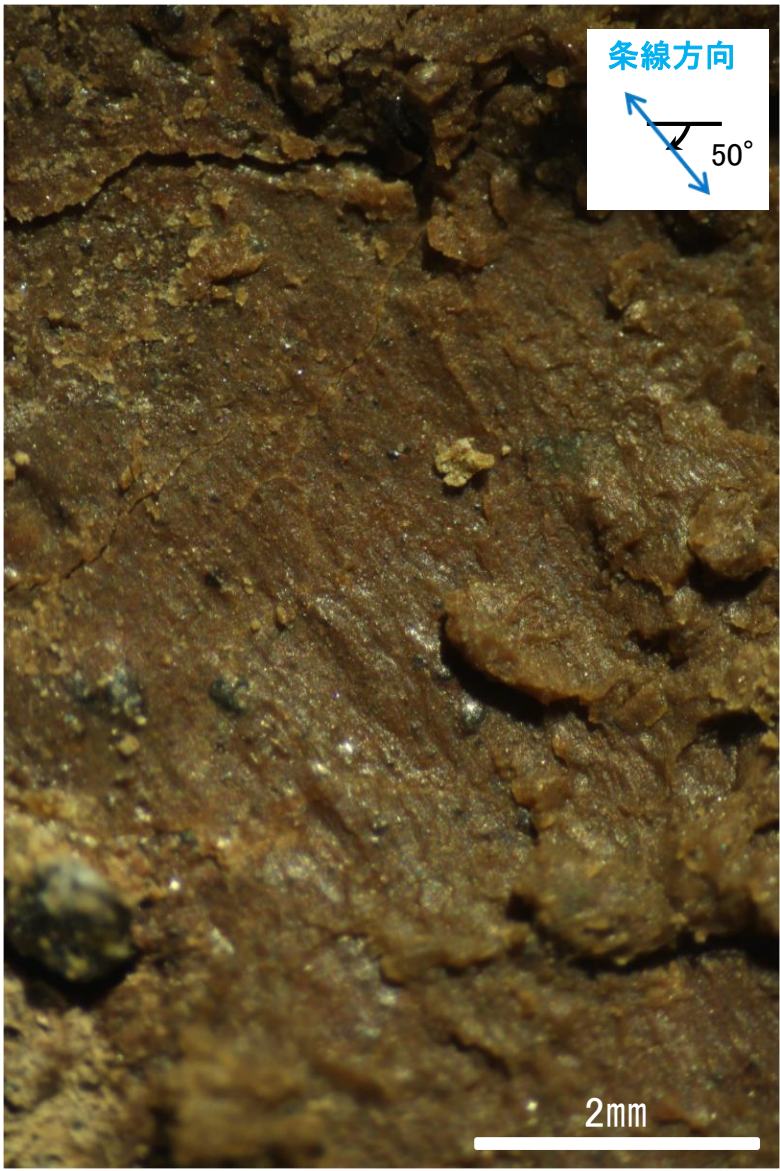
※走向は真北で示す。



観察面写真



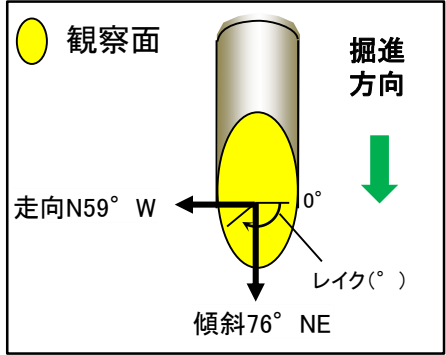
観察面拡大写真



詳細観察写真

・条線のレイクは50° R, 変位センスは不明

条線観察結果(岩盤調査坑)ボーリングNo.8V孔(上盤側)

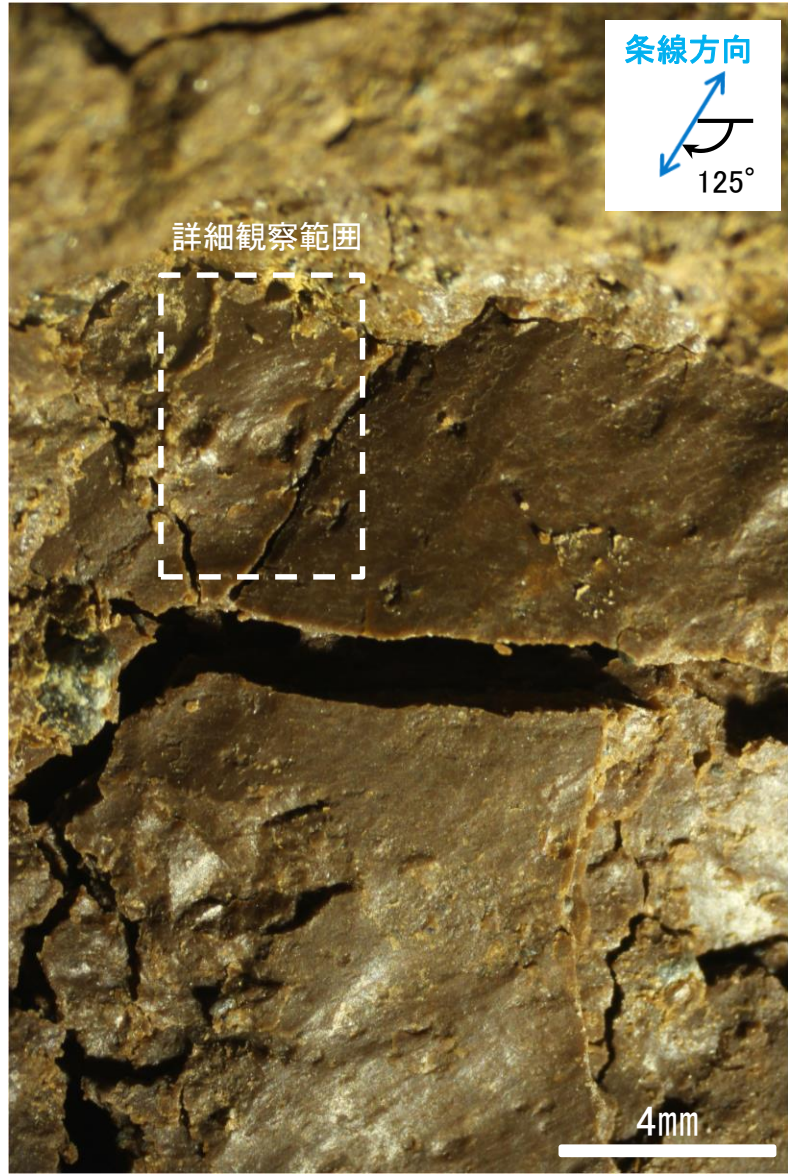


概念図

※走向は真北で示す。

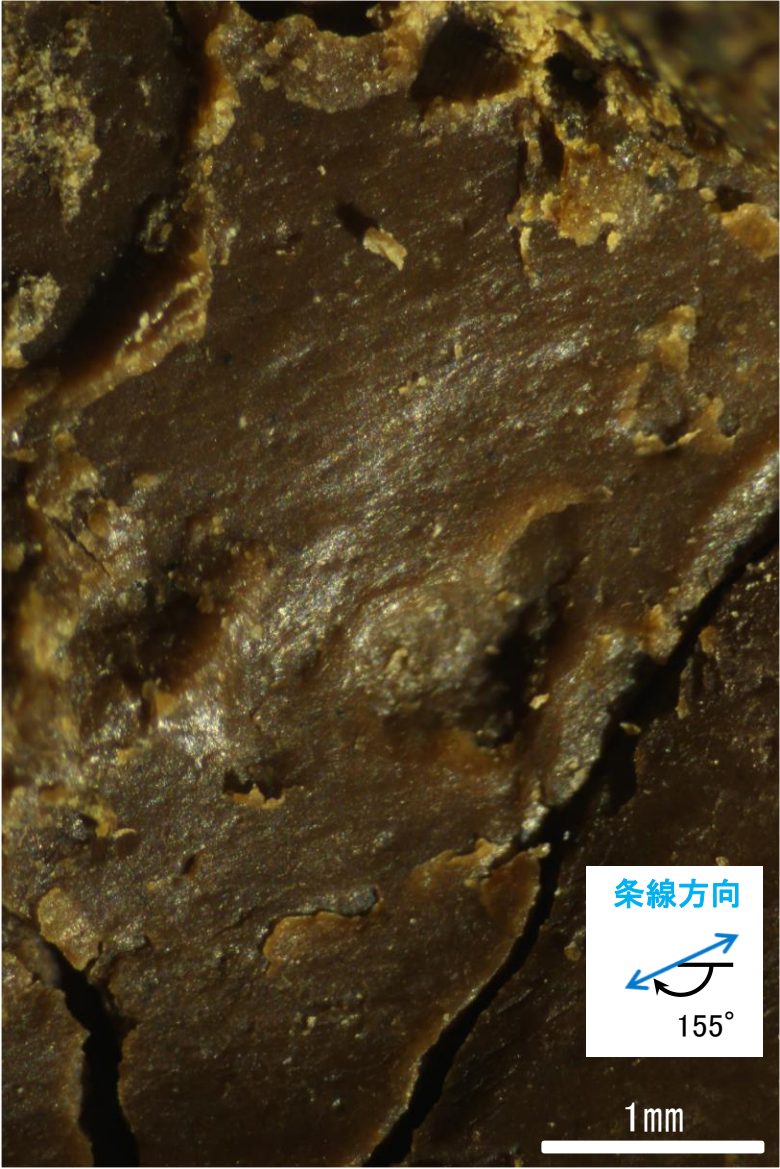


観察面写真



観察面拡大写真

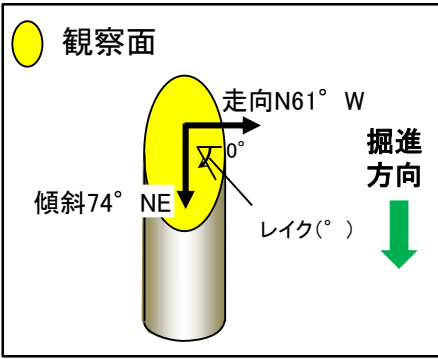
・条線のレイクは55° R (下盤側換算),
変位センスは不明



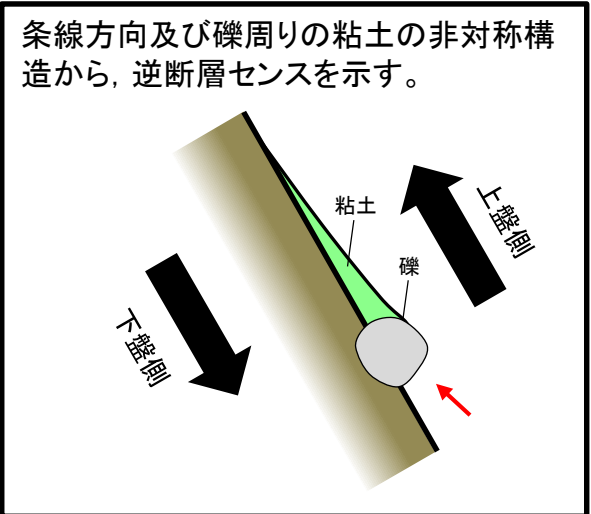
詳細観察写真

・条線のレイクは25° R (下盤側換算),
変位センスは不明

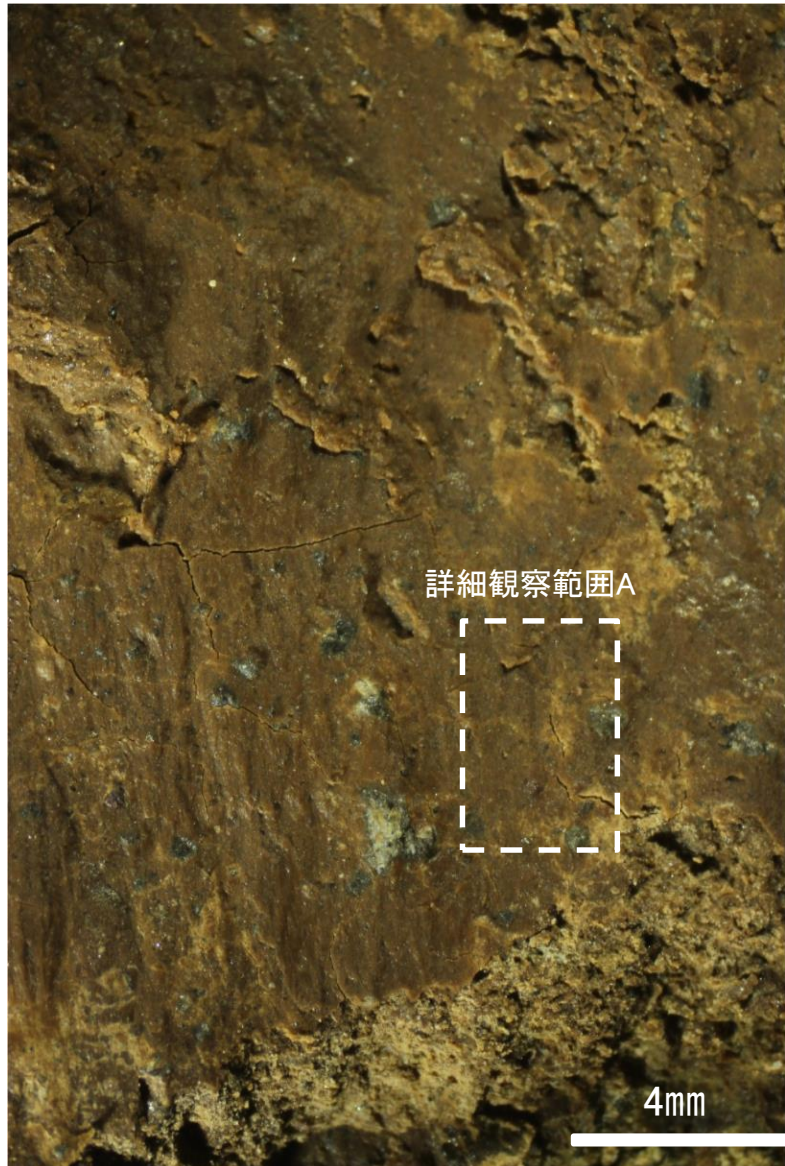
条線観察結果(岩盤調査坑)ボーリングNo.10V孔(下盤側)①



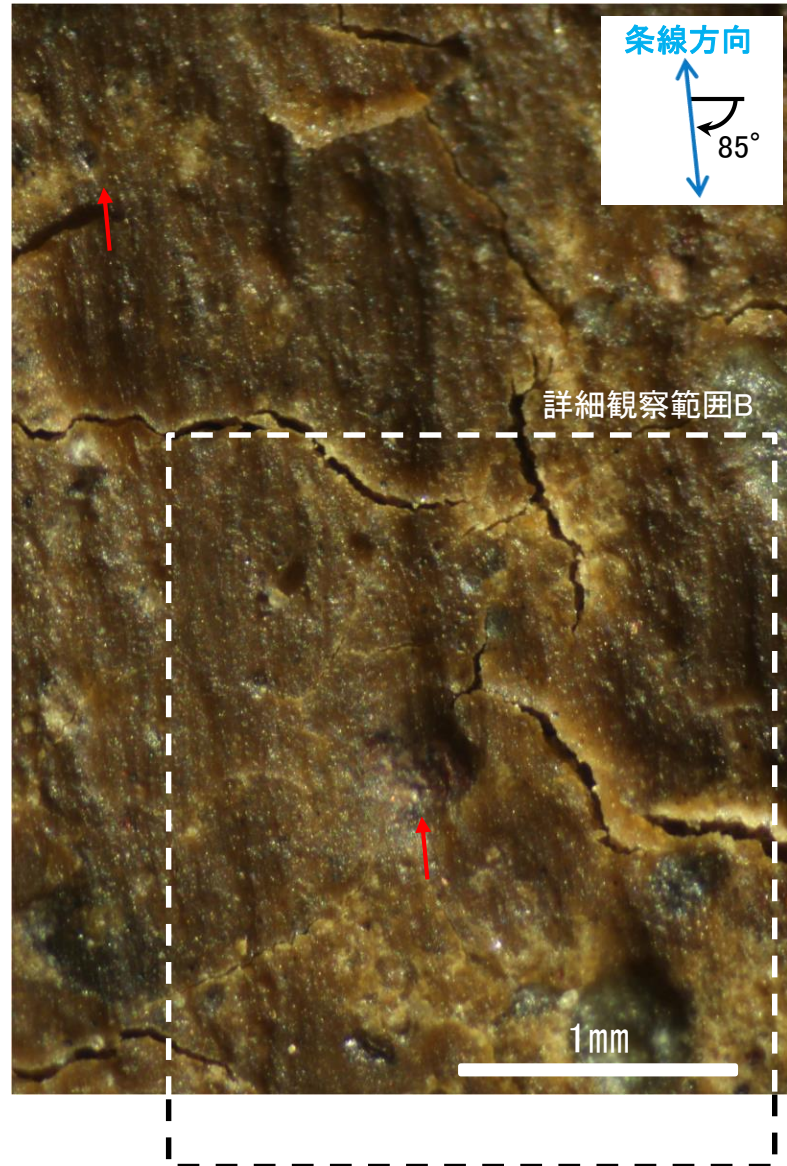
概念図
※走向は真北で示す。



観察面写真

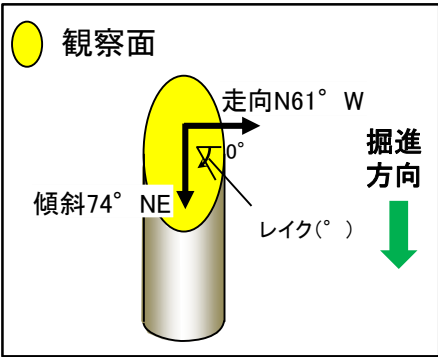


観察面拡大写真

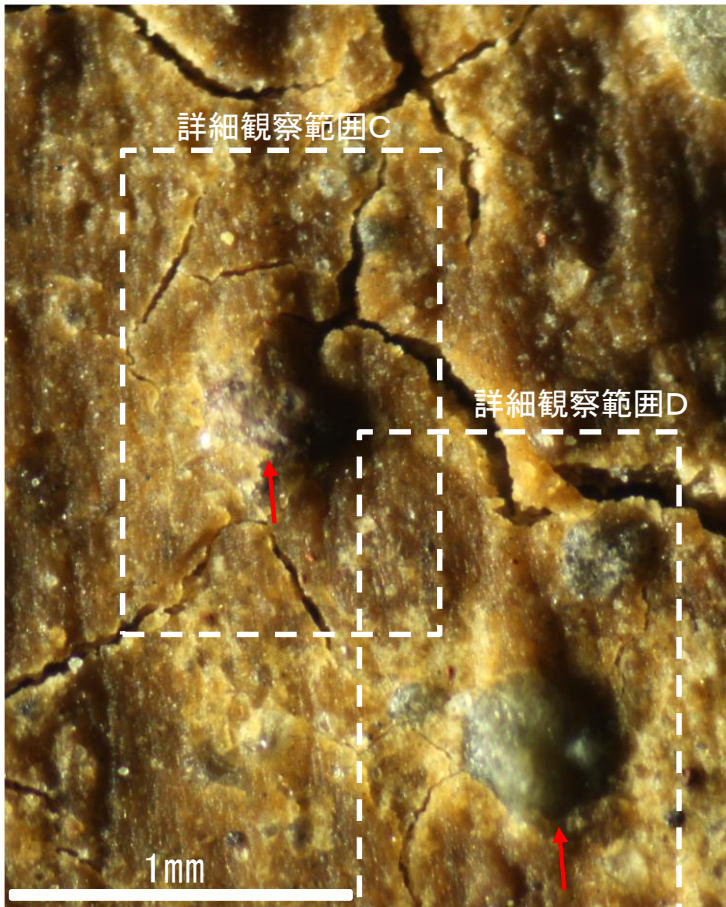
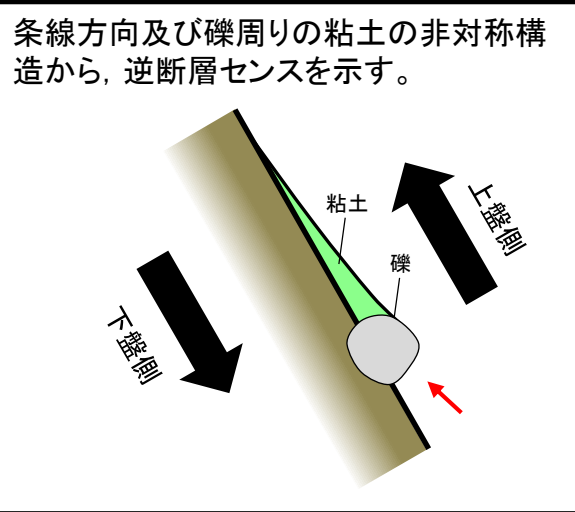


詳細観察写真A

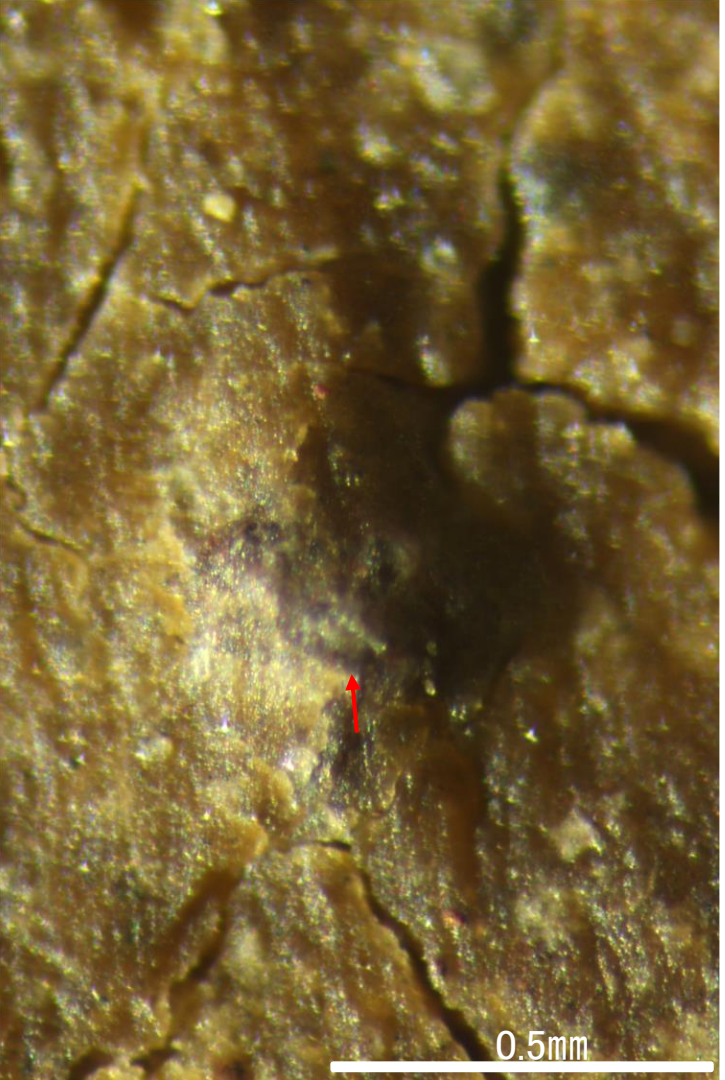
条線観察結果(岩盤調査坑)ボーリングNo.10V孔(下盤側)②



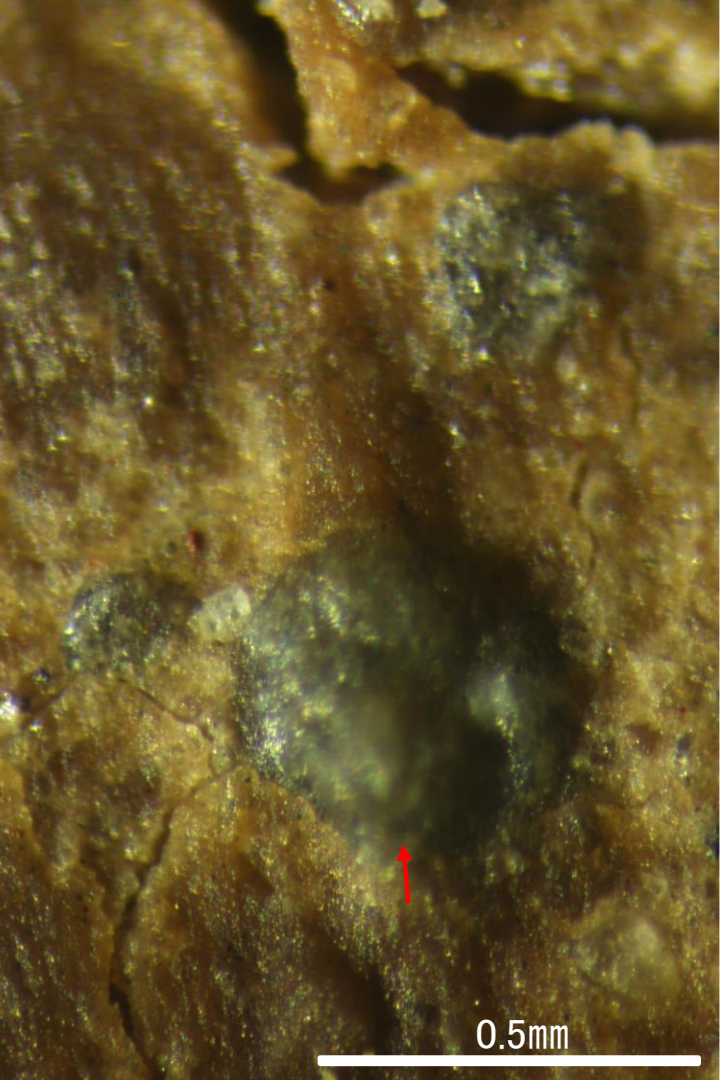
概念図
※走向は真北で示す。



詳細観察写真B



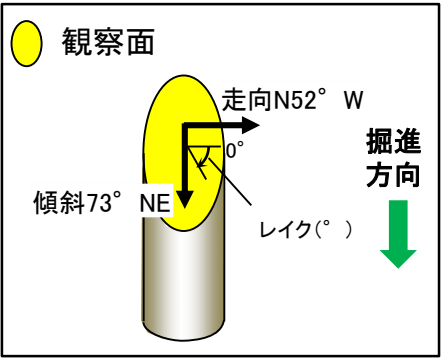
詳細観察写真C



詳細観察写真D

・条線のレイクは85° R, 変位センスは右横ずれ逆断層センス 2.5-1-41

条線観察結果(岩盤調査坑)ボーリングNo.11V孔(下盤側)

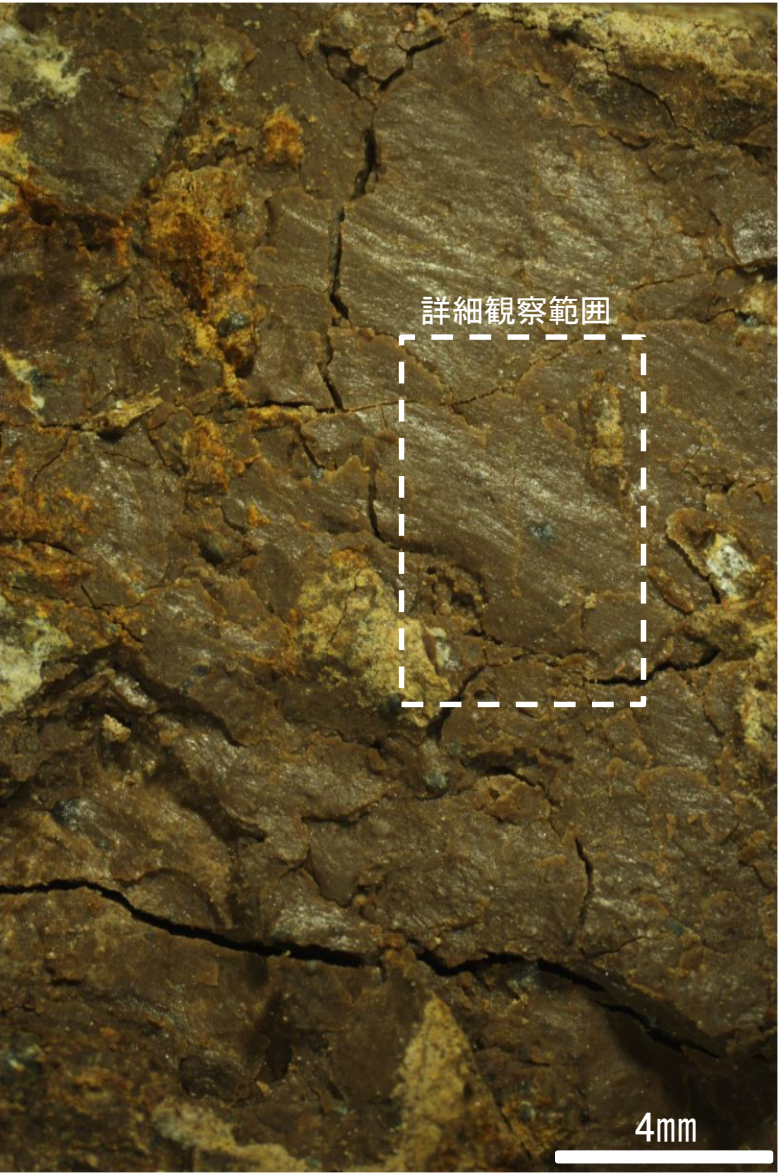


概念図

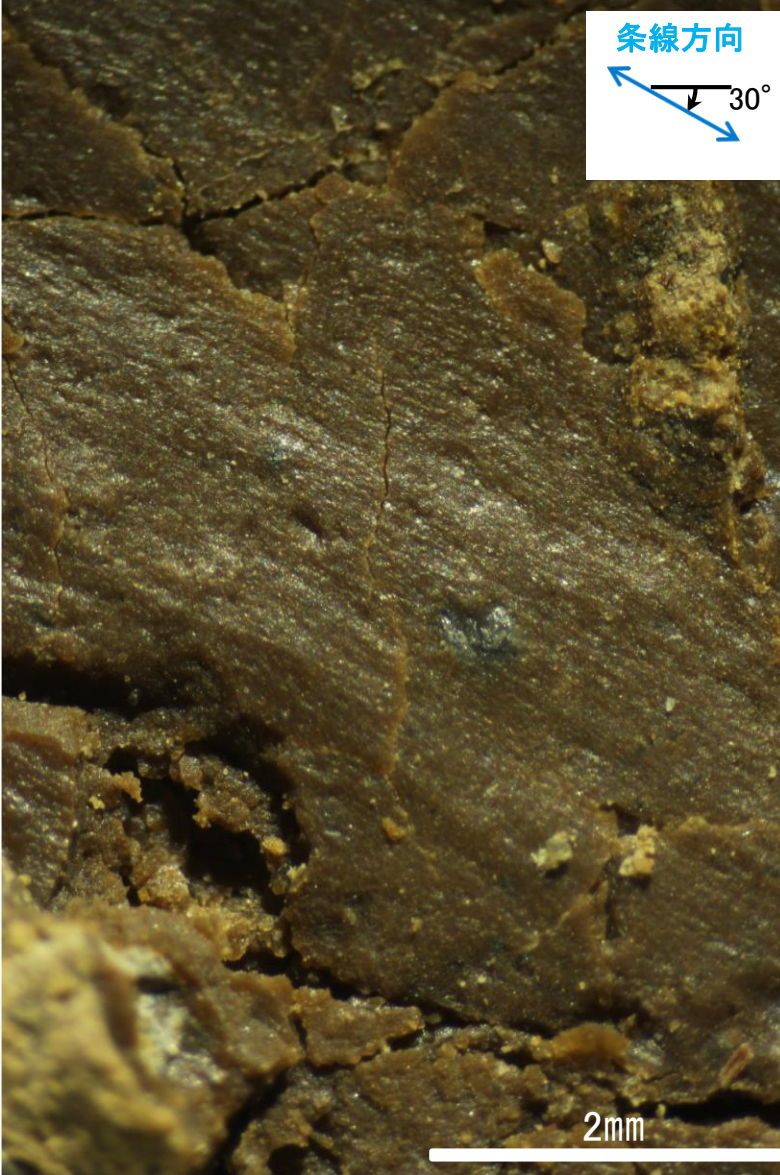
※走向は真北で示す。



観察面写真



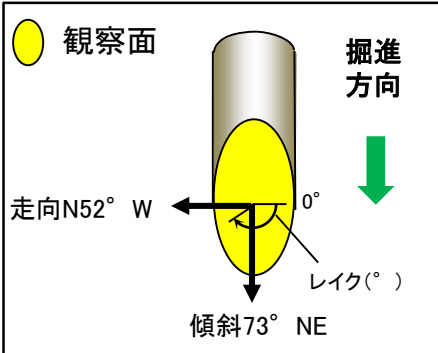
観察面拡大写真



詳細観察写真

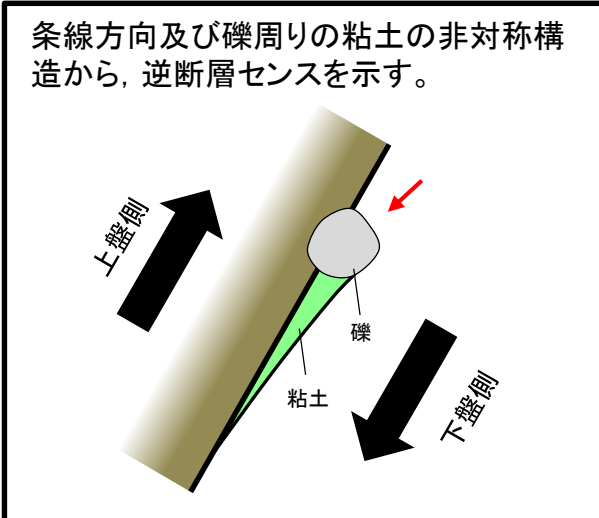
・条線のレイクは30° R, 変位センスは不明

条線観察結果(岩盤調査坑)ボーリングNo.11V孔(上盤側)①



概念図

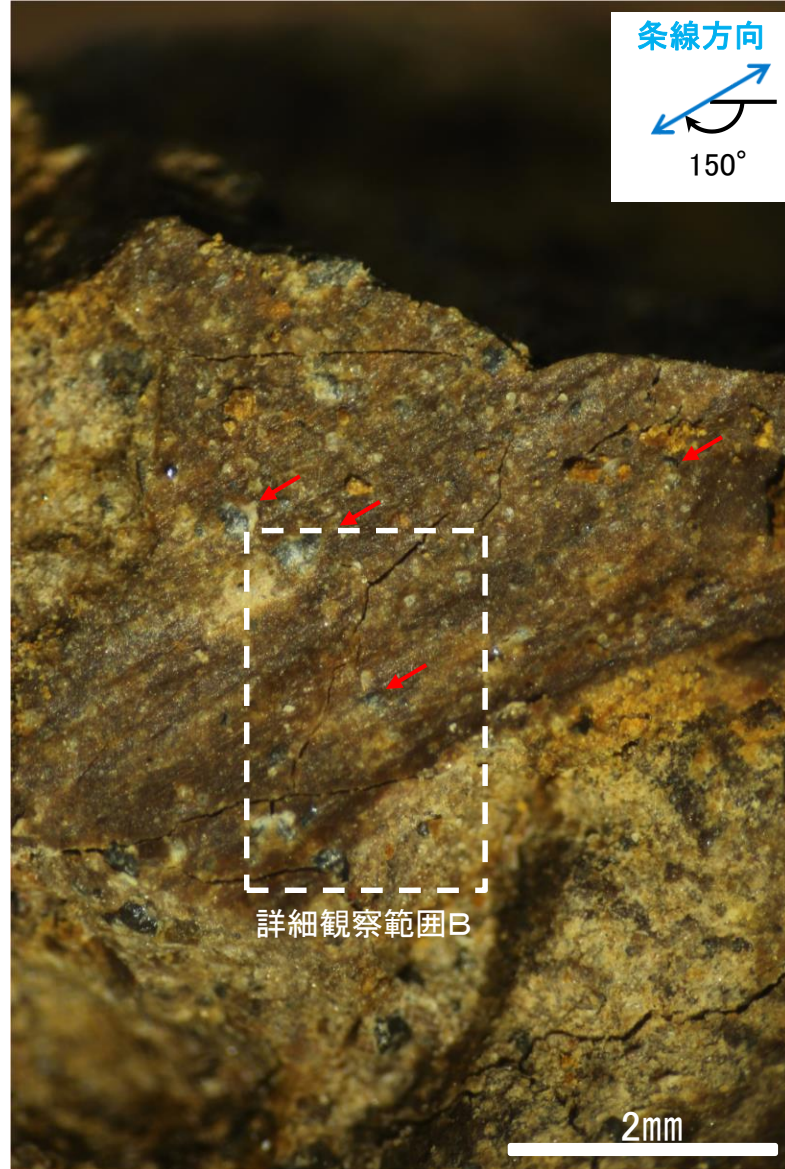
※走向は真北で示す。



観察面写真

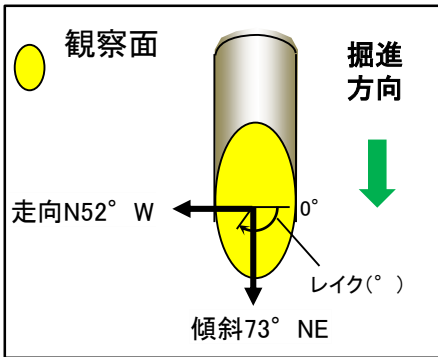


観察面拡大写真

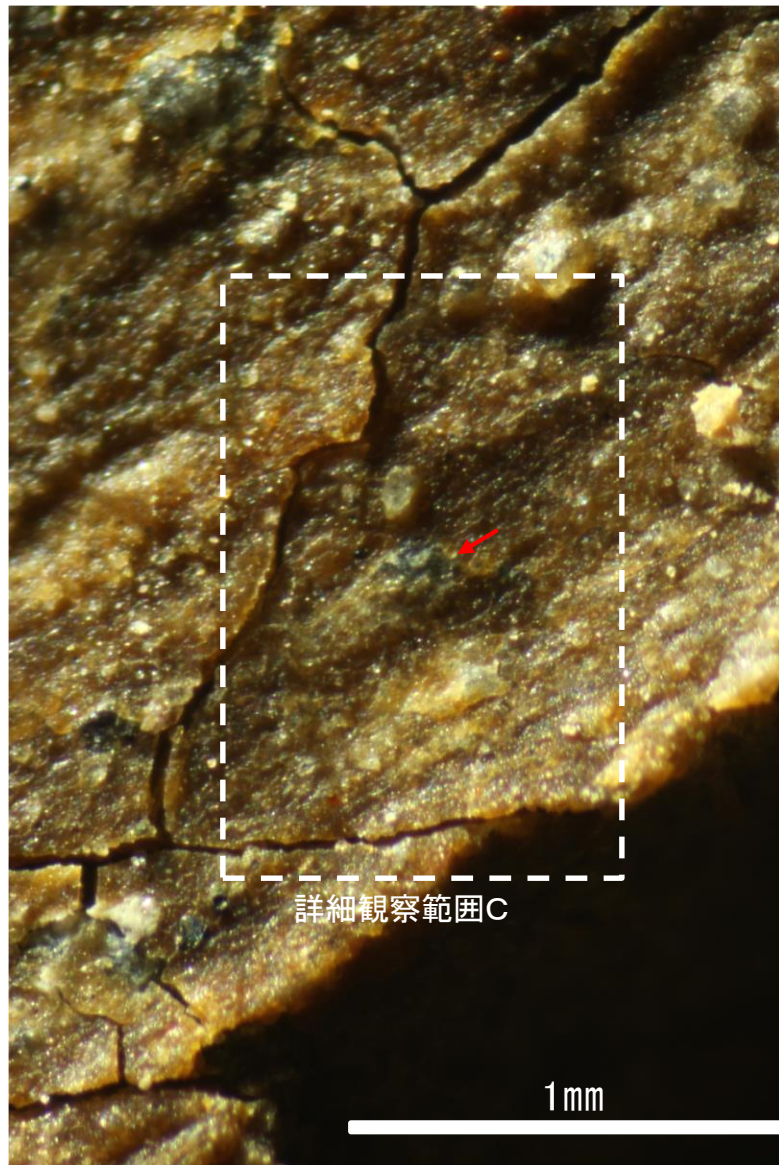
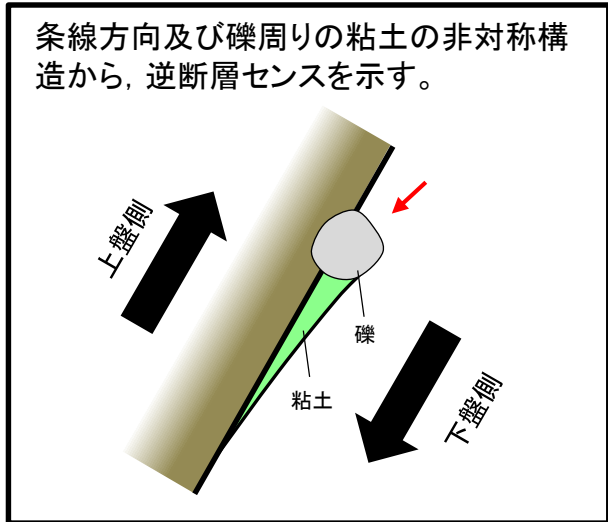


詳細観察写真A

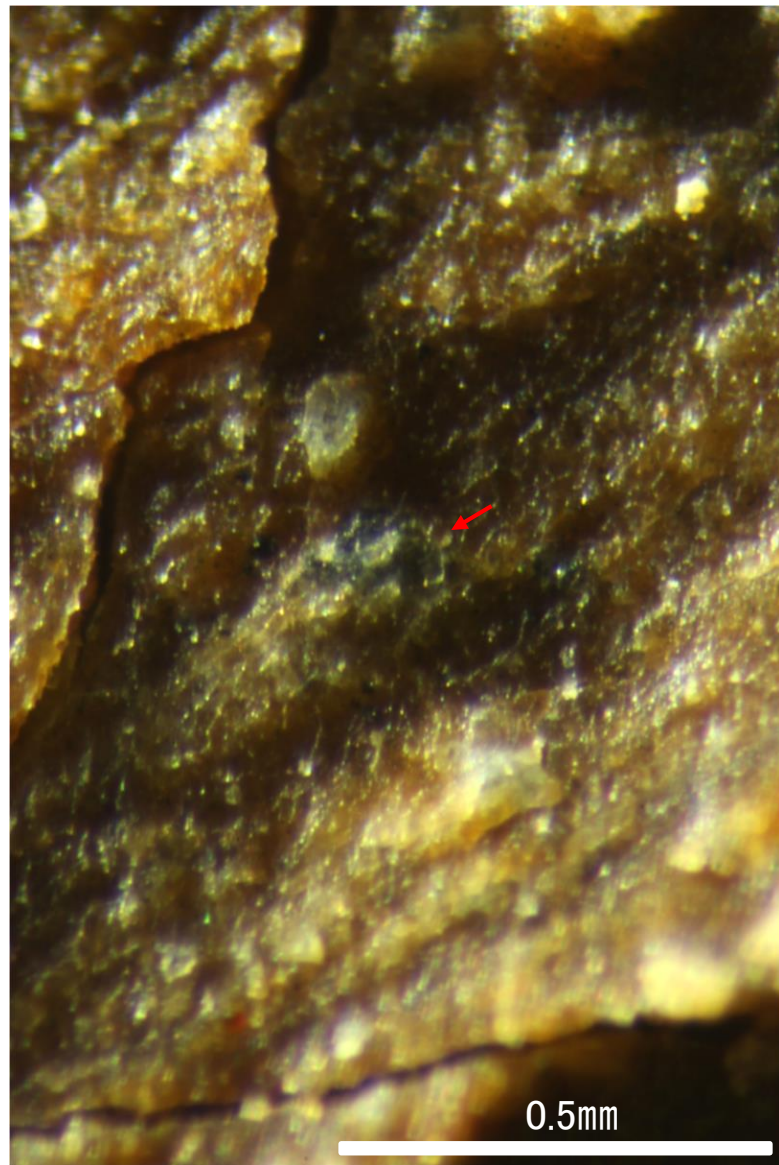
条線観察結果(岩盤調査坑)ボーリングNo.11V孔(上盤側)②



概念図
※走向は真北で示す。



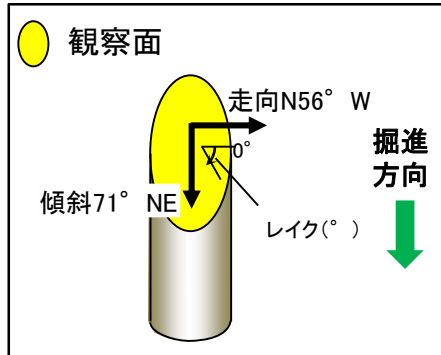
詳細観察写真B



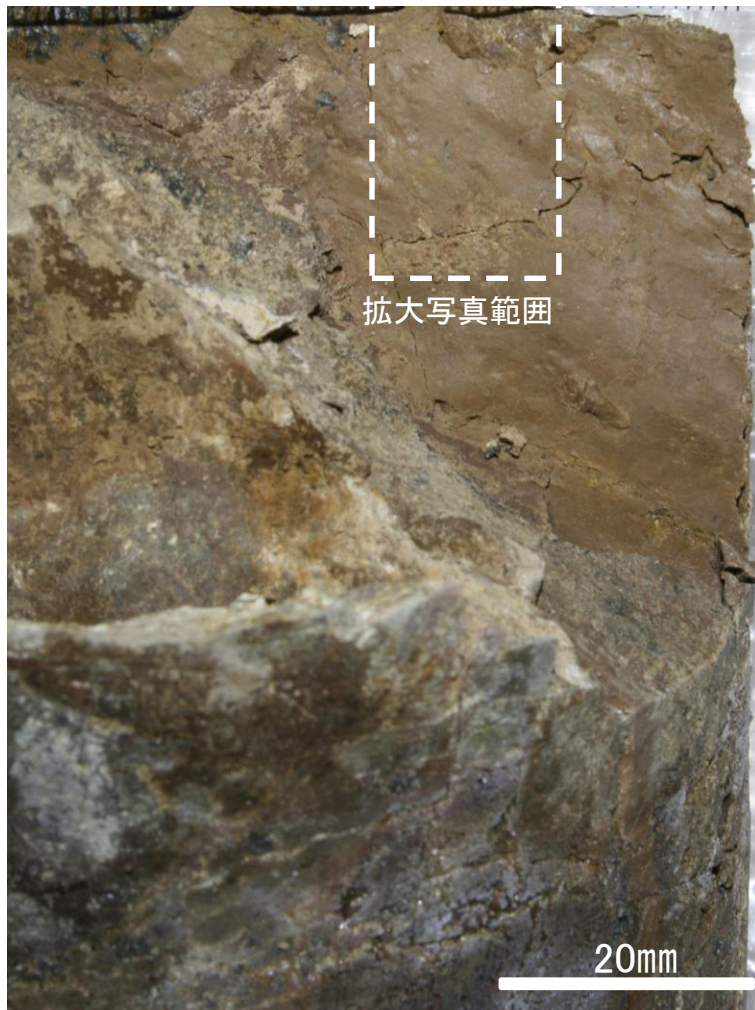
詳細観察写真C

・条線のレイクは30° R (下盤側換算), 変位センスは右横ずれ逆断層センス

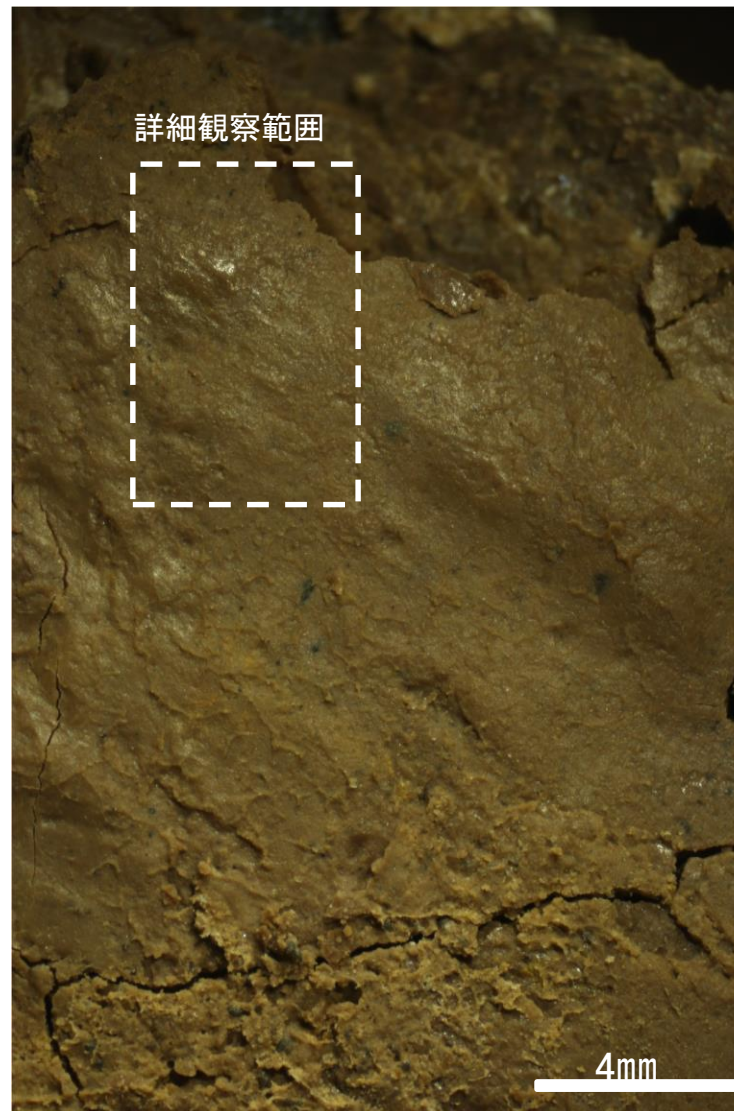
条線観察結果(岩盤調査坑)ボーリングNo.12V孔(下盤側)



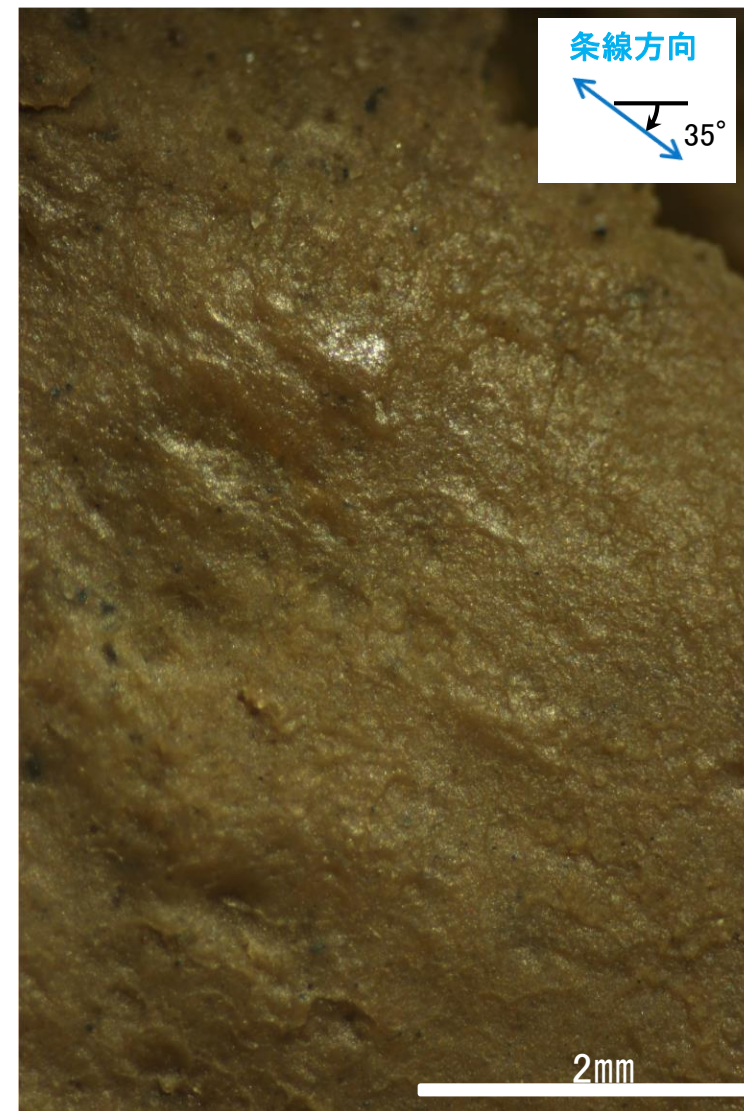
概念図
※走向は真北で示す。



観察面写真



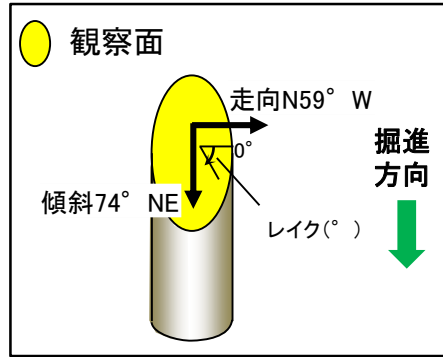
観察面拡大写真



詳細観察写真

・条線のレイクは35° R, 変位センスは不明

条線観察結果(岩盤調査坑)ボーリングNo.13V孔(下盤側)

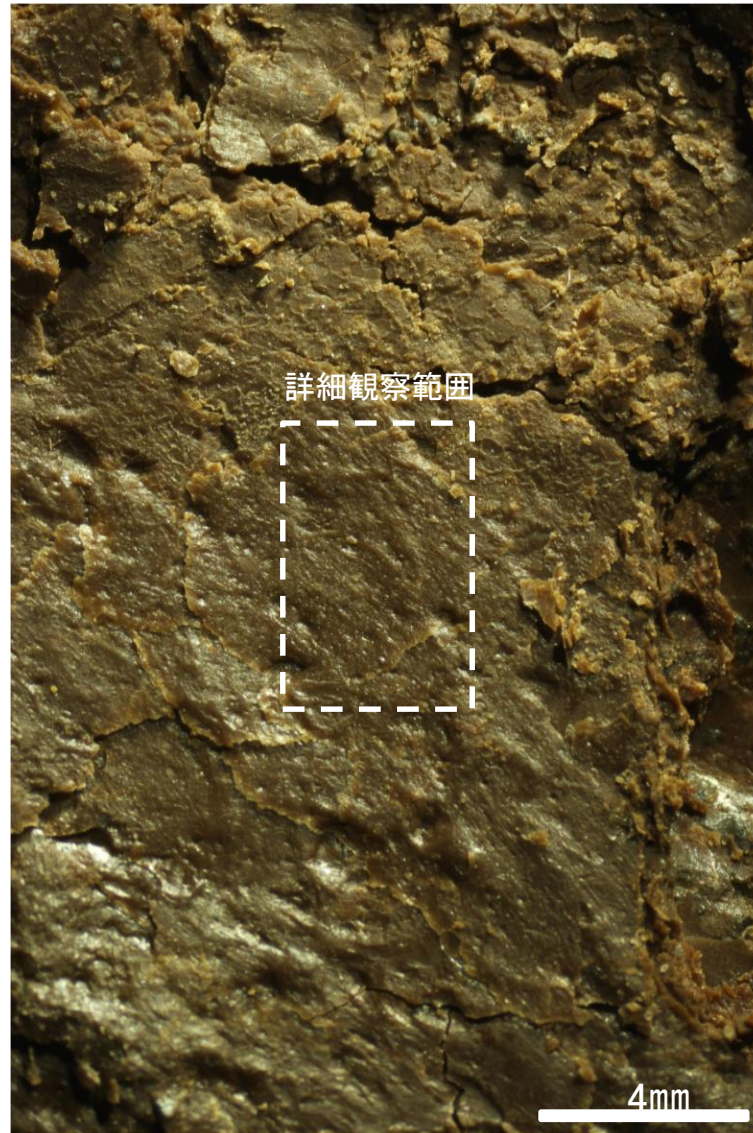


概念図

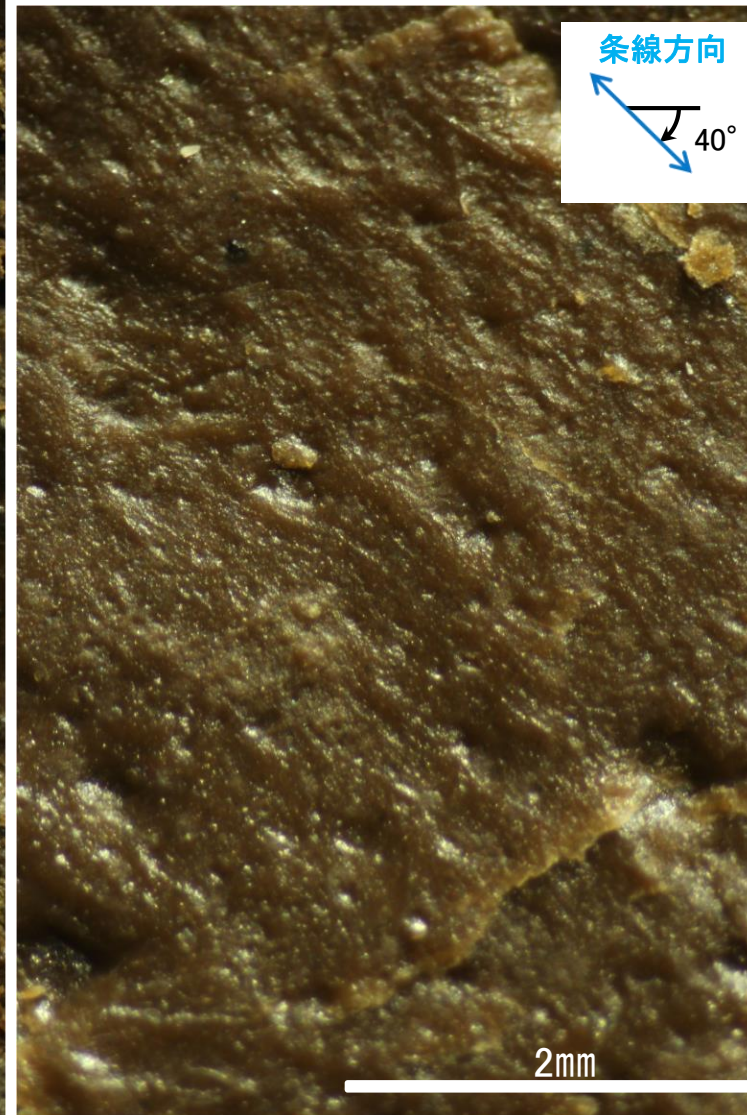
※走向は真北で示す。



観察面写真



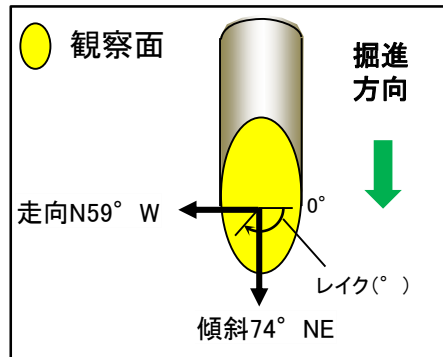
観察面拡大写真



詳細観察写真

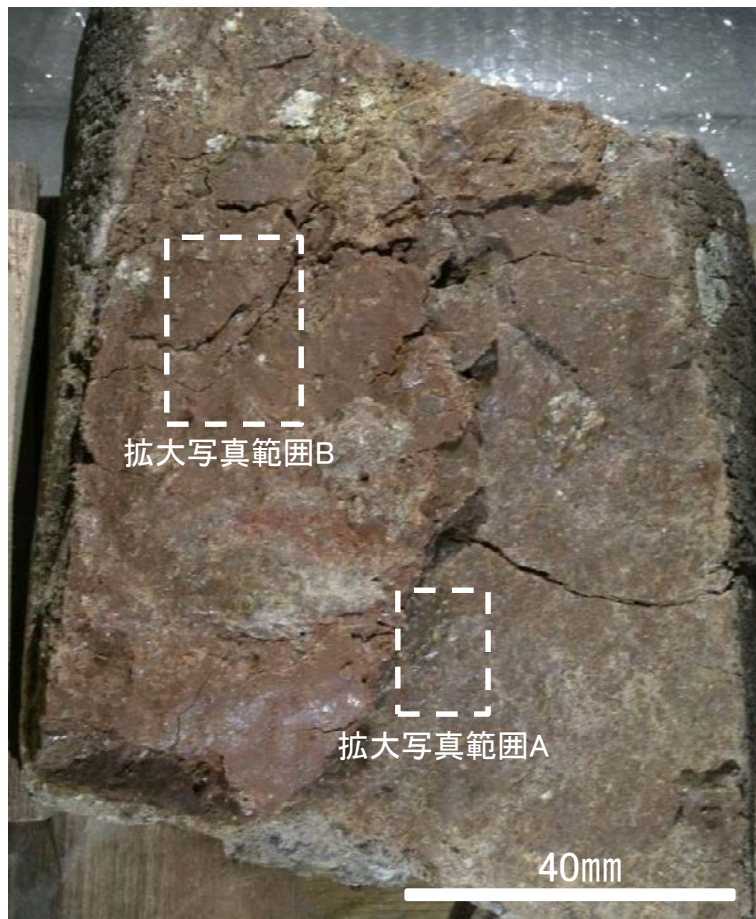
・条線のレイクは40° R, 変位センスは不明

条線観察結果(岩盤調査坑)ボーリングNo.13V孔(上盤側)

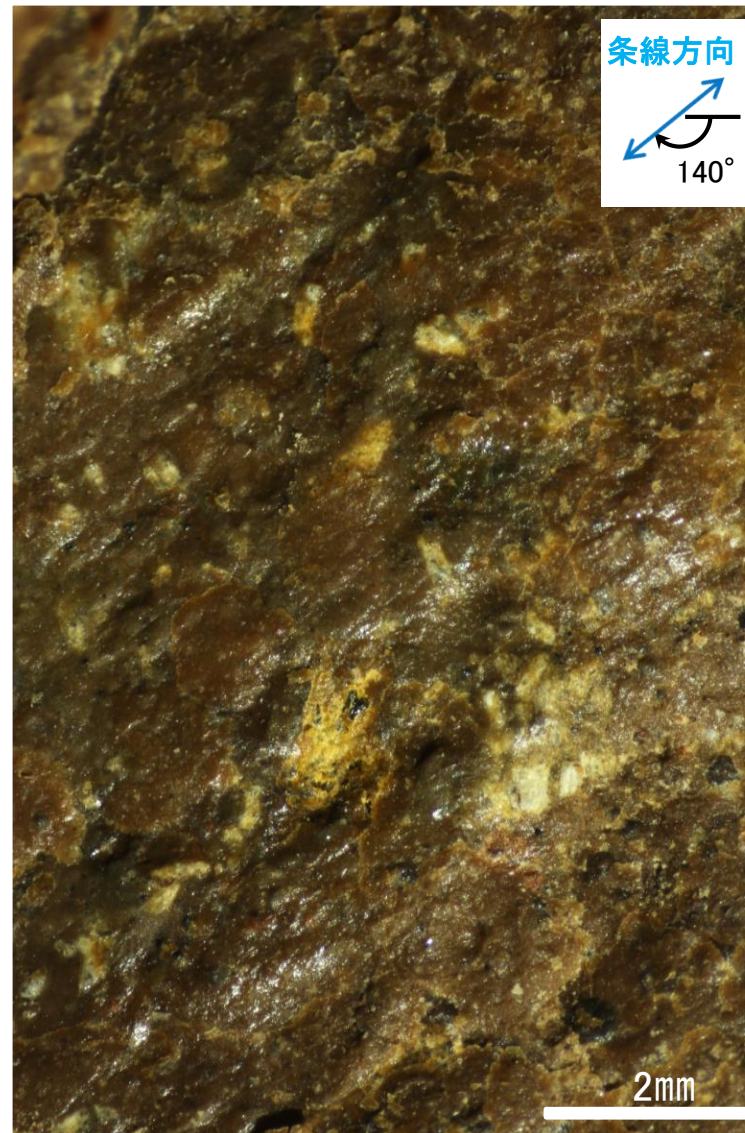


概念図

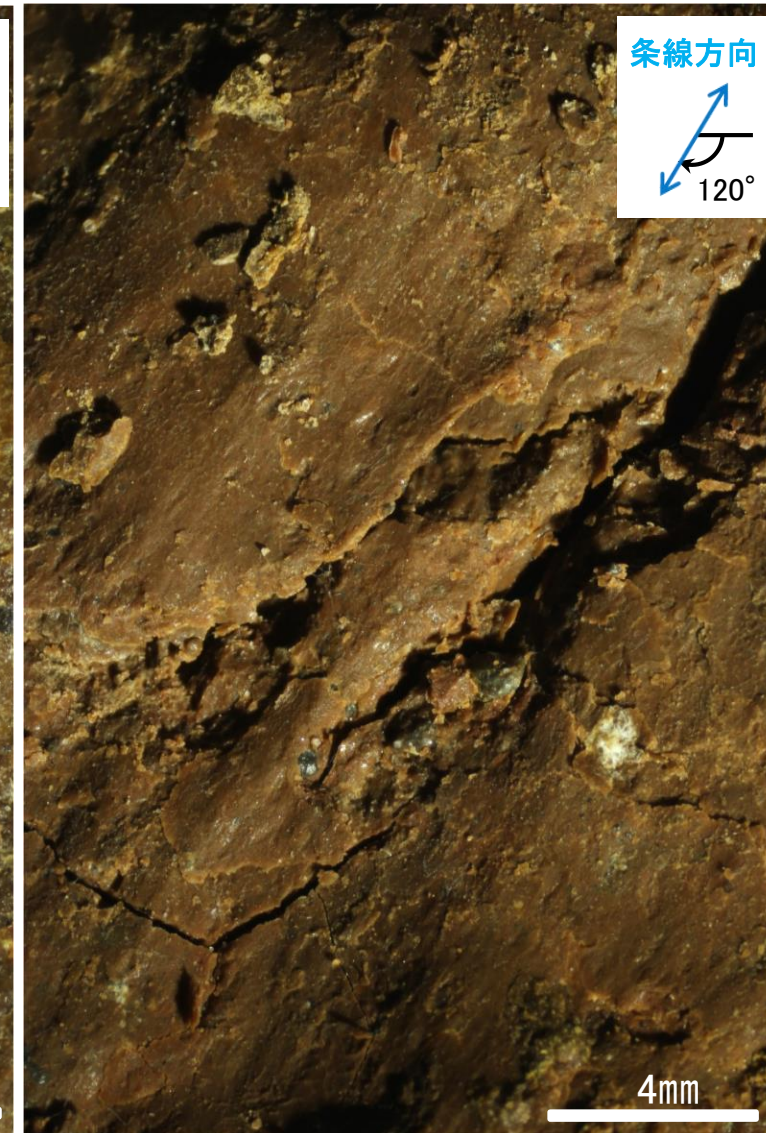
※走向は真北で示す。



観察面写真



観察面拡大写真A

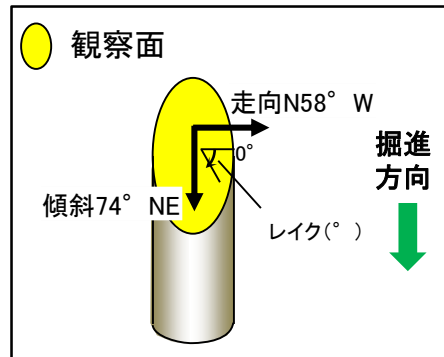


観察面拡大写真B

・条線のレイクは 40° R(下盤側換算), 変位センスは不明

・条線のレイクは 60° R(下盤側換算), 変位センスは不明

条線観察結果(岩盤調査坑)ボーリングNo.15V孔(下盤側)

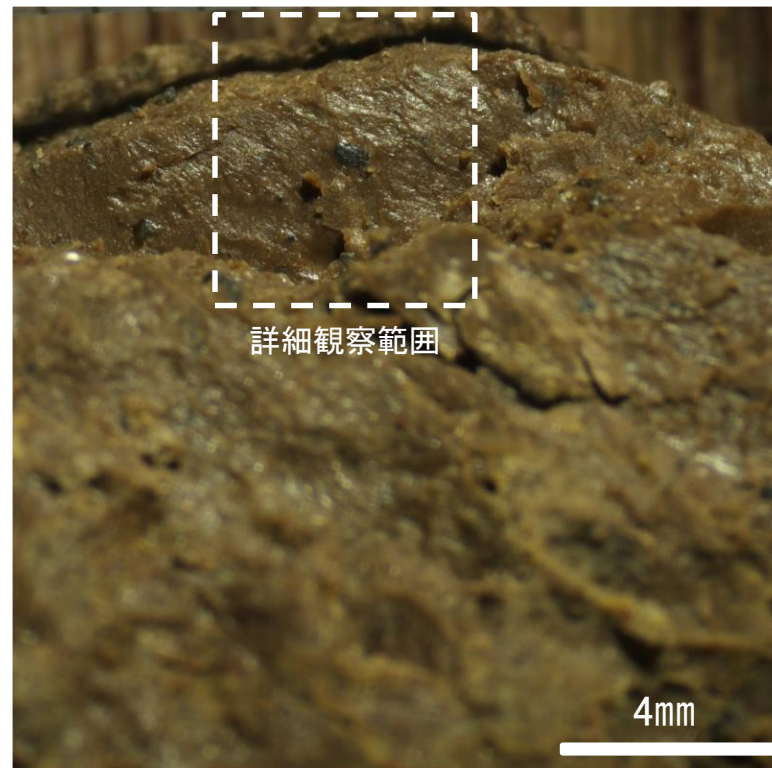


概念図

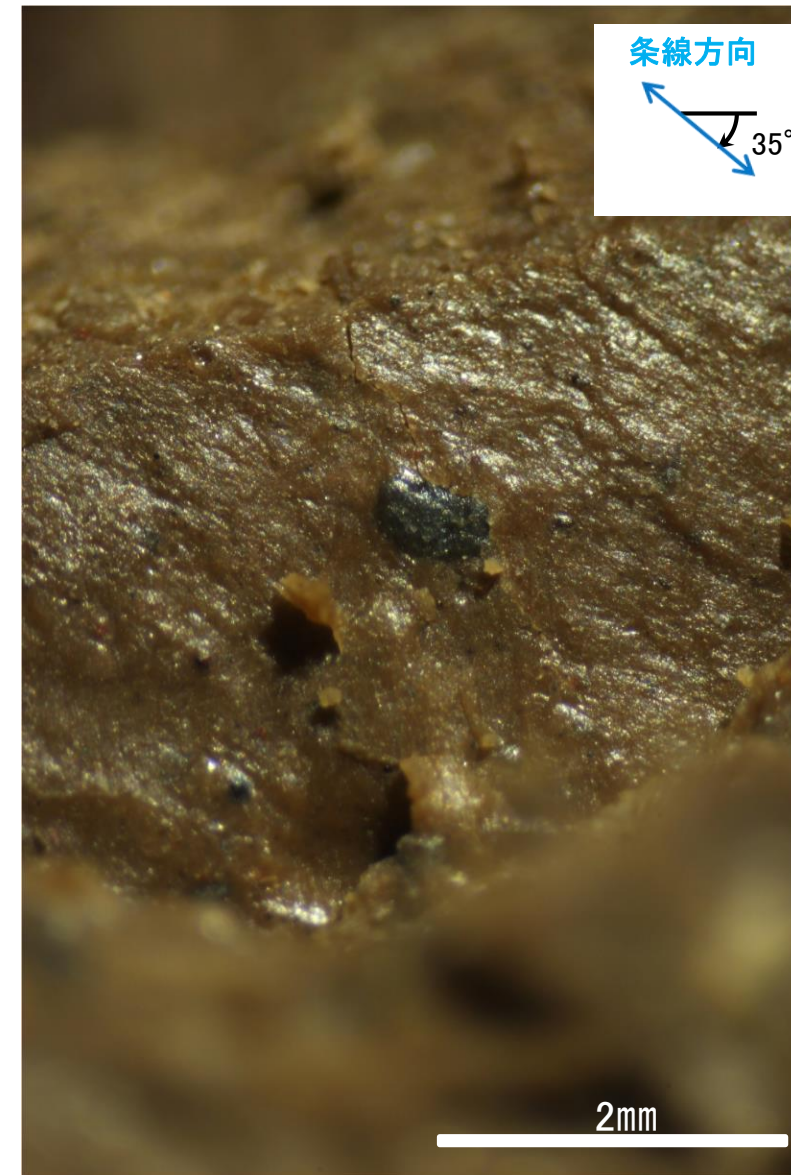
※走向は真北で示す。



観察面写真



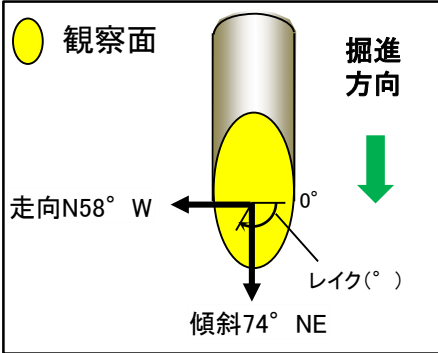
観察面拡大写真



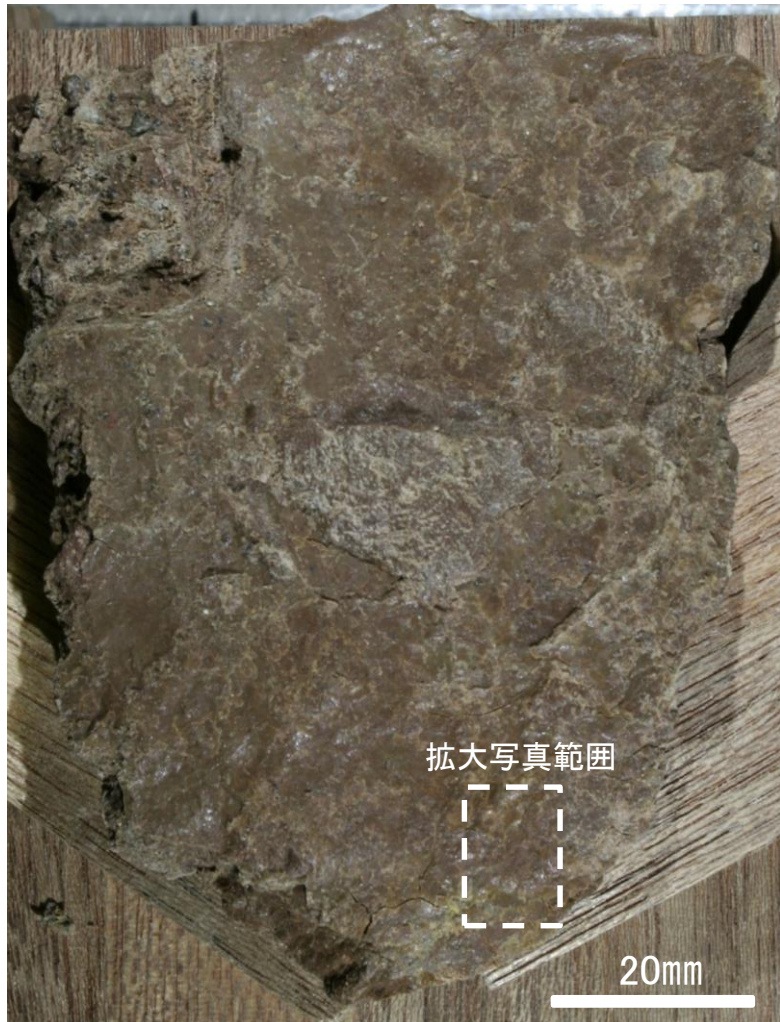
詳細観察写真

・条線のレイクは35° R, 変位センスは不明

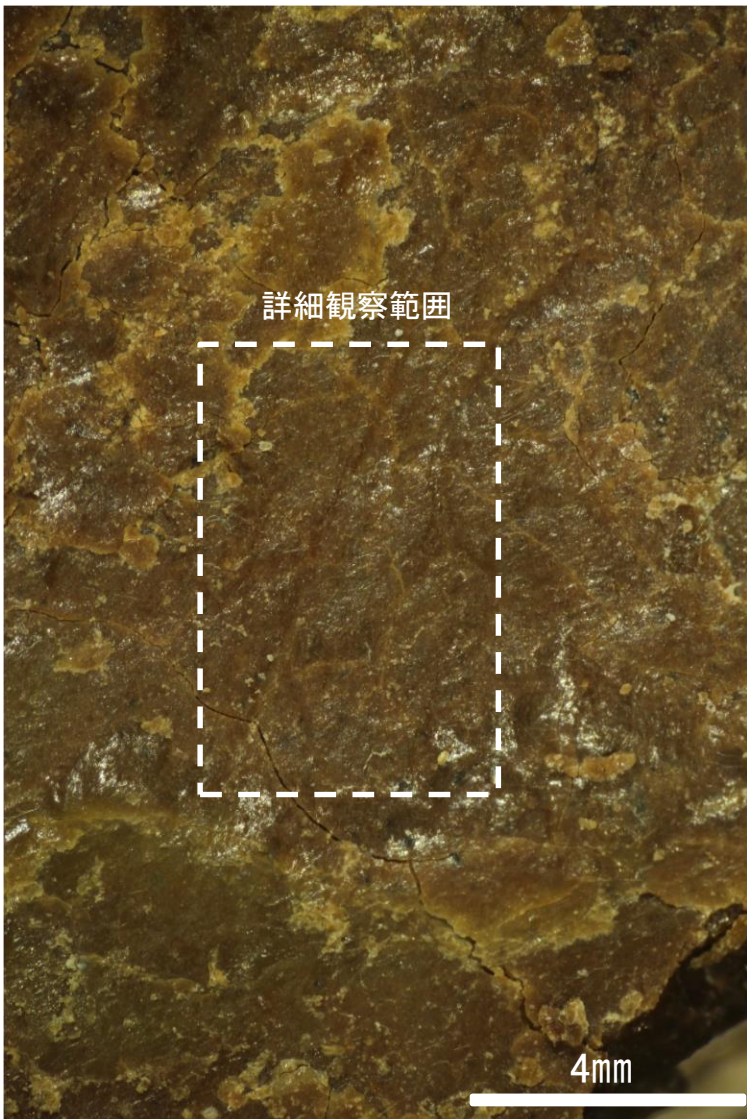
条線観察結果(岩盤調査坑)ボーリングNo.15V孔(上盤側)



概念図
※走向は真北で示す。



観察面写真



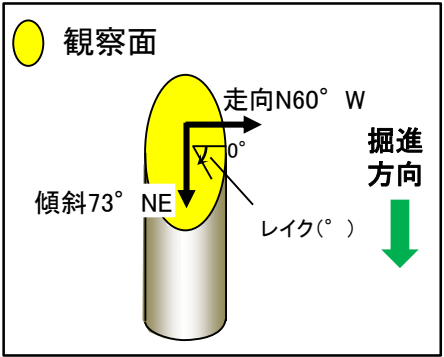
観察面拡大写真



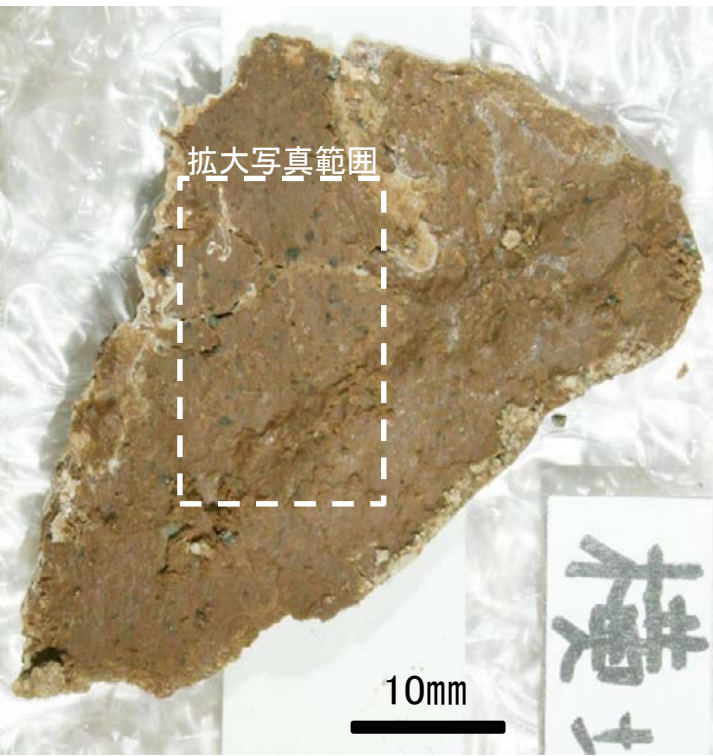
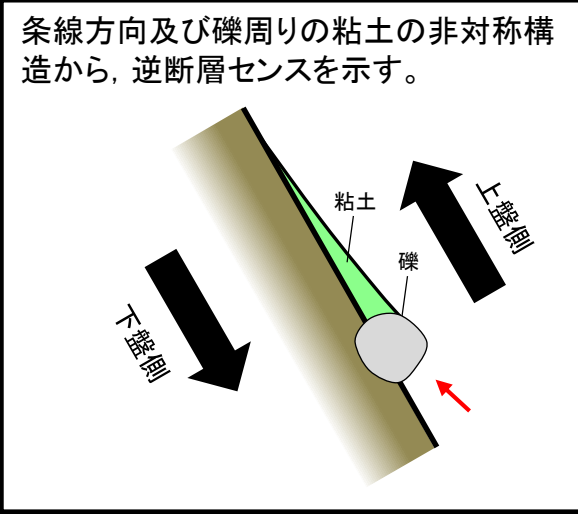
詳細観察写真

・条線のレイクは65° R(下盤側換算), 変位センスは不明

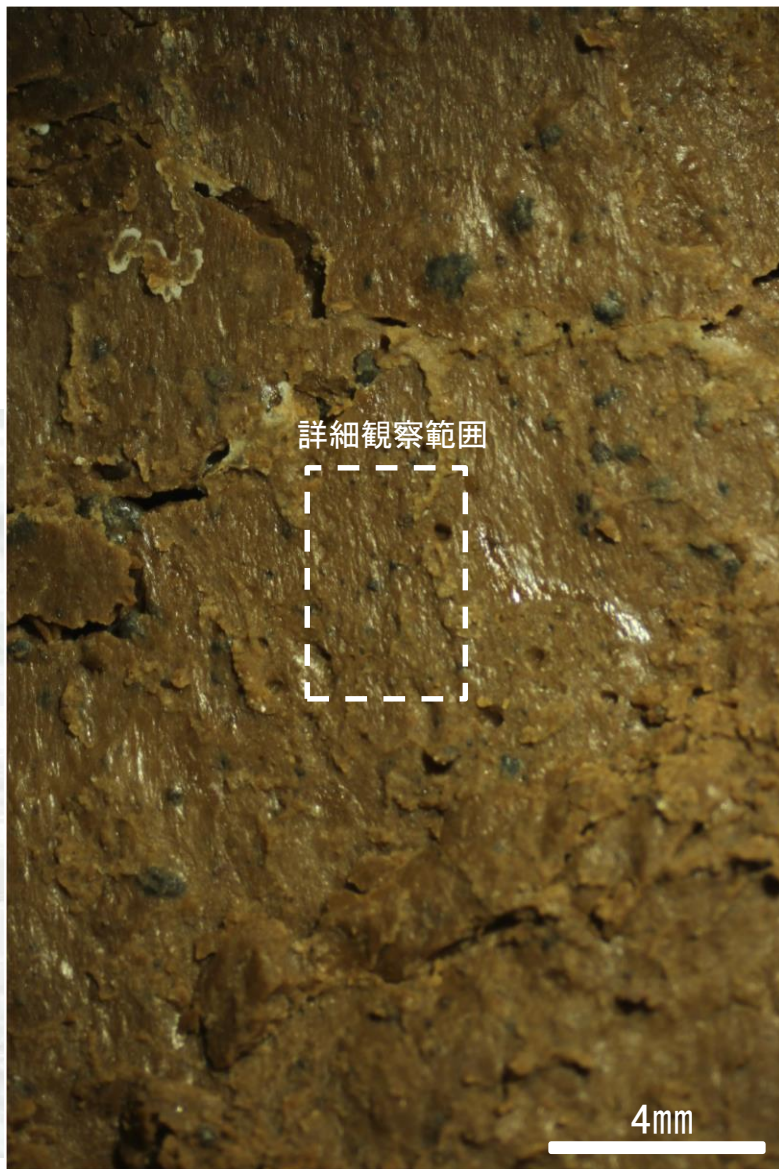
条線観察結果(岩盤調査坑)ボーリングNo.16V孔(下盤側)



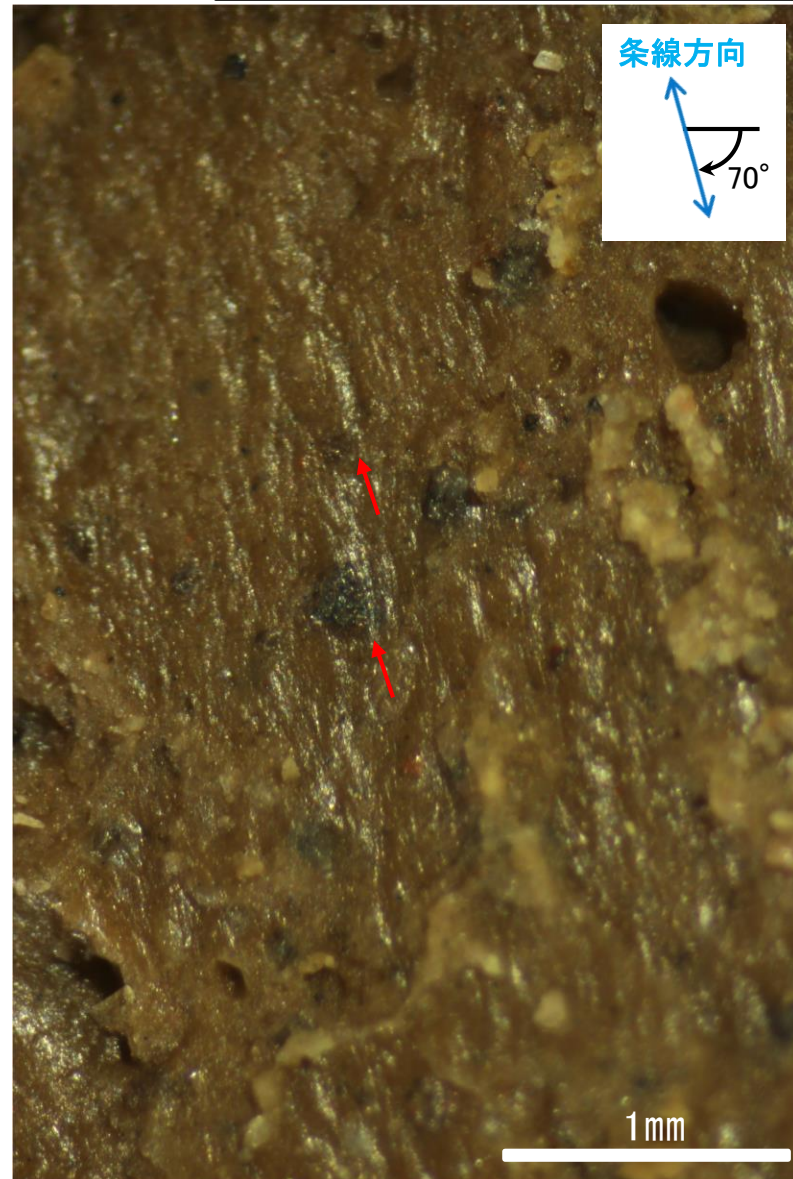
概念図
※走向は真北で示す。



観察面写真



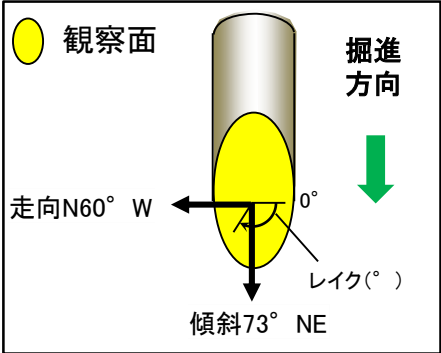
観察面拡大写真



詳細観察写真

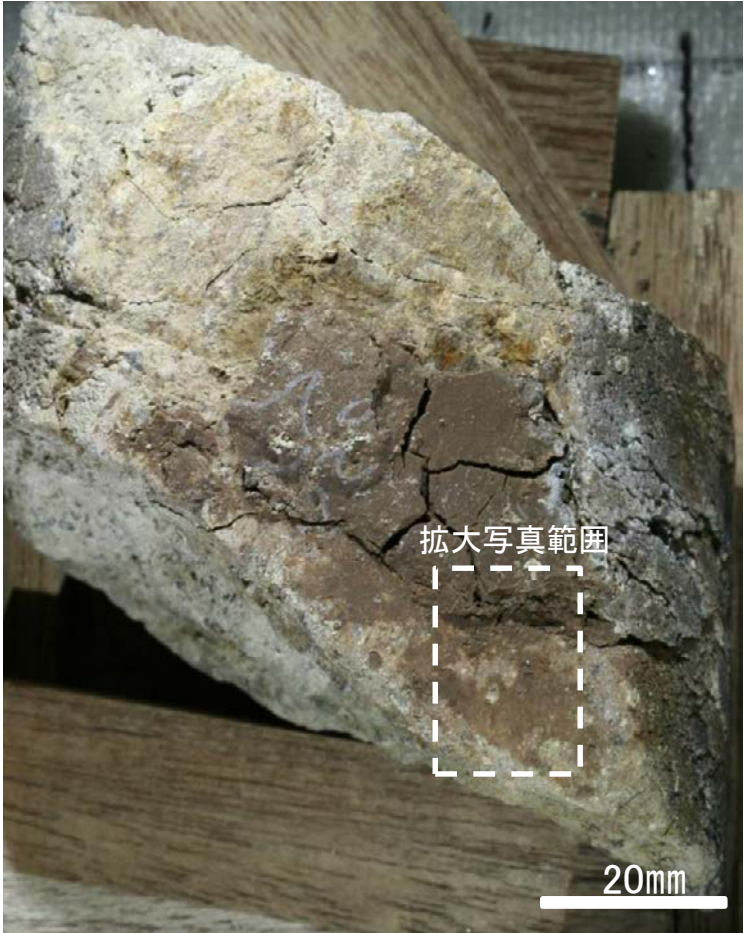
・条線のレイクは70° R, 変位センスは右横ずれ逆断層センス

条線観察結果(岩盤調査坑)ボーリングNo.16V孔(上盤側)

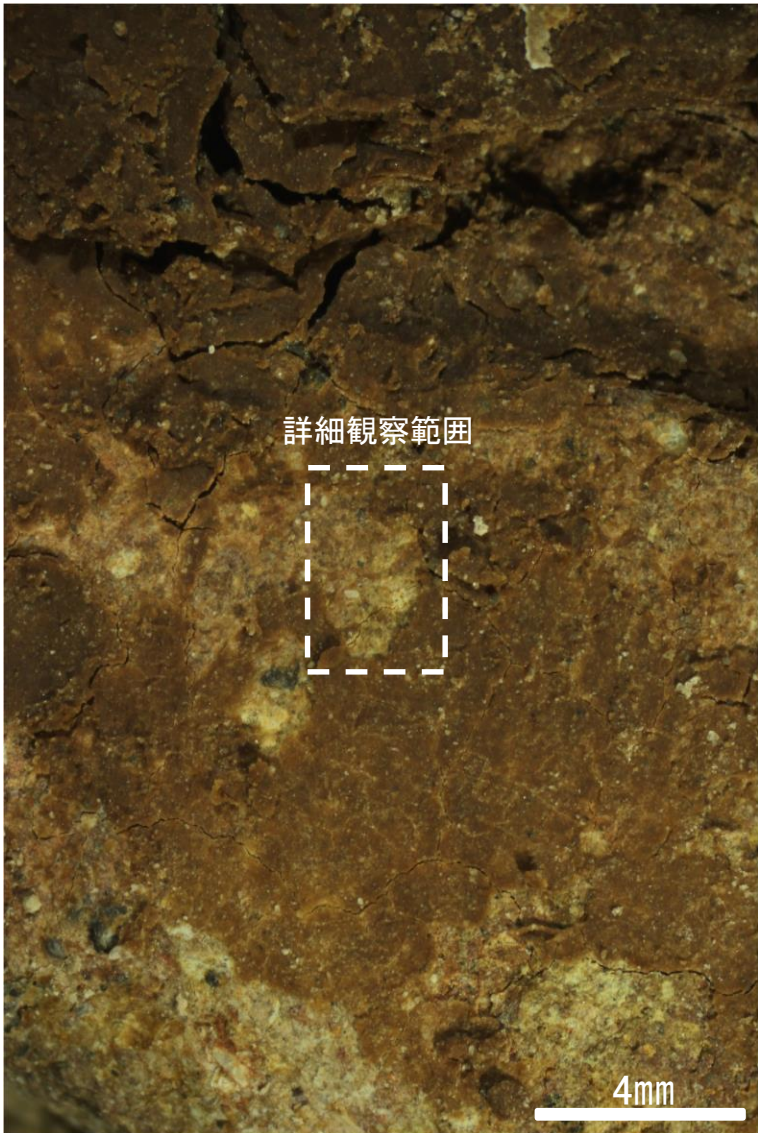


概念図

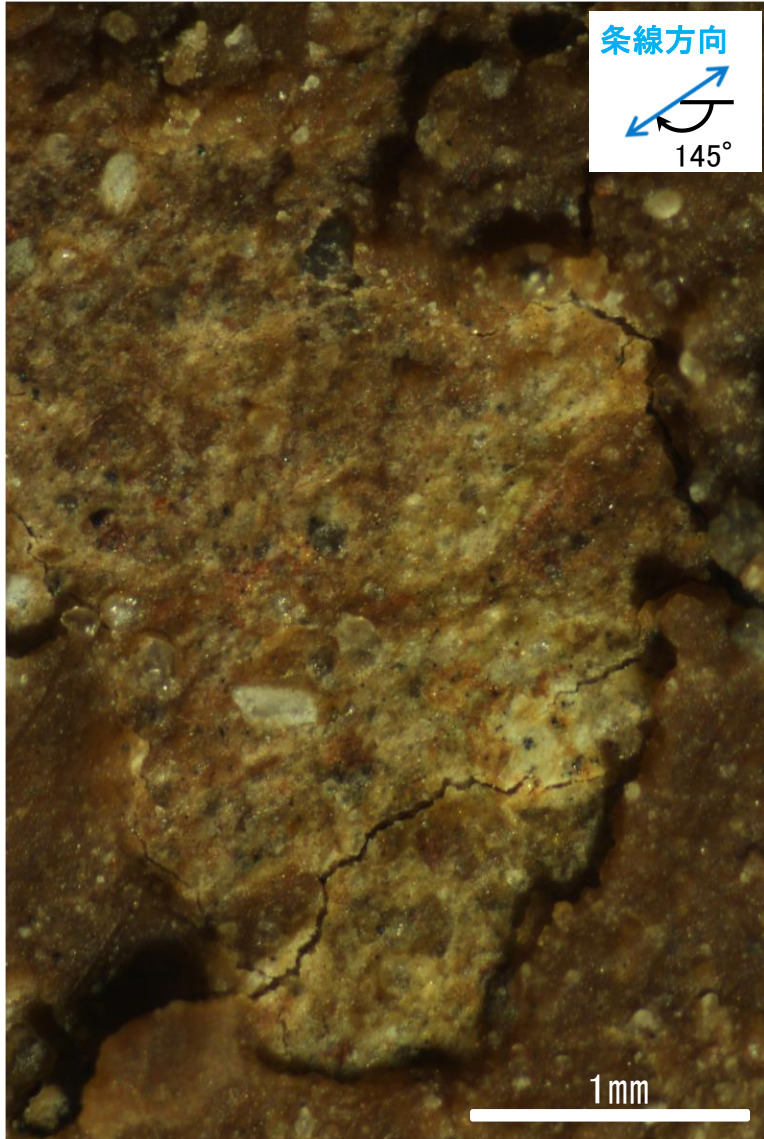
※走向は真北で示す。



観察面写真



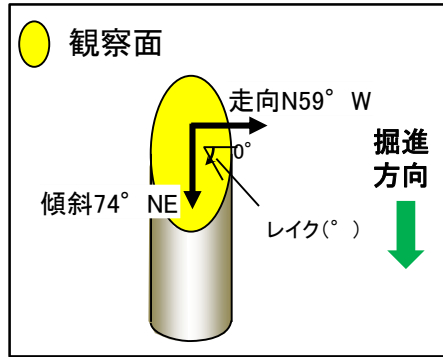
観察面拡大写真



詳細観察写真

・条線のレイクは35° R(下盤側換算), 変位センスは不明

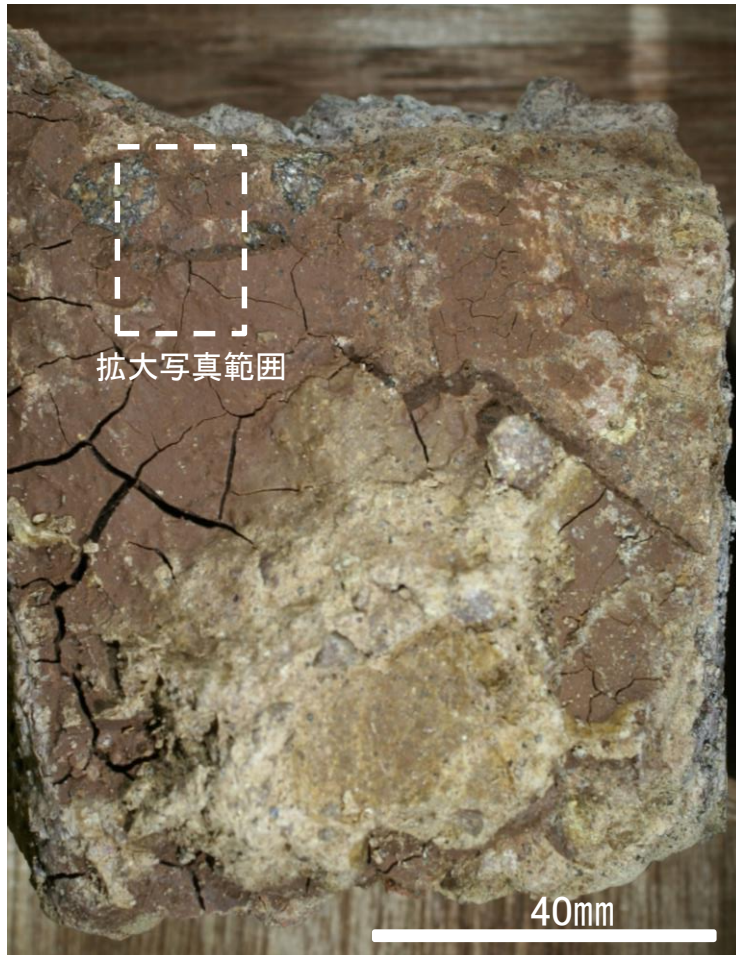
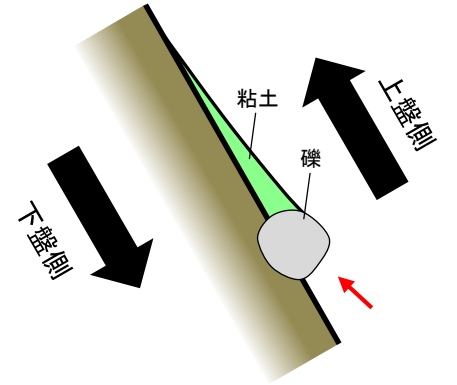
条線観察結果(岩盤調査坑)ボーリングNo.17V孔(下盤側)①



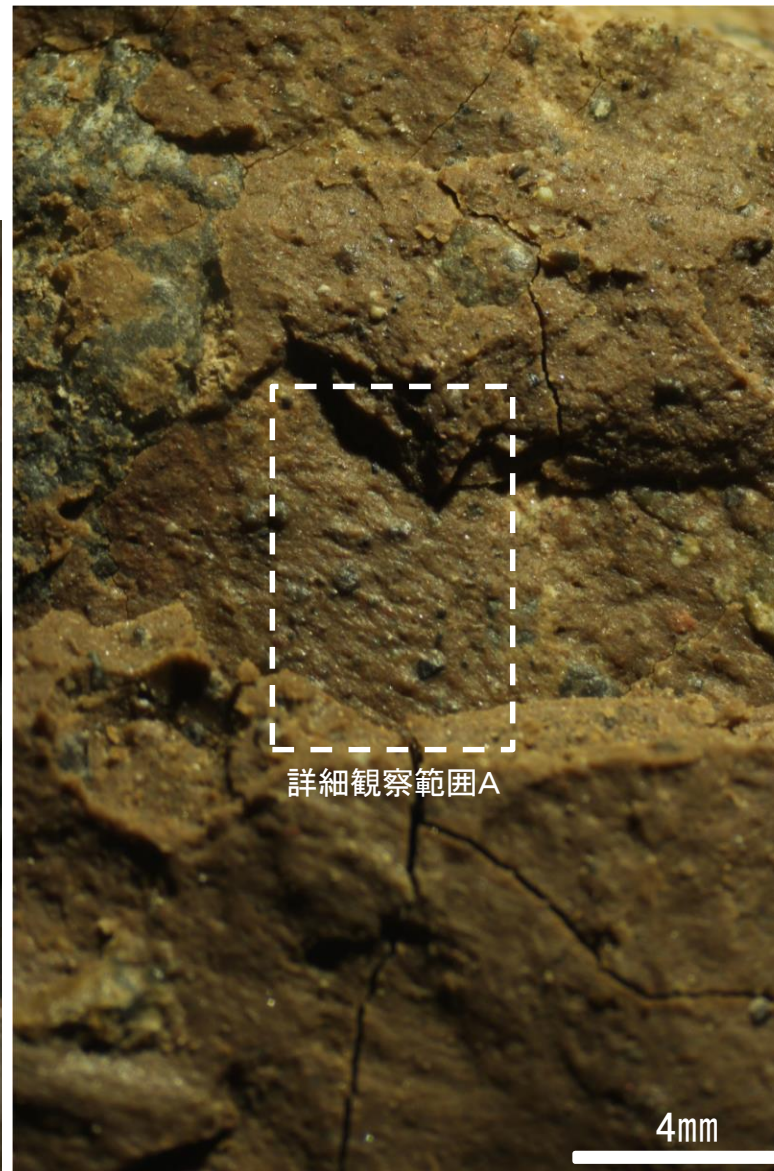
概念図

※走向は真北で示す。

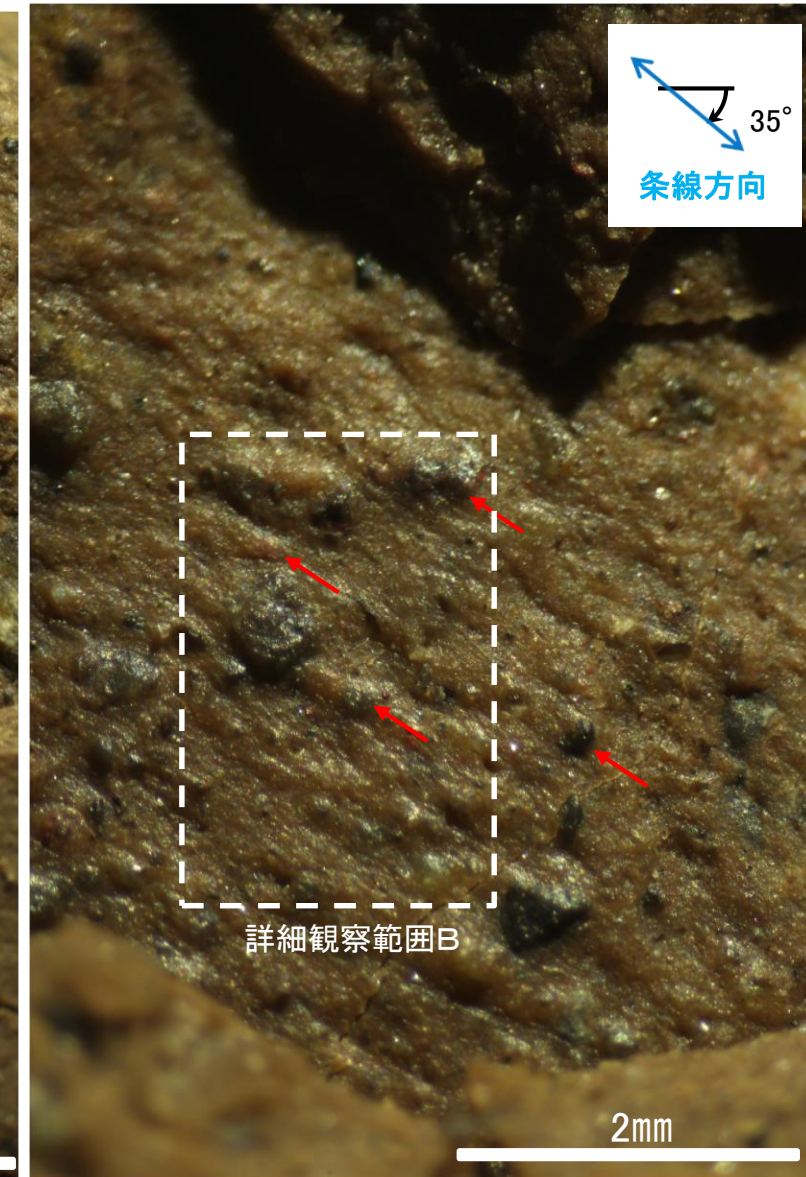
条線方向及び礫周りの粘土の非対称構造から、逆断層センスを示す。



観察面写真

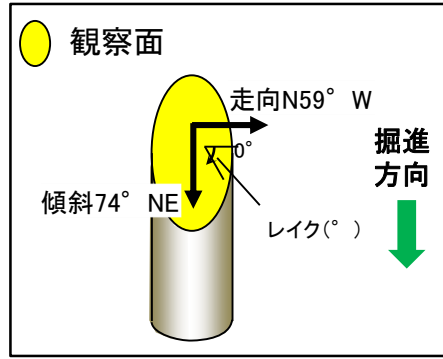


観察面拡大写真

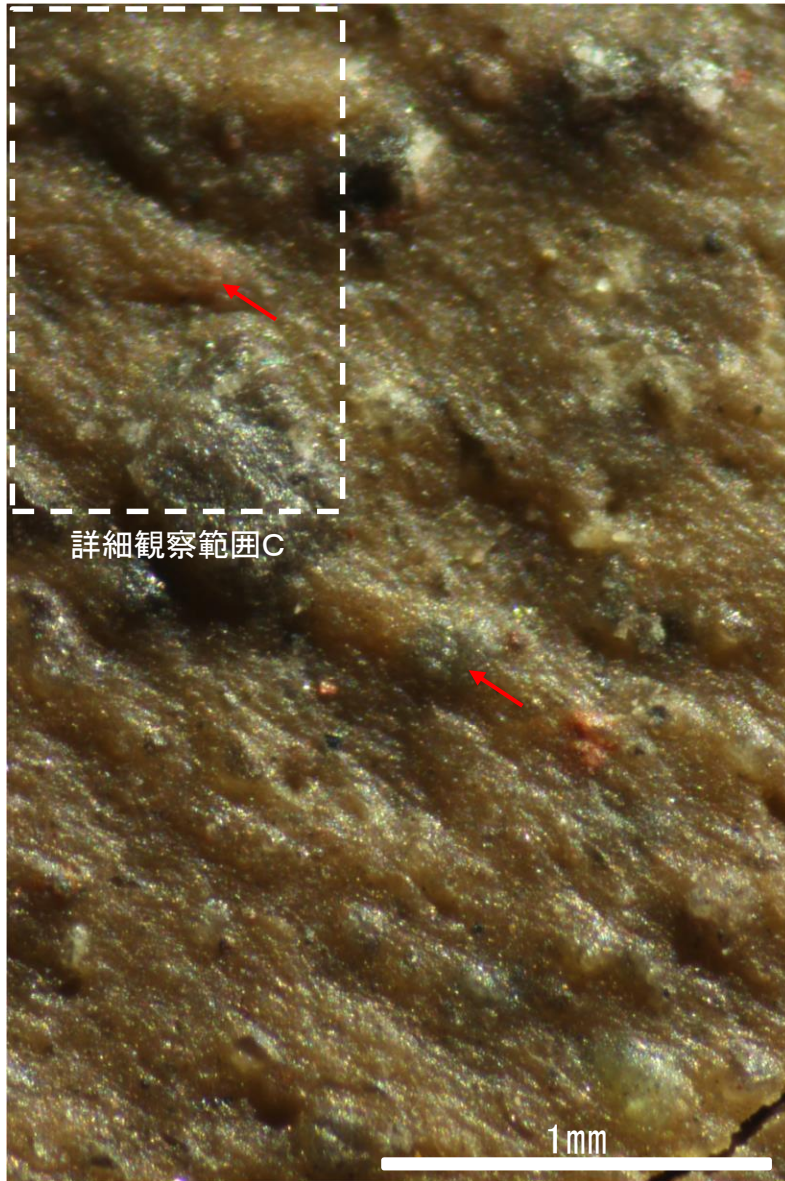
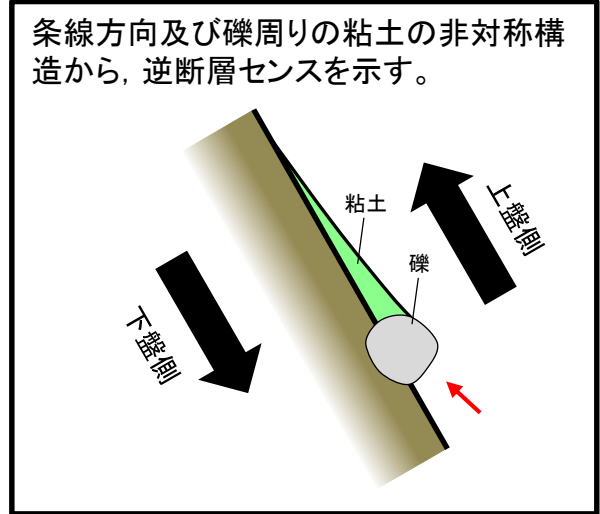


詳細観察写真A

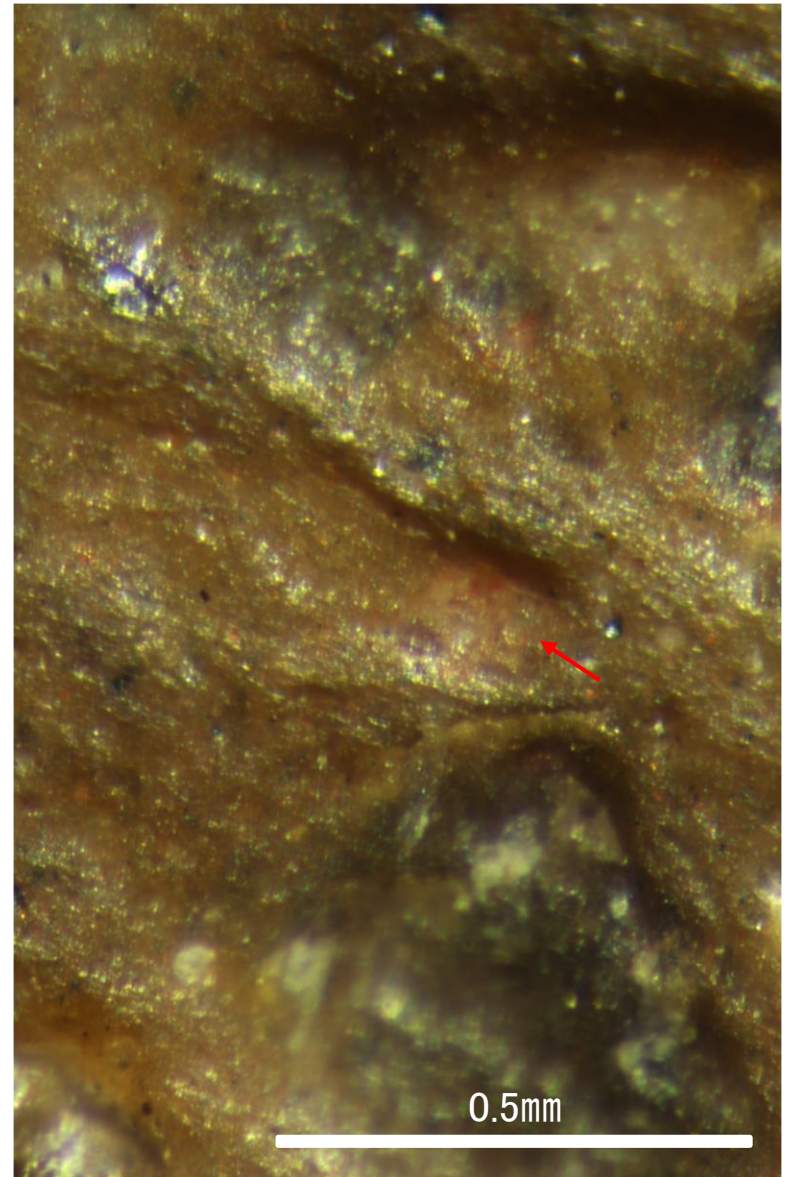
条線観察結果(岩盤調査坑)ボーリングNo.17V孔(下盤側)②



概念図
※走向は真北で示す。



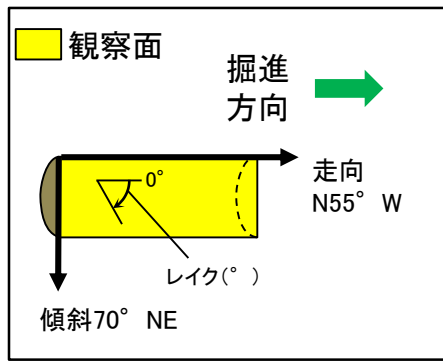
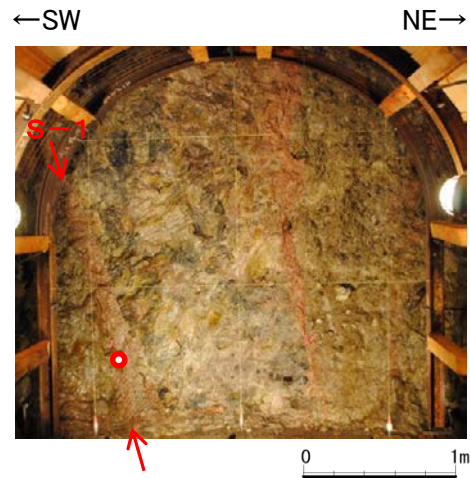
詳細観察写真B



詳細観察写真C

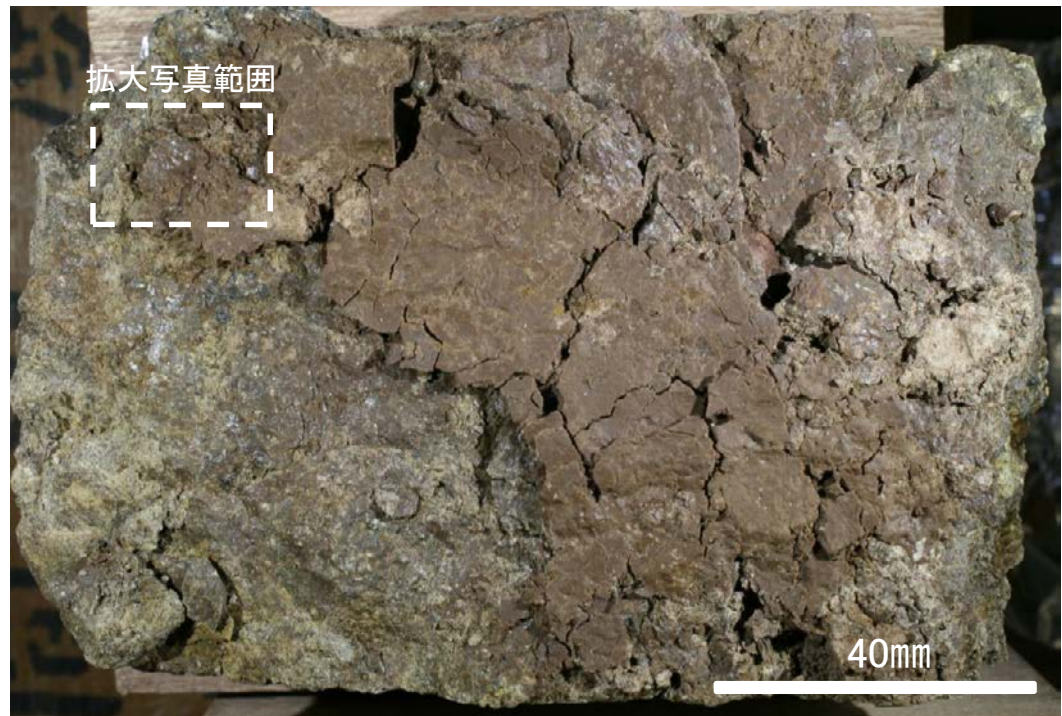
・条線のレイクは35° R, 変位センスは右横ずれ逆断層センス

条線観察結果(岩盤調査坑)ボーリングNo.13-2孔(下盤側)①

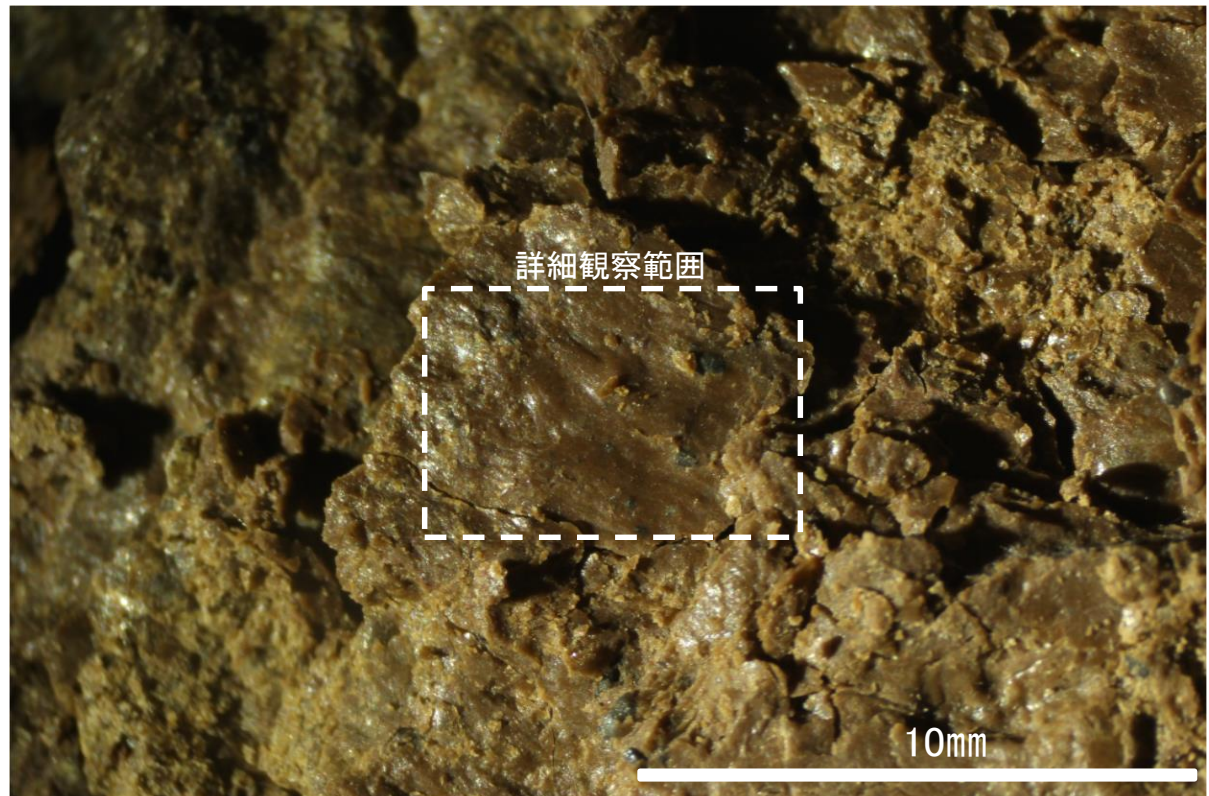


概念図 ※走向は真北で示す。

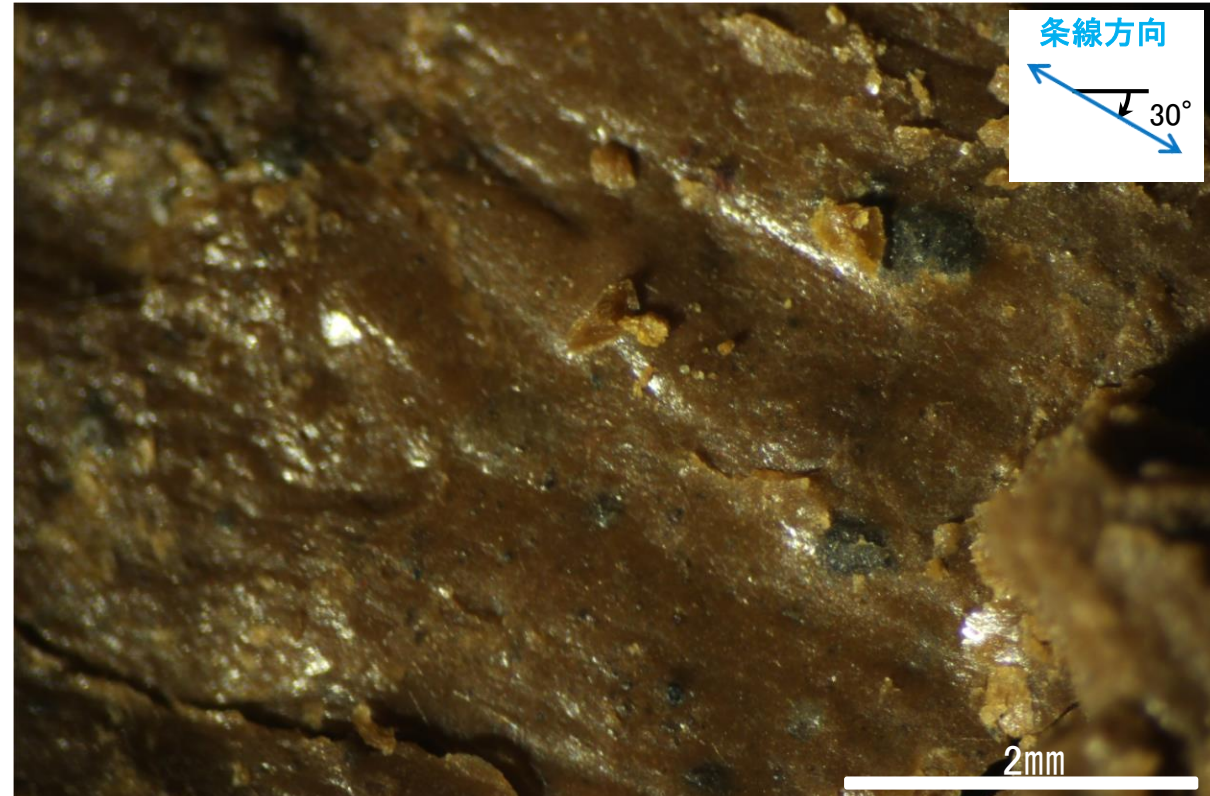
試料採取位置(No.13切羽)
● ボーリング箇所(No.13-2孔)



観察面写真



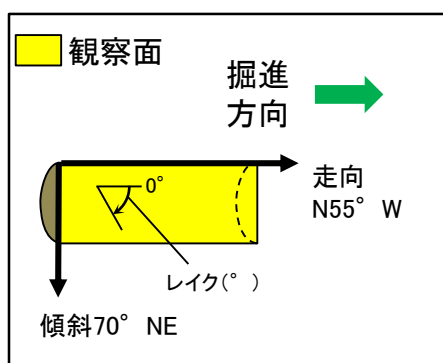
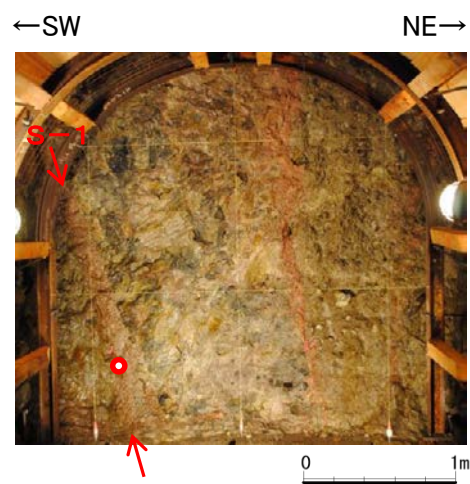
観察面拡大写真



詳細観察写真

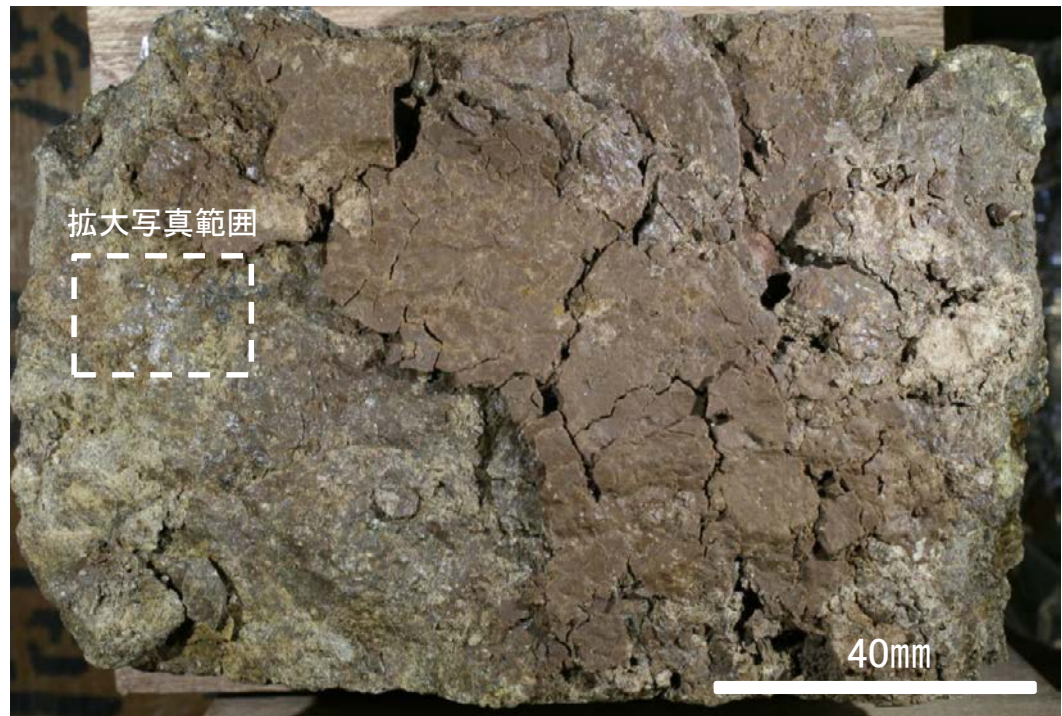
・条線のレイクは30° R, 変位センスは不明

条線観察結果(岩盤調査坑)ボーリングNo.13-2孔(下盤側)②

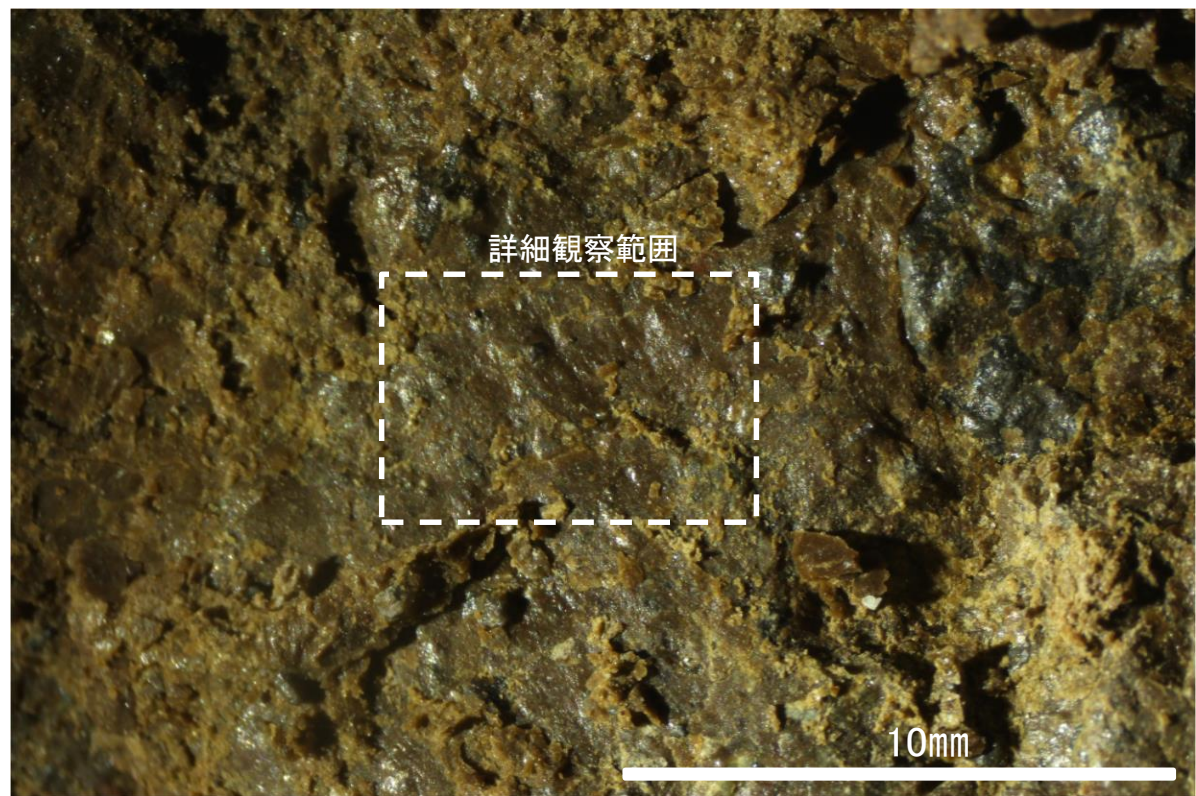


概念図 ※走向は真北で示す。

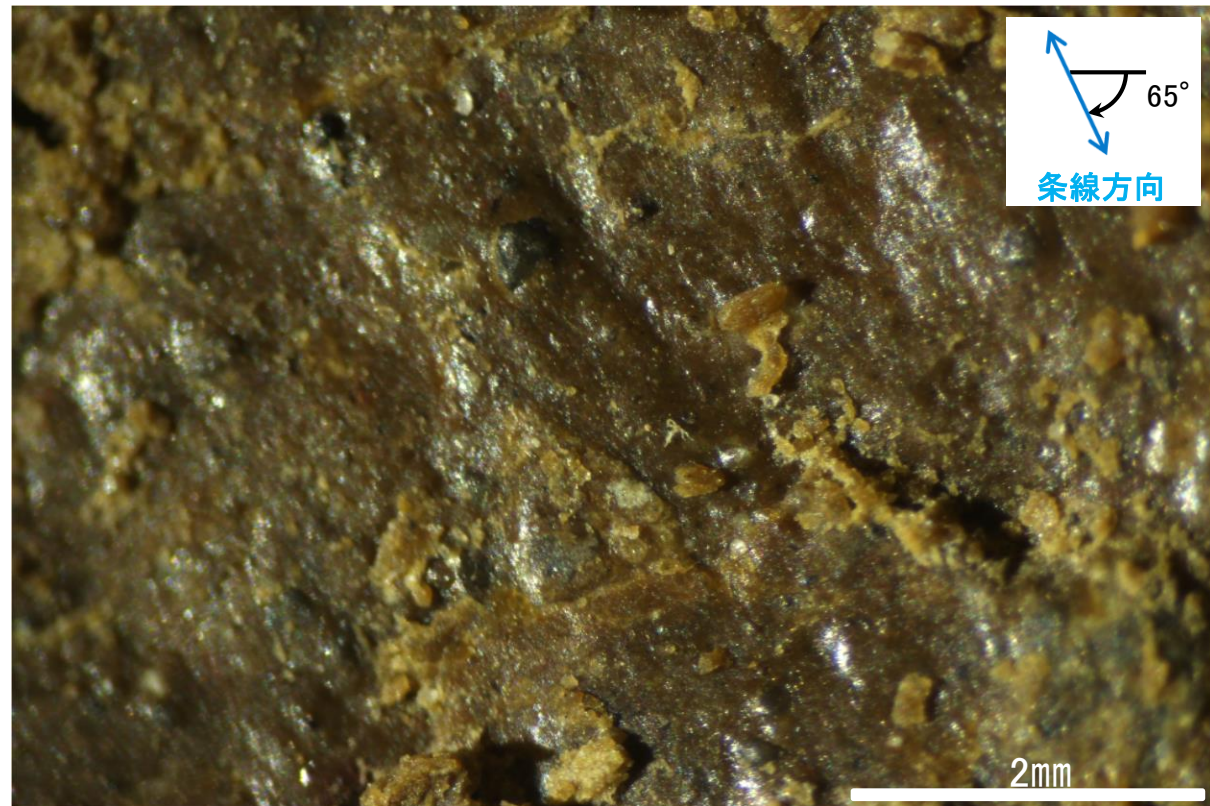
試料採取位置(No.13切羽)
● ボーリング箇所(No.13-2孔)



観察面写真



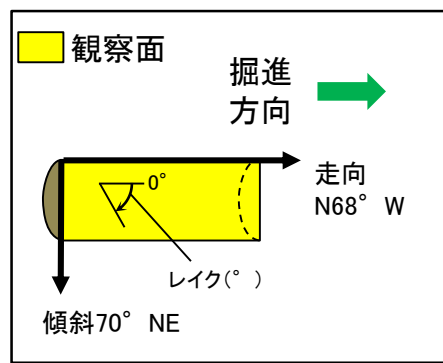
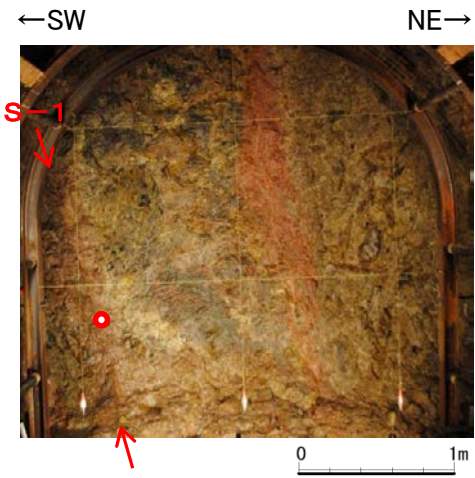
観察面拡大写真



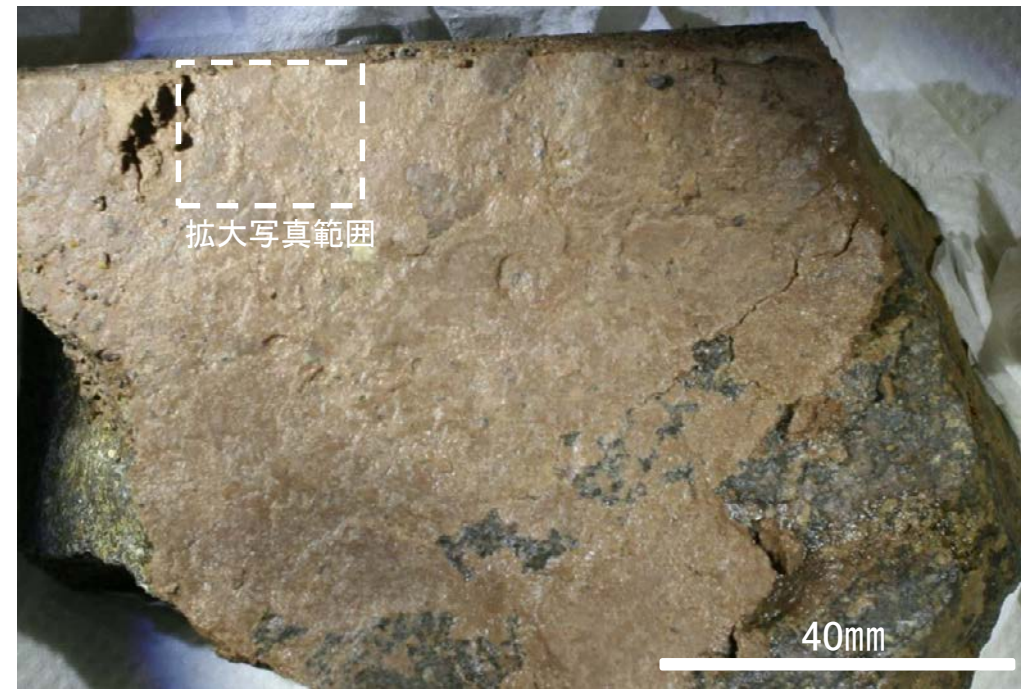
詳細観察写真

・条線のレイクは65° R, 変位センスは不明

条線観察結果(岩盤調査坑)ボーリングNo.14孔(下盤側)①



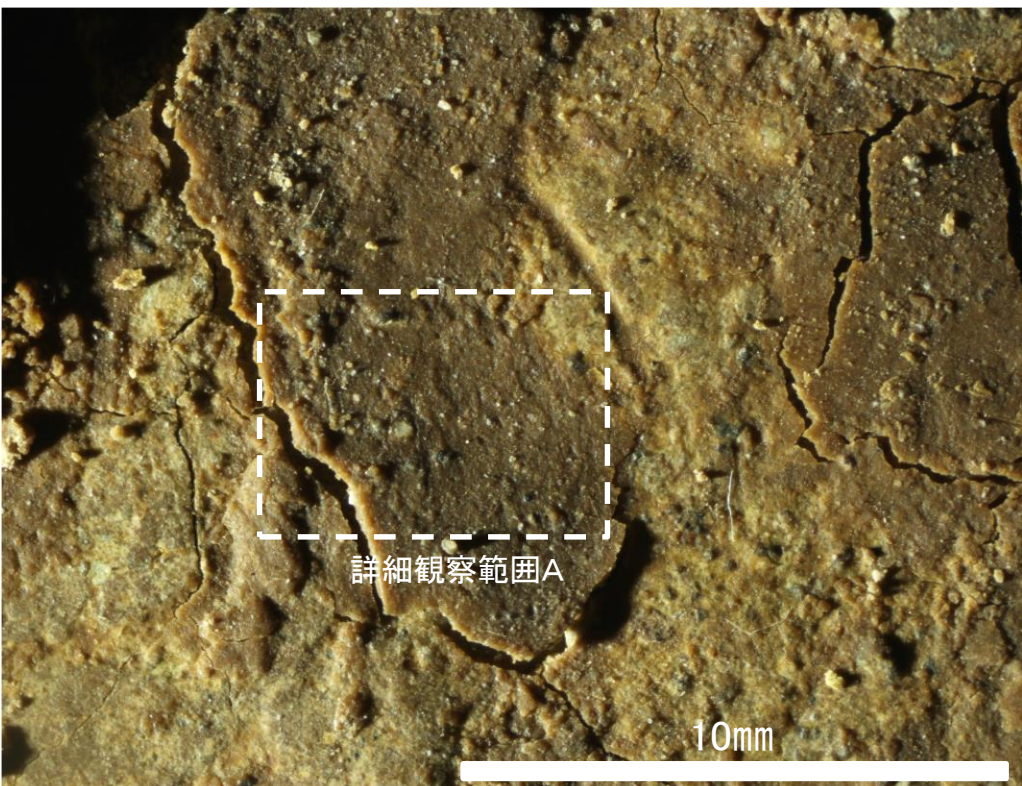
概念図 ※走向は真北で示す。



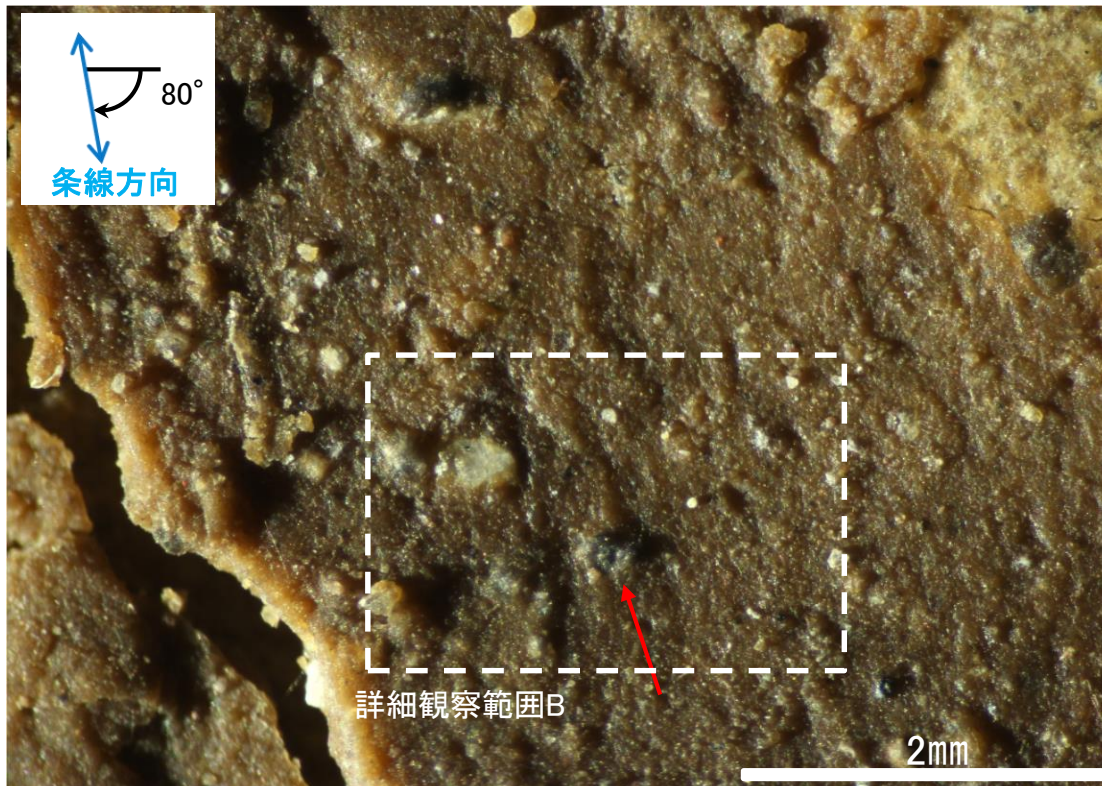
観察面写真

試料採取位置(No.14切羽)

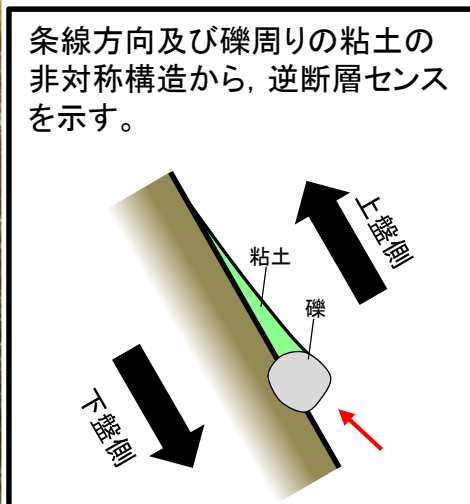
○ ボーリング箇所(No.14孔)



観察面拡大写真

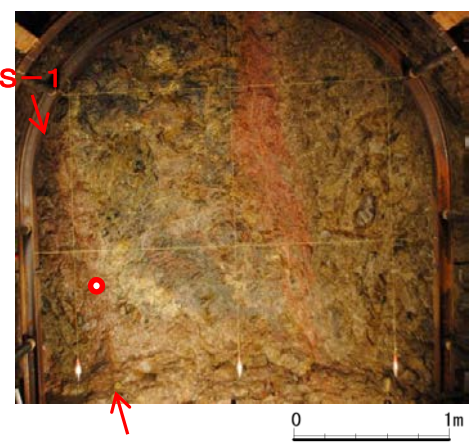
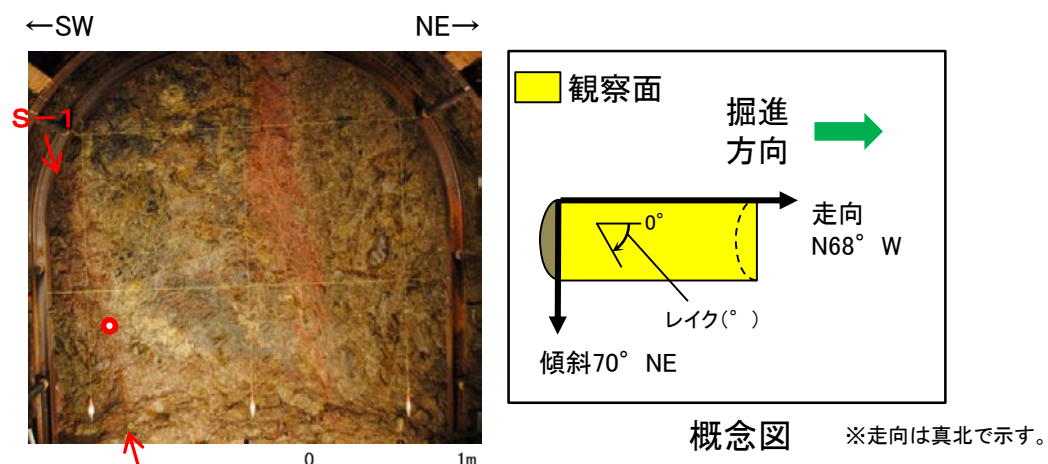


詳細観察写真A



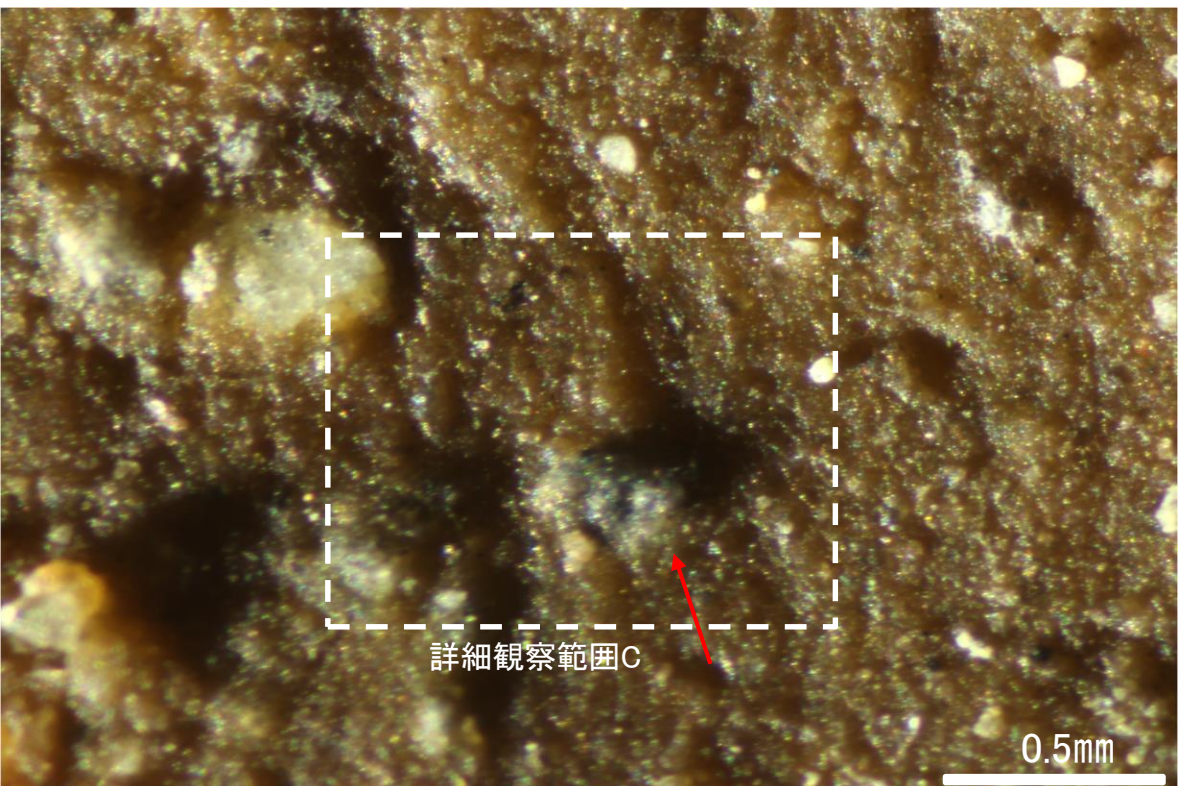
条線方向及び礫周りの粘土の非対称構造から、逆断層センスを示す。

条線観察結果(岩盤調査坑)ボーリングNo.14孔(下盤側)②

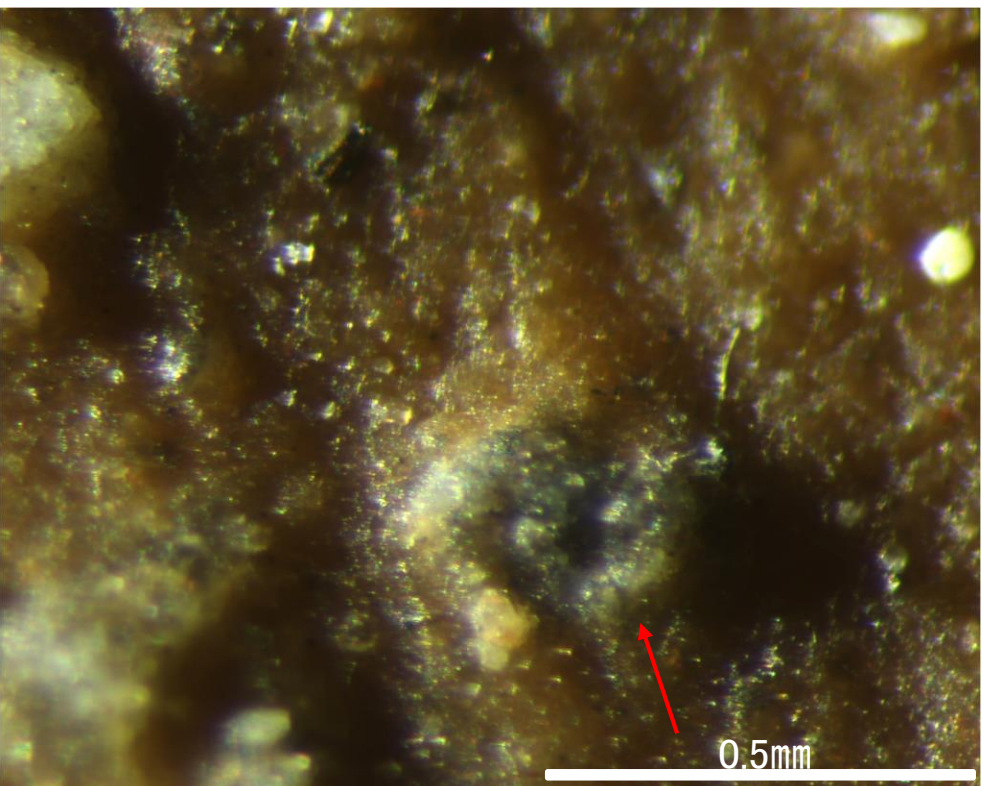


試料採取位置(No.14切羽)

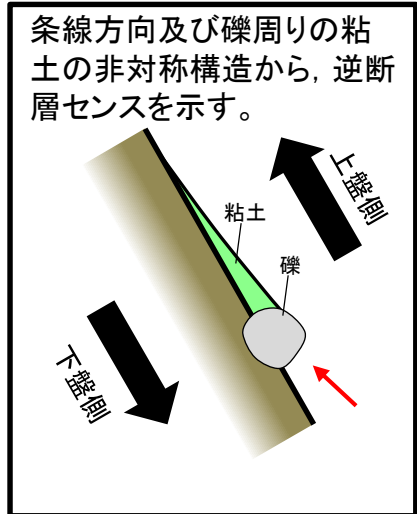
○ ボーリング箇所(No.14孔)



詳細観察写真B

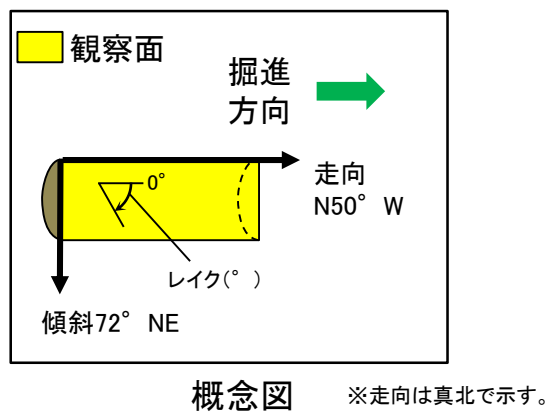
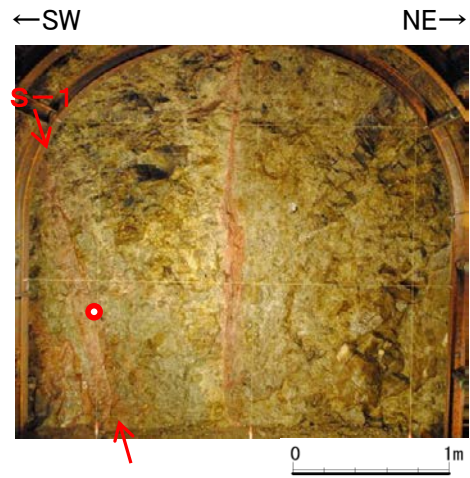


詳細観察写真C

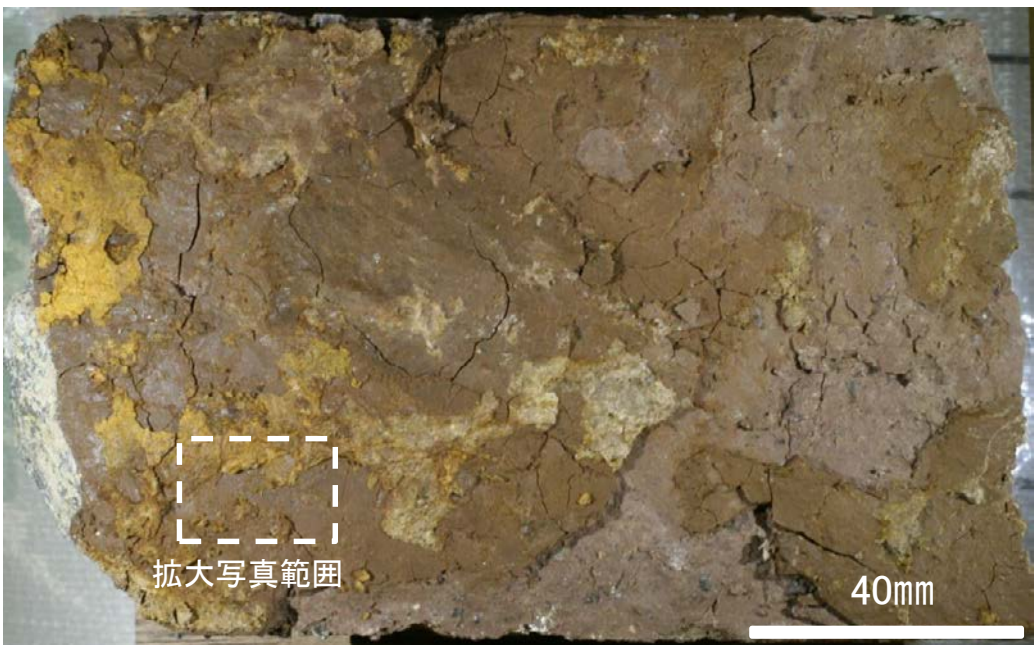


・条線のレイクは80° R, 変位センスは右横ずれ逆断層センス

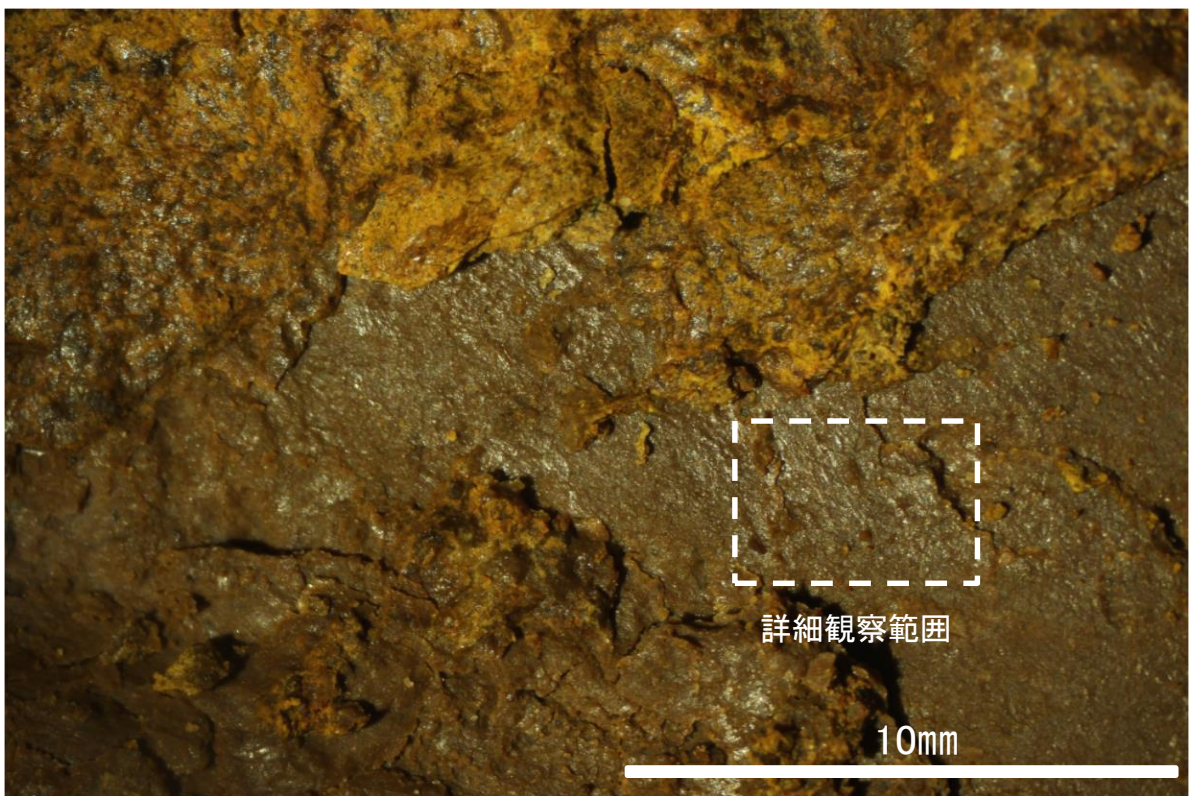
条線観察結果(岩盤調査坑)ボーリングNo.18-1孔(下盤側)



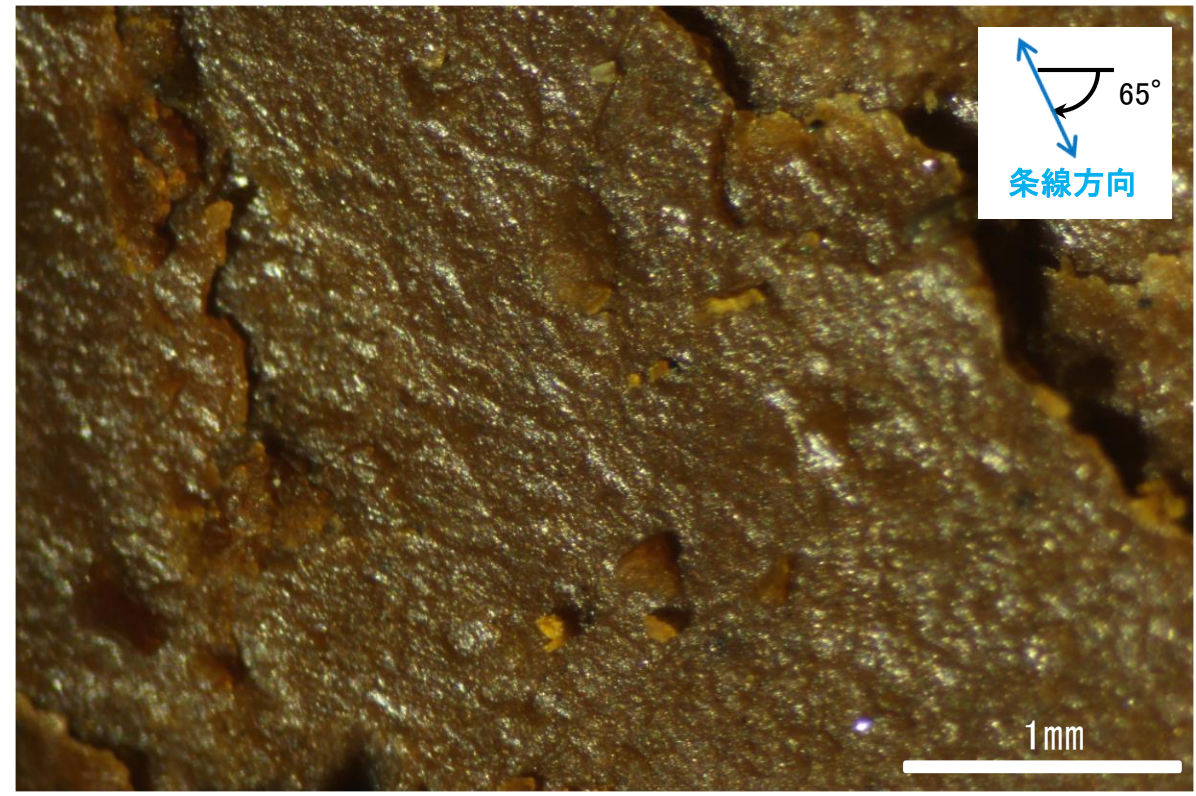
試料採取位置(No.18切羽)
● ボーリング箇所(No.18-1孔)



観察面写真



観察面拡大写真

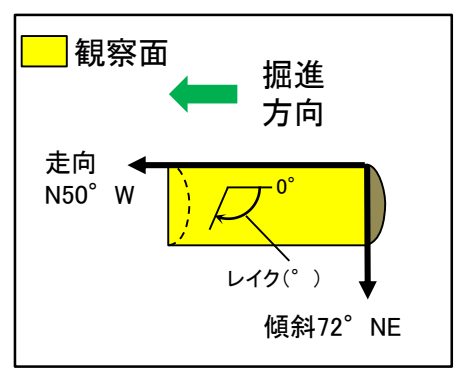
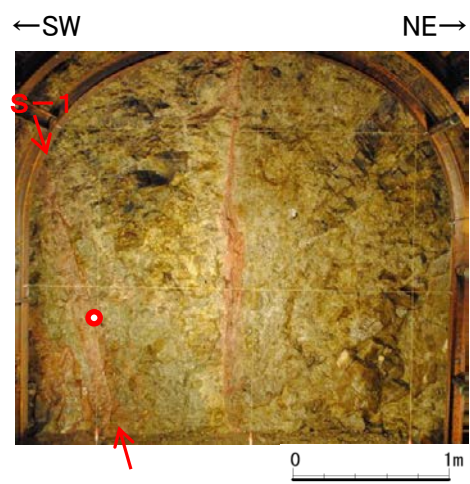


詳細観察写真

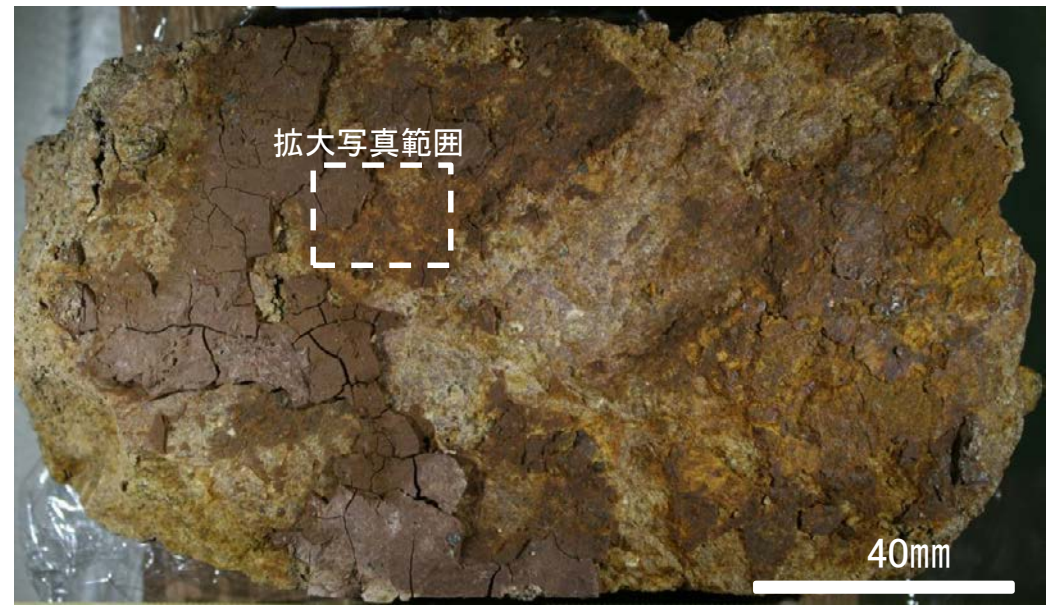
※低角度の条線は認められるものの、断続的であることから、人為的にできたものと考えられる。

・条線のレイクは65° R, 変位センスは不明

条線観察結果(岩盤調査坑)ボーリングNo.18-1孔(上盤側)



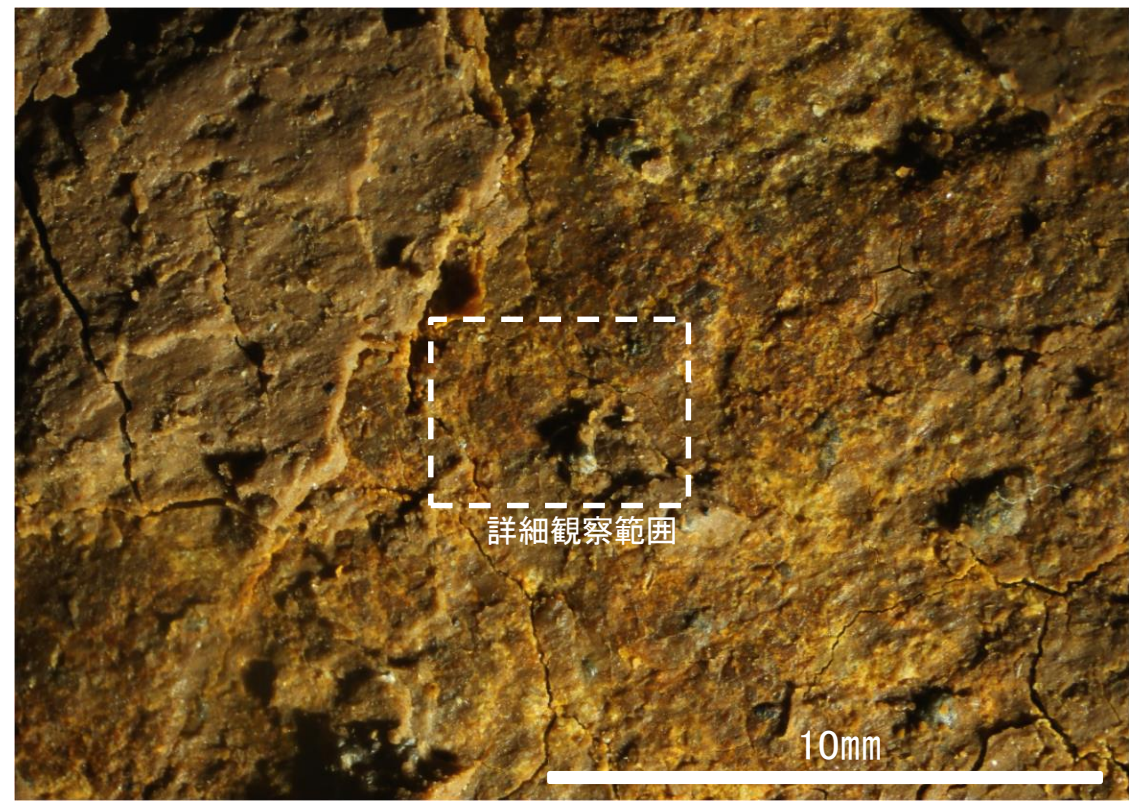
概念図 ※走向は真北で示す。



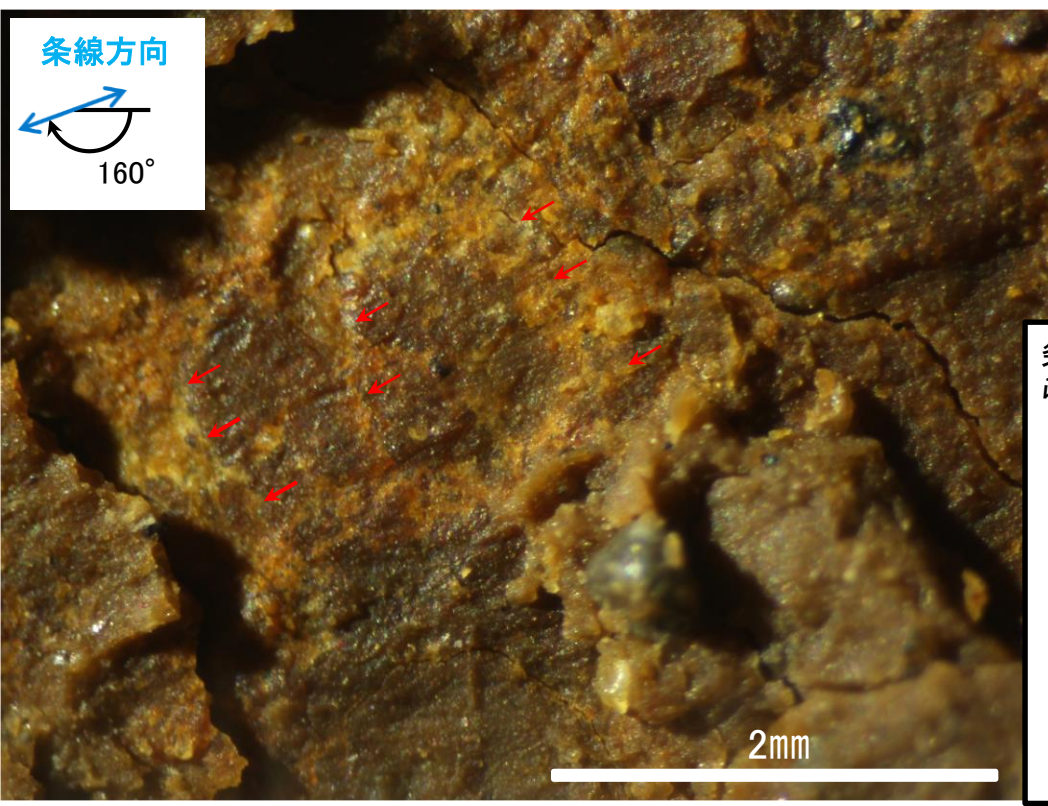
観察面写真

試料採取位置(No.18切羽)

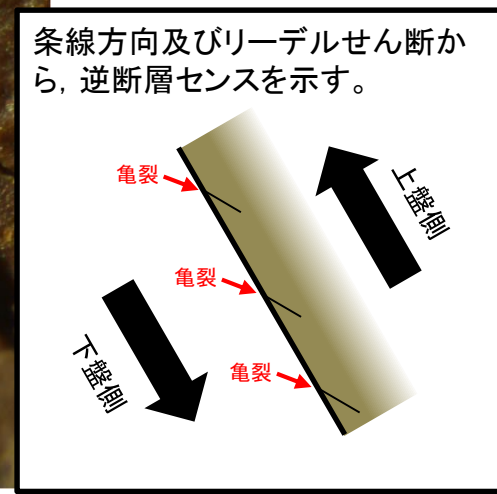
○ ボーリング箇所(No.18-1孔)



観察面拡大写真

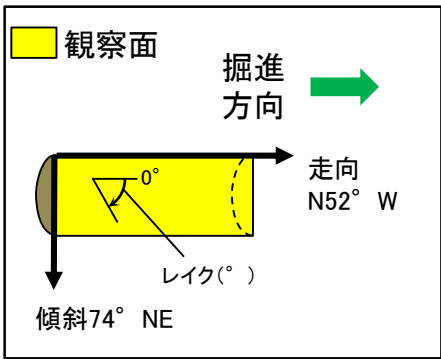
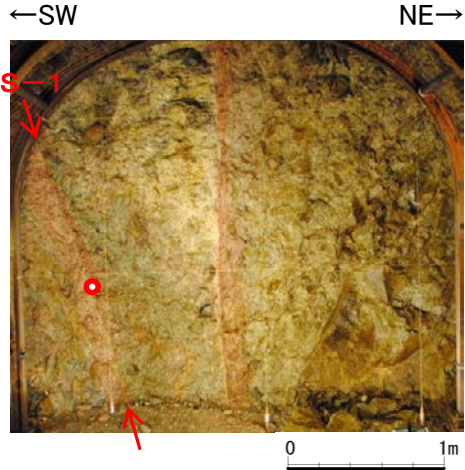


詳細観察写真



・条線のレイクは20° R(下盤側換算), 変位センスは右横ずれ逆断層センス

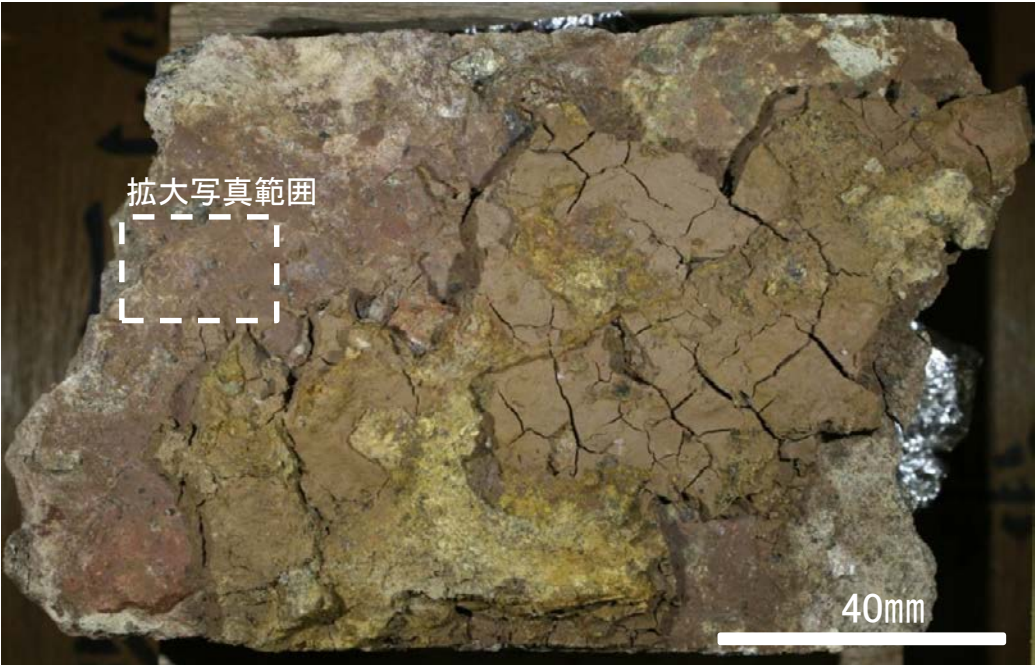
条線観察結果(岩盤調査坑)ボーリングNo.19孔(下盤側)



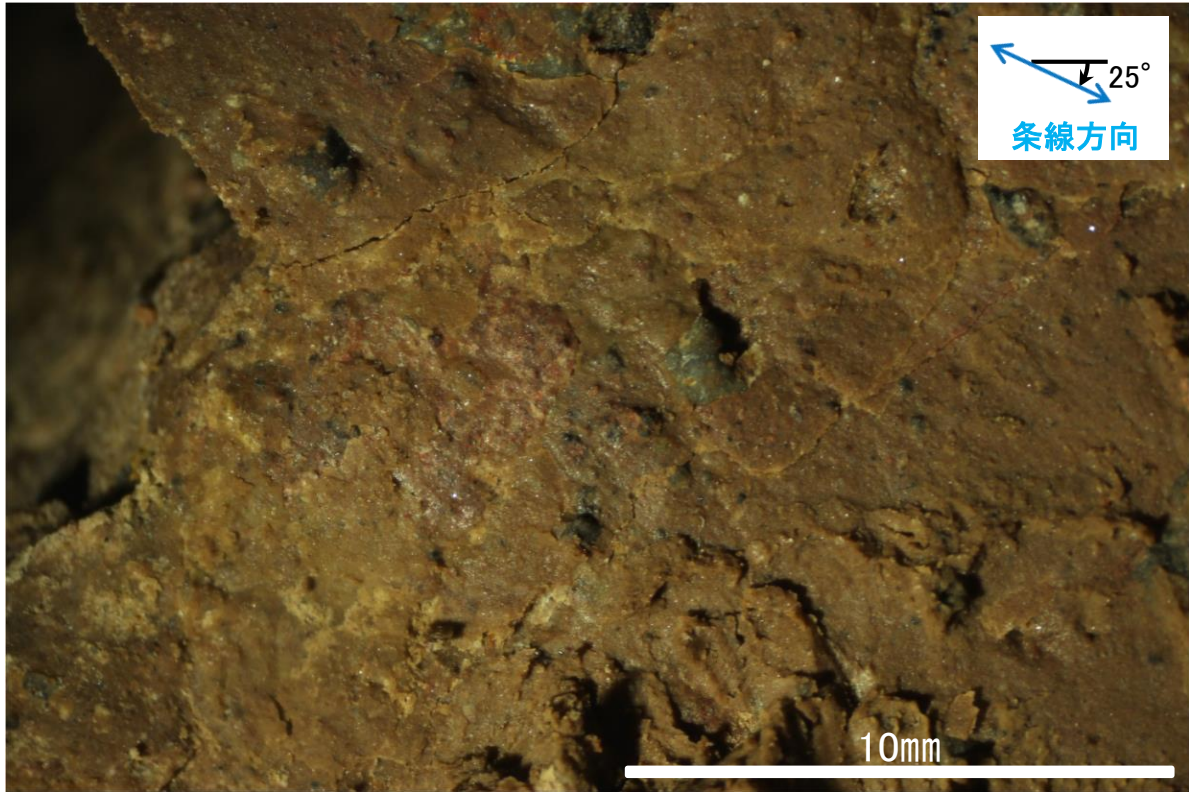
概念図 ※走向は真北で示す。

試料採取位置(No.19切羽)

○ ボーリング箇所(No.19孔)



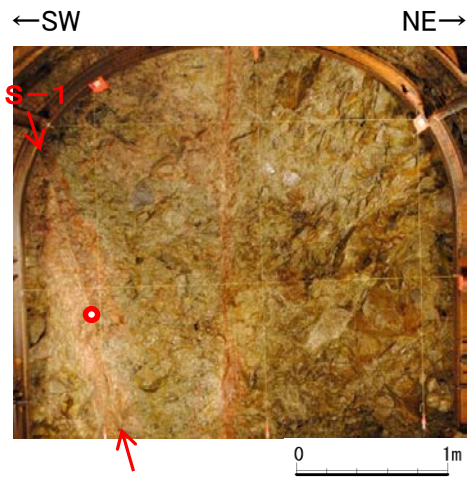
観察面写真



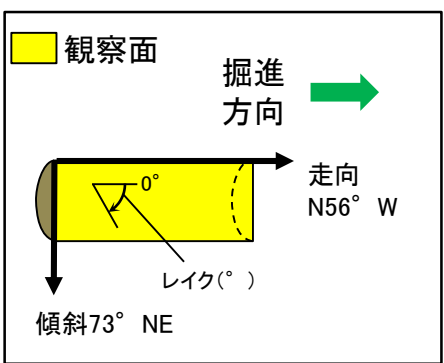
観察面拡大写真

・条線のレイクは25° R, 変位センスは不明

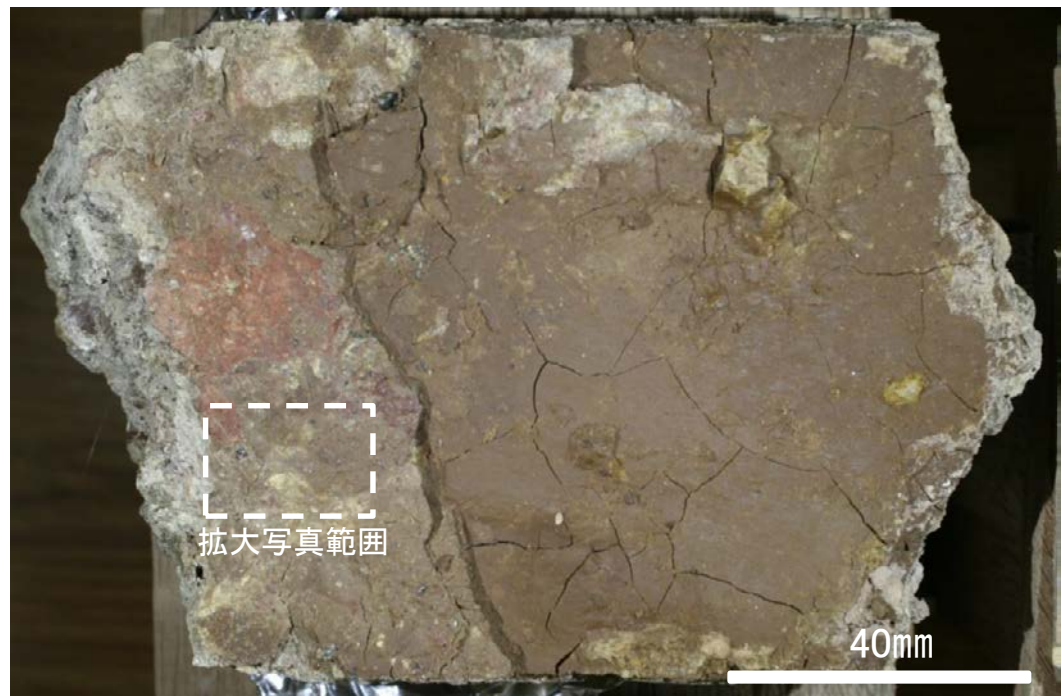
条線観察結果(岩盤調査坑)ボーリングNo.20孔(1)(下盤側)



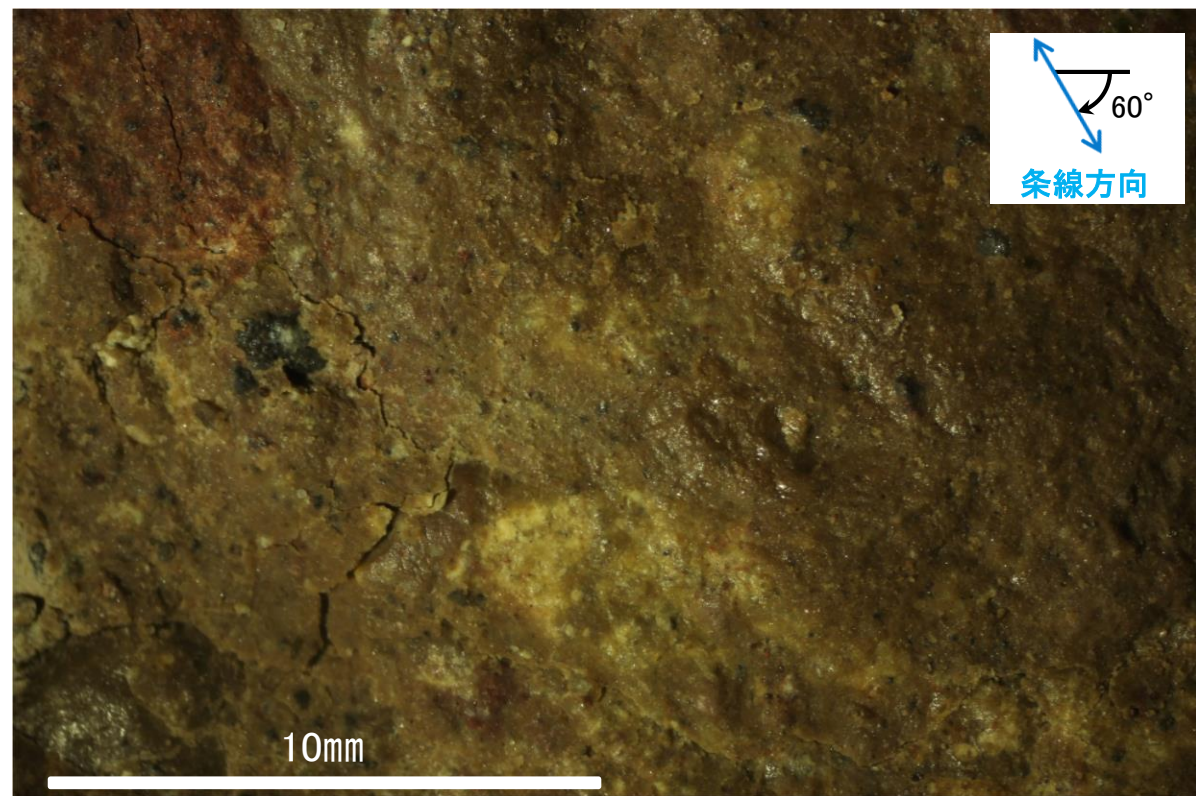
試料採取位置(No.20切羽)
○ ボーリング箇所(No.20孔)



概念図 ※走向は真北で示す。



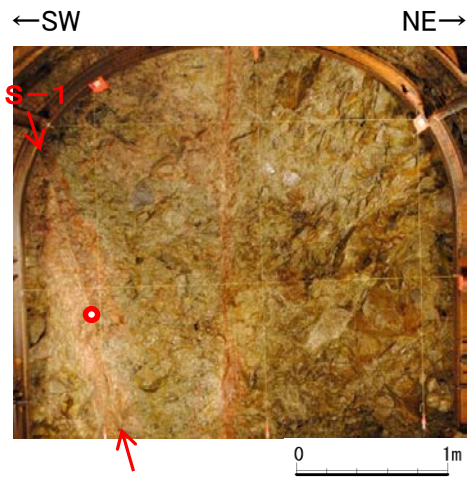
観察面写真



観察面拡大写真

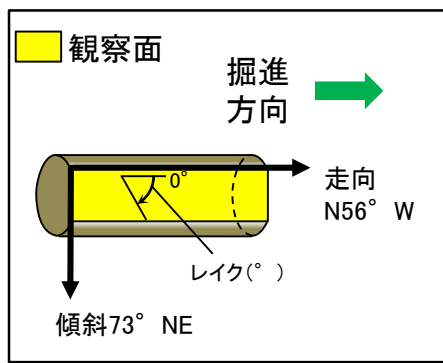
・条線のレイクは60° R, 変位センスは不明

条線観察結果(岩盤調査坑)ボーリングNo.20孔(2)(下盤側)①

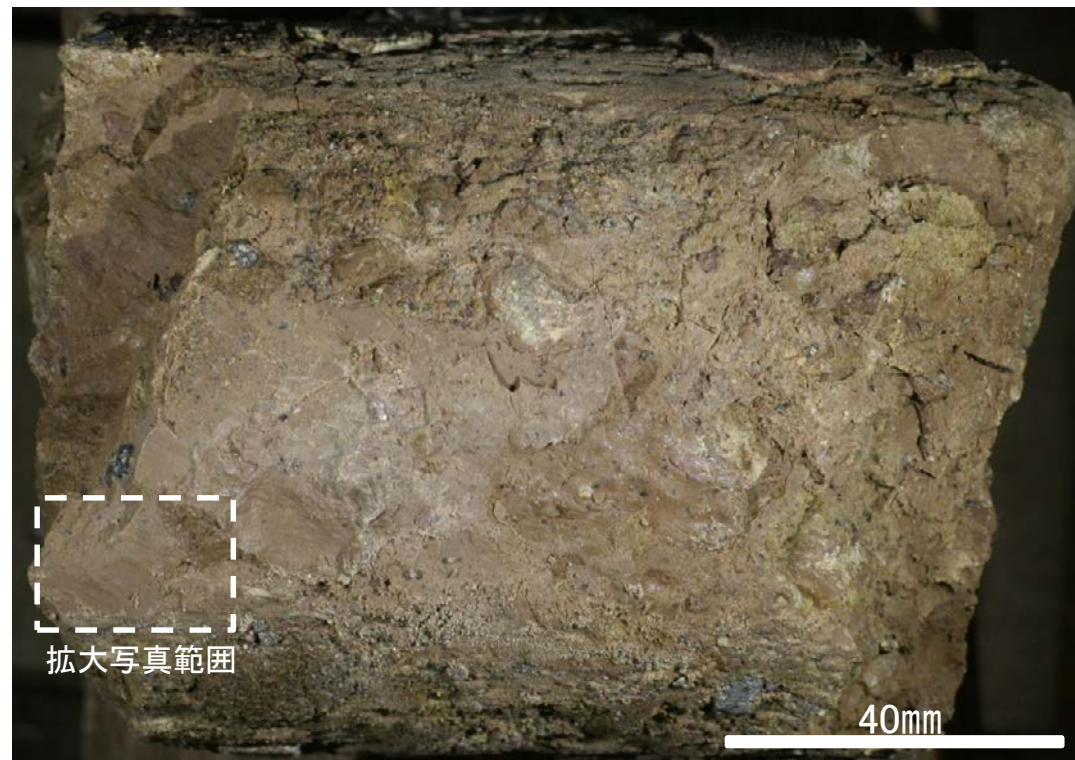


試料採取位置(No.20切羽)

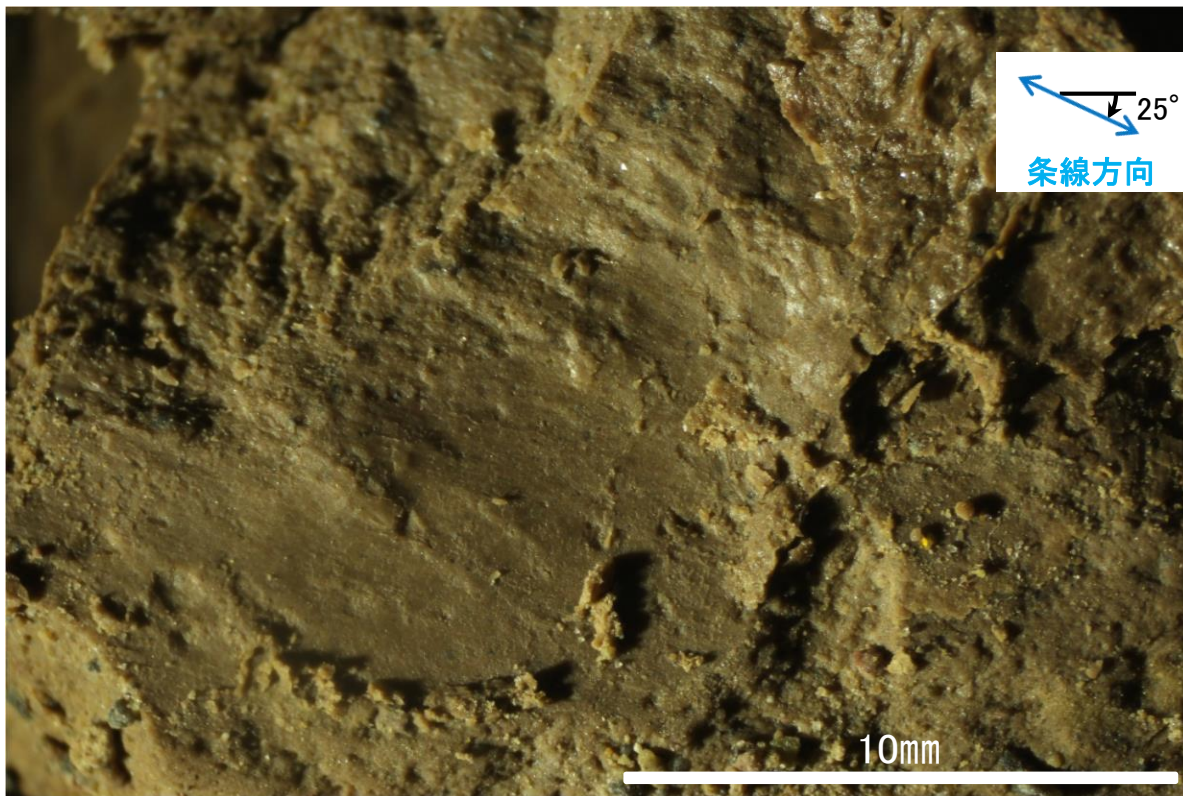
○ ボーリング箇所(No.20孔)



概念図 ※走向は真北で示す。



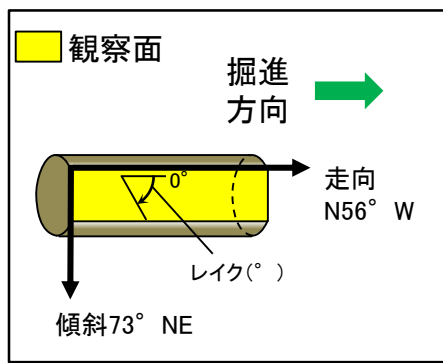
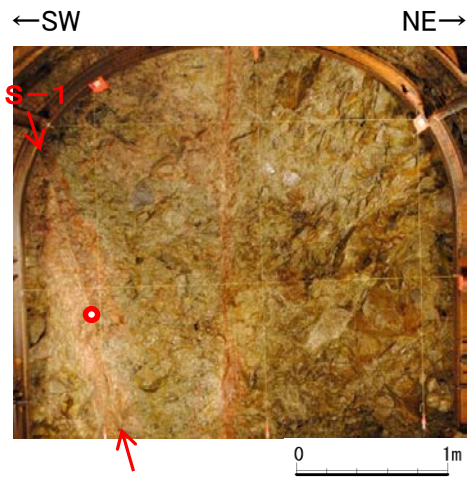
観察面写真



観察面拡大写真

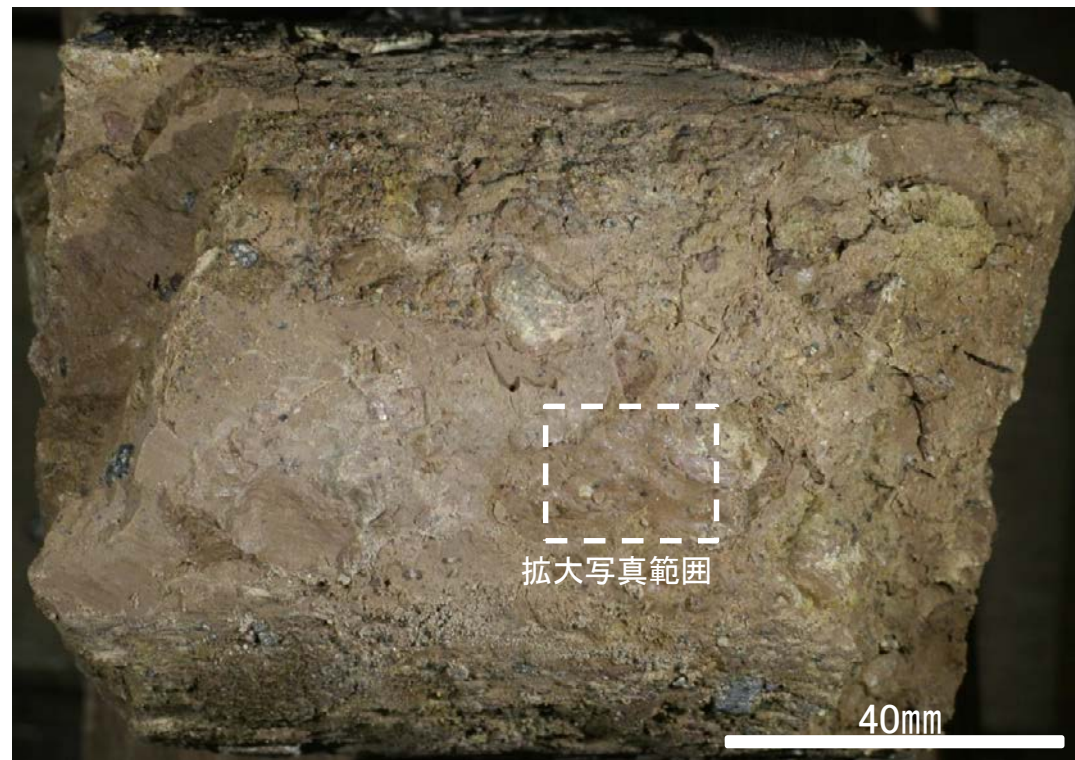
・条線のレイクは25° R, 変位センスは不明

条線観察結果(岩盤調査坑)ボーリングNo.20孔(2)(下盤側)②

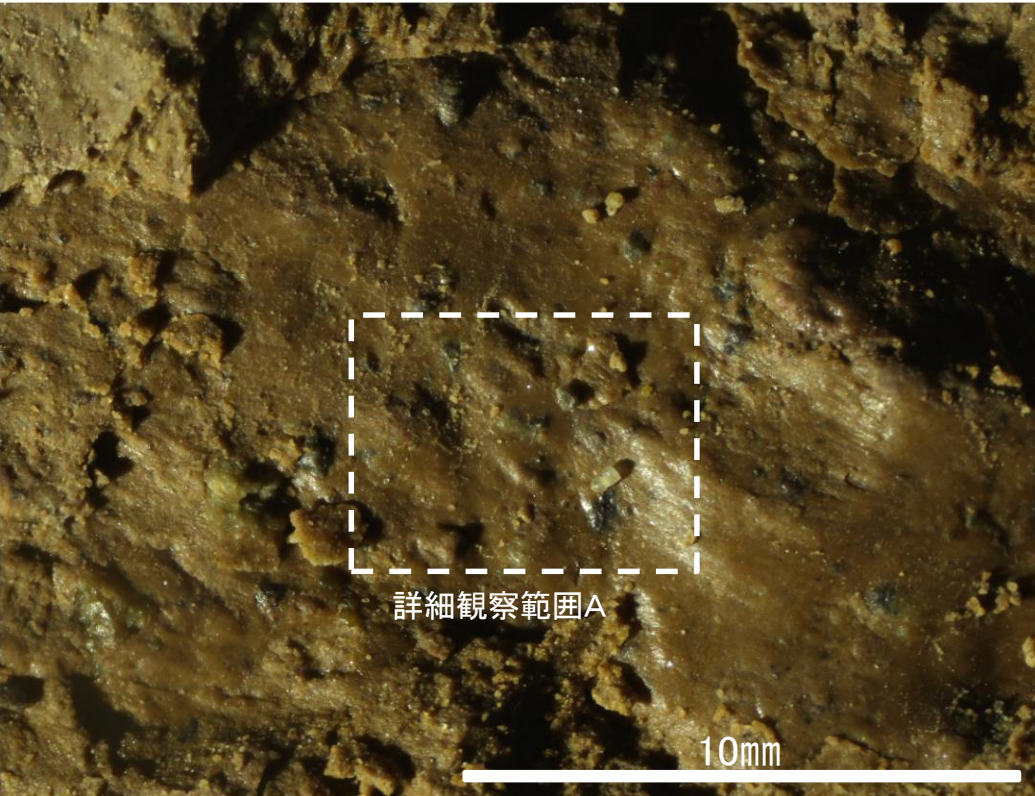


概念図 ※走向は真北で示す。

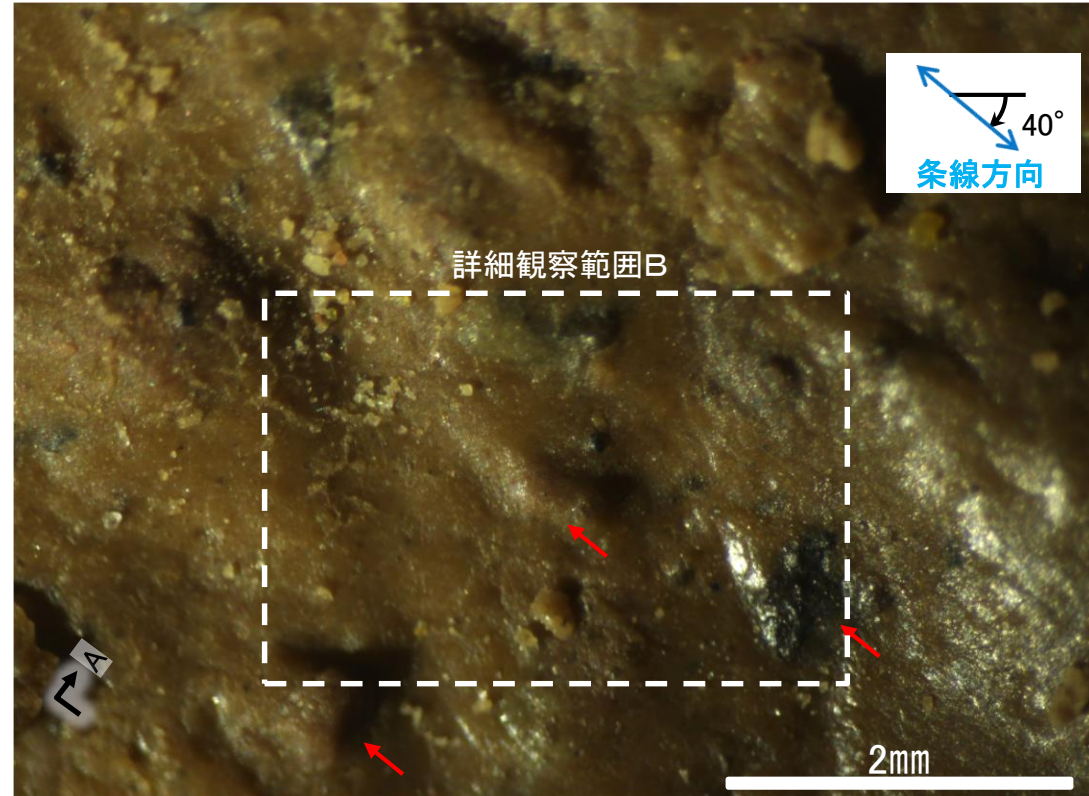
試料採取位置(No.20切羽)
● ボーリング箇所(No.20孔)



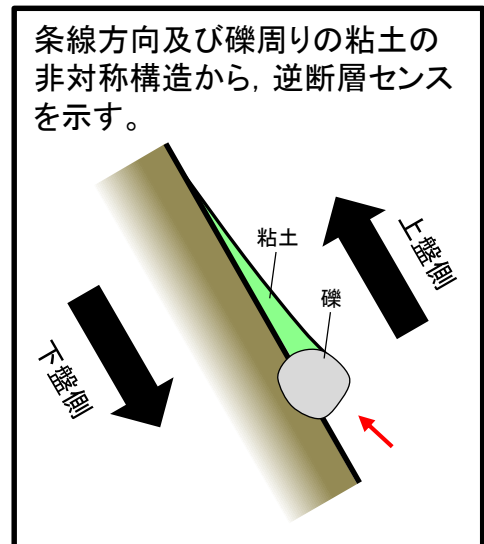
観察面写真



観察面拡大写真

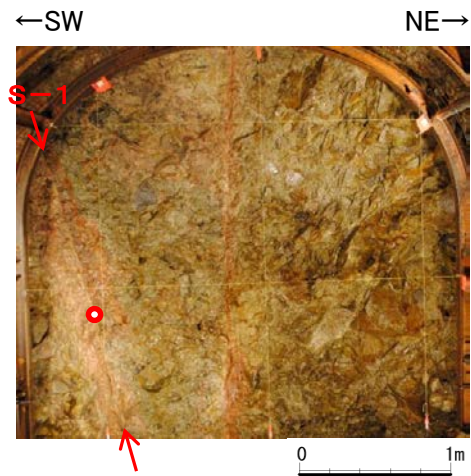


詳細観察写真A



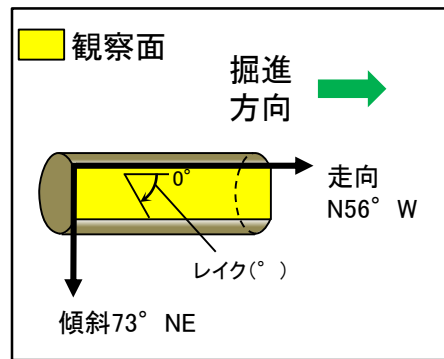
条線方向及び礫周りの粘土の非対称構造から、逆断層センスを示す。

条線観察結果(岩盤調査坑)ボーリングNo.20孔(2)(下盤側)③



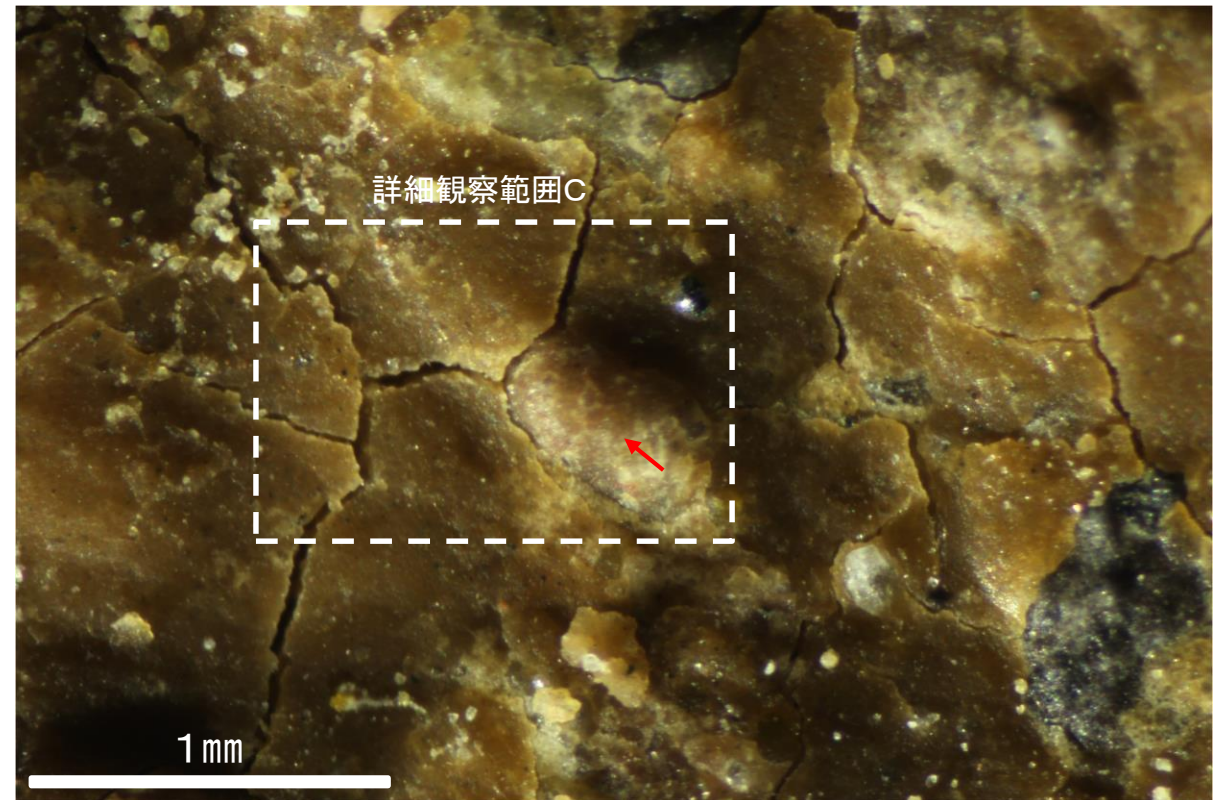
試料採取位置(No.20切羽)

○ ボーリング箇所(No.20孔)



概念図

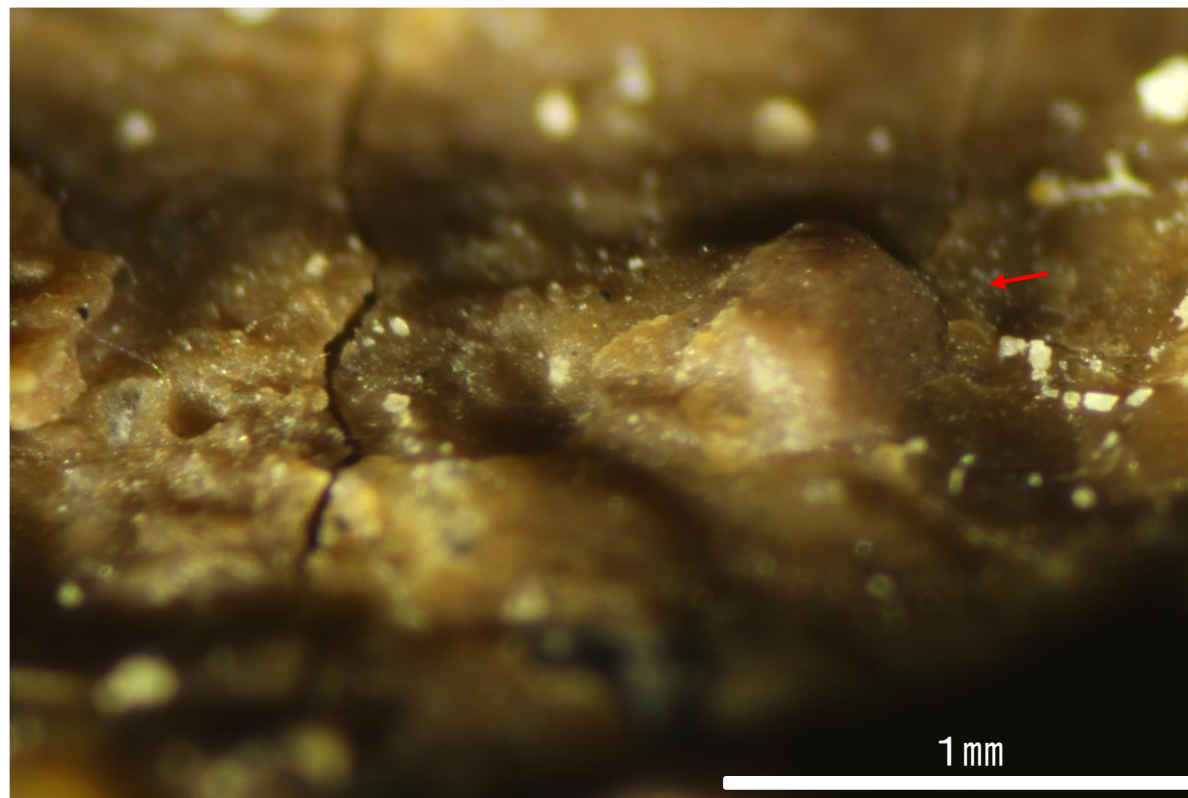
※走向は真北で示す。



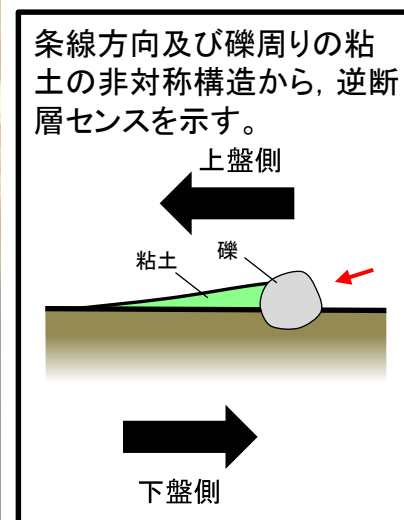
観察面写真B



詳細観察写真C

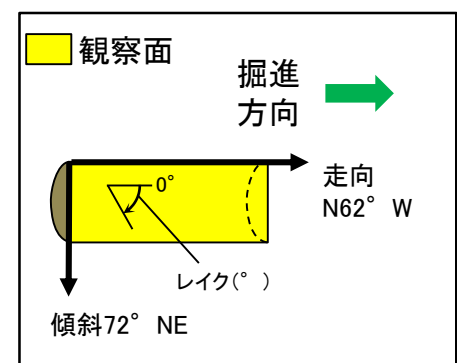
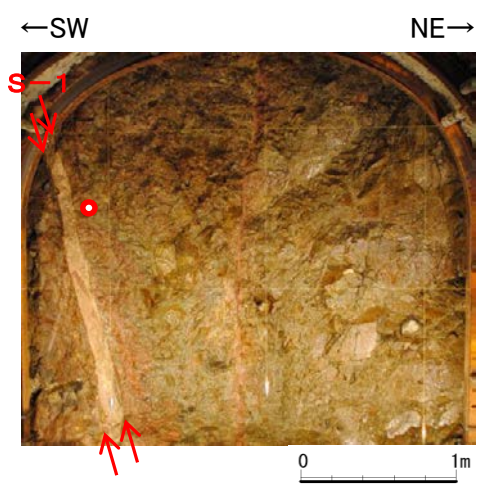


詳細観察写真(A-A'断面)



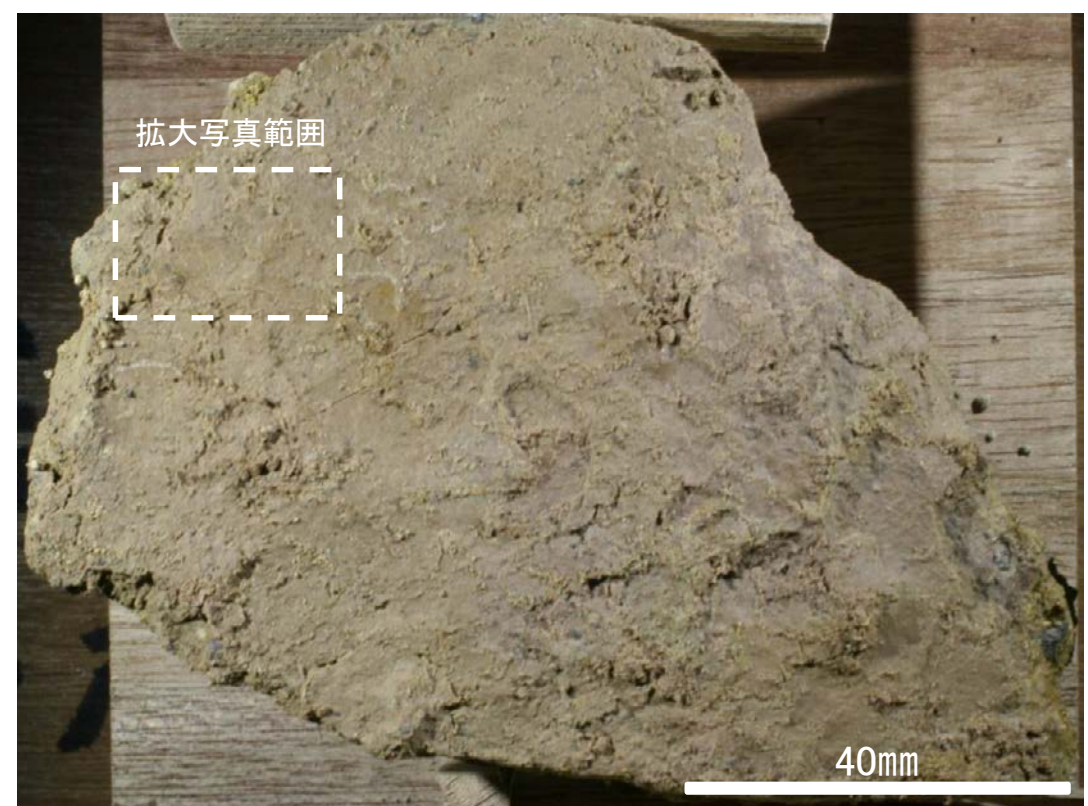
・条線のレイクは40° R, 変位センスは右横ずれ逆断層センス

条線観察結果(岩盤調査坑)ボーリングNo.22-1孔(下盤側)

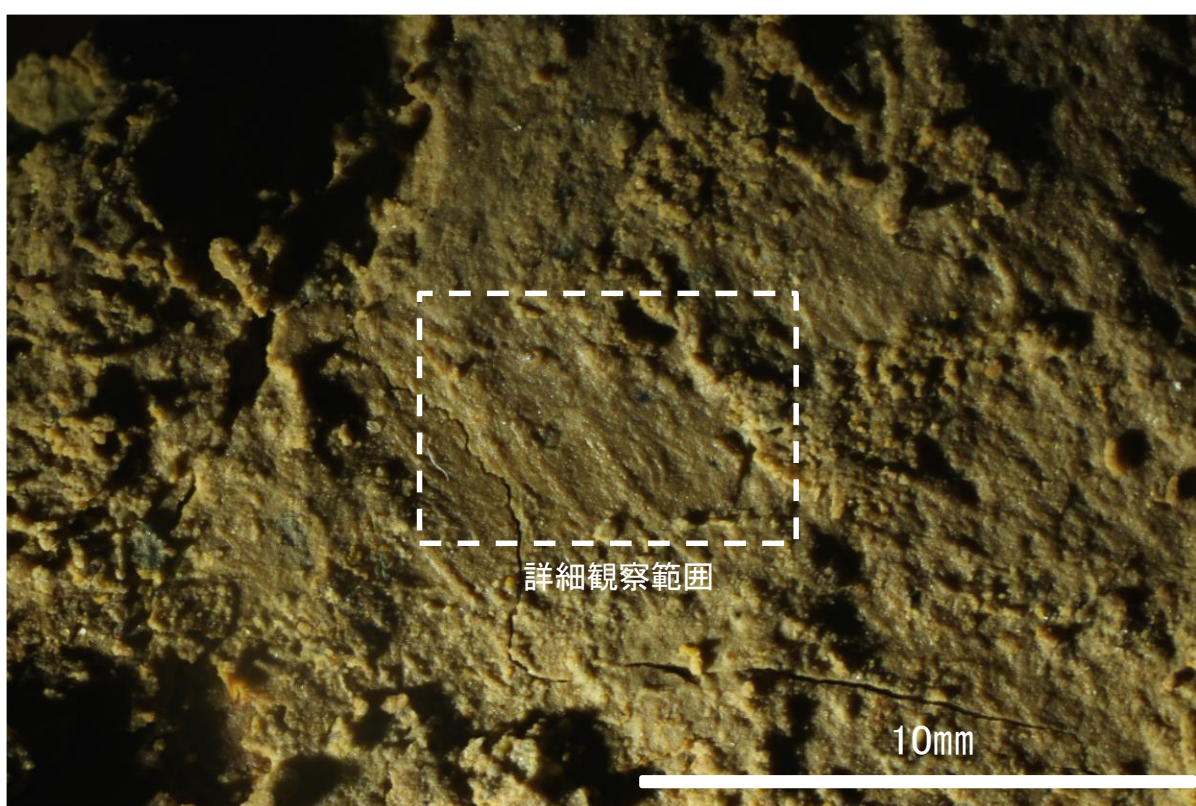


概念図 ※走向は真北で示す。

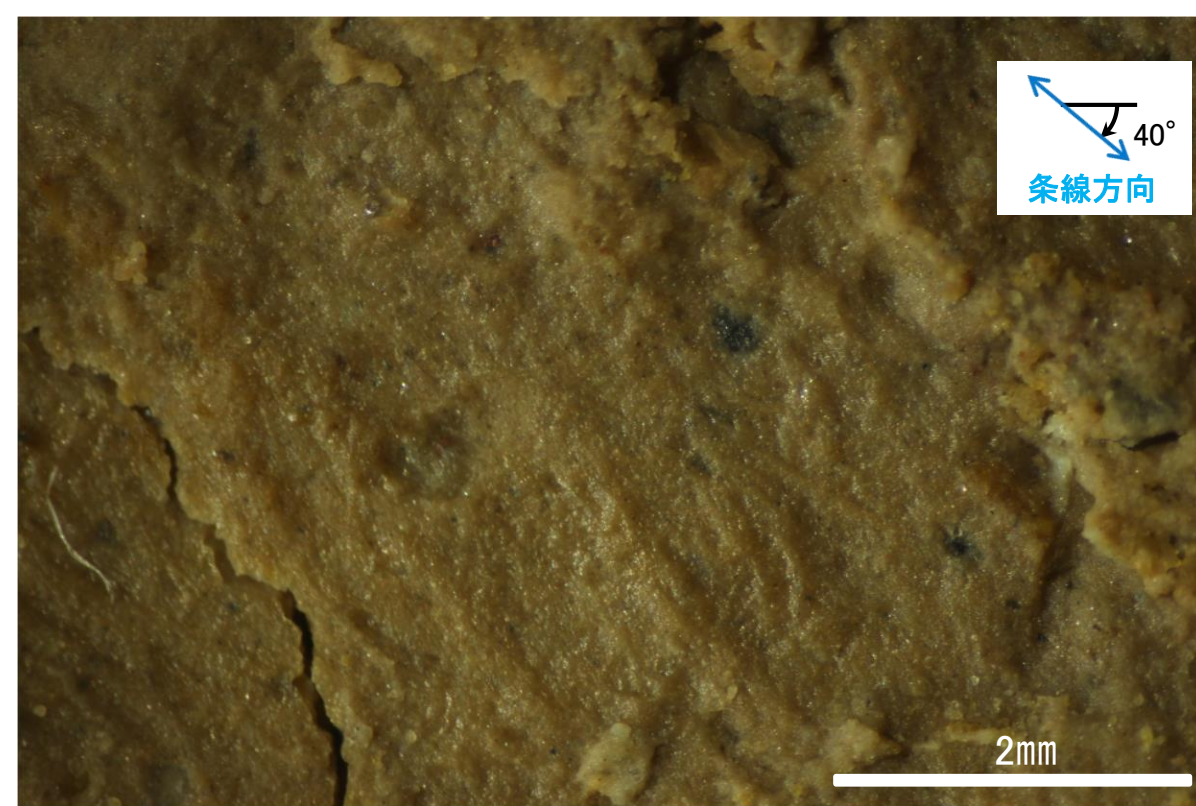
試料採取位置(No.22切羽)
● ボーリング箇所(No.22-1孔)



観察面写真



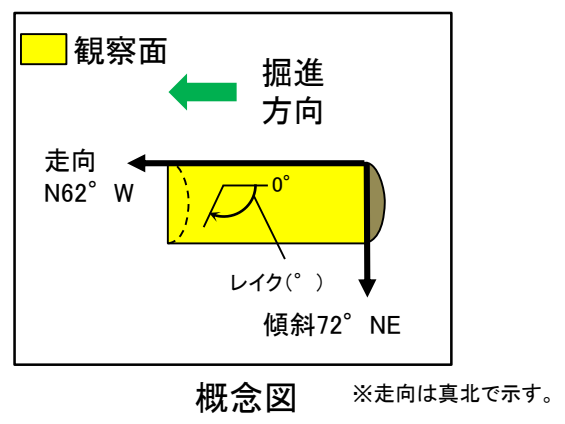
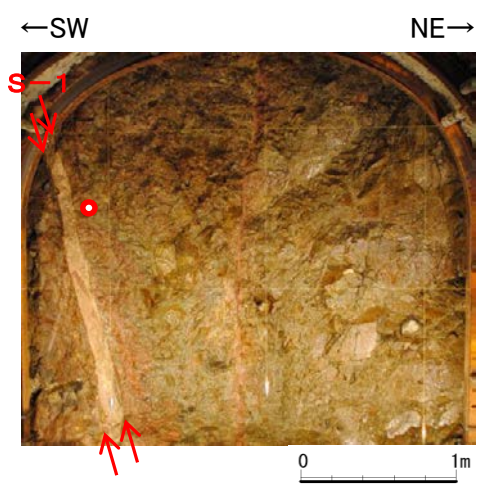
観察面拡大写真



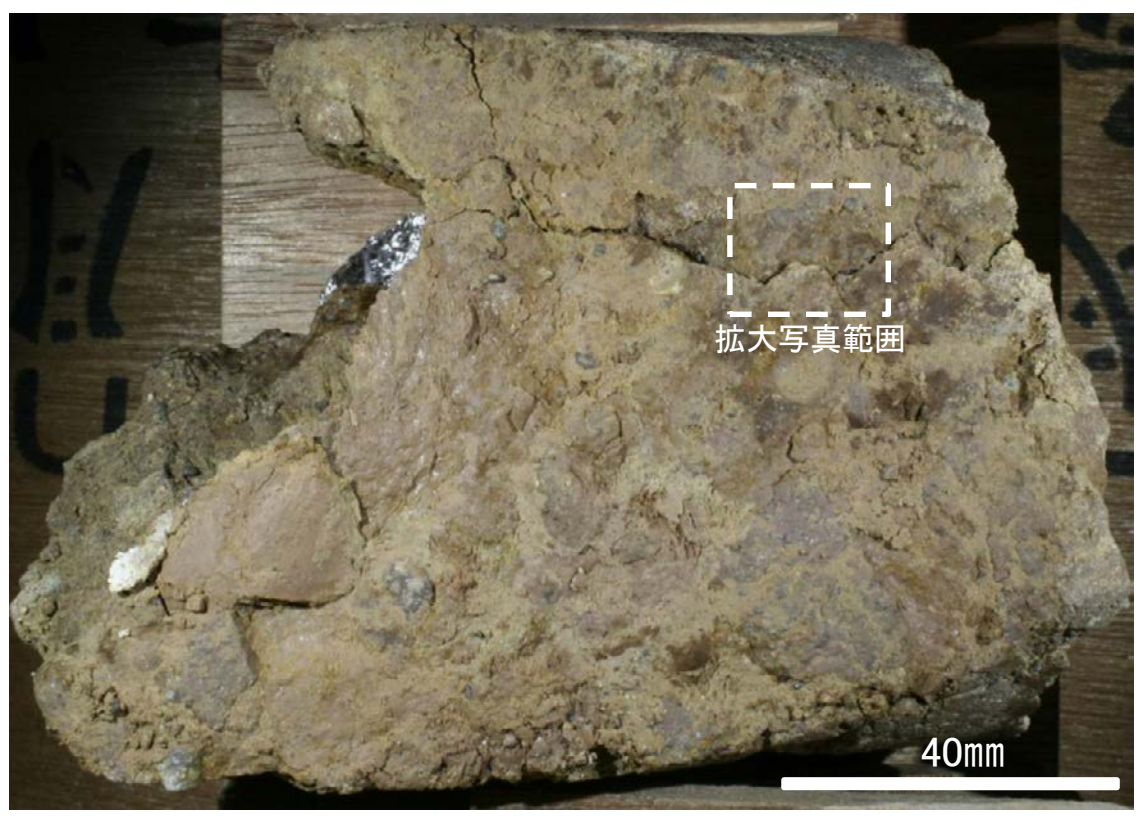
詳細観察写真

・条線のレイクは40° R, 変位センスは不明

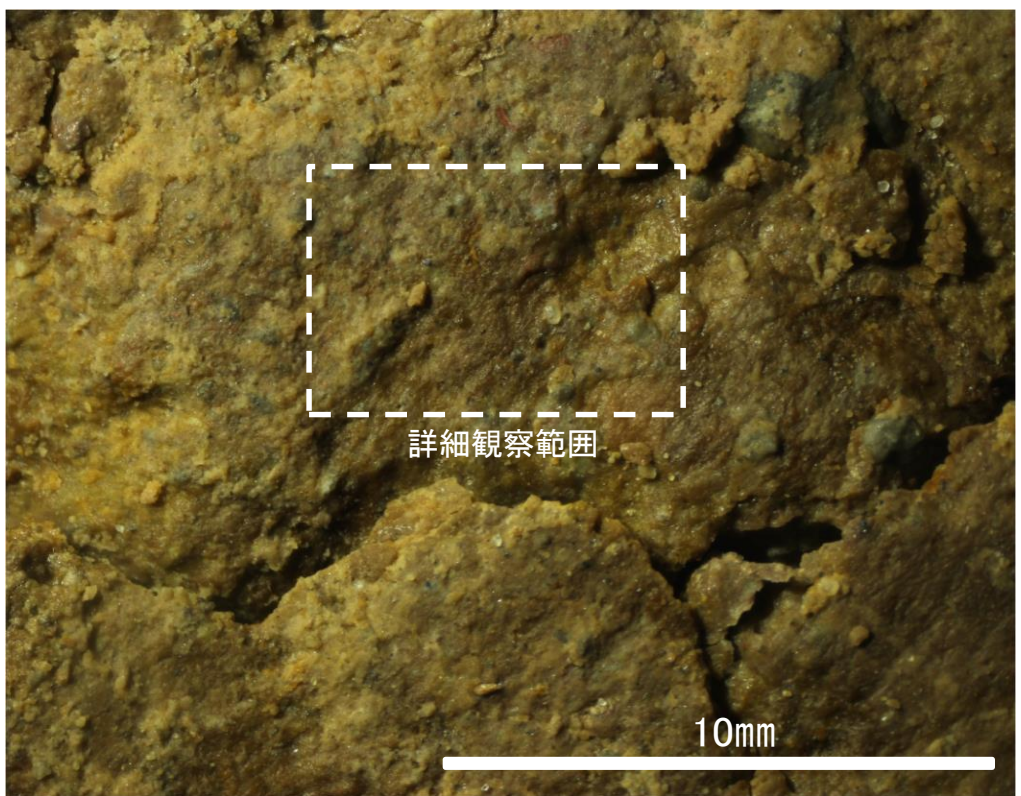
条線観察結果(岩盤調査坑)ボーリングNo.22-1孔(上盤側)



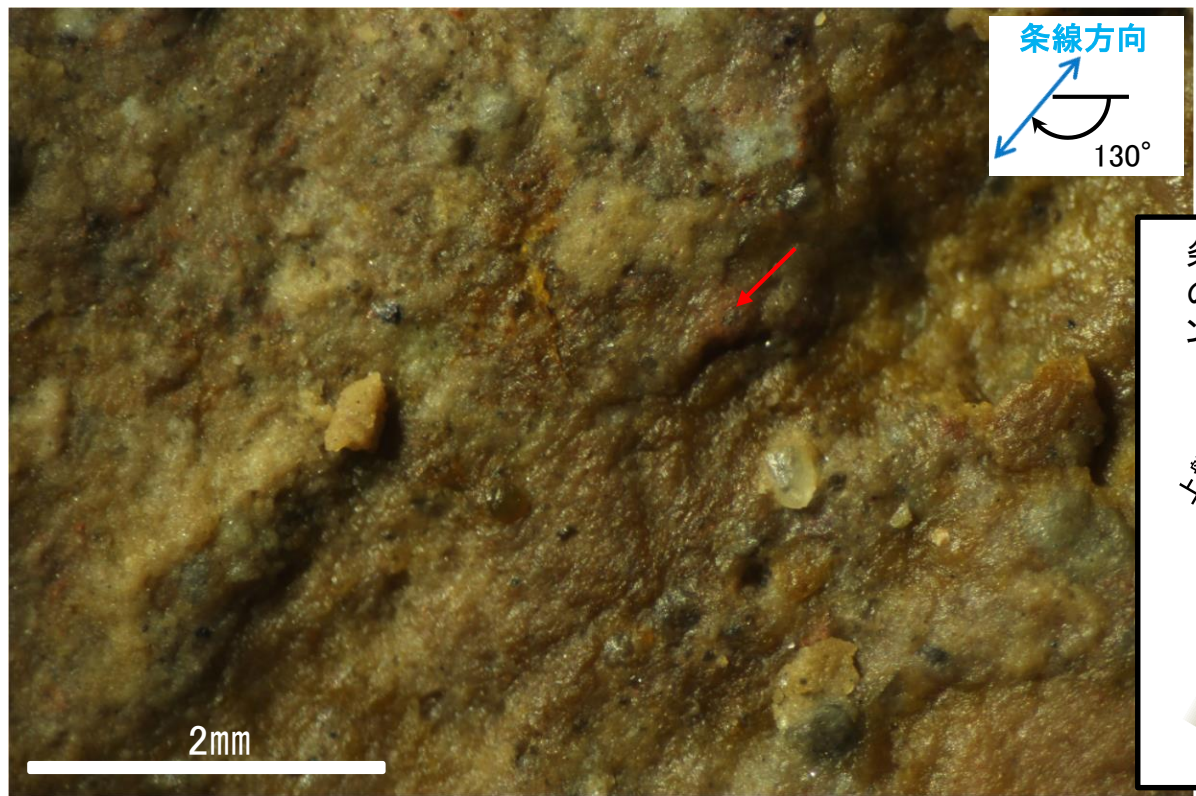
試料採取位置(No.22切羽)
● ボーリング箇所(No.22-1孔)



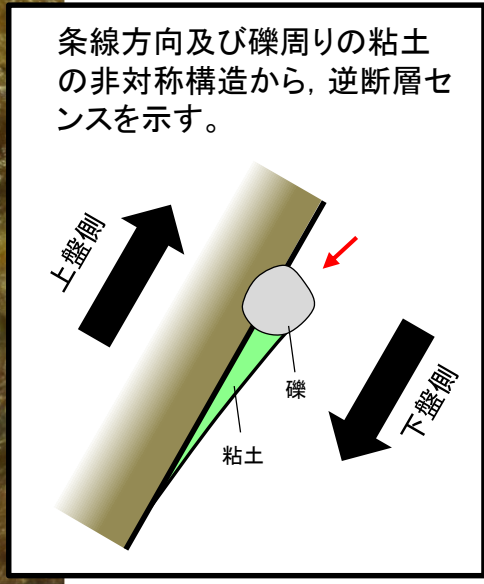
観察面写真



観察面拡大写真

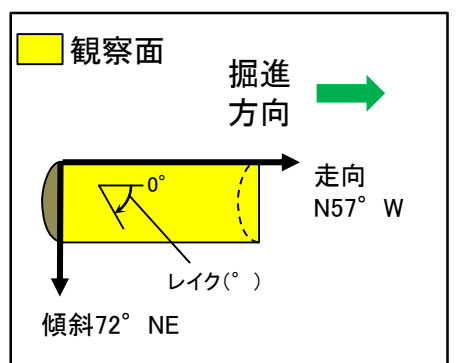
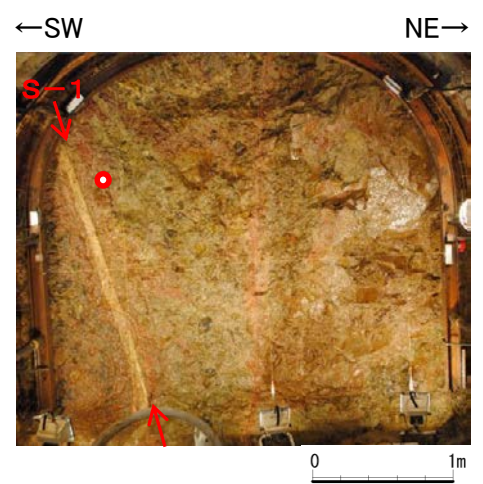


詳細観察写真



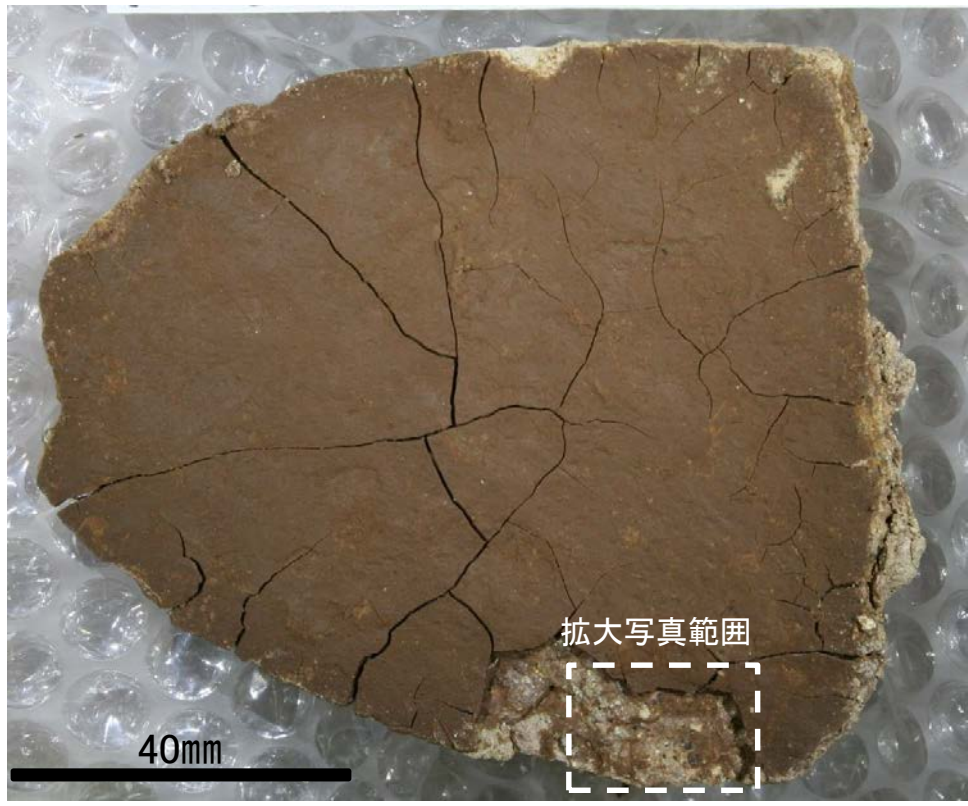
・条線のレイクは50° R(下盤側換算), 変位センスは右横ずれ逆断層センス

条線観察結果(岩盤調査坑)ボーリングNo.23-1孔(下盤側)

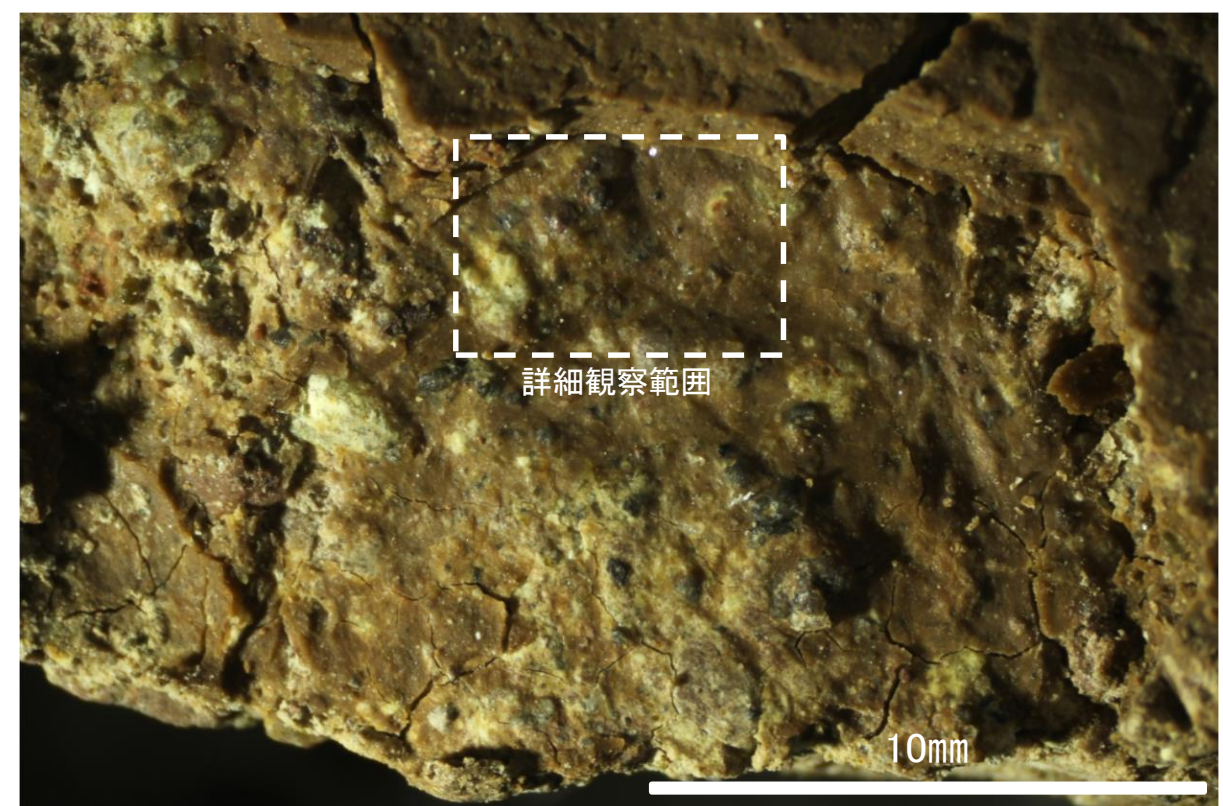


概念図 ※走向は真北で示す。

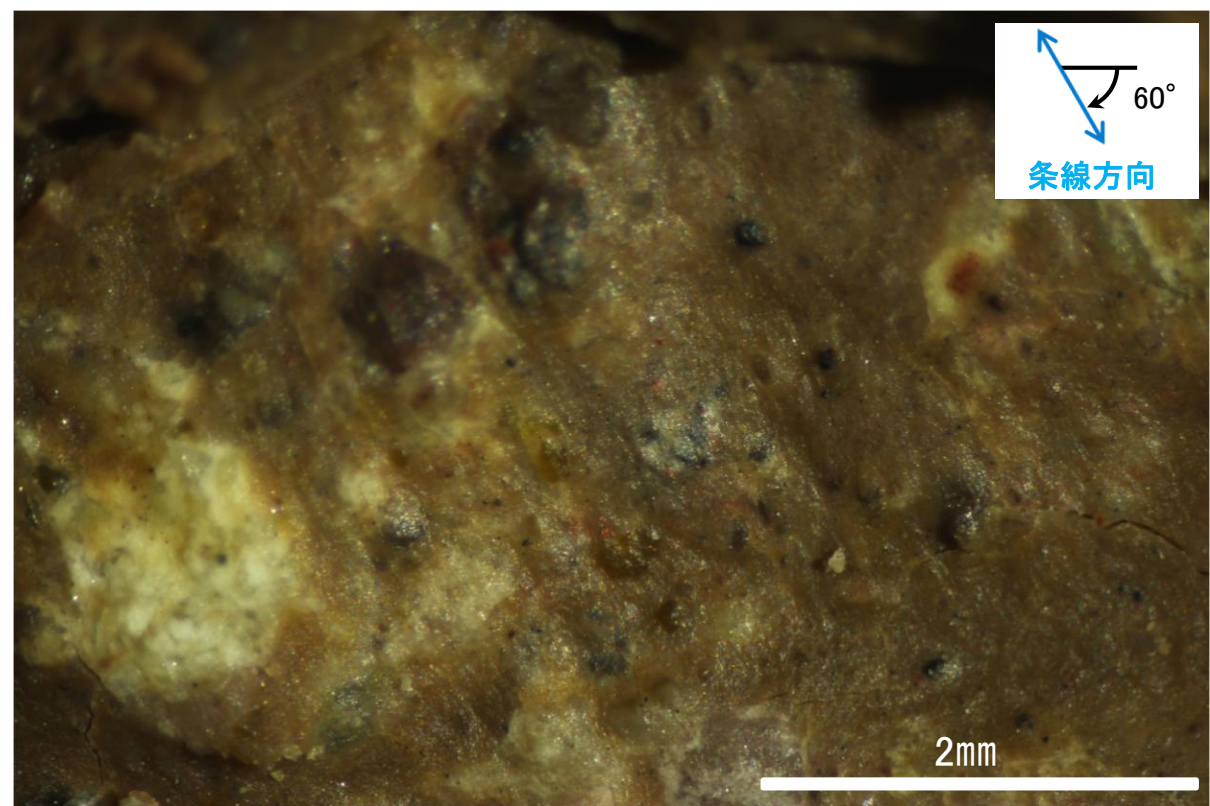
試料採取位置(No.23切羽)
● ボーリング箇所(No.23-1孔)



観察面写真



観察面拡大写真



詳細観察写真

・条線のレイクは60° R, 変位センスは不明